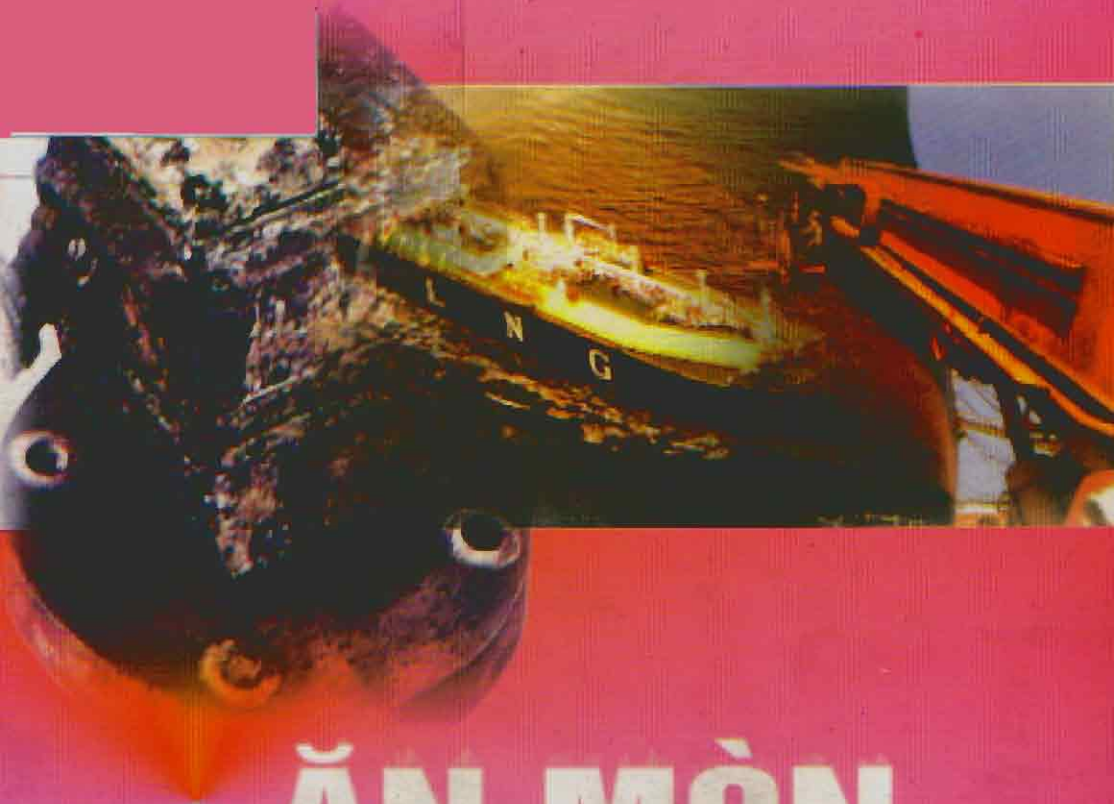


ƯƠNG NGỌC LIÊN



ĂN MÒN VÀ BẢO VỆ KIM LOẠI



NHÀ XUẤT BẢN KHOA HỌC VÀ KỸ THUẬT

TRƯƠNG NGỌC LIÊN

**ĂN MÒN VÀ BẢO VỆ
KIM LOẠI**



**NHÀ XUẤT BẢN KHOA HỌC VÀ KỸ THUẬT
HÀ NỘI**

LỜI NÓI ĐẦU

Cuốn sách này nhằm cung cấp cho sinh viên năm cuối, học viên cao học của các ngành Công nghệ Điện hoá, Công nghệ Luyện kim, Công nghệ Chế tạo máy và các bạn đọc quan tâm những kiến thức cơ bản và cập nhật về ăn mòn kim loại. Khi biên soạn cuốn sách này, tác giả chủ trương viết ngắn gọn, dễ hiểu nên đôi chỗ chỉ đưa ra các kết luận cuối cùng mà không lý giải chi tiết. Nếu bạn đọc có mong muốn tìm hiểu kỹ hơn về vấn đề nào, xin vui lòng đọc các tài liệu tham khảo ghi ở phần cuối sách, hoặc trao đổi trực tiếp với tác giả.

Mặc dù đã có nhiều cố gắng, nhưng cuốn sách này chắc không tránh khỏi khiếm khuyết trong lần xuất bản đầu tiên.

Tác giả rất mong nhận được sự góp ý của nhiều bạn đọc.

Tác giả

MỤC LỤC

Chương 1

NHỮNG KHÁI NIỆM CHUNG VỀ ĂN MÒN VÀ BẢO VỆ KIM LOẠI 11

1.1. Định nghĩa	11
1.2. Ý nghĩa kinh tế của sự ăn mòn kim loại	11
1.3. Phân loại	12
1.5. Điện thế điện cực	15
1.6. Giảm đồ điện thế $E - \text{pH}$ của Pourbaix	23

Chương 2

ĐỘNG HỌC QUÁ TRÌNH ĂN MÒN ĐIỆN HOÁ 32

2.1. Sự phân cực	32
2.2. Điện thế hỗn hợp và tốc độ ăn mòn	42
2.3. Động học quá trình ăn mòn đều kim loại với phản ứng catốt là khử ion H^+ (môi trường axit)	47
2.4. Động học quá trình ăn mòn đều kim loại với phản ứng catốt chủ yếu là khử oxy	59
2.5. Sự thụ động của kim loại	65
2.6. Những nhân tố ảnh hưởng đến ăn mòn điện hoá	75

Chương 3

CÁC DẠNG ĂN MÒN KIM LOẠI 86

3.1. Ăn mòn đều	86
3.2. Ăn mòn galvanic	86
3.3. Pin nồng độ và sự ăn mòn do thông khí không đều	91

3.4. Ăn mòn điểm	97
3.5. Ăn mòn tinh giới	101
3.6. Ăn mòn chọn lựa	104
3.7. Ăn mòn mài mòn	107
3.8. Ăn mòn dưới ứng suất	110

Chương 4

ĂN MÒN ĐIỆN HOÁ TRONG CÁC MÔI TRƯỜNG KHÁC NHAU	129
---	------------

4.1. Ăn mòn điện hoá trong nước ngọt	129
4.2. Ăn mòn điện hoá trong nước biển	131
4.3. Ăn mòn khí quyển	132
4.4. Ăn mòn trong đất	136
4.5. Ăn mòn trong bê tông	139
4.6. Ăn mòn vi sinh	140

Chương 5

BẢO VỆ KIM LOẠI	142
------------------------	------------

5.1. Bảo vệ kim loại bằng cách biến đổi môi trường	142
5.2. Bảo vệ kim loại bằng thay đổi điện thế điện cực	150
5.3. Lớp phủ kim loại	165
5.4. Lớp phủ phi kim	174

Chương 6

TÍNH CHẤT ĂN MÒN CỦA VẬT LIỆU KIM LOẠI VÀ HỢP KIM	181
--	------------

6.1. Sắt và thép	181
6.2. Thép không gỉ	182

6.3. Đồng và hợp kim	185
6.4. Niken và hợp kim	188
6.5. Nhôm và hợp kim	189
6.6. Chì và hợp kim	192
6.7. Kẽm và cadimi	192
6.8. Titan và hợp kim	194
6.9. Các kim loại và hợp kim khác	195

Chương 7

ĂN MÒN HOÁ HỌC (ĂN MÒN KHÍ KHÔ) 197

7.1. Nhiệt động học của sự ăn mòn kim loại ở nhiệt độ cao	197
7.2. Cấu tạo khuyết tật của oxýt	199
7.3. Cơ chế ăn mòn khí khô	201
7.4. Màng oxýt bảo vệ	202
7.5. Các quy luật tạo thành màng oxýt	203
7.6. Ảnh hưởng của sự tạo thành hợp kim tới sự oxy hoá kim loại	204
7.7. Phản ứng của kim loại với các khí khác ở nhiệt độ cao	206
7.8. Ăn mòn nóng (hot corrosion) dưới tác dụng của muối hoặc kim loại chảy lỏng	207

Chương 8

CÁC PHƯƠNG PHÁP THỬ NGHIỆM VÀ NGHIÊN CỨU VỀ ĂN MÒN 209

8.1. Phân loại và mục đích	209
8.2. Phương pháp phòng thí nghiệm	209
8.2.1. Phương pháp trọng lượng	211
8.2.2. Chuẩn bị điện cực nghiên cứu trong các thí nghiệm điện hoá	215
8.2.3. Đo đường cong phân cực theo phương pháp dòng tĩnh (galvanostatic)	217

8.2.4. Đo đường cong phân cực theo phương pháp thế tĩnh (potentiostatic)	219
8.2.5. Đo điện thế ăn mòn theo thời gian	220
8.2.6. Phương pháp điện trở phân cực	222
8.2.7. Phương pháp quét thế vòng	224
8.2.8. Phổ tổng trở điện hoá	225
PHỤ LỤC	231
TÀI LIỆU THAM KHẢO	254

CÁC KÝ HIỆU CHÍNH

a	Hoạt độ	
c	Nồng độ	mol.m^{-3}
D	Hệ số khuếch tán	m^2s^{-1}
ϕ	Điện thế điện cực tuyệt đối	V
E	Điện thế điện cực trong thang hydro và các thang khác	V
E^0	Điện thế điện cực tiêu chuẩn	V
$E_{a,m}$	Điện thế ăn mòn	V
E_1	Điện thế Flade	V
E_{pn}	Điện thế ăn mòn điểm	V
η	Quá thế	
G	Năng lượng tự do Gibbs	J.mol^{-1}
I	Cường độ dòng điện	A
i	Mật độ dòng điện	A.m^{-2}
$i_{a,m}$	Mật độ dòng điện ăn mòn	A.m^{-2}
i_0	Mật độ dòng trao đổi	A.m^{-2}
i_L	Mật độ dòng giới hạn	A.m^{-2}
T	Nhiệt độ tuyệt đối	K
Z	Tổng trở	$\Omega.\text{cm}^2$
Z'	Phần thực của tổng trở	
Z''	Phần ảo của tổng trở	
Z_w	Tổng trở Warburg	
R_p	Điện trở phân cực	$\Omega.\text{cm}^2$
α	Hệ số chuyển điện tích	

θ	Độ phủ bề mặt	
μ	Thế hoá học	J.mol ⁻¹
$\bar{\mu}$	Thế điện hoá	J.mol ⁻¹
f	Tần số	Hz
ω	Tần số góc	rads ⁻¹
P_{tl}	Tổn thất trọng lượng.	mg/dm ² .ngày đêm
P_{in}	Độ thâm nhập	mm/năm
σ	Ứng suất	N.m ⁻²
K_I	Hệ số cường độ ứng suất	MPa ^{1/2}
K_{ISCC}	Hệ số cường độ ứng suất ngưỡng	

Các hằng số vật lý

e	Điện tích của điện tử	$1.602\,177.10^{-19}$ C
F	Hằng số Faraday	$9,6485.10^4$ C.mol ⁻¹
R	Hằng số khí	$8,314\,51$ J.K ⁻¹ mol ⁻¹

Các hằng số toán học

π	$3,141\,592\,653\,59$
e	$2,718\,281\,828\,46$
$\ln 10$	$2,302\,585$

Các hệ thức thường dùng ở 25°C

$\frac{RT}{F}$	25,693 mV
$\left(\frac{RT}{F}\right) \ln 10$	59,160 mV

Chương 1

NHỮNG KHÁI NIỆM CHUNG VỀ ĂN MÒN VÀ BẢO VỆ KIM LOẠI

1.1. ĐỊNH NGHĨA

Ăn mòn là sự phá huỷ vật liệu do phản ứng hoá học hay điện hoá học của chúng với môi trường xung quanh.

Có ý kiến cho rằng chỉ nên giới hạn khái niệm ăn mòn cho các kim loại, nhưng trong thực tế các người làm công tác chống ăn mòn kim loại lại phải sử dụng cả vật liệu kim loại lẫn phi kim loại (gốm, sứ, chất dẻo, caosu...). Vì vậy ở đây chúng tôi sẽ đề cập tới sự phá huỷ của vật liệu nói chung.

Danh từ gỉ (rusting) thường gặp trong đời sống hàng ngày chỉ dùng cho sự ăn mòn của sắt hoặc các hợp kim trên cơ sở sắt. Trong trường hợp này kim loại sắt (Fe) bị phá huỷ thành ion sắt hoá trị 2 (Fe^{2+}). Ion này tác dụng với OH^- tạo thành $\text{Fe}(\text{OH})_2$ và sau đó biến thành gỉ màu nâu có công thức $\text{FeO}(\text{OH})$.

1.2. Ý NGHĨA KINH TẾ CỦA SỰ ĂN MÒN KIM LOẠI

Cùng với sự phát triển của nền kinh tế, thiệt hại gây nên bởi sự ăn mòn kim loại ngày càng lớn. Ví dụ, năm 1949 thiệt hại do ăn mòn tại Mỹ là 5 tỷ đôla tương đương với 2,1% tổng sản phẩm quốc nội, năm 1975 là 70 tỷ đôla tức 4,2% tổng sản phẩm quốc nội, năm 1982 là 126 tỷ đôla.

Những số liệu kể trên chỉ là thiệt hại kinh tế trực tiếp. Thiệt hại kinh tế gián tiếp còn lớn hơn nhiều. Đó là:

1) Nhà máy phải ngừng sản xuất để thay thế chi tiết hoặc thiết bị hư hỏng do ăn mòn. Thiệt hại này lớn hơn giá trị của thiết bị hư hỏng rất nhiều. Ví dụ ngừng nhà máy điện nguyên tử có thể gây thiệt hại tới hàng triệu đôla/ngày.

2) Rò rỉ các thùng chứa, đường ống làm mất sản phẩm, mất an toàn vận hành, phá huỷ môi trường.

3) Giảm hiệu suất làm việc của thiết bị. Ví dụ, sự tích tụ của sản phẩm trong các ống trao đổi nhiệt làm giảm hiệu quả truyền nhiệt.

4) Các sản phẩm ăn mòn có thể làm bẩn các sản phẩm cần điều chế.

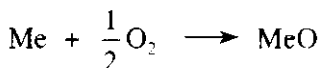
5) Nhiều khi phải thiết kế các thiết bị lớn hơn mức cần thiết vì chưa có các số liệu tin cậy về ăn mòn.

1.3. PHÂN LOẠI

Người ta có thể phân loại ăn mòn theo nhiều cách khác nhau. Có người phân ăn mòn thành ăn mòn ở nhiệt độ cao và thấp. Có người lại phân chia thành ăn mòn khô và ướt.

Trong tài liệu này chúng tôi phân loại ăn mòn theo cơ chế phản ứng và sự ăn mòn kim loại được chia làm hai loại chính:

1) Ăn mòn hoá học còn gọi là ăn mòn khô gây ra bởi phản ứng hoá học của kim loại với môi trường xung quanh. Ví dụ, kim loại được nung ở nhiệt độ cao trong môi trường chứa chất xâm thực như O_2 , S_2 , Cl_2 ...



trong đó Me - kim loại.

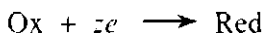
2) Ăn mòn điện hoá là sự ăn mòn kim loại trong môi trường chất điện giải, trong đó sự ion hoá của nguyên tử kim loại (Me) và sự khử của chất oxy hoá (Ox) không xảy ra trực tiếp ở cùng một nơi và trong cùng một phản ứng.

Sự ăn mòn điện hoá của kim loại gồm ba quá trình cơ bản:

a) Quá trình anốt là quá trình oxy hoá điện hoá, trong đó kim loại chuyển vào dung dịch dưới dạng cation Me^{z+} và giải phóng điện tử; kim loại bị ăn mòn:

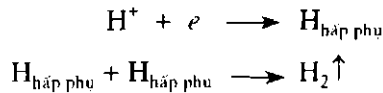


b) Quá trình catốt là quá trình khử hoá điện hoá, trong đó chất oxy hoá (Ox) nhận điện tử do kim loại bị ăn mòn nhường cho:



Red - dạng khử liên hợp của Ox (tức $Ox.ze$).

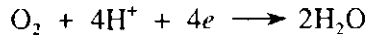
Trong môi trường nước Ox thường là H^+ hoặc O_2 . Nếu Ox là H^+ thì quá trình catốt sẽ là:



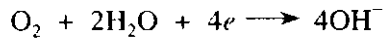
Trong trường hợp này ta gọi là sự ăn mòn với *chất khử phân cực hydro*.

Nếu Ox là O_2 thì:

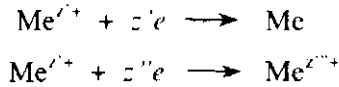
– Trong môi trường axit, quá trình catôt sẽ là:



– Trong môi trường trung tính hoặc kiềm, quá trình catôt sẽ là:



Khi trong dung dịch có những ion kim loại ($\text{Me}^{z'+}$) có thế điện cực dương hơn của kim loại bị ăn mòn thì quá trình catôt có thể là:



trong đó z' , z'' , z''' - hoá trị của các ion:

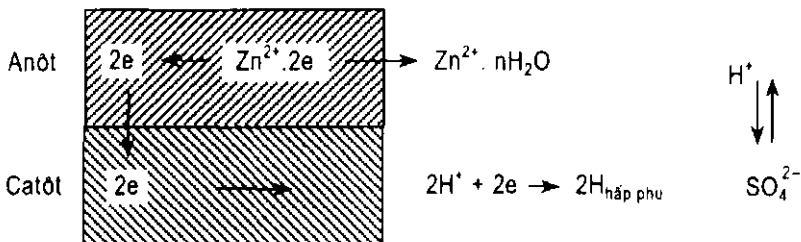
$$z' = z'' + z'''$$

Như vậy $\text{Me}^{z'+}$ đóng vai trò là chất oxy hoá (Ox) bị khử ở catôt.

c) Quá trình dẫn điện

Các điện tử do các kim loại bị ăn mòn giải phóng sẽ đi từ anôt tới catôt còn các ion di chuyển trong dung dịch.

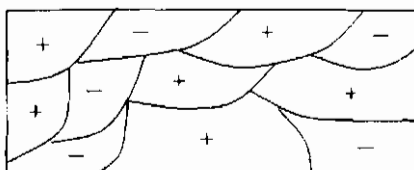
Ta có thể tóm tắt các quá trình trên bằng sơ đồ trong hình 1.1 (lấy sự ăn mòn kẽm (Zn) trong dung dịch axit H_2SO_4 làm ví dụ).



Hình 1.1. Sơ đồ ăn mòn điện hoá kẽm trong dung dịch H_2SO_4

Như vậy trong quá trình bị ăn mòn điện hoá, kim loại hoạt động như một pin ta gọi là *pin ăn mòn*.

Nói chung các kim loại đều chứa những tạp chất có điện thế điện cực khác nhau. Cho nên khi nhúng vào dung dịch điện giải chúng tạo thành các *pin ăn mòn cục bộ*, tại các vị trí khác nhau và quá trình ăn mòn kim loại bắt đầu (hình 1.2).



Hình 1.2. Các pin ăn mòn cục bộ trong kim loại bị ăn mòn:

- + tạp chất kim loại có điện thế điện cực dương hơn;
- tạp chất kim loại có điện thế điện cực âm hơn

1.4. TỐC ĐỘ ĂN MÒN

Tốc độ ăn mòn có thể đo bằng các đại lượng sau:

a) Tổn thất trọng lượng P_{Ll} là trọng lượng kim loại bị ăn mòn trên đơn vị bề mặt trong đơn vị thời gian (ăn mòn đều):

$$P_{Ll} = \frac{m_1 - m_2}{S \cdot t}, \text{ mg/dm}^2 \cdot \text{ngày đêm} \quad (1.1)$$

trong đó m_1, m_2 - trọng lượng mẫu kim loại trước và sau khi bị ăn mòn, mg;

S - diện tích bề mặt kim loại, dm^2 ;

t - thời gian tính bằng ngày đêm tức 24×3600 , s.

b) Độ thâm nhập P_m tính bằng chiều sâu trung bình kim loại bị ăn mòn trong một năm:

$$P_{m,n} = \frac{P_{Ll} \times 0,0365}{\rho} \text{ mm/năm} \quad (1.2)$$

trong đó ρ - tỷ trọng kim loại, g/cm^3 .

Bạn đọc cũng có thể gặp các công thức tính độ thâm nhập khác không theo đơn vị SI:

$$\text{Độ thâm nhập MPY (mil/năm)} = \frac{534W}{\rho.S.T}, \text{ mil/năm}$$

trong đó W - tổn thất trọng lượng trong thời gian T (h), mg;

S - diện tích mẫu bị ăn mòn, inch vuông;

ρ - tỷ trọng, g/cm³.

(1 mil = 0,001 inch = 0,0254 mm).

Ta cũng có thể gặp công thức sau:

$$\text{Độ thâm nhập} = \frac{87,6W}{\rho.S.T}, \text{ mm/năm} \quad (1.3)$$

trong đó S - diện tích mẫu bị ăn mòn, cm²;

W, ρ, T như trong công thức trên.

Ngoài ra ta cũng có thể tính tốc độ ăn mòn bằng mật độ dòng điện ăn mòn i hoặc thể tích khí hydro thoát ra trong trường hợp quá trình catốt là khử ion H⁺.

Độ bền với ăn mòn của kim loại được chia thành năm cấp tùy theo độ thâm nhập P_{in} (mm/năm):

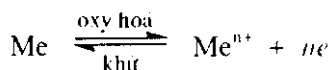
- Các kim loại có $P_{\text{in}} < 0,02$ mm/năm được coi là *siêu bền* với ăn mòn.
- Các kim loại có P_{in} từ $0,02 \div 0,1$ mm/năm được xếp vào loại *cực bền*.
- Các kim loại có $P_{\text{in}} = 0,1 \div 0,5$ mm/năm được xem là *bền* với ăn mòn.
- Các kim loại có $P_{\text{in}} = 0,5 \div 1$ mm/năm được công nhận là *đạt yêu cầu*.
- Các kim loại có $P_{\text{in}} = 1 \div 5$ mm/năm được coi là *kém bền* với ăn mòn.

Những kim loại có $P_{\text{in}} > 5$ mm/năm không được xem là có khả năng chống ăn mòn.

1.5. ĐIỆN THẾ ĐIỆN CỰC

1.5.1. Sự hình thành lớp kép và điện thế điện cực

Khi một kim loại đồng nhất Me được nhúng trong một dung dịch chất điện giải chứa ion Meⁿ⁺ của nó (ví dụ, kim loại đồng nhúng trong dung dịch CuSO₄) thì giữa kim loại và dung dịch có cân bằng sau.



Ion kim loại Me^{n+} tích điện dương đi vào trong dung dịch, còn trên bề mặt kim loại sẽ tích tụ điện tử e mang điện tích âm. Chúng tạo thành hai lớp điện tích trái dấu, ta gọi là lớp điện tích kép (hình 1.3). Cấu trúc lớp kép gồm hai lớp dày đặc như trên gọi là sơ đồ Helmholtz. x_H là khoảng cách gần điện cực nhất mà ion có thể tiến đến. x_H chính là bán kính của ion.

Tuy nhiên trong thực tế thì các ion kim loại có chuyển động nhiệt và các ion cùng dấu sẽ đẩy nhau nên lớp kép không dày đặc như trên mà có cấu tạo khuếch tán (hình 1.4).

Cấu trúc lớp kép này gọi là sơ đồ Gouy - Chapman. Trong sơ đồ này phân bố ion theo khoảng cách đến điện cực tuân theo định luật phân bố Boltzmann:

$$n_i = n_i^0 \exp \left[\frac{-z_i \cdot e \cdot \varphi_\lambda}{k_B \cdot T} \right] \quad (1.4)$$

trong đó

$$\varphi_\lambda = \varphi - \varphi_s;$$

n_i, n_i^0 - số ion (nồng độ) trong lớp

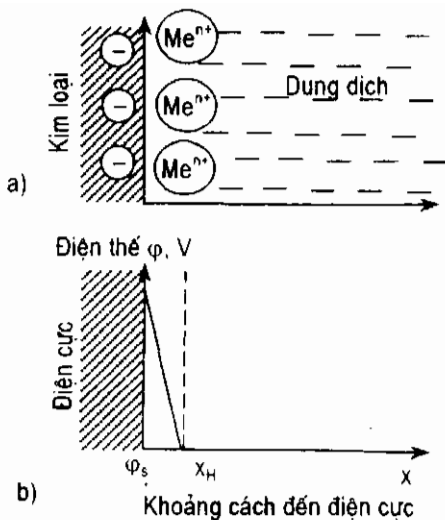
kép và trong dung dịch;

z_i - hoá trị của ion i (cation có dấu +, anion có dấu -);

k_B - hằng số Boltzmann

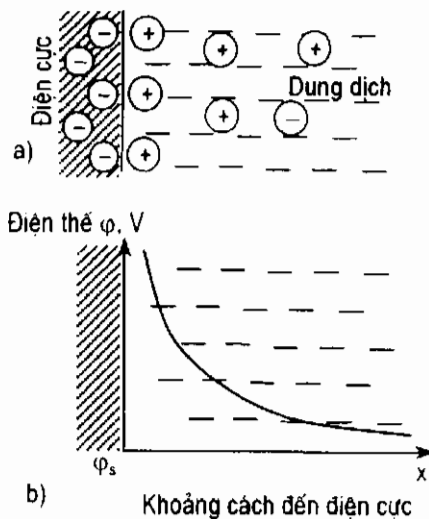
$$k_B = 1,38066 \times 10^{-23} \text{ J.K}^{-1};$$

φ_s - điện thế trong dung dịch cách xa điện cực vô cùng. Thừa nhận $\varphi_\infty = 0$.



Hình 1.3:

- a) cấu trúc lớp kép kiểu Helmholtz;
b) phân bố điện thế theo khoảng cách x đến điện cực



Hình 1.4:

- a) sơ đồ Gouy - Chapman;
b) phân bố điện thế theo khoảng cách x đến điện cực

Chúng ta lưu ý rằng trong phần lớp kép về phía dung dịch không phải chỉ gồm có những ion trái dấu với điện tích điện cực mà còn có các ion cùng dấu (hình 1.4a).

Tuy nhiên theo Stern thì phần lớp kép chứa dung dịch lại gồm hai lớp:

- Lớp đầu đặc kiểu Helmholtz (hình 1.4a).

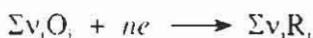
- Lớp khuếch tán kiểu Gouy - Chapman.

Cũng theo Stern thì phía trong lớp đầu đặc có thể còn có các ion hoặc phân tử bị hấp phụ lên bề mặt điện cực nữa. Sau mẫu Stern còn có nhiều mẫu lớp kép khác nhưng chúng tôi không trình bày ở đây.

(Ta cũng cần biết rằng sự hình thành lớp kép có thể xảy ra khi những kim loại vào một dung dịch điện giải bất kỳ).

Do có sự hình thành lớp kép nên khi có cân bằng thì giữa điện cực và dung dịch chứa ion Me^{n+} của nó có bước nhảy điện thế gọi là điện thế điện cực cân bằng φ_{cb} . Giá trị của φ_{cb} có thể tính theo công thức Nernst.

Giả sử ta có phản ứng khử:



thì:

$$\varphi_{cb} = \varphi'' + \frac{RT}{nF} \ln \frac{\pi a_{O_i}^{\nu_i}}{\pi a_{R_i}^{\nu_i}} \quad (1.5)$$

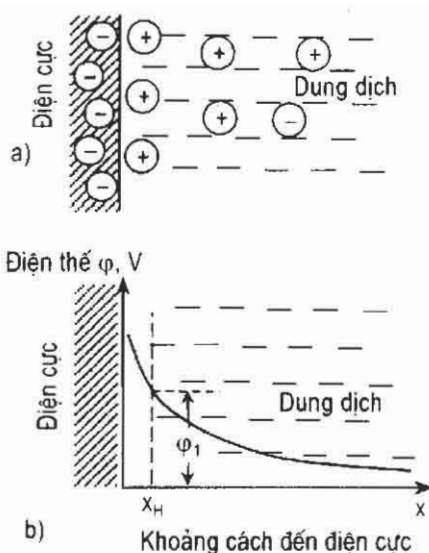
trong đó φ'' - điện thế điện cực tiêu chuẩn khi hoạt độ của các phân tử bằng 1:

R - hằng số khí lý tưởng, $R = 8.31 \text{ J/mol.K}$;

T - nhiệt độ tuyệt đối;

π biểu thị tích các nồng độ;

a_{O_i} , a_{R_i} - hoạt độ của chất phản ứng dạng O_i và R_i ;



Hình 1.5:

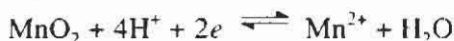
a) sơ đồ Stern;

b) phân bố điện thế theo khoảng cách x đến điện cực

n - số điện tử trao đổi;

$$F = 96500 \text{ C.}$$

Ví dụ, ta có phản ứng:



thì:

$$\varphi_{\text{ch}} = \varphi^0 + \frac{RT}{2F} \ln \frac{a_{\text{MnO}_2} \cdot a_{\text{H}^+}^4}{a_{\text{H}_2\text{O}}^2 \cdot a_{\text{Mn}^{2+}}}$$

Còn khi có phản ứng:



thì:

$$\varphi_{\text{ch}} = \varphi^0 + \frac{RT}{nF} \ln \frac{a_{\text{Me}^{n+}}}{a_{\text{Me}}}$$

Vì coi a_{Me} bằng 1, nên:

$$\varphi_{\text{ch}} = \varphi^0 + \frac{RT}{nF} \ln a_{\text{Me}^{n+}}$$

Công thức này rất hay dùng để tính điện thế cân bằng của điện cực kim loại nhúng trong dung dịch.

Trong thực tế ta không thể đo được trực tiếp giá trị tuyệt đối của điện thế điện cực cân bằng giữa kim loại và dung dịch chứa muối của chúng.

Người ta thường đo điện thế điện cực bằng một pin điện hoá gồm hai nửa pin:

- Một nửa pin là điện cực kim loại cần đo điện thế.
- Nửa pin còn lại là điện cực so sánh có điện thế được qui ước là bằng 0.

Hình 1.6 trình bày sơ đồ pin điện hoá gồm:

- Điện cực kim loại Me cần đo điện thế nhúng dung dịch có hoạt độ ion Me^{n+} là $a_{\text{Me}^{n+}} = 1$.

- Điện cực so sánh là điện cực hydro gồm, một thanh Pt nhúng trong dung dịch có $a_{\text{H}^+} = 1$ tiếp xúc với bầu khí H_2 (sục qua dung dịch) có áp suất $p_{\text{H}_2} = 1 \text{ atm}$.

Sức điện động của pin trên là E^0 :

$$E^0 = \varphi_{\text{Me}^{n+}/\text{Me}}^0 - \varphi_{2\text{H}^+/\text{H}_2}^0$$

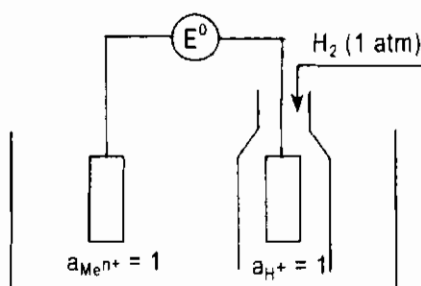
$\varphi_{\text{Me}^{n+}/\text{Me}}^0$ - điện thế điện cực tiêu chuẩn (vì $a_{\text{Me}^{n+}} = 1$) của điện cực cần đo trong thang đo tuyệt đối;

$\varphi_{2H^+/H_2}^{(0)}$ - điện thế điện cực tiêu

chuẩn (vì $a_{H^+} = 1$, $p_{H_2} = 1$ atm)
của điện cực so sánh hydro,
được qui ước bằng 0.

$$E^{(0)} = \varphi_{Me^{n+}/Me}^{(0)} - 0 = E_{Me^{n+}/Me}^{(0)}$$

là điện thế điện cực tiêu chuẩn của
kim loại cần đo so với điện cực tiêu
chuẩn hydro.



Hình 1.6. Sơ đồ pin điện hoá

Bảng 1.1 cho biết điện thế điện cực tiêu chuẩn của một số phản ứng điện
hoá trong thang hydro.

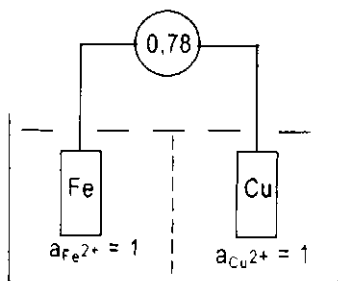
Bảng 1.1. Điện thế điện cực tiêu chuẩn ở 25°C

Phản ứng điện cực	Điện thế điện cực tiêu chuẩn trong thang hydro, V
$Au^{3+} + 3e \rightleftharpoons Au$	1,5
$O_2 + 4H^+ + 4e \rightleftharpoons 2H_2O$ (pH = 0)	1,23
$O_2 + 2H_2O + 4e \rightleftharpoons 4OH^-$ (pH = 7)	0,82
(pH = 14)	0,401
$Cu^{2+} + 2e \rightleftharpoons Cu$	0,34
$2H^+ + 2e \rightleftharpoons H_2$ (pH = 0)	0
$Pb^{2+} + 2e \rightleftharpoons Pb$	-0,13
$Sn^{2+} + 2e \rightleftharpoons Sn$	-0,14
$Ni^{2+} + 2e \rightleftharpoons Ni$	-0,25
$Cd^{2+} + 2e \rightleftharpoons Cd$	-0,4
$Fe^{2+} + 2e \rightleftharpoons Fe$	-0,44
$Cr^{3+} + 3e \rightleftharpoons Cr$	-0,74
$Zn^{2+} + 2e \rightleftharpoons Zn$	-0,76
$Mn^{2+} + 2e \rightleftharpoons Mn$	-1,18
$Al^{3+} + 3e \rightleftharpoons Al$	-1,67
$Mg^{2+} + 2e \rightleftharpoons Mg$	-2,34
$Na^{2+} + e \rightleftharpoons Na$	-2,71
$K^+ + e \rightleftharpoons K$	-2,92
$Li^+ + e \rightleftharpoons Li$	-3,02

Điện thế điện cực cho phép ta đánh giá khả năng bị ăn mòn của kim loại. Ví dụ, có một pin điện hoá gồm hai nửa pin (hình 1.7):

- Nửa pin thứ nhất gồm một điện cực sắt (Fe) nhúng trong dung dịch chứa ion Fe^{2+} có hoạt độ $a_{\text{Fe}^{2+}} = 1$.

- Nửa pin thứ hai là điện cực bằng đồng (Cu) nhúng trong dung dịch chứa ion Cu^{2+} có hoạt độ $a_{\text{Cu}^{2+}} = 1$.



Hình 1.7. Pin sắt - đồng

Sức điện động của pin đó là:

$$E^0 = E_{\text{Cu}^{2+}/\text{Cu}}^0 - E_{\text{Fe}^{2+}/\text{Fe}}^0$$

Tra bảng 1.1 ta có:

$$E^0 = 0,34 - (-0,44) = 0,78 \text{ V}$$

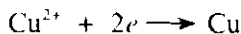
Nối hai nửa pin đó thì có dòng điện chạy trong mạch: điện tử đi từ điện cực sắt sang điện cực đồng nghĩa là đi từ điện cực có điện thế âm hơn (anôt) đến điện cực có điện thế dương hơn (catôt).

Trong trường hợp này trên điện cực sắt sẽ có phản ứng anôt:



Sắt bị hoà tan.

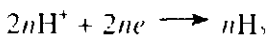
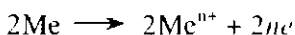
Còn trên cực đồng sẽ có phản ứng catôt:



Trên cực đồng sẽ có thêm một lớp kết tủa đồng.

Như vậy kim loại có điện thế âm hơn sẽ bị hoà tan.

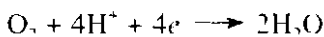
Tương tự như trên ta có thể nói rằng tất cả các kim loại có điện thế điện cực tiêu chuẩn âm hơn của điện cực hydro sẽ bị ăn mòn trong dung dịch axit không chứa oxy hoà tan, đồng thời với sự thoát khí hydro. Các phản ứng điện cực:



Ví dụ, $E_{\text{Fe}^{2+}/\text{Fe}}^0 = -0,44 \text{ V}$; $E_{2\text{H}^+/\text{H}_2}^0 = 0$. Vậy trong môi trường axit không chứa oxy, sắt sẽ bị ăn mòn.

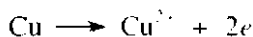
Ngược lại điện thế điện cực tiêu chuẩn của đồng là $E_{\text{Cu}^{2+}/\text{Cu}}^{\circ} = 0,34 \text{ V}$ dương hơn của hydro nên đồng không bị ăn mòn trong dung dịch axit không có oxy hoà tan.

Nếu trong dung dịch axit có chứa oxy hoà tan thì phản ứng catốt sẽ là:



Tra bảng 1.1 ta thấy khi $\text{pH} = 0$ thì phản ứng này có điện thế điện cực tiêu chuẩn là $+1,23 \text{ V}$ dương hơn điện thế điện cực tiêu chuẩn của đồng là $+0,34 \text{ V}$.

Vậy đồng sẽ bị ăn mòn trong dung dịch axit chứa oxy:



Tuy nhiên cần lưu ý rằng hoạt độ của các ion trong dung dịch thường khác với 1 ($a_{\text{Me}^{n+}}, a_{\text{H}^+} \dots \neq 1$), nên muốn biết kim loại có bị ăn mòn hay không ta phải tính điện thế cân bằng của nó theo phương trình Nernst sau đó so sánh với điện thế cân bằng của phản ứng khử phân cực catốt.

Ví dụ, thép (Fe) nhúng trong nước biển.

Nếu hoạt độ của sắt trong nước biển $a_{\text{Fe}^{2+}} = 10^{-6} \text{ mol/l}$ thì coi như thép bị ăn mòn.

Điện thế điện cực cân bằng $E_{\text{Fe}^{2+}/\text{Fe}}^{\text{ch}}$ trong thang hydro tính bằng công thức Nernst ở 25°C :

$$E_{\text{Fe}^{2+}/\text{Fe}}^{\text{ch}} = -0,44 + \frac{0,058}{2} \lg 10^{-6} = -0,62 \text{ V}$$

Giả sử nước biển trung tính $a_{\text{OH}^-} = a_{\text{H}^+} = 10^{-7}$

$$E_{2\text{H}^+/\text{H}_2}^{\text{ch}} = 0 + 0,058 \lg 10^{-7} = -0,406 \text{ V}$$

$$E_{\text{Fe}^{2+}/\text{Fe}}^{\text{ch}} < E_{2\text{H}^+/\text{H}_2}^{\text{ch}}$$

Thép bị ăn mòn.

1.5.2. Điện cực so sánh

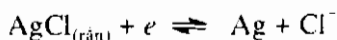
Như đã trình bày ở trên, để đo điện thế điện cực phải dùng điện cực so sánh. Dưới đây là một số điện cực so sánh thông dụng.

1.5.2.1. Điện cực so sánh bạc clorua

Điện cực này gồm một dây bạc phủ AgCl nhúng trong dung dịch KCl

(hình 1.8).

Phản ứng trên điện cực:



Điện thế điện cực bạc clorua:

$$E_{\text{AgCl}} = E_{\text{AgCl}}^0 - \frac{RT}{F} \ln(a_{\text{Cl}^-})$$

Tại 25°C:

$$E_{\text{AgCl}} = 0,222 - 0,059 \lg a_{\text{Cl}^-} \quad (1.6)$$

Nếu dùng KCl bão hoà thì:

$$E_{\text{AgCl}} = 0,195 \text{ V}$$

1.5.2.2. Điện cực calomel

Gồm Hg tiếp xúc với Hg_2Cl_2 (calomel)

Phản ứng của nửa pin:



Điện thế điện cực calomel:

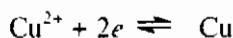
$$\begin{aligned} E_{\text{cal}} &= E_{\text{cal}}^0 - \frac{RT}{F} \ln(a_{\text{Cl}^-}) \\ &= 0,268 - 0,059 \lg a_{\text{Cl}^-} \quad (1.7) \end{aligned}$$

Với dung dịch KCl bão hoà tại 25°C thì

$$E_{\text{cal}} = 0,241 \text{ V}.$$

1.5.2.3. Điện cực đồng sunfat

Phản ứng nửa pin:

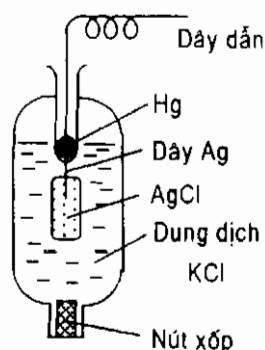


Điện thế điện cực:

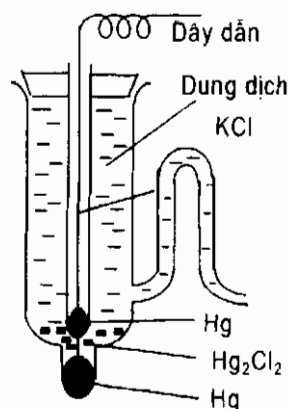
$$E_{\text{Cu}^{2+}/\text{Cu}} = 0,34 + 0,0295 \lg a_{\text{Cu}^{2+}} \quad (1.8)$$

Với dung dịch đồng sunfat bão hoà:

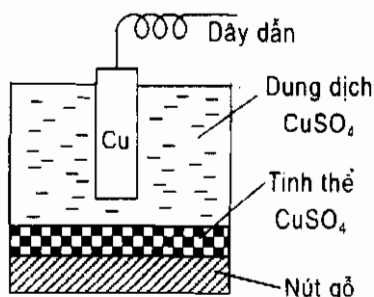
$$E_{\text{Cu}^{2+}/\text{Cu}} = 0,318 \text{ V}$$



Hình 1.8. Điện cực so sánh bạc clorua



Hình 1.9. Điện cực so sánh calomel



Hình 1.10. Điện cực so sánh đồng sunfat

1.6. GIẢN ĐỒ ĐIỆN THẾ – pH CỦA POURBAIX

Giản đồ Pourbaix biểu diễn sự phụ thuộc điện thế cân bằng của các phản ứng trên điện cực vào pH của dung dịch.

Giản đồ này có nhiều ứng dụng trong điện hoá, đặc biệt là trong ăn mòn kim loại.

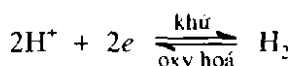
Nhờ giản đồ Pourbaix ta sẽ biết những phản ứng nào xảy ra, sản phẩm phản ứng nào sẽ tồn tại khi đạt tới cân bằng. Tuy nhiên giản đồ Pourbaix không cho biết tốc độ ăn mòn mà chỉ vạch ra khả năng kim loại bền hoặc không bền với ăn mòn về phương diện nhiệt động.

1.6.1. Giản đồ Pourbaix của nước và oxy hoà tan

Trong quá trình ăn mòn kim loại, H^+ và O_2 thường tham gia vào phản ứng catốt. Cho nên ta phải xét sự cân bằng của những phần tử này trong dung dịch.

1.6.1.1. Sự cân bằng giữa khí H_2 và ion H^+

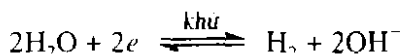
– Trong môi trường axit có phản ứng:



Ở điện thế dương hơn điện thế cân bằng E_{2H^+/H_2}^{ch} thì H_2 bị oxy hoá thành $2H^+$, chiều phản ứng đi từ phải qua trái.

Ở điện thế âm hơn điện thế cân bằng E_{2H^+/H_2}^{ch} thì ion H^+ bị khử thành H_2 , chiều phản ứng đi từ trái qua phải.

– Trong môi trường trung tính và kiềm ($pH \geq 7$) thì chất bị khử là H_2O (không phải ion H^+ như trong môi trường axit):



Điện thế điện cực cân bằng của các phản ứng trên:

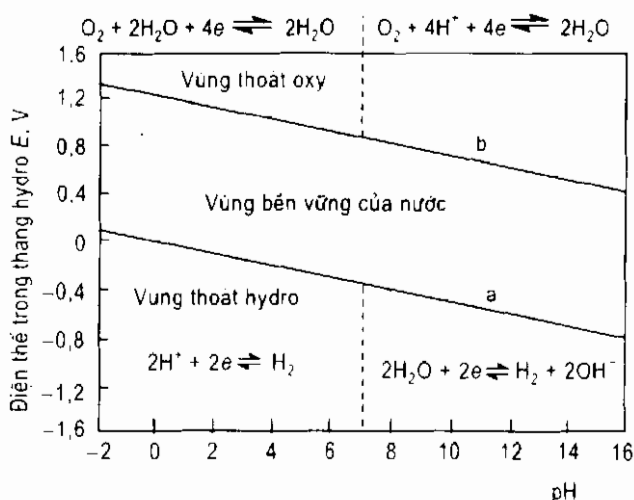
$$E_{2H^+/H_2}^{ch} = E_{2H^+/H_2}^0 - 0,059pH - 0,030 \lg p_{H_2} \quad (1.9)$$

trong đó p_{H_2} - áp suất khí H_2 .

khí $p_{H_2} = 1 \text{ atm}$ thì:

$$E_{2H^+/H_2}^{ch} = E_{2H^+/H_2}^0 - 0,059pH$$

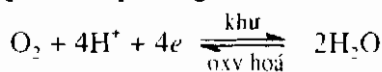
Phương trình này được biểu diễn bằng đường *a* trên hình 1.11.
 Ở điện thế âm hơn đường *a* nước bị phân huỷ thành hydro:
 Nước không bền về nhiệt động.



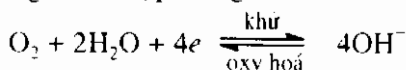
Hình 1.11. *Giản đồ điện thế – pH về điều kiện bền vững của H₂O và các sản phẩm phân huỷ của nó (O₂, H₂)*

1.6.1.2. Sự cân bằng giữa oxy và nước

– Trong môi trường axit có phương trình:



– Trong môi trường kiềm có phương trình:



Ở điện thế âm hơn điện thế cân bằng $E_{\text{O}_2}^{\text{ch}}$ thì oxy bị khử.

Điện thế cân bằng của hai phản ứng trên tính theo phương trình:

$$E_{\text{O}_2}^{\text{ch}} = 1,23 - 0,059\text{pH} + 0,015 \lg p_{\text{O}_2} \quad (1.10)$$

Khi áp suất của oxy $p_{\text{O}_2} = 1$ atm thì:

$$E_{\text{O}_2}^{\text{ch}} = 1,23 - 0,059\text{pH}$$

Phương trình này được biểu diễn bằng đường *b* trên hình 1.11.

Tại các điện thế dương hơn $E_{O_2}^{ch}$ nước đều bị oxy hoá thành O_2 ở tất cả giá trị pH: nước không bền.

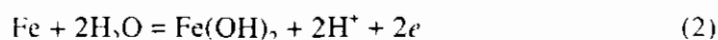
Trong vùng kẹp giữa hai đường a và b nước bền.

1.6.2. Giảm đồ Pourbaix của sắt trong quá trình bị ăn mòn

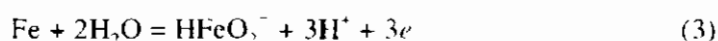
Sắt có hoá trị 2 và 3 nên giản đồ Pourbaix khá phức tạp. Các phản ứng và các phương trình của điện thế điện cực cân bằng tương ứng được liệt kê như sau:



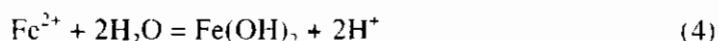
$$E_{Fe^{2+}/Fe}^{ch} = -0,44 + 0,0295 \lg a_{Fe^{2+}}$$



$$E_{Fe(OH)_2/Fe}^{ch} = -0,047 - 0,059pH$$



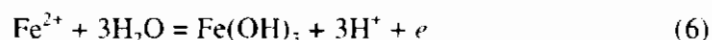
$$E_{HFeO_2^-/Fe}^{ch} = 0,493 - 0,0886pH + 0,0295 \lg a_{HFeO_2^-}$$



$$pH = 6,65 - 0,5 \lg a_{Fe^{2+}}$$



$$pH = 18,30 + \lg a_{HFeO_2^-}$$



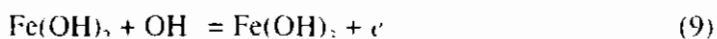
$$E_{Fe(OH)_3/Fe^{2+}}^{ch} = 1,057 - 0,1773pH - 0,059 \lg a_{Fe^{2+}}$$



$$pH = 1,613 - \frac{1}{3} \lg a_{Fe^{3+}}$$

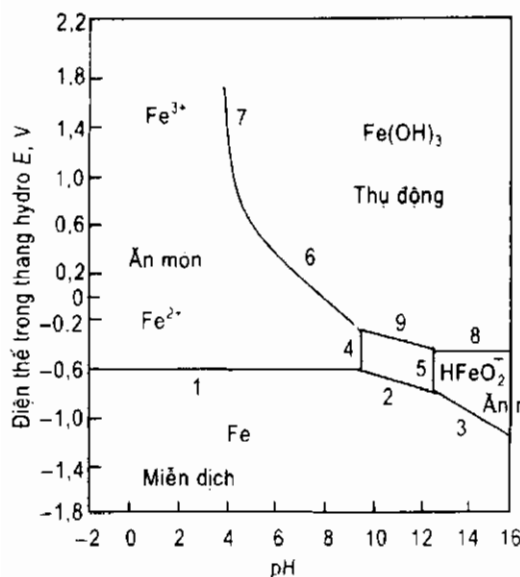


$$E_{Fe(OH)_3/HFeO_2^-}^{ch} = -0,810 - 0,059 \lg a_{HFeO_2^-}$$

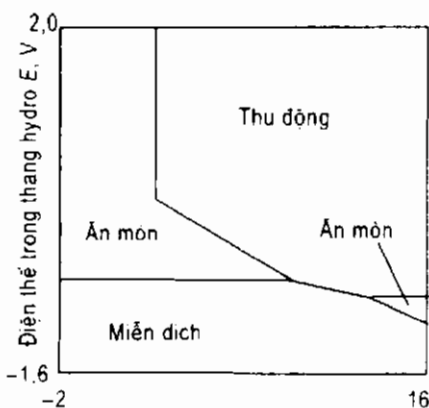


$$E_{Fe(OH)_3/Fe(OH)_2}^{ch} = -0,27 - 0,059pH$$

Các phương trình Nernst của các phản ứng từ (1) đến (9) được vẽ trên đồ thị (hình 1.12) ứng với nồng độ 10^{-6} M.



Hình 1.12. Giản đồ Pourbaix của sắt



Hình 1.13. Giản đồ Pourbaix giản đơn của sắt

Hai giản đồ Pourbaix ở trên đã chỉ rõ những khu vực điện thế, tại đó sắt không bị ăn mòn ở các pH khác nhau,

Tại các khu vực “miễn dịch” và “thụ động” sắt không bị ăn mòn. Cho nên muốn bảo vệ thép ta phải tìm cách chuyển dịch điện thế điện cực của thép đến các khu vực miễn dịch và thụ động. Đó là nguyên tắc của phương pháp bảo vệ catốt và anốt tương ứng, ta sẽ làm quen trong các chương sau.

1.6.3. Giản đồ Pourbaix của kẽm

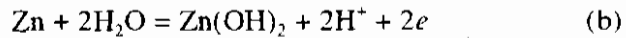
Các phản ứng và điện thế điện cực cân bằng của quá trình ăn mòn kẽm như sau:

Ở pH nhỏ chỉ có một phản ứng duy nhất có ý nghĩa:



$$\begin{aligned} E_{\text{Zn}^{2+}/\text{Zn}}^{\text{ch}} &= -0,76 + \frac{0,059}{2} \lg[\text{Zn}^{2+}] \\ &= -0,76 + \frac{0,059}{2} \lg 10^{-6} = -0,937 \text{ V} \end{aligned}$$

Đường biểu diễn của nó là đường *a*. Khi dung dịch trở nên kiềm hơn thì phản ứng sau sẽ là chủ yếu:



$$E_{\text{Zn}(\text{OH})_2/\text{Zn}}^{\text{ch}} = E^0 + 0,0295 \lg \frac{[\text{Zn}(\text{OH})_2][\text{H}^+]^2}{[\text{H}_2\text{O}]^2[\text{Zn}]}$$

$$= E^0 + 0,0295 \lg [\text{H}^+]^2$$

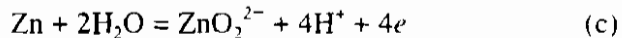
E^0 là điện thế điện cực thuận nghịch cho cặp $\text{Zn}(\text{OH})_2/\text{Zn}$. $E^0 = -0,439 \text{ V}$.

$E_{\text{Zn}(\text{OH})_2/\text{Zn}}^{\text{ch}} = -0,539 - 0,059\text{pH}$ biểu diễn bằng đường *b*. Hai đường *a* và *b* sẽ cắt nhau tại:

$$-0,937 = -0,439 - 0,059\text{pH}$$

$$\text{pH} = \frac{-0,937 + 0,439}{-0,059} = 8,44$$

Ở pH cao có sự tạo thành ion zincat tan:



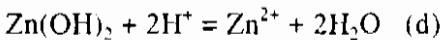
$$E_{\text{ZnO}_2^{2-}/\text{Zn}}^{\text{ch}} = E_{\text{ZnO}_2}^{(1)} + 0,0295 \lg \frac{[\text{ZnO}_2^{2-}][\text{H}^+]^4}{[\text{Zn}][\text{H}_2\text{O}]^2}$$

$$= E_{\text{ZnO}_2}^{(1)} + 0,0295 \times \lg [\text{ZnO}_2^{2-}] + 0,1180 \lg \text{H}^+$$

$$= E_{\text{ZnO}_2}^{(1)} + 0,0295 \times \lg [\text{ZnO}_2^{2-}] - 0,118\text{pH}$$

biểu diễn bằng đường *c*.

Kẽm hydroxyt có thể bị axit hoà tan:



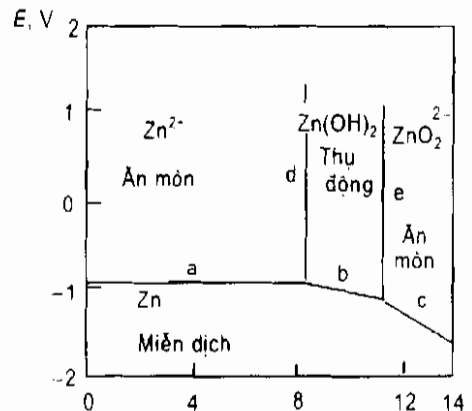
Hằng số cân bằng *K* của phản ứng trên:

$$K = \frac{[\text{Zn}^{2+}][\text{H}_2\text{O}]^2}{[\text{Zn}(\text{OH})_2][\text{H}^+]^2}$$

$$\lg K = \lg [\text{Zn}^{2+}] + 2\text{pH}$$

Đo bằng phương pháp hoá học được

$K = 7,58 \cdot 10^{11}$ và thay $[\text{Zn}^{2+}] = 10^{-6} \text{ M}$ ta có:

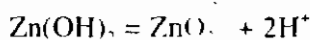


Hình 1.14. Giản đồ *E* – pH của kẽm trong nước

$$10,88 = -6 + 2\text{pH}$$

pH = 8,44 biểu diễn bằng đường thẳng góc d .

Tiếp tục tăng pH thì Zn(OH)_2 bị hoà tan thành ZnO_2^{2-}



Phản ứng này xảy ra ở pH = 10,88 đó chính là đường thẳng góc e .

1.6.4. Giải đồ Pourbaix của niken

Các phản ứng và các phương trình xảy ra trên điện cực Ni như sau.

1.6.4.1. Hệ thống Ni^{2+}/Ni :

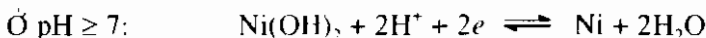


$$E_{\text{Ni}^{2+}/\text{Ni}}^{\text{ch}} = E_{\text{Ni}^{2+}/\text{Ni}}^0 + 0,03 \cdot \lg[\text{Ni}^{2+}]$$

Với $[\text{Ni}^{2+}] = 10^{-2} \text{ M}$, ta có:

$$E_{\text{Ni}^{2+}/\text{Ni}}^{\text{ch}} = E_{\text{Ni}^{2+}/\text{Ni}}^0 + 0,03(-2) = -0,3 \text{ V}$$

và biểu thị bằng đường 1 trên hình 1.15.



$$E_{\text{Ni(OH)}_2/\text{Ni}}^{\text{ch}} = E_{\text{Ni(OH)}_2/\text{Ni}}^0 + 0,03 \cdot \lg[\text{H}^+]^2$$

$$= E_{\text{Ni(OH)}_2/\text{Ni}}^0 - 0,06\text{pH}$$

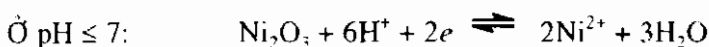
Để tính $E_{\text{Ni(OH)}_2}^0$ ta cho $E_{\text{Ni(OH)}_2/\text{Ni}}^{\text{ch}} = E_{\text{Ni}^{2+}/\text{Ni}}^{\text{ch}}$ tại pH = 7, tức là:

$$E_{\text{Ni(OH)}_2/\text{Ni}}^0 - 0,06\text{pH} = -0,3$$

$$E_{\text{Ni(OH)}_2/\text{Ni}}^0 = -0,3 + 0,06 \times 7 = 0,12 \text{ V}$$

Vậy $E_{\text{Ni(OH)}_2/\text{Ni}}^{\text{ch}} = -0,12 - 0,06\text{pH}$ và được biểu thị bằng đường 2 trên hình 1.15.

1.6.4.2. Hệ thống $\text{Ni}^{3+}/\text{Ni}^{2+}$



$$E_{\text{Ni}_2\text{O}_3/\text{Ni}^{2+}}^{\text{ch}} = E_{\text{Ni}_2\text{O}_3/\text{Ni}^{2+}}^0 + \frac{0,06}{2} \lg \frac{[\text{H}^+]^6}{[\text{Ni}^{2+}]^2}$$

Với $E^{\text{II}}_{\text{Ni}_2\text{O}_3/\text{Ni}^{2+}} = 1,74 \text{ V}$ và $\text{Ni}^{2+} = 10^{-2} \text{ M}$, ta có:

$$E^{\text{ch}}_{\text{Ni}_2\text{O}_3/\text{Ni}^{2+}} = 1,86 - 0,18\text{pH}$$

Phương trình này được thể hiện bằng đường thẳng 3 trên hình 1.15.

Ở $\text{pH} \geq 7$: $\text{Ni}_2\text{O}_3 + 4\text{H}^+ + 4e \rightleftharpoons \text{Ni}(\text{OH})_2 + \text{H}_2\text{O}$

$$E^{\text{ch}}_{\text{Ni}_2\text{O}_3/\text{Ni}(\text{OH})_2} = E^{\text{II}}_{\text{Ni}_2\text{O}_3/\text{Ni}(\text{OH})_2} + \frac{0,06}{4} \lg[\text{H}^+]^4$$

($\text{pH} = 7$): $E^{\text{ch}}_{\text{Ni}_2\text{O}_3/\text{Ni}(\text{OH})_2} = E^{\text{ch}}_{\text{Ni}_2\text{O}_3/\text{Ni}^{2+}}$

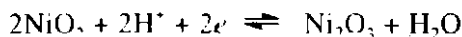
$$E^{\text{II}}_{\text{Ni}_2\text{O}_3/\text{Ni}^{2+}} + \frac{0,06}{4} \lg[\text{H}^+]^4 = 1,86 - 0,18\text{pH}$$

$$E^{\text{II}}_{\text{Ni}_2\text{O}_3/\text{Ni}^{2+}} - 0,06 \times 7 = 1,86 - 0,18 \times 7$$

$$E^{\text{II}}_{\text{Ni}_2\text{O}_3/\text{Ni}^{2+}} = 1,02 \text{ V}$$

Vậy $E^{\text{ch}}_{\text{Ni}_2\text{O}_3/\text{Ni}(\text{OH})_2} = 1,02 - 0,06\text{pH}$ và được thể hiện bằng đường 4 trên hình 1.15.

1.6.4.3. Hệ thống $\text{Ni}^{4+}/\text{Ni}^{3+}$



$$E^{\text{ch}}_{\text{NiO}_2/\text{Ni}_2\text{O}_3} = E^{\text{II}}_{\text{NiO}_2/\text{Ni}_2\text{O}_3} + \frac{0,06}{2} \lg[\text{H}^+]^2$$

$= 1,43 - 0,06\text{pH}$ và được thể hiện bằng đường 5 trên hình 1.15.

1.6.4.4. Sự chuyển hoá của Ni_2O_3

Hai đường 3 và 5 trên hình 1.15 cắt nhau ở pH_d sao cho:

$$1,86 - (0,18.\text{pH}_d) = 1,43 - (0,06.\text{pH}_d)$$

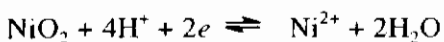
$$\text{pH}_d = 3,58$$

Ở $\text{pH} < 3,58$: $E^{\text{ch}}_{\text{Ni}_2\text{O}_3/\text{Ni}^{2+}} > E^{\text{ch}}_{\text{NiO}_2/\text{Ni}_2\text{O}_3}$

sẽ chuyển hoá theo phản ứng:



Chỉ có các phân tử Ni^{2+} và NiO_2 là tồn tại ở $\text{pH} > 3,58$. Chúng tham gia vào cân bằng:



$$E_{\text{NiO}_2/\text{Ni}^{2+}}^{\text{ch}} = E_{\text{NiO}_2/\text{Ni}^{2+}}^{\text{ti}} + 0,03 \lg \frac{[\text{H}^+]^4}{[\text{Ni}^{2+}]}$$

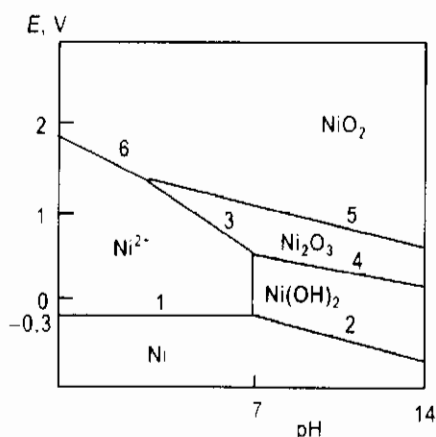
Ở pH = 3,58 thì điện thế của các cặp $\text{NiO}_2/\text{Ni}_2\text{O}_3$ và $\text{NiO}_2/\text{Ni}^{2+}$ bằng nhau nên:

$$\begin{aligned} 1,43 - (0,06 \times 3,58) &= \\ &= E_{\text{NiO}_2/\text{Ni}^{2+}}^{\text{ti}} + 0,06 - (0,12 \times 3,58) \end{aligned}$$

$$\text{Suy ra } E_{\text{NiO}_2/\text{Ni}^{2+}}^{\text{ti}} = 1,58.$$

$$\text{Vậy } E_{\text{NiO}_2/\text{Ni}^{2+}}^{\text{ch}} = 1,64 - 0,12\text{pH và}$$

được thể hiện bằng đường 6 trên hình 1.15.



Hình 1.15. Giản đồ E – pH của niken

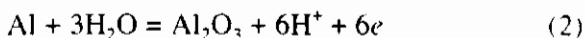
1.6.5. Giản đồ E – pH của nhôm

Các phản ứng sau đây sẽ xảy ra và các phương trình cho E_{ch} và pH kèm theo:



$$E_{\text{Al}^{3+}/\text{Al}}^{\text{ch}} = -1,66 + \frac{0,059}{3} \lg[\text{Al}^{3+}]$$

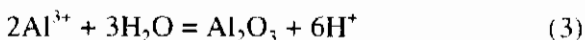
Khi $[\text{Al}^{3+}] = 10^{-6}$ M thì $E_{\text{Al}^{3+}/\text{Al}}^{\text{ch}} = -1,78$ V tại mọi pH, tương ứng với đường 1 trên hình 1.16.



$$E_{\text{Al}_2\text{O}_3/\text{Al}}^{\text{ch}} = 1,55 - 0,059\text{pH}$$

trong đó $1,55 = E_{\text{Al}_2\text{O}_3/\text{Al}}^{\text{ti}}$ biểu thị bằng đường 2 trên hình 1.16.

Đường 1 và 2 cắt nhau tại pH mà lớn hơn pH đó Al^{3+} phản ứng với nước:



Tương tự dưới pH đó Al_2O_3 hoà tan thành Al^{3+} .

Ta có thể tính pH, tại đó hai đường 1 và 2 gặp nhau như sau:

Biết hằng số cân bằng của phản ứng (3) ở trên là:

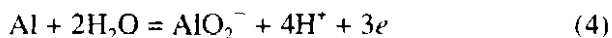
$$K = \frac{[\text{H}]^6}{[\text{Al}^{3+}]^2} = 10^{-11,4}$$

Với $[Al^{3+}] = 10^{-6} M$

$$\lg K = 6\lg[H^+] - 2\lg[Al^{3+}] = -6pH - 2\lg[Al^{3+}]$$

$$pH = \frac{11,4}{6} + \frac{6}{3} = 3,9$$

Phương trình trên được biểu diễn bằng đường 3 trên hình 1.16.

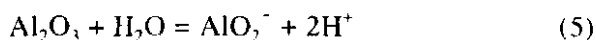


$$E_{AlO_2^-/Al}^{ch} = E_{AlO_2^-/Al}^0 + \frac{0,059}{3} \lg[AlO_2^-] - \frac{4}{3} \times 0,059pH$$

$$= 1,262 + 0,0196 \lg[AlO_2^-] - 0,079pH$$

Phương trình này được biểu thị bằng đường 4 trên hình 1.16.

Ở pH cao Al_2O_3 bị hoà tan thành anion aluminat AlO_2^-

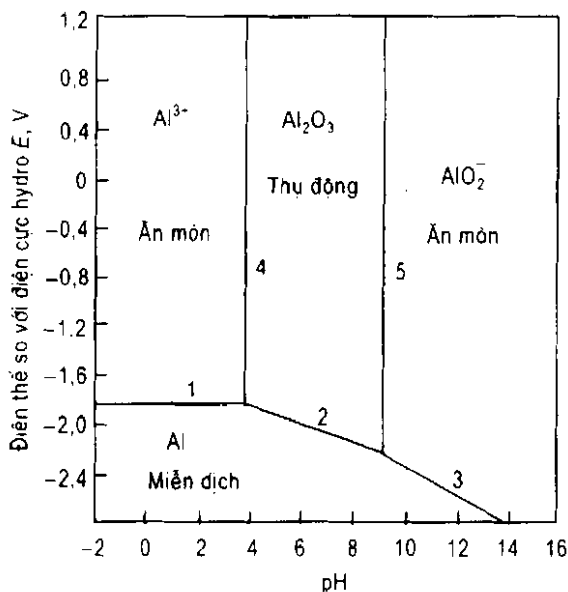


$$pH = 14,6 + \lg[AlO_2^-]$$

Khi $[AlO_2^-] = 10^{-6} M$ thì $pH = 8,6$ biểu thị bằng đường thẳng góc 5 trên hình 1.16, phân cách hai vùng:

$pH < 8,6$ Al_2O_3 bền

$pH > 8,6$ AlO_2^- bền.



Hình 1.16. Giản đồ $E - pH$ của nhôm

Chương 2

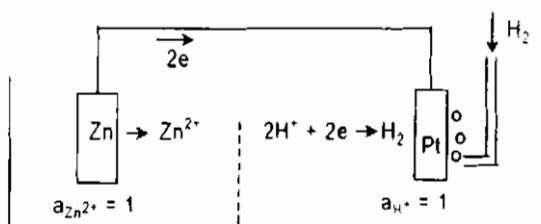
ĐỘNG HỌC QUÁ TRÌNH ĂN MÒN ĐIỆN HOÁ

2.1. SỰ PHÂN CỰC

2.1.1. Sự phân cực và quá thế

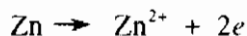
Xét một bình điện hoá (hình 2.1) gồm:

- Một điện cực bằng kẽm (Zn) nhúng trong dung dịch muối kẽm có hoạt độ $a_{Zn^{2+}} = 1$.
- Một điện cực bằng bạch kim (Pt) nhúng trong dung dịch axit có $a_{H^+} = 1$ (điện cực hydro).

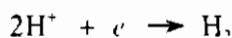


Hình 2.1. Bình điện hoá kẽm - hydro

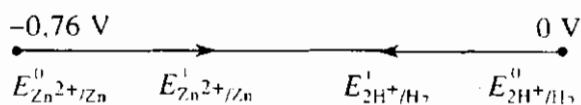
Nối hai điện cực thì trên cực bên trái sẽ xảy ra sự oxy hoá kẽm:



Còn trên cực bên phải (Pt) xảy ra quá trình khử hydro:



Trên dây dẫn nối hai điện cực có một dòng điện chạy qua. Lúc này điện thế trên hai điện cực kẽm và hydro sẽ khác với giá trị điện thế điện cực tiêu chuẩn (vì $a_{H^+} = 1$ và $a_{Zn^{2+}} = 1$) ghi trong bảng 1.1, bởi vì hệ thống đã có dòng điện chạy qua, không còn ở trạng thái cân bằng nữa:



Sự dịch chuyển điện thế điện cực khỏi giá trị cân bằng khi có dòng điện i đi qua gọi là sự phân cực và mức độ của sự dịch chuyển đó gọi là quá thế η :

$$\eta = E_i - E^{ch} \quad (2.1)$$

trong đó E_i - điện thế điện cực khi có dòng đi qua, V;

E^{ch} - điện thế điện cực ở trạng thái cân bằng, V.

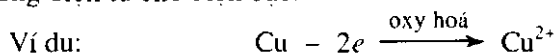
Giả sử khi nối mạch điện cực kẽm có điện thế $E_i^{Zn} = -0,621$ V thì ta tính được:

$$\eta = E_i^{Zn} - E_{Zn^{2+}/Zn}^{ch} = -0,621 - (-0,76) = 0,139 \text{ V}$$

Khi E_i dương hơn E^{ch} ta có phân cực anốt và quá thế anốt $\eta_a = 0$, phản ứng trên điện cực chủ yếu sẽ là *phản ứng oxy hoá*. Khi E_i âm hơn E^{ch} ta có phân cực catốt và quá thế catốt $\eta_c < 0$, phản ứng trên điện cực chủ yếu sẽ là *phản ứng khử*.

2.1.2. Quá trình anốt và catốt

Quá trình anốt là quá trình oxy hoá điện hoá, trong đó chất phản ứng nhường điện tử cho điện cực.



Phản ứng chỉ xảy ra theo chiều oxy hoá, nếu quá thế là dương tức là:

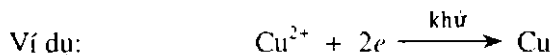
$$E_i^a - E_{ch}^a = \eta_a > 0$$

Điện cực trên đó xảy ra quá trình oxy hoá gọi là anốt.

Anốt là cực dương (+) trong quá trình điện phân.

Anốt là cực âm (-) trong các nguồn điện hoá học và trong pin ăn mòn.

Quá trình catốt là quá trình khử điện hoá, trong đó chất phản ứng nhận điện tử do điện cực nhường cho.



Phản ứng điện hoá chỉ xảy ra theo chiều khử, nếu quá thế là âm tức là có phân cực catốt

$$E_i^c - E_{ch}^c = \eta_c < 0$$

Điện cực trên đó xảy ra quá trình khử gọi là catốt.

Catốt là cực âm (-) trong quá trình điện phân.

Catốt là cực dương (+) trong nguồn điện hoá học và trong pin ăn mòn.

2.1.3. Tốc độ của phản ứng điện hoá

Tốc độ của phản ứng điện hoá tỷ lệ với lượng điện từ chuyển vận trên bề mặt điện cực tức là tỷ lệ với *mật độ dòng điện* i .

Mật độ dòng điện i là cường độ dòng điện đi qua một đơn vị bề mặt điện cực.

$$i = \frac{\text{Cường độ dòng điện } I \text{ đi qua hệ thống điện hoá}}{\text{Diện tích bề mặt điện cực } S}$$

Thứ nguyên của i là A/m^2 ; A/dm^2 ...

Mật độ dòng điện anốt i_a tương ứng với quá trình oxy hoá, được qui ước là dương ($i_a > 0$).

Mật độ dòng điện catốt i_c tương ứng với quá trình khử, được qui ước là âm ($i_c < 0$).

$$nF.v_{\text{oxy hoá}} = i_a = -nF.v_{\text{khử}} = -i_c = i$$

$v_{\text{oxy hoá}}, v_{\text{khử}}$ - tốc độ oxy hoá và khử.

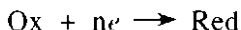
Trong một phản ứng điện hoá, tỷ lệ giữa cường độ dòng điện và khối lượng m của sản phẩm phản ứng tuân theo định luật Faraday:

$$m = \frac{ItA}{nF} = \frac{iSA t}{nF} \quad (2.2)$$

trong đó S - diện tích;
 A - trọng lượng nguyên tử;
 t - thời gian, s;
 n - hoá trị của chất phản ứng;
 F - hằng số Faraday, $F = 96500 \text{ C}$.

2.1.4. Nguyên nhân gây ra phân cực

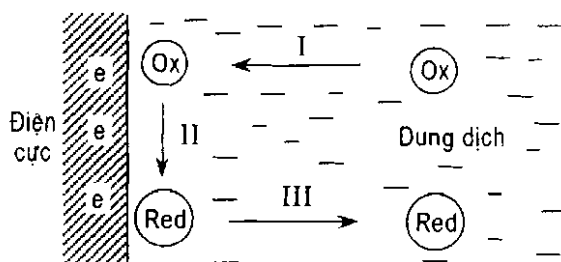
Quá trình xảy ra trên điện cực là quá trình dị thể gồm một số giai đoạn nối tiếp. Xét phản ứng catốt của quá trình ăn mòn:



Ox - chất oxy hoá (có thể là H^+ , O_2 ...);

Red - sản phẩm khử.

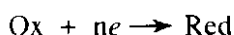
Phản ứng gồm những giai đoạn sau:



Hình 2.2. Các giai đoạn của phản ứng

- Giai đoạn I: Chất Ox khuếch tán từ dung dịch đến bề mặt điện cực do chênh lệch nồng độ.

- Giai đoạn II: Chất Ox ở sát bề mặt điện cực trao đổi điện tử với điện cực tạo thành chất Red (giai đoạn chuyển điện tích):



- Giai đoạn III: Chất Red tích tụ ở bề mặt điện cực khuếch tán vào trong lòng dung dịch.

Như vậy phản ứng chuyển hoá Ox thành Red gồm nhiều giai đoạn nối tiếp và tốc độ của nó bị kìm hãm bởi tốc độ của giai đoạn chậm nhất.

Sự xuất hiện của phân cực cũng liên quan trực tiếp với giai đoạn chậm nhất.

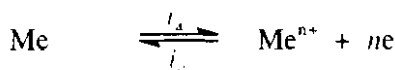
Phân cực gây nên bởi sự chậm trễ chuyển điện tích gọi là phân cực kích động hay là *phân cực điện hoá*.

Phân cực gây nên bởi sự chậm khuếch tán vật chất đến điện cực hoặc từ điện cực đi ra gọi là *phân cực nồng độ*.

2.1.5. Phân cực điện hoá

2.1.5.1. Năng lượng hoạt hoá

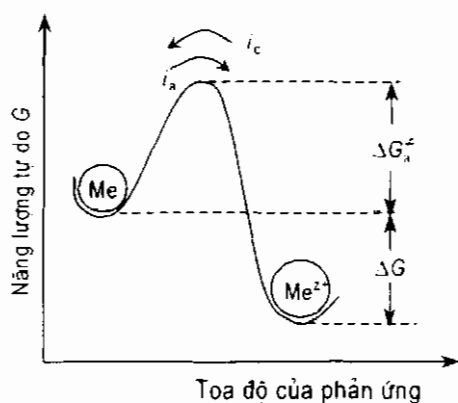
Nhúng một thanh kim loại Me vào trong dung dịch. Giả thiết kim loại Me có hoá trị n thì chúng ta có phản ứng sau khi nó bị ăn mòn:



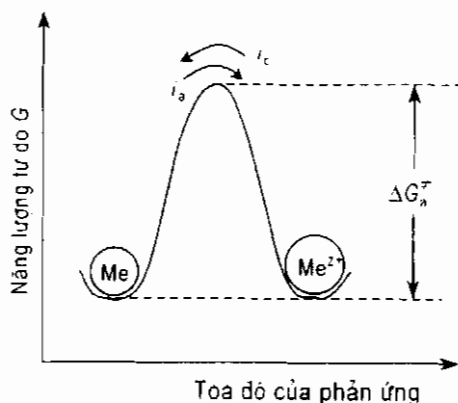
(tương đương với dạng Red)

(tương đương với dạng Ox)

Ta có thể hình dung sơ đồ năng lượng của phản ứng trên như hình 2.3.



Hình 2.3. Sơ đồ năng lượng của kim loại nhúng trong dung dịch chất điện giải

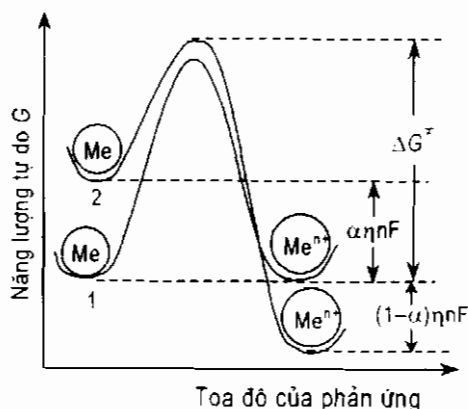


Hình 2.4. Sơ đồ năng lượng của kim loại nhúng trong dung dịch khi có cân bằng

Môi trường điện giải cung cấp cho kim loại Me năng lượng để vượt qua hàng rào năng lượng ΔG_a^z và tạo nên ion Me^{n+} . Kim loại Me bị ăn mòn, nồng độ của Me^{n+} trong dung dịch tăng lên. Hàng rào năng lượng ΔG_a^z còn có tên là năng lượng hoạt hoá. Khi ion Me^{n+} có mặt trong dung dịch thì nó có thể vượt qua hàng rào năng lượng $\Delta G + \Delta G_a^z$ để kết tủa lại thành kim loại Me. Nhưng phản ứng nghịch này có hàng rào năng lượng lớn hơn. Tuy nhiên khi nồng độ ion Me^{n+} trong dung dịch càng tăng thì ΔG giảm dần và tiến tới không khi có cân bằng (hình 2.4).

Khi đạt tới trạng thái cân bằng thì $i_a = |i_c|$, dòng điện đo được sẽ là i_{do} được $= i_a - i_c$ và thực tế không có dòng điện đi trong mạch. Thực ra vẫn có dòng điện đi qua nhưng chúng bằng nhau và ngược chiều nên không thể đo được. Dòng điện này gọi là dòng điện trao đổi hoặc mật độ dòng trao đổi i_0 (khi chia cho diện tích điện cực):

$$i_a = |i_c| = i_0 \quad (2.3)$$

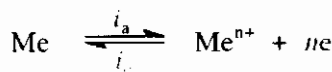


Hình 2.5. Sơ đồ năng lượng của một anot:

- 1- trạng thái cân bằng;
- 2- áp đặt quá thế $\eta > 0$

2.1.5.2. Công thức Butler - Volmer

Áp dụng lý thuyết tốc độ tuyệt đối cho phản ứng hoà tan anốt của kim loại:



ta có:

$$\overleftarrow{i} = i_c = -nF \frac{kT}{h} e^{-\overleftarrow{\Delta G^\ddagger}/RT} \cdot C_{\text{Me}^{2+}}$$

$$\overrightarrow{i} = i_a = nF \frac{kT}{h} e^{-\overrightarrow{\Delta G^\ddagger}/RT} \cdot C_{\text{Me}}$$

trong đó k - hằng số Boltzmann;

h - hằng số Planck;

$C_{\text{Me}^{n+}}, C_{\text{Me}}$ - nồng độ ion Me^{n+} và Me ; C_{Me} coi như bằng hằng số;

$\overrightarrow{\Delta G^\ddagger}, \overleftarrow{\Delta G^\ddagger}$ - năng lượng hoạt hoá của phản ứng anốt và catốt.

Tại cân bằng $\overrightarrow{i} = |\overleftarrow{i}| = i_0$ và $\overrightarrow{\Delta G^\ddagger} = \overleftarrow{\Delta G^\ddagger} = \Delta G^\ddagger$ (đường 1, hình 2.5).

Khi áp đặt một quá thế $\eta > 0$ thì thuận lợi cho phản ứng anốt, năng lượng hoạt hoá của nó giảm:

$$\overrightarrow{\Delta G^\ddagger} = \Delta G^\ddagger - \alpha nF\eta < \Delta G^\ddagger$$

α - hệ số chuyển điện tích của quá trình anốt.

Còn phản ứng catốt bị cản trở, năng lượng hoạt hoá của nó tăng:

$$\overleftarrow{\Delta G^\ddagger} = \Delta G^\ddagger + (1 - \alpha)nF\eta$$

trong đó $(1 - \alpha)$ là hệ số chuyển điện tích của quá trình catốt.

Vậy

$$i_a = K_1 e^{-\overrightarrow{\Delta G^\ddagger}/RT} e^{\alpha nF\eta/RT}$$

$$K_1 = nF \frac{kT}{h} \cdot C_{\text{Me}}$$

$$i_c = -K_2 e^{-\overleftarrow{\Delta G^\ddagger}/RT} e^{-(1-\alpha)nF\eta/RT} \cdot C_{\text{Me}^{n+}}$$

$$K_2 = nF \frac{kT}{h}$$

Tại điện thế cân bằng, $\eta = 0$ ta có:

$$i_0 = i_a = |i_c| = K_1 e^{-\Delta G^\ddagger/RT} = K_2 e^{-\Delta G^\ddagger/RT} \cdot C_{\text{Me}^{n+}}$$

Do đó:

$$i_c = -i_0 e^{-(1-\alpha)nF\eta/RT} \quad (2.4)$$

$$i_a = i_0 e^{\alpha n F \eta_a / RT} \quad (2.5)$$

Dòng điện tổng: $i = i_a + i_c$

$$i = i_0 (e^{\alpha n F \eta_a / RT} - e^{-(1-\alpha) n F \eta_a / RT}) \quad (2.6)$$

Đây là công thức Butler - Volmer.

2.1.5.3. Đường cong phân cực

Xét ba trường hợp sau:

a) Quá thế dương tương đối lớn

Quá trình anot xảy ra là chủ yếu, quá trình catôt coi như bỏ qua ($i_c \approx 0$). Từ công thức Butler - Volmer ta có thể viết:

$$i = i_a = i_0 e^{\alpha n F \eta_a / RT}$$

$$\eta_a = \frac{RT}{\alpha n F} \ln \frac{i_a}{i_0} = \frac{2,3RT}{\alpha n F} \lg \frac{i_a}{i_0} = \beta_a \lg \frac{i_a}{i_0}$$

trong đó $\beta_a = \frac{2,3RT}{\alpha n F}$.

b) Quá thế âm tương đối lớn về giá trị tuyệt đối

Quá trình catôt xảy ra là chủ yếu, quá trình anot coi như không đáng kể ($i_a \approx 0$).

$$|i_c| = i_0 e^{-(1-\alpha) n F \eta_c / RT}$$

$$\eta_c = -\frac{RT}{(1-\alpha) n F} \ln \frac{|i_c|}{i_0} = -\frac{2,3RT}{(1-\alpha) n F} \lg \frac{|i_c|}{i_0}$$

$$= -\beta_c \lg \frac{|i_c|}{i_0}$$

trong đó $\beta_c = \frac{2,3RT}{(1-\alpha) n F}$.

Khi $\alpha = 0,5$ thì $\beta_a = \beta_c = \beta$.

Tổng quát ta có thể viết:

$$\eta = \pm \beta \lg \frac{|i|}{i_0} \quad (2.7)$$

Dấu + ứng với quá trình anot.

Dấu - ứng với quá trình catôt.

$\pm\beta$ là độ dốc của đường thẳng Tafel biểu diễn quan hệ $\eta = f(\lg |i|)$.

c) Ở quá thế $|\eta|$ nhỏ

Từ phương trình Butler - Volmer ta có thể khai triển thành chuỗi:

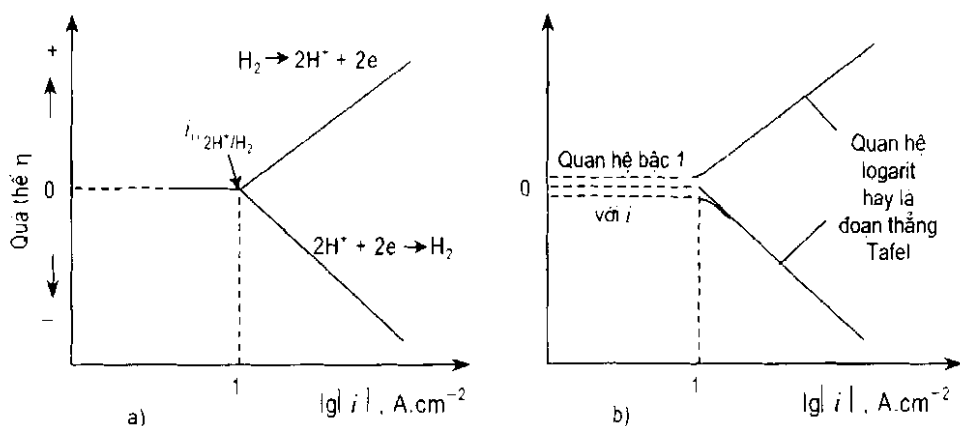
$$\eta = 1 + \frac{\alpha n F \eta}{RT} - \left[1 - \frac{(1 - \alpha) n F \eta}{RT} \right]$$

$$\eta = \frac{RT}{nF} \frac{i}{i_0} \quad (2.8)$$

Tức là giữa quá thế và mật độ dòng điện có quan hệ đường thẳng (tất nhiên trong trường hợp $|\eta|$ nhỏ thì quan hệ giữa quá thế và $\lg i$ không phải là đường thẳng).

Như vậy đường biểu diễn quan hệ giữa quá thế (hay điện thế) vào $\lg |i|$ sẽ là đường thẳng khi $|\eta|$ lớn và là đường cong khi $|\eta|$ nhỏ. Đường biểu diễn đó có tên là *đường cong phân cực*.

Hình 2.6 trình bày đường cong phân cực của phản ứng.



Hình 2.6. Đường cong phân cực của phản ứng $2H^+ + 2e \rightleftharpoons H_2$:

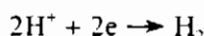
a- khi mật độ dòng lớn; b: mật độ dòng lớn (đường liền); mật độ dòng nhỏ (đường đứt)

Ta thấy khi η lớn thì quan hệ giữa η và $\lg i$ là đường thẳng (đường liền trên hình 2.5a, b), còn khi η nhỏ thì là đường cong (đường đứt trên hình 2.5b).

2.1.6. Phân cực nồng độ

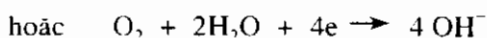
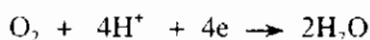
Tại mật độ dòng catốt lớn, nồng độ của chất oxy hoá ở sát bề mặt điện cực catốt giảm nhanh chóng do khuếch tán không kịp bù đắp lượng chất oxy hoá bị khử ở catốt.

Ví dụ khi phản ứng catốt là khử ion H^+ :



thì nồng độ ion H^+ ở catốt giảm xuống.

Còn với phản ứng:



thì nồng độ O_2 ở lớp sát catốt giảm xuống.

Hình 2.7 biểu diễn sự thay đổi của nồng độ chất phản ứng ở catốt theo khoảng cách đến điện cực.

Khi chưa có dòng điện đi qua thì nồng độ chất phản ứng không thay đổi theo khoảng cách đến điện cực và bằng nồng độ ban đầu C^0 của chất phản ứng.

Khi có dòng điện qua mạch thì nồng độ lớp sát catốt $C_{x=0}$ giảm xuống nhỏ hơn C^0 và nảy sinh gradient nồng độ dC/dx . Chiều dày δ của khu vực có nồng độ thay đổi được gọi là chiều dày lớp khuếch tán (hình 2.7).

Giữa gradient nồng độ và lượng vật chất khuếch tán có mối quan hệ:

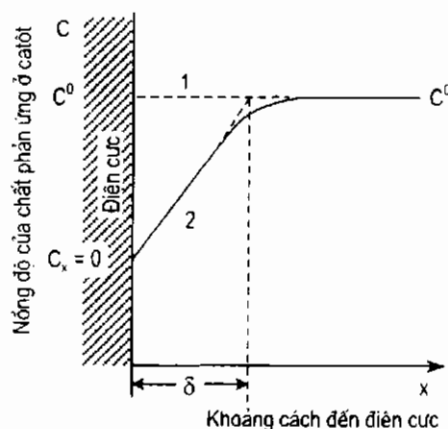
$$J = -D \frac{dC}{dx} \quad (2.9)$$

trong đó J - lượng vật chất khuếch tán;

D - hệ số khuếch tán.

Phương trình trên là định luật Fick thứ nhất về khuếch tán.

Kết hợp với định luật Faraday về điện phân, ta có:



Hình 2.7. Biến thiên nồng độ chất phản ứng ở catốt theo khoảng cách đến điện cực:

1- khi chưa có dòng điện $|i_c| = 0$;

2- khi có dòng điện

$$i = nFJ = -nFD \frac{dC}{dx}$$

n - hoá trị của ion.

Để đơn giản hoá ta thừa nhận gradient nồng độ có quan hệ bậc 1 và ta thay $\frac{dC}{dx}$ bằng $\frac{C^0 - C}{\delta}$ thì:

$$i = -nF \frac{D}{\delta} (C^0 - C) \quad (2.10)$$

Khi $C = 0$ thì mật độ dòng i sẽ lớn nhất và được gọi là mật độ dòng điện giới hạn i_L :

$$i_L = -nF \frac{D}{\delta} C^0 \quad (2.11)$$

Khi không có dòng điện đi qua thì điện thế điện cực cân bằng sẽ tuân theo phương trình Nernst (ở 25°C):

$$E^{cb} = E^0 + \frac{0,059}{n} \lg C^0$$

Khi có dòng điện đi qua thì nồng độ giảm từ C^0 xuống C :

$$E_c = E^0 + \frac{0,059}{n} \lg C$$

Quá thế

$$\begin{aligned} \eta_{\text{nồng độ}} &= E_c - E^{cb} \\ \eta_{\text{nồng độ}} &= \frac{0,059}{n} \lg \frac{C}{C^0} \end{aligned} \quad (2.12)$$

Từ công thức (2.10) và (2.11) rút ra:

$$\frac{C}{C^0} = \left(1 - \frac{i}{i_L}\right) \quad (2.13)$$

Thế (2.13) vào (2.12) ta có:

$$\eta_{\text{nồng độ}} = \frac{0,059}{n} \lg \left(1 - \frac{i}{i_L}\right) \quad (2.14)$$

$\eta_{\text{nồng độ}}$ được gọi là quá thế nồng độ hay là phân cực nồng độ.

Từ phương trình (2.14) ta thấy khi $i \rightarrow i_L$ thì $\eta_{\text{nồng độ}}$ tiến tới $-\infty$.

Hình 2.8 biểu diễn mối quan hệ giữa quá thế nồng độ $\eta_{\text{nồng độ}}$ và logarit mật độ dòng điện khi có sự chậm trễ khuếch tán.

Ta thấy rằng đầu tiên quá thế nồng độ $\eta_{\text{nồng độ}}$ thay đổi không đáng kể theo logarit của mật độ dòng điện, nhưng khi mật độ dòng điện đạt tới giá trị giới hạn (i_L) thì $\eta_{\text{nồng độ}}$ thay đổi đột ngột.

Phương trình (2.14) giải thích dễ dàng điều này:

Khi $i_c \rightarrow i_L$ thì $\eta_{\text{nồng độ}} \rightarrow -\infty$

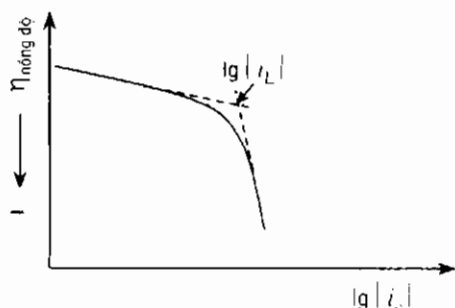
2.1.7. Phân cực hỗn hợp

Đôi khi cả phân cực điện hoá lẫn phân cực nồng độ đều có ảnh hưởng đến phân cực điện cực. Khi đó quá thế của quá trình điện cực sẽ là tổng của hai quá thế kể trên:

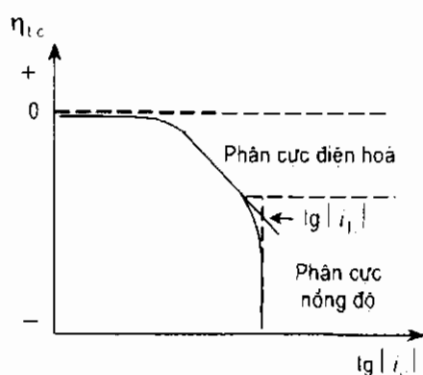
$$\eta_{t,c} = \eta_{\text{điện hoá}} + \eta_{\text{nồng độ}}$$

$$\eta_{t,c} = -\beta_c \lg \frac{|i_c|}{i_0} + \frac{2,3RT}{nF} \lg \left(1 - \frac{i}{i_L} \right) \quad (2.15)$$

Hình 2.9 trình bày sự phụ thuộc quá thế tổng cộng $\eta_{t,c}$ vào logarit của mật độ dòng điện.



Hình 2.8. Quan hệ giữa quá thế nồng độ và logarit của mật độ dòng điện ($\lg |i|$)

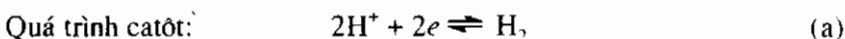


Hình 2.9. Sự phụ thuộc quá thế tổng cộng $\eta_{t,c}$ vào logarit của mật độ dòng điện

2.2. ĐIỆN THẾ HỖN HỢP VÀ TỐC ĐỘ ĂN MÒN

2.2.1. Trường hợp cả phản ứng catôt lẫn anôt đều bị kìm hãm bởi phân cực điện hoá

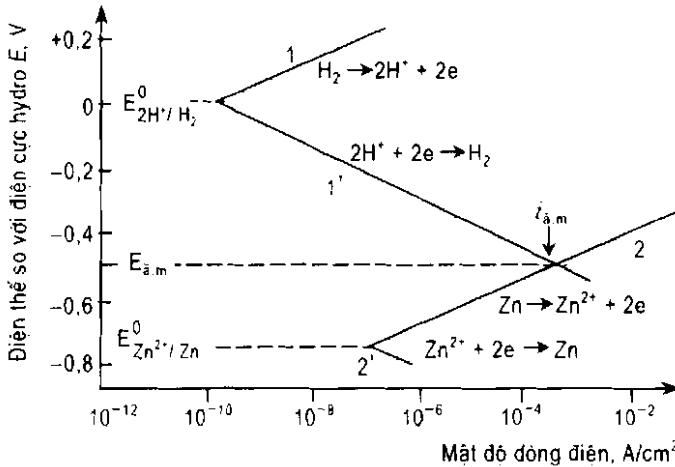
Ví dụ, sự ăn mòn của kẽm nhúng trong dung dịch axit. Quá trình xảy ra như sau:



Quá trình anôt, kẽm bị oxy hoá:



Ở đây không có sự tích tụ điện tích. Tất cả điện tử sinh ra từ phản ứng oxy hoá hoà tan kẽm (b) sẽ được phản ứng khử hydro (a) tiêu thụ hết, nghĩa là tốc độ oxy hoá i_a và tốc độ khử $|i_c|$ bằng nhau. Hình 2.10 trình bày các đường cong phân cực của hai phản ứng (a) và (b) ở trên.



Hình 2.10. Đường cong phân cực của sự ăn mòn kẽm trong dung dịch axit:

- 1, 1' - đường cong phân cực anốt và catốt của phản ứng $2\text{H}^+ + 2e \rightleftharpoons \text{H}_2$;
- 2, 2' - đường cong phân cực anốt và catốt của phản ứng $\text{Zn} \rightleftharpoons \text{Zn}^{2+} + 2e$

Các đường 1', 2 là các đường cong phân cực của quá trình ăn mòn kẽm trong môi trường axit. Như đã nói, trong quá trình ăn mòn tốc độ oxy hoá và khử phải bằng nhau. Điều này chỉ xảy ra khi hai đường 1' và 2 cắt nhau. Sự cắt nhau của hai đường đó xảy ra tại điện thế hỗn hợp hay còn gọi là điện thế ăn mòn $E_{a.m}$ và mật độ dòng ăn mòn $i_{a.m}$.

Giữa mật độ dòng ăn mòn và tổn thất trọng lượng có quan hệ sau:

$$P_{tl} = \frac{1}{F} \cdot \frac{A}{n} \cdot i_{a.m} \cdot t \quad , \quad \text{mg/dm}^2 \cdot \text{ngày đêm} \quad (2.16)$$

trong đó A - nguyên tử lượng của kim loại, g;

$i_{a.m}$ - mật độ dòng ăn mòn, mA/dm²;

t - thời gian (1 ngày đêm = 24×3600 s);

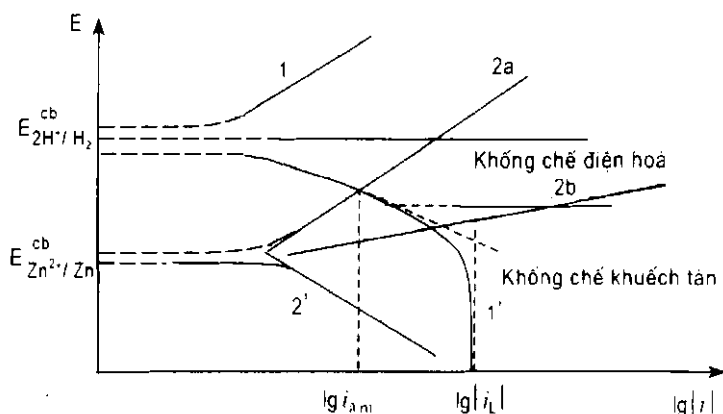
n - hoá trị của kim loại.

2.2.2. Trường hợp quá trình catốt khử hydro

Trường hợp này vừa có phản cực điện hoá, vừa có phản cực nồng độ, còn quá trình anốt oxy hoá (ăn mòn kim loại) kim loại thì có phản cực điện hoá

Trên hình 2.11 ta thấy mật độ dòng điện ăn mòn luôn nhỏ hơn hoặc bằng mật độ dòng giới hạn cho dù độ dốc của đường cong phản cực anốt của sự hoà tan kẽm (đường 2a và 2b) bị thay đổi:

$$i_{a.m} \leq i_L \quad (2.17)$$



Hình 2.11. Đường cong phân cực của sự ăn mòn kẽm trong dung dịch axit khi quá trình catốt khử hydro (1') bị không chế điện hoá và khuếch tán

2.2.3. Ảnh hưởng của mật độ dòng trao đổi $i_{0,H}^{Me}$ và $i_{0,Me}$

Mật độ dòng điện trao đổi của mỗi phản ứng nửa pin đều ảnh hưởng rất nhiều đến tốc độ ăn mòn.

Ví dụ: $E_{Fe^{2+}/Fe}^0 = -0,44$ V; $E_{Zn^{2+}/Zn}^0 = -0,76$ V; $E_{2H^+/H_2}^0 = 0,00$ V;

Sức điện động của pin ăn mòn sắt với quá trình catốt khử ion H^+ là:

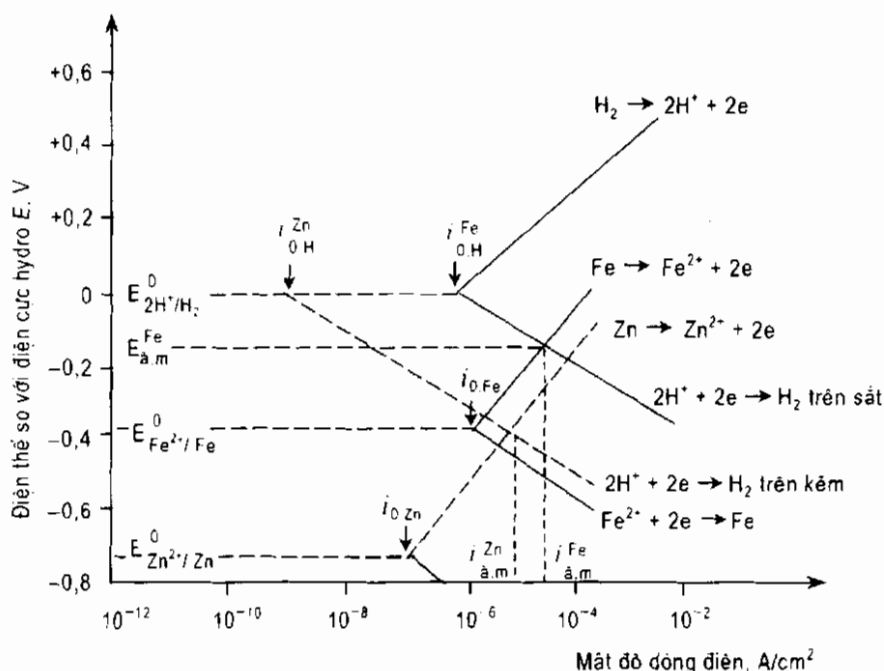
$$E^{sắt} = 0,00 - (-0,44) = 0,44$$
 V

và của pin ăn mòn kẽm tương ứng là:

$$E^{kẽm} = 0,00 - (-0,76) = 0,76$$
 V

Như vậy $E^{kẽm} > E^{sắt}$ và người ta có thể nghĩ rằng tốc độ ăn mòn của kẽm lớn hơn của sắt trong môi trường axit.

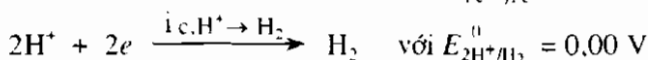
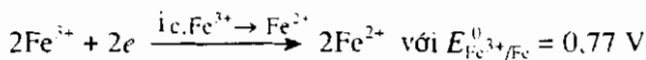
Nhưng trong thực tế thì tốc độ ăn mòn của sắt lại hơi lớn hơn của kẽm một chút vì mật độ dòng trao đổi $i_{0,H}^{Zn}$ của phản ứng oxy hoá - khử của hydro trên kẽm nhỏ hơn mật độ dòng trao đổi của phản ứng đó trên sắt $i_{0,H}^{Fe}$. Hơn thế nữa mật độ dòng trao đổi của sự oxy hoá - khử kẽm $i_{0,Zn}$ cũng nhỏ hơn $i_{0,Fe}$ của sắt.



Hình 2.12. Ảnh hưởng của mật độ dòng trao đổi đến tốc độ ăn mòn

2.2.4. Ảnh hưởng của sự bổ sung chất oxy hoá

Tốc độ ăn mòn sẽ tăng lên khi cho thêm các chất oxy hoá có điện thế dương hơn của hydro. Ví dụ, trong dung dịch axit có thêm chất oxy hoá Fe^{3+} thì sẽ có hai phản ứng catốt:



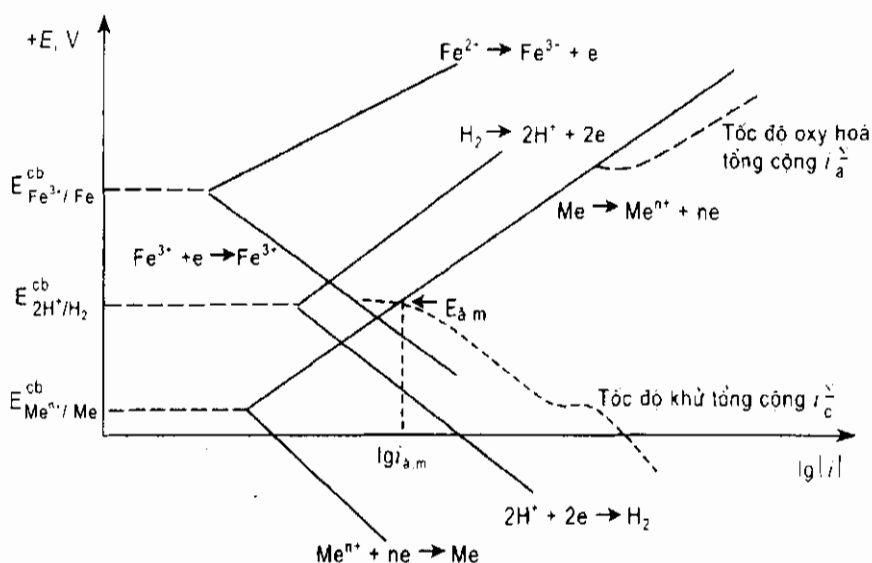
Theo định luật về bảo toàn điện tích thì tại điện thế ăn mòn, mật độ dòng oxy hoá hoà tan kim loại Me phải bằng mật độ dòng tổng cộng của hai quá trình trên:

$$i_{c, Me} \rightarrow Me^{n+} = | i_{c, H^+} \rightarrow H_2 + i_{c, Fe^{3+}} \rightarrow Fe^{2+} |$$

Vì điện thế của quá trình khử $Fe^{3+} \rightarrow Fe^{2+}$ dương hơn của quá trình khử $2H^+ \rightarrow H_2$ nên trước khi đạt tới điện thế E_{2H^+/H_2}^{cb} thì mật độ dòng điện của quá trình khử (catốt) chỉ là $i_{c, Fe^{3+}} \rightarrow Fe^{2+}$. Từ điện thế âm hơn E_{2H^+/H_2}^{cb} ta phải cộng thêm dòng khử của hydro. Mật độ dòng điện tổng cộng sẽ đi theo đường đứt (hình 2.13) cho đến khi đạt điện thế $E_{Me^{n+}/Me}^{cb}$ thì lại phải cộng thêm mật độ dòng khử $i_{c, Me^{n+}} \rightarrow Me$ của phản ứng: $Me^{n+} + ne \rightarrow Me$.

Ta cũng làm tương tự với mật độ dòng oxy hoá tổng cộng.

Điện thế ăn mòn $E_{a,m}$ được xác định bằng giao điểm của hai đường oxy hoá và khử tổng cộng (hình 2.13).

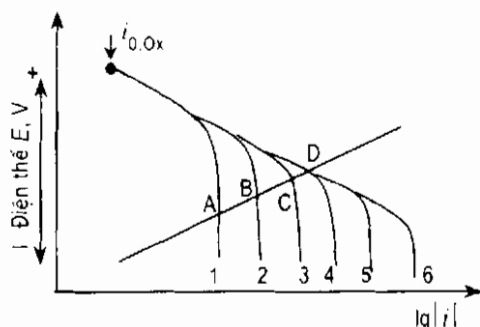


Hình 2.13. $E_{a,m}$ và $i_{a,m}$ trong dung dịch axit có chứa chất oxy hoá thứ hai Fe^{3+}

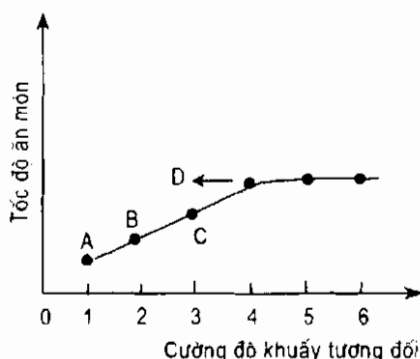
2.2.5. Ảnh hưởng của khuấy trộn

Trong trường hợp có phân cực nồng độ, mật độ dòng giới hạn sẽ tăng lên khi có khuấy trộn làm giảm chiều dày lớp khuếch tán δ . Tốc độ ăn mòn vì thế cũng tăng lên (hình 2.14 a và b).

Trên hình 2.14 các số 1, 2, 3, 4, 5, 6 biểu thị các đường cong phân cực catôt khi tăng cường độ khuấy từ 1 đến 6. Các chữ A, B, C, D biểu thị các điểm cắt nhau của đường cong phân cực anôt ($Me \rightarrow Me^{n+} + ne$) với các đường cong phân cực catôt.



Hình 2.14a. Ảnh hưởng của khuấy trộn đến mật độ dòng điện giới hạn i_l khi có phân cực hỗn hợp



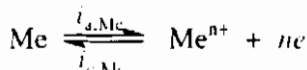
Hình 2.14b. Ảnh hưởng của khuấy trộn đến tốc độ ăn mòn khi có phân cực hỗn hợp

2.3. ĐỘNG HỌC QUÁ TRÌNH AN MÒN ĐỀU KIM LOẠI VỚI PHẢN ỨNG CATÔT LÀ KHỬ ION H^+ (MÔI TRƯỜNG AXIT)

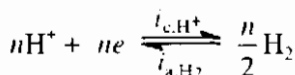
2.3.1. Cơ chế thoát hydro

Trong môi trường axit thì quá trình ăn mòn xảy ra theo các phản ứng sau:

Phản ứng anôt:



Phản ứng catôt:



Ngoài ra còn có thể có phản ứng:

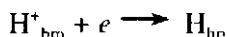


Phản ứng thoát hydro $2H^+ + 2e \rightarrow H_2$ có thể bao gồm các giai đoạn sau:

- Khuếch tán ion H^+ từ dung dịch đến bề mặt kim loại:

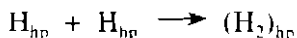


- Ion H_{bm}^+ nhận điện tử để trở thành nguyên tử H hấp phụ:



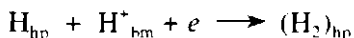
Ta gọi phản ứng này là phản ứng chuyển điện tích Volmer.

- Tái kết hợp các nguyên tử hydro hấp phụ theo cơ chế hoá học:



Phản ứng này là phản ứng Tafel.

- Tái kết hợp nguyên tử hydro theo cơ chế điện hoá kiểu Herovski:



2.3.1.1. Cơ chế khống chế khuếch tán

Tốc độ phóng điện của ion H^+ :

$$i_H = F \frac{D_{H^+}}{\delta} (C_{H^+}^{bm} - C_{H^+}^0)$$

$C_{H^+}^{bm}$ - nồng độ ion H^+ trên bề mặt kim loại;

$C_{H^+}^0$ - nồng độ ion H^+ ở trong dung dịch (nồng độ ban đầu).

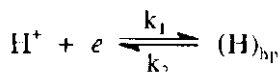
Vì $C_{H^+}^{bm} < C_{H^+}^0$ nên i_H có giá trị âm. Ở mật độ dòng cao thì $C_{H^+}^{bm} = 0$, do đó i_H đạt giá trị cực đại ta gọi là mật độ dòng giới hạn i_L^H .

$$(i_H)_{\max} = i_L^H = -F \frac{D_{H^+}}{\delta} C_{H^+}^0 \quad (2.18)$$

Từ hai phương trình cho i_H và i_L^H ở trên ta rút ra:

$$\frac{C_{H^+}^{bm}}{C_{H^+}^0} = 1 - \frac{i_H}{i_L^H} \quad (2.19)$$

2.3.1.2. Cơ chế chuyển điện tích Volmer



Tốc độ tổng của phản ứng:

$$i_H = nFv = nF(k_1 C_{H^+}^{bm} - k_2 \theta_H)$$

trong đó k_1 và k_2 - hằng số tốc độ của phản ứng thuận và nghịch, phụ thuộc điện thế điện cực;

θ_H - độ phủ bề mặt kim loại bởi H_{hp}

$$\theta_H = \frac{C_{Hbp}^I}{(C_{Hbp})_\infty}$$

ở đây C_{Hbp}^I và $(C_{Hbp})_\infty$ - nồng độ hydro hấp phụ tại thời điểm t và khi bão hoà.

Đúng ra phải viết:

$$i_H = nFv = nF(k_1(1 - \theta_H) C_{H^+}^{bm} - k_2\theta_H)$$

vì phản ứng khử H^+ chỉ xảy ra trên bề mặt kim loại tự do chưa có hấp phụ H_{bp} .
Nhưng ở đây ta coi $\theta_H \ll 1$ nên bỏ qua θ_H trong $1 - \theta_H$.

$$i_H = i_H^{\leftarrow} + i_H^{\rightarrow} = i_H^0 \left[\frac{\theta_H}{(\theta_H)_{cb}} \exp\left(\frac{\alpha F}{RT} \eta_H\right) - \frac{C_{H^+}^{bm}}{C_{H^+}^0} \exp\left(-\frac{(1-\alpha)F}{RT} \eta_H\right) \right] \quad (2.20)$$

trong đó i_H^0 - mật độ dòng trao đổi của phản ứng $H^+ \rightarrow H_{bp}$;

$(\theta_H)_{cb}$ - độ phủ bề mặt tại điện thế cân bằng.

$$\begin{aligned} i_H^0 &= \overleftarrow{K} (\theta_H)_{cb} \exp\left[\alpha F E_{2H^+/H_2}^{cb}\right] = \\ &= \overrightarrow{K} (\theta_H)_{cb} C_H^0 \exp\left[\frac{-(1-\alpha)}{RT} E_{2H^+/H_2}^{cb}\right] \end{aligned} \quad (2.21)$$

$\overleftarrow{K}, \overrightarrow{K}$ - hằng số tốc độ của phản ứng nghịch và thuận.

Nếu phản ứng chỉ bị khống chế bởi giai đoạn chuyển điện tích thì

$$\frac{\theta_H}{(\theta_H)_{cb}} = 1 \quad \text{và} \quad \frac{C_{H^+}^{bm}}{C_{H^+}^0} = 1$$

và phương trình trên trở lại dạng của phương trình Butler - Volmer (2.6).

Khi quá thế catốt $|\eta_H| > 0,1$ V thì có thể bỏ qua i_H^{\leftarrow} nên:

$$\overrightarrow{i}_H = i_H = -i_H^0 \frac{C_{H^+}^{bm}}{C_{H^+}^0} \exp\left[\frac{-(1-\alpha)F}{RT} \eta_H\right] \quad (2.22)$$

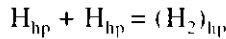
và nếu phản ứng chỉ bị khống chế bởi giai đoạn chuyển điện tích thì $C_{H^+}^{cb} = C_{H^+}^0$ (bỏ qua khống chế khuếch tán) và từ phương trình trên ta có thể rút ra:

$$\eta_H = a - b \lg i_H$$

$$\text{Khi } \alpha = 0,5 \text{ thì } \frac{d\eta_H}{d\lg i} = \frac{-2,303 \times 2RT}{F} = -b = -0,118 \text{ V ở } 25^\circ\text{C}.$$

Giá trị này của b phù hợp với thực nghiệm.

2.3.1.3. Cơ chế tái kết hợp Tafel



Quá thế:

$$\eta_H = \frac{RT}{F} \ln \frac{C_{H^+}^{(1)}}{C_{H^+}^{bm}} + \frac{RT}{F} \ln \frac{(\theta_H)_{ch}}{\theta_H} \quad (2.23)$$

$(\theta_H)_{ch}$ là độ phủ bề mặt ở trạng thái cân bằng.

Theo phản ứng Tafel ta có:

$$|i_H| = k\theta_H^2$$

k - hằng số tốc độ.

Khi chỉ có không chế tái kết hợp thì $C_{H^+}^{(1)} = C_{H^+}^{bm}$

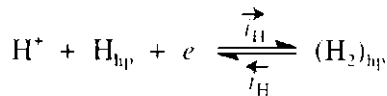
Thế giá trị θ_H vào biểu thức của η_H ta được:

$$\eta_H = \text{const} - \frac{RT}{2F} \ln |i_H| = \text{const} + 2,303 \frac{RT}{2F} \lg |i_H| \quad (2.24)$$

Phương trình này có độ dốc $\frac{d\eta_H}{d\lg i} = b = 0,029$ nhỏ hơn giá trị thực nghiệm

(0,12 V).

2.3.1.4. Cơ chế Herovski



Bỏ qua dòng i_H^{\leftarrow} ta có thể viết:

$$i_H = \vec{i}_H = -k'\theta_H C_{H^+}^{bm} \exp\left[\frac{-(1-\alpha)}{RT} E_i\right]$$

Ta biết
$$E_i = \text{const} + \frac{RT}{F} \ln \frac{C_{H^+}^{bm}}{\theta_H}$$

Rút ra
$$\theta_H = \text{const}' C_{H^+}^{bm} \exp\left[\frac{-F}{RT} E_i\right]$$

Thế θ_H vào công thức của i_H ta được:

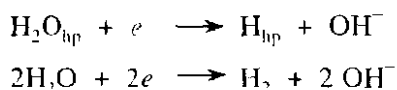
$$i_H = -k (C_{H^+}^{bm})^2 \exp\left[\frac{-(2-\alpha)F}{RT} E_i\right] \quad (2.25a)$$

$$\text{hay là} \quad i_H = i_H^0 \left\{ \frac{C_{H^+}^{bn}}{C_{H^+}^0} \exp \left[\frac{-(2-\alpha)F}{RT} \eta_H \right] \right\} \quad (2.25a)$$

Nếu $\alpha = 0,5$ thì $\frac{d\eta_H}{d\lg|i|} = -0,04 \text{ V}$.

2.3.1.5. Cơ chế phóng điện của hydro từ phân tử nước

Chúng ta đã trình bày ở trên các cơ chế phóng điện của ion H^+ , tuy nhiên chúng không thể nào giải thích được hiện tượng là sau khi đạt tới giới hạn thì mật độ dòng điện lại tiếp tục tăng lên. Vì vậy người ta phải nghĩ đến khả năng xảy ra các phản ứng sau:



Phản ứng thứ hai này có thể tiến hành song song với phản ứng

$$\begin{aligned} 2H^+ + 2e &\longrightarrow H_2 \\ i_H = \vec{i}_H &= -\vec{K}_{H_2O} \theta_{H_2O} \exp \left[-\frac{(1-\alpha)}{RT} E_1 \right] = \\ &= i_{H_2O}^0 \frac{\theta_{H_2O}}{(\theta_{H_2O})_{cb}} \exp \left[-\frac{(1-\alpha)F}{RT} \eta_H \right] \end{aligned} \quad (2.26)$$

trong đó $i_{H_2O}^0$ - mật độ dòng trao đổi của phản ứng oxy hoá khử nước;

θ_{H_2O} - độ phủ bề mặt của nước hấp phụ;

$(\theta_{H_2O})_{cb}$ - độ phủ bề mặt khi cố cân bằng.

Tỷ số $\frac{\theta_{H_2O}}{(\theta_{H_2O})_{cb}}$ có thể thừa nhận bằng 1.

Vì vậy mật độ dòng thoát hydro i_H sẽ bằng tổng mật độ dòng khử H_3O^+ và H_2O :

$$i_H = \vec{i}_H = -i_H^0 \frac{\exp \left[-\frac{(1-\alpha)F}{RT} \eta_H \right]}{1 - \frac{i_H^0}{i_{H,L}} \exp \left[-\frac{(1-\alpha)F}{RT} \eta_H \right]} - i_{H_2O}^0 \exp \left[-\frac{(1-\alpha)F}{RT} \eta_H \right] \quad (2.27)$$

Số hạng thứ nhất của vế phải công thức (2.27) là tốc độ khử của H_3O^+ ở mật độ

dòng cao, khi mà khuếch tán có ảnh hưởng lớn. Kết hợp (2.19) với (2.22), ta có:

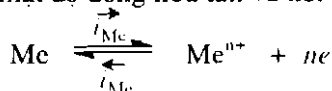
$$i_H = \vec{i}_H = - i_{H1}^0 \left(1 - \frac{i_H}{i_{H1}} \right) \exp \left[- \frac{(1-\alpha)F}{RT} \eta_H \right] \quad (2.28)$$

Sau khi biến đổi (2.28) ta được số hạng thứ nhất của vế phải (2.27).

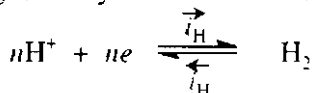
2.3.2. Động học quá trình ăn mòn đều trong môi trường axit

Giả sử kim loại ta đang xét là điện cực nghiên cứu của một bình điện hoá và điện cực đó được phân cực bằng một dòng điện I . Nếu kim loại bị ăn mòn đều trên khắp bề mặt và mọi thời gian thì mật độ dòng ăn mòn có giá trị như nhau trên khắp bề mặt.

Nếu gọi \vec{i}_{Mc} , \overleftarrow{i}_{Mc} là mật độ dòng hoà tan và kết tủa kim loại theo phản ứng:



và \vec{i}_{H1} , \overleftarrow{i}_{H1} là mật độ dòng thoát hydro và ion hoá hydro của phản ứng:



thì ta có thể viết:

$$i_c(E_i) = \vec{i}_{Mc}(E_i) + \overleftarrow{i}_{Mc}(E_i) + \vec{i}_{H1}(E_i) + \overleftarrow{i}_{H1}(E_i)$$

Trong dung dịch axit thì quá trình thoát hydro tuân theo cơ chế Volmer. Ta viết phương trình (2.20) ở dạng đơn giản hơn:

$$i_H = \vec{i}_H + \overleftarrow{i}_{H1} = B_H \exp \frac{E_i}{b_{H1}} - A_H \exp \frac{-E_i}{a'_H} \quad (2.29a)$$

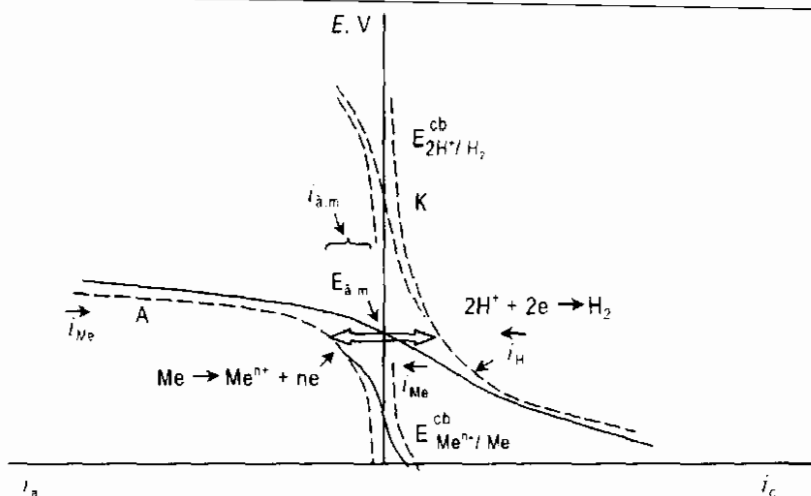
A_H , B_H - các hằng số hầu như rất ít phụ thuộc điện thế;

$$a'_H = \frac{dE}{d \ln |\vec{i}_{H1}|} ; \quad b_{H1} = \frac{dE}{d \ln |\overleftarrow{i}_{H1}|}$$

Tương tự phương trình (2.29a), ta có:

$$i_{Mc} = \vec{i}_{Mc} + \overleftarrow{i}_{Mc} = B_{Mc} \exp \frac{E_i}{b'_{Mc}} - A_{Mc} \exp \frac{-E_i}{a'_{Mc}} \quad (2.29b)$$

Nhờ các phương trình (2.29) và (2.30) chúng ta có thể vẽ được đường cong phân cực tổng dưới dạng tổng của bốn hàm số mũ trong vế phải của hai phương trình trên. Mỗi hàm số mũ đó ứng với một đường cong phân cực riêng phần.



Hình 2.15. Sơ đồ đường cong phân cực toàn phần của điện cực kim loại bị ăn mòn đều với phản ứng catốt là khử ion H^+ (đường liền là đường cong phân cực tổng)

Tại điện thế ăn mòn $E_{a.m}$ (hình 2.15):

$$i_{Me} \text{ (tại } E_{a.m}) = -i_H \text{ (tại } E_{a.m})$$

biểu thị bằng mũi tên rộng \longleftrightarrow trên hình 2.15.

Ở gần điện thế ăn mòn $E_{a.m}$ phương trình của đường cong phân cực tổng có dạng:

$$\begin{aligned} i_{Me}(E_i) &= \vec{i}_{Me}(E_i); \quad i_H(E_i) = \vec{i}_H(E_i) \\ i(E_i) &= \vec{i}_{Me}(E_i) + \vec{i}_H(E_i) = B_{Me} \exp \frac{E_i}{b'_{Me}} - A_H \exp \frac{-E_i}{a'_{H}} \end{aligned} \quad (2.30)$$

Tại điện thế ăn mòn $E_{a.m}$ thì:

$$i_{a.m} = B_{Me} \exp \frac{E_{a.m}}{b'_{Me}} = \left| A_H \exp \frac{-E_{a.m}}{a'_{H}} \right|$$

Kết hợp với (2.30) ta có:

$$i = i_{a.m} \left[\exp \frac{(E_i - E_{a.m})}{b'_{Me}} - \exp \frac{-(E_i - E_{a.m})}{a'_{H}} \right] \quad (2.31)$$

$\Delta E_{a.m} = E_i - E_{a.m}$ là phân cực của điện cực.

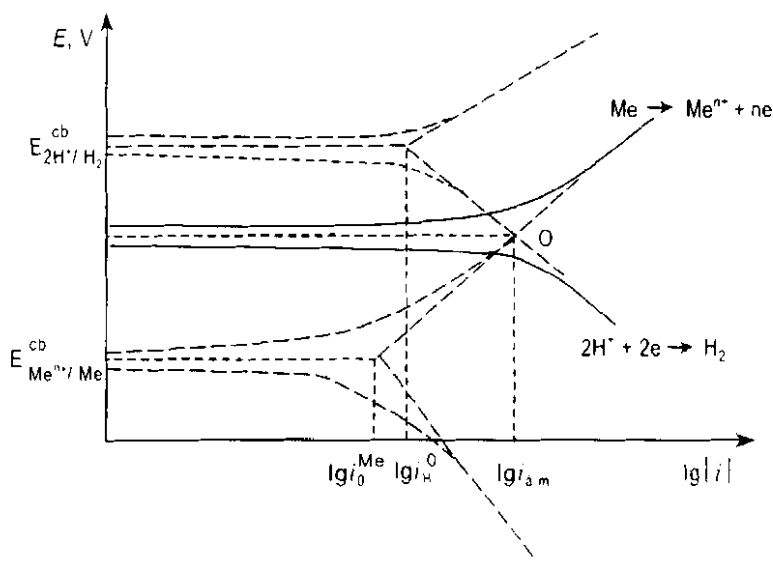
Theo (2.31) khi $\Delta E_{a.m}$ có giá trị dương tương đối lớn thì đường cong phân cực tổng $i = f(E)$ trùng với đường cong phân cực riêng phần $i_{Me} = f(E)$ của sự hoà tan kim loại. Trong khu vực điện thế đó:

$$i(E_1) = \vec{i}_{Me}(E_1) = i_{a.m} \exp \frac{E_1 - E_{a.m}}{b'_{Me}} \quad (2.32)$$

Còn khi $\Delta E_{a.m}$ có giá trị âm tương đối lớn thì đường cong phân cực tổng trùng với đường cong phân cực riêng phần $i_H = f(E)$ của quá trình khử ion H^+ . Trong khu vực điện thế đó:

$$i(E_1) = \vec{i}_H(E_1) = -i_{a.m} \exp \frac{-(E_1 - E_{a.m})}{a'_{H}} \quad (2.33)$$

Căn cứ vào hai phương trình (2.32) và (2.33) ta có thể vẽ đường cong phân cực tổng trong hệ toạ độ bán logarit $E = f(\ln |i|)$ hay $E = f(\lg |i|)$. Đường cong phân cực đó có dạng đường thẳng Tafel khi phân cực $\Delta E_{a.m}$ đủ lớn và từ đó dễ dàng tìm được $i_{a.m}$ và $E_{a.m}$ (hình 2.16).



Hình 2.16. Đường cong phân cực tổng của quá trình ăn mòn với phản ứng catốt là khử ion H^+ :

các đường đứt là đường cong phân cực riêng phần;
các đường liền là đường cong phân cực tổng

Từ hình 2.16 ta thấy muốn tìm điện thế ăn mòn và $i_{a.m}$ chỉ việc kéo dài hai đoạn thẳng Tafel của đường cong phân cực tổng cho gặp nhau ở điểm O, từ điểm O kẻ đường song song với trục hoành cắt trục tung được $E_{a.m}$, từ điểm O ta kẻ đường thẳng góc và cắt trục hoành được $\lg i_{a.m}$.

Từ phương trình (2.31) ta có thể tìm được quan hệ giữa độ dốc của đường cong phân cực tại điện thế ăn mòn và mật độ dòng ăn mòn:

$$\frac{di}{[d(E_i - E_{a.m})]_{E_{a.m}}} = i_{a.m} \left(\frac{1}{b'_{Mc}} + \frac{1}{a'_{Hl}} \right) \quad (2.34)$$

Trong phương trình trên:

$$a'_{Hl} = \frac{dE}{d \ln \left| \vec{i}_{Hl} \right|} ; \quad b'_{Mc} = \frac{dE}{d \ln \left| \vec{i}_{Mc} \right|}$$

Tiện hơn ta dùng:

$$a_H = \frac{dE}{d \lg \left| \vec{i}_H \right|} ; \quad b_{Mc} = \frac{dE}{d \lg \left| \vec{i}_{Mc} \right|}$$

Từ đó suy ra:

$$b'_{Mc} = 0,434 b_{Mc}$$

$$a'_{Mc} = 0,434 a_H$$

Thay $E_i - E_{a.m} = \Delta E_{a.m}$ trong (2.34), ta có:

$$i_{a.m} = 0,434 \frac{a_{Hl} \cdot b_{Mc}}{a_{Hl} + b_{Mc}} \cdot \frac{1}{\left[\frac{d(\Delta E_{a.m})}{di} \right]_{E_{a.m}}} \quad (2.35a)$$

$$i_{a.m} = \frac{a_{Hl} \cdot b_{Mc}}{2,3(a_{Hl} + b_{Mc})} \cdot \frac{1}{R_p} \quad (2.35b)$$

$$R_p = \left[\frac{d(\Delta E_{a.m})}{di} \right]_{E_{a.m}} = \frac{a_{Hl} \cdot b_{Mc}}{2,3 i_{a.m} (a_{Hl} + b_{Mc})} = \frac{B}{i_{a.m}} \quad (2.35c)$$

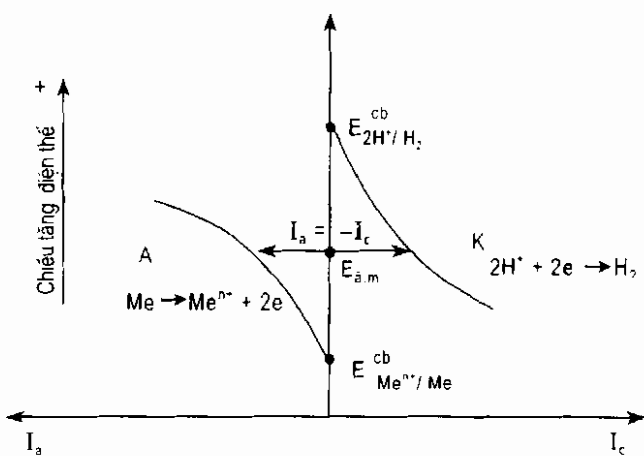
$$B = \frac{a_{Hl} \cdot b_{Mc}}{2,3(a_{Hl} + b_{Mc})} \quad (2.35d)$$

trong đó R_p - điện trở phân cực.

2.3.3. Giản đồ Evans về ăn mòn

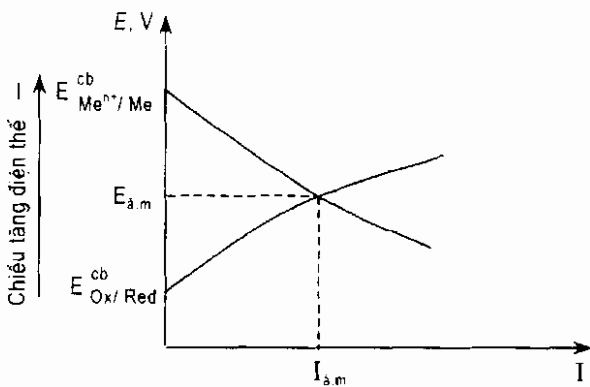
Có nhiều cách xây dựng giản đồ ăn mòn.

Căn cứ vào hai đường A (đoạn đường cong phân cực anốt tổng của quá trình $\text{Me} \rightleftharpoons \text{Me}^{n+} + ne$ trên hình 2.15) và K (đoạn đường cong phân cực catốt tổng của quá trình $2\text{H}^+ + 2e \rightleftharpoons \text{H}_2$ trên hình 2.15), ta có thể xây dựng giản đồ ăn mòn như hình 2.17.



Hình 2.17. Giản đồ ăn mòn trên cơ sở đường cong phân cực tổng

Điện thế ăn mòn $E_{a,m}$ sẽ là điện thế tại đó $I_a = |I_c| = I_{a,m}$. Tuy nhiên giản đồ thuận tiện nhất là do Evans xây dựng. Trên giản đồ Evans thì giá trị điện thế âm được đặt ở phía trên của trục tung, còn trên trục hoành mật độ dòng (hoặc dòng) catốt và anốt đặt vào cùng một phía (hình 2.18).



Hình 2.18. Giản đồ ăn mòn của Evans

2.3.4. Ảnh hưởng của sự phân cực đến tốc độ ăn mòn

Ta biết rằng sự ăn mòn điện hoá xảy ra khi có sự hoạt động của các pin ăn mòn cục bộ. Dòng điện ăn mòn ban đầu của pin đó là:

$$I_{\text{bd}}^{\text{a,m}} = \frac{E_c^{\text{ch}} - E_a^{\text{ch}}}{R}$$

$E_c^{\text{ch}}, E_a^{\text{ch}}$ - điện thế cân bằng của các phản ứng catôt và anôt;

R - điện trở của toàn mạch.

Nhưng khi có dòng điện chạy qua hệ thống pin ăn mòn thì sự phân cực sẽ xảy ra và điện thế điện cực sẽ dịch chuyển

$$E_c' = E_c^{\text{ch}} + \Delta E_c$$

$$E_a' = E_a^{\text{ch}} + \Delta E_a$$

trong đó E_a', E_c' - điện thế điện cực anôt và catôt khi có dòng điện;

$\Delta E_a, \Delta E_c$ - phân cực anôt và catôt.

Gọi $P_A = \Delta E_a / I_a$ là độ phân cực anôt trung bình;

và $P_C = \Delta E_c / I_c$ là độ phân cực catôt trung bình.

Ta có: $\Delta E_a = P_A \cdot I_a$; $\Delta E_c = P_C \cdot I_c$.

Vì $I_a = -I_c = I$, nên ta có thể viết:

$$E_c' = E_c^{\text{ch}} - P_C I$$

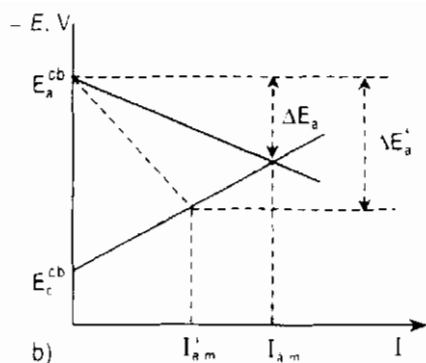
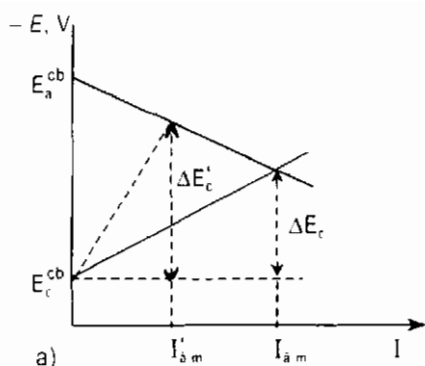
$$E_a' = E_a^{\text{ch}} + P_A I$$

Vậy khi pin ăn mòn làm việc thì:

$$I = \frac{E_c' - E_a'}{R} = \frac{E_c^{\text{ch}} - P_C I - E_a^{\text{ch}} - P_A I}{R}$$

$$\text{Rút ra} \quad I = \frac{E_c^{\text{ch}} - E_a^{\text{ch}}}{P_A + P_C + R} \quad (2.36)$$

Công thức (2.36) cho thấy tốc độ ăn mòn thay đổi theo độ phân cực. Tốc độ ăn mòn giảm khi độ phân cực (độ dốc của đường cong phân cực) tăng (hình 2.19).



Hình 2.19. Biến thiên tốc độ ăn mòn khi thay đổi độ phân cực:

a) khi P_c tăng; b) khi P_A tăng

Có bốn trường hợp sau cần xét.

2.3.4.1. Khi phân cực anốt là chủ yếu

Trường hợp này, ta nói sự ăn mòn bị kìm hãm bởi quá trình anốt:

$$\Delta E_a \gg |\Delta E_c|.$$

Điện thế ăn mòn gần với điện thế cân bằng E_c^{cb} .

Đây là trường hợp kim loại chì nhúng trong dung dịch axit H_2SO_4 .

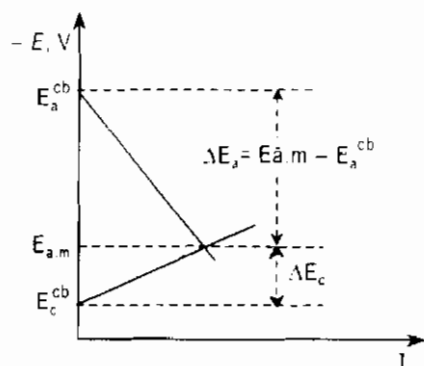
2.3.4.2. Khi phân cực catốt là chủ yếu

Trường hợp này, ta nói sự ăn mòn bị kìm hãm bởi quá trình catốt:

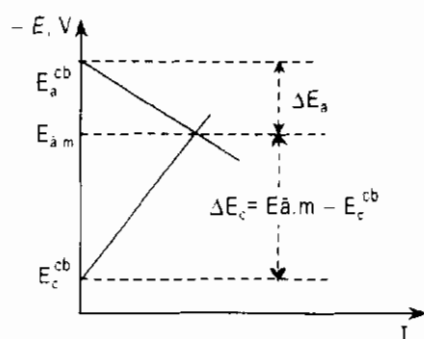
$$|\Delta E_c| \gg \Delta E_a.$$

Điện thế ăn mòn gần với điện thế cân bằng E_a^{cb} (hình 2.21).

Đây là trường hợp kim loại kẽm nhúng trong dung dịch axit H_2SO_4 .



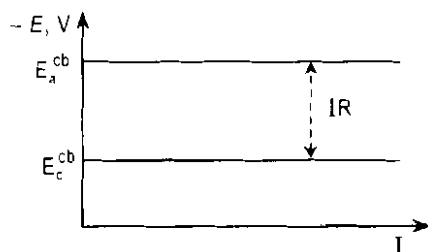
Hình 2.20. Giản đồ Evans khi phân cực anốt là chủ yếu



Hình 2.21. Giản đồ Evans khi phân cực catốt là chủ yếu

2.3.4.3. Điện trở dung dịch rất lớn

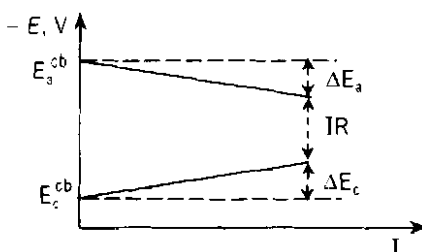
Dòng điện ăn mòn không đủ lớn để phân cực anốt và catốt: ăn mòn bị khống chế bởi điện trở dung dịch (hình 2.22).



Hình 2.22. Giảm độ Evans khi có không chế điện trở

2.3.4.4. Phân cực anốt, catốt và điện trở không chênh lệch nhau nhiều

Trường hợp này là không chế hỗn hợp (hình 2.23).



Hình 2.23. Giảm độ Evans khi có không chế hỗn hợp

Từ bốn trường hợp trên các tỷ số sau được gọi là:

- Độ khống chế anốt:

$$C_A \% = \frac{\Delta E_a}{\Delta E_a + |\Delta E_c| + IR} \cdot 100\%$$

- Độ khống chế catốt:

$$C_C \% = \frac{|\Delta E_c|}{\Delta E_a + |\Delta E_c| + IR} \cdot 100\%$$

- Độ khống chế điện trở:

$$C_R \% = \frac{IR}{\Delta E_a + |\Delta E_c| + IR} \cdot 100\%$$

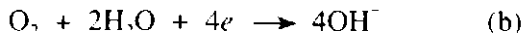
2.4. ĐỘNG HỌC QUÁ TRÌNH ĂN MÒN ĐỀU KIM LOẠI VỚI PHẢN ỨNG CATÔT CHỦ YẾU LÀ KHỬ OXY

2.4.1. Cơ chế khử oxy

Trong môi trường axit, sự khử oxy tuân theo phản ứng tổng quát:



Còn trong môi trường kiềm:



Phản ứng khử oxy ở catốt gồm nhiều giai đoạn:

Giai đoạn đầu tiên là sự khuếch tán oxy từ thể tích dung dịch đến bề mặt điện cực. Nếu khuếch tán bị chậm trễ thì mật độ dòng catốt khử oxy sẽ nhanh chóng đạt tới giới hạn:

$$i_{\text{O}_2, \text{L}} = -4FD_{\text{O}_2} \frac{C_{\text{O}_2}^0}{\delta} \quad (2.37)$$

D_{O_2} - hệ số khuếch tán của oxy, $= 10^{-5} \text{ cm}^2/\text{s}$ tại 25°C ;

$C_{\text{O}_2}^0$ - nồng độ oxy trong dung dịch, $C_{\text{O}_2} = 2.10^{-7} \text{ mol/cm}^3$ tương ứng với sự bão hoà không khí trong dung dịch;

δ - chiều dày lớp khuếch tán, với $\delta = 5.10^{-3} \text{ cm}$ thì $i_{\text{O}_2, \text{L}} = 0,15 \text{ mA/cm}^2$.

Trong dung dịch tĩnh $i_{\text{O}_2, \text{L}}$ giảm 10 lần, còn trong dung dịch có khuấy trộn mãnh liệt thì tăng gấp 5 lần giá trị trên vì δ thay đổi. Trong các hệ thống trơ, ví dụ như bê tông, đất..., lẽ dĩ nhiên mật độ dòng điện giới hạn của oxy càng bé. Trong dung dịch trung tính, trên bề mặt kim loại có phủ một lớp gỉ, sự khuếch tán oxy càng bị cản trở mạnh nên rất khó đánh giá $i_{\text{O}_2, \text{L}}$.

Tương tự như trường hợp phân cực nồng độ ta có thể viết:

$$\eta_{\text{O}_2} = \frac{RT}{F} \ln \left(1 - \frac{i_{\text{O}_2}}{i_{\text{O}_2, \text{L}}} \right) \quad (2.38)$$

Nếu chỉ căn cứ vào phương trình (2.38) thì đường cong phân cực của phản ứng khử oxy phải giống trường hợp có khống chế khuếch tán.

Nhưng trong thực tế thì ở mật độ dòng nhỏ $i_{\text{O}_2} \ll i_{\text{O}_2, \text{L}}$ đường cong phân cực lại tuân theo phương trình Tafel:

$$\eta = a + b \lg |i_{\text{O}_2}| \quad (2.39)$$

Theo các phản ứng (a) và (b) đã nói ở trên, phản ứng khử oxy tiêu thụ bốn điện tử. Do đó các phản ứng này gồm nhiều giai đoạn, trong đó giai đoạn khống chế quá trình tiêu thụ $n_{\text{kc}} < 4$ điện tử (thường ít khi quá 1 hoặc 2 điện tử). Cho nên trong trường hợp bỏ qua phản ứng anốt thoát oxy ta có:

$$i_{\text{O}_2} = -i_{\text{O}_2}^0 \left[1 - \frac{i_{\text{O}_2}}{i_{\text{O}_2, \text{L}}} \right] \exp \left[\frac{-n_{\text{kc}}(1 - \alpha)}{RT} F \eta_{\text{O}_2} \right] \quad (2.40)$$

Sau một số biến đổi phương trình (2.40) trở thành:

$$i_{O_2} = -i_{O_2}^0 \frac{\exp\left[\frac{-n_{kc}(1-\alpha)}{RT} F\eta_{O_2}\right]}{1 - \frac{i_{O_2}^0}{i_{O_2,L}} \exp\left[\frac{-n_{kc}(1-\alpha)}{RT} F\eta_{O_2}\right]} \quad (2.41)$$

trong đó $1 - \frac{i_{O_2}}{i_{O_2,L}} = \frac{C_{O_2}}{C_{O_2}^0}$;

$i_{O_2}^0$ - mật độ dòng trao đổi của oxy trên kim loại điện cực, $i_{O_2}^0$ thường có giá trị rất nhỏ, ngay cả trên điện cực không có lớp phủ oxyt và khoảng từ 10^{-10} đến 10^{-13} A/cm².

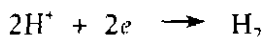
Trong trường hợp đồng thời xảy ra phản ứng khử hydro với phản ứng khử oxy thì phương trình đường cong phân cực catốt phức tạp hơn.

$$i = i_H + i_{O_2} \quad (2.42)$$

trong đó i_H - mật độ dòng điện khử hydro:

$$i_H = -i_H^0 \frac{\exp\left[\frac{-(1-\alpha)}{RT} F\eta_H\right]}{1 - \frac{i_H^0}{i_{H,L}} \exp\left[\frac{-(1-\alpha)}{RT} F\eta_H\right]} - i_{H_2O}^0 \exp\left[\frac{-(1-\alpha)}{RT} F\eta_H\right] \quad (2.43)$$

Số hạng thứ nhất của vế phải (2.43) ứng với quá trình khử H^+ theo phản ứng:



Số hạng thứ hai ứng với phản ứng:



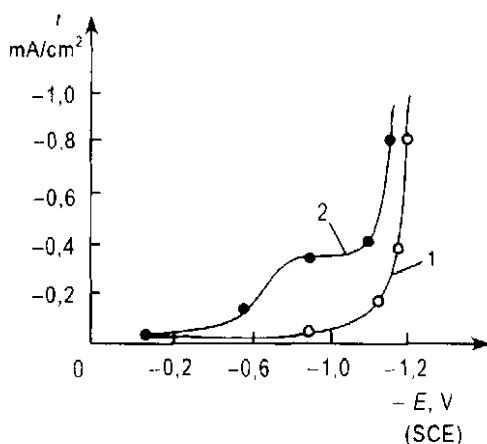
Vậy phương trình (2.42) là tổng của hai phương trình (2.41) và (2.43):

$$\begin{aligned} i &= i_H + i_{O_2} = \\ &= -i_H^0 \frac{\exp\left[\frac{-(1-\alpha)}{RT} F\eta_H\right]}{1 - \frac{i_H^0}{i_{H,L}} \exp\left[\frac{-(1-\alpha)}{RT} F\eta_H\right]} - i_{H_2O}^0 \exp\left[\frac{-(1-\alpha)}{RT} F\eta_H\right] - \\ &\quad - i_{O_2}^0 \frac{\exp\left[\frac{-n_{kc}(1-\alpha)}{RT} F\eta_{O_2}\right]}{1 - \frac{i_{O_2}^0}{i_{O_2,L}} \exp\left[\frac{-n_{kc}(1-\alpha)}{RT} F\eta_{O_2}\right]} \end{aligned} \quad (2.44)$$

Phương trình (2.44) sẽ giản đơn hơn nếu oxy phóng điện là chủ yếu. Khi đó số hạng thứ nhất nằm trong vế phải của (2.44) có thể bỏ qua, còn sự thoát hydro từ nước tương ứng với số hạng thứ hai chỉ đáng kể khi quá thế $|\eta|$ tương đối lớn. Như vậy ở quá thế $|\eta|$ nhỏ dòng catốt chỉ tương ứng với sự khử oxy theo phương trình (2.40).

Dòng điện sẽ tăng theo hàm số mũ khi dịch chuyển điện thế về phía âm hơn, sau đó trên đường cong phân cực sẽ xuất hiện đoạn nằm ngang ứng với dòng giới hạn của sự khử oxy. Khi η lớn, phân tử nước bắt đầu phóng điện và dòng catốt lại tăng theo hàm số mũ khi dịch chuyển điện thế về phía âm hơn.

Hình 2.24 cho thấy đến tận điện thế -0.8 V so với điện cực calomel, sự khử oxy vẫn là chủ yếu.



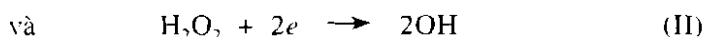
Hình 2.24. Đường cong phân cực catốt khử oxy đồng thời với khử hydro trên điện cực crom - niken 18/8. Dung dịch NaOH + NaCl 0,5M, pH = 11, $t^\circ = 25^\circ\text{C}$, điện cực so sánh là calomel bão hoà:

1- dung dịch đã đuổi oxy; 2- dung dịch chưa đuổi oxy

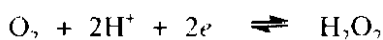
Thật vậy, khi đuổi hết oxy bằng thổi khí nitơ qua dung dịch (đường 1) mật độ dòng điện nhỏ hơn rất nhiều so với khi chưa đuổi oxy (đường 2). Còn khi điện thế âm hơn -0.8 V chỉ còn nước phóng điện mà thôi. Các phương trình (2.40), (2.41) chưa nói hết sự phức tạp của quá trình khử O_2 .

Khi nghiên cứu sự khử oxy trên catốt thuỷ ngân ta thấy đường cong phân cực có hai sóng ứng với hai giai đoạn nối tiếp của phản ứng khử oxy.

Trong môi trường trung tính và kiềm hai giai đoạn đó là:



Còn trong môi trường axit:



Ta cũng cần lưu ý rằng sự tạo thành H_2O_2 và sự khử H_2O_2 cũng có nhiều giai đoạn nhỏ nữa.

2.4.2. Động học quá trình ăn mòn trong môi trường trung tính và kiềm

Nếu trong dung dịch xâm thực có chứa oxy hoà tan thì phải cộng thêm mật độ dòng riêng phần của sự khử oxy vào mật độ dòng riêng phần của sự khử ion H^+ và H_2O . Ăn mòn kim loại ở $6 \leq \text{pH} \leq 8$ thường gặp hiện tượng này. Đó là trường hợp ăn mòn kim loại trong nước biển, sông, hồ, nước mưa... Trong trường hợp này tốc độ khử ion H^+ thường rất nhỏ có thể bỏ qua được, tốc độ khử oxy đóng vai trò chủ yếu.

Tuy nhiên ở điện thế đủ âm cũng cần phải tính đến sự khử các phân tử nước. Ví dụ trong môi trường kiềm Zn, Al có thể đạt tới điện thế ăn mòn E_{am} đủ âm để nước có thể bị khử.

Thừa nhận trong quá trình hoà tan kim loại khi phản ứng khử ion H^+ nhỏ thì chỉ cần tính đến sự khử oxy và khử nước.

$$\vec{i}(E_1) = \vec{i}_{\text{Mtc}}(E_1) + \vec{i}_{\text{O}_2}(E_1) + \vec{i}_{\text{H}}(E_1)$$

Theo phương trình (2.30) thì có thể viết phương trình của \vec{i}_{Mtc} đơn giản như sau:

$$\vec{i}_{\text{Mtc}} = B_{\text{Mtc}} \exp \frac{E_1}{b'_{\text{Mtc}}} \quad (2.30b)$$

Tương tự với (2.40), ta có:

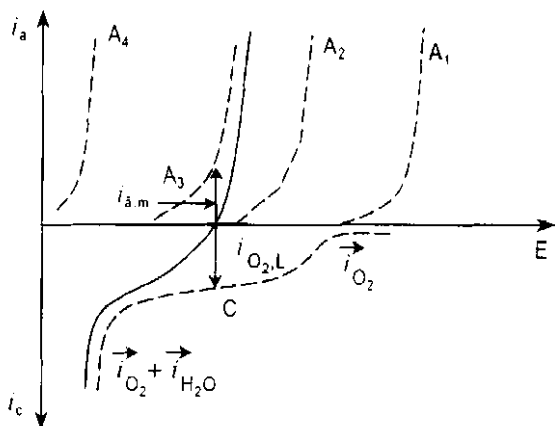
$$\vec{i}_{\text{O}_2} = A_{\text{O}_2} \left(1 - \frac{i_{\text{O}_2}}{i_{\text{O}_2, \text{L}}} \right) \exp \left(\frac{-E_1}{a'_{\text{O}_2}} \right) \quad (2.40b)$$

và với (2.36) có:

$$\vec{i}_{H} = A_{H_2O} \exp\left(\frac{-E_1}{a'_{H_2O}}\right) \quad (2.36b)$$

Như vậy phương trình tổng có dạng:

$$i(E_1) = B_{Mc} \exp\left(\frac{E_1}{b'_{Mc}}\right) - A_{O_2} \left(1 - \frac{i_{O_2}}{i_{O_2,L}}\right) \exp\left(\frac{-E_1}{a'_{O_2}}\right) - A_{H_2O} \exp\left(\frac{-E_1}{a'_{H_2O}}\right) \quad (2.45)$$



Hình 2.25. Đường cong phân cực của sự ăn mòn kim loại trong môi trường trung tính:

C - đường cong phân cực riêng phần của khử O_2 đồng thời với khử H_2O (đường đứt); A_1, A_2, A_3, A_4 - đường cong phân cực hoà tan kim loại tại các vùng điện thế khác nhau (đường đứt), đường liền là đường cong phân cực tổng. Mũi tên là $i_{a,m}$ và $i_{O_2,L}$

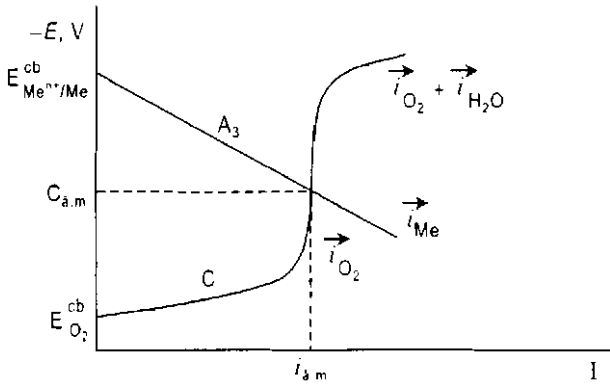
Hình 2.25 là đồ thị biểu diễn phương trình (2.45).

Tổng $i_{O_2} + i_{H_2O}$ biểu diễn bằng đường đứt C.

Đường A_1 rơi vào vùng điện thế tại đó $i_{O_2} \ll i_{O_2,L}$, đường A_2 rơi vào vùng điện thế tại đó i_{O_2} vẫn còn bé hơn $i_{O_2,L}$, sự khử H_2O còn nhỏ. Đường A_3 rơi vào mật độ giới hạn khử oxy $i_{O_2,L}$. Đường A_4 rơi vào vùng điện thế khử nước, nhưng chưa đạt mật độ giới hạn. Với đường A_3 ta có (tại điểm gặp nhau giữa đường đậm và trục hoành)

$$i_{a,m} = -i_{O_2,L} = \frac{4FD}{\delta} C_{O_2}^0 \quad (2.46)$$

Từ hình 2.25 ta có thể biểu diễn giản đồ Evans trong trường hợp đường cong phân cực anốt A_3 như hình 2.26.



Hình 2.26. Giản đồ Evans của sự ăn mòn kim loại trong môi trường trung tính. Để đơn giản ta vẽ A_3 là một đường thẳng

2.5. SỰ THỤ ĐỘNG CỦA KIM LOẠI

2.5.1. Khái niệm về sự thụ động

Khái niệm về sự thụ động hình thành khi quan sát hành vi của sắt trong môi trường HNO_3 . Khi nồng độ HNO_3 loãng, sắt hoà tan bình thường và tốc độ ăn mòn tăng lên khi tăng nồng độ axit. Tuy nhiên khi nồng độ HNO_3 đạt gần 50% thì tốc độ ăn mòn giảm xuống đến giá trị rất nhỏ có thể bỏ qua được. Thí nghiệm này được Faraday thực hiện từ năm 1840.

Faraday nói rằng vì axit HNO_3 đậm đặc có tính oxy hoá mạnh nên trên bề mặt sắt hình thành một lớp oxyt mỏng hoặc chỉ ít **những** nguyên tử kim loại trên bề mặt bị bão hoà hoá trị bởi sự hấp phụ oxy hoặc ion OH^- . Do đó sắt đã bị thụ động, tốc độ hoà tan của nó đột ngột giảm xuống tối thiểu.

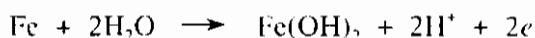
Hiện nay người ta định nghĩa sự thụ động là sự tạo thành những màng oxyt mỏng trên bề mặt kim loại dưới điều kiện oxy hoá cũng như phân cực anốt cao. Màng này có thể là màng “pha” oxyt hoặc màng hấp phụ làm tốc độ ăn mòn giảm đột ngột.

Người ta còn thấy rằng màng hấp phụ hoá học oxy chỉ cần chiếm vài phần trăm lớp đơn phân tử cũng đủ gây thụ động kim loại.

Một vài kim loại hoặc hợp kim có màng chắn giản đơn làm giảm tốc độ ăn mòn tại điện thế hoạt động và phân cực anốt nhỏ không được coi là màng thụ động theo định nghĩa ở trên.

Giản đồ Pourbaix của nhiều kim loại cho thấy một số oxyt rất bền vững ở điện thế cao trong dung dịch oxy hoá. Ví dụ, giản đồ Pourbaix giản đơn của sắt cho thấy các oxyt Fe_2O_3 , Fe_3O_4 bền trong một phạm vi điện thế và pH rộng.

Màng thụ động hình thành do phản ứng điện hoá trực tiếp. Ví dụ đối với sắt thì:



Những hợp chất không tan tạo thành do sự hoà tan đến quá bão hoà rồi tái kết tủa lên bề mặt kim loại đều không có tính năng bảo vệ tốt như các oxyt tạo thành do oxy hoá tại chỗ trên bề mặt kim loại bị ăn mòn.

Ngoài sắt, các kim loại Cr, Ni, Ti, Al... và các hợp kim của chúng cũng dễ bị thụ động.

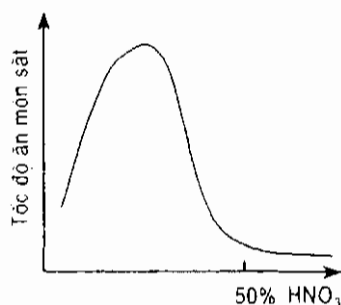
2.5.2. Đường cong phân cực anốt của kim loại bị thụ động bằng dòng điện bên ngoài

Hình 2.28 cho thấy đường cong phân cực anốt đo bằng phương pháp potentiostatic của kim loại bị thụ động có bốn khu vực đặc trưng sau:

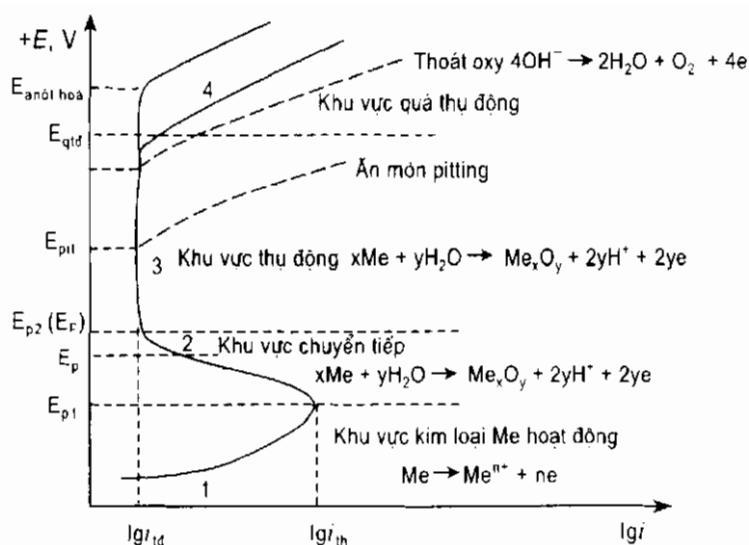
- Tại khu vực 1, điện thế anốt thấp, kim loại hoà tan bình thường; khu vực hoạt động



Trong khu vực này mật độ dòng điện tăng lên theo điện thế và đạt tới giá trị tối hạn i_{Lh} rồi giảm xuống.

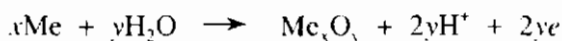


Hình 2.27. Ảnh hưởng của nồng độ HNO_3 đến tốc độ ăn mòn thép ít cacbon



Hình 2.28. Đường cong phân cực anốt của kim loại bị thụ động đo bằng phương pháp potentiostatic

Điện thế ứng với $i_{l,h}$ gọi là điện thế bắt đầu thụ động E_{p1} . Tại E_{p1} bắt đầu xảy ra phản ứng tạo thành màng oxyt:



• Khu vực 2 là khu vực chuyển tiếp. Tại khu vực này có tác giả còn đề xuất thêm điện thế quá độ E_p tương ứng với sự chuyển kim loại từ trạng thái hoạt động sang trạng thái thụ động. E_p phụ thuộc vào bản chất kim loại, loại oxyt và pH dung dịch. Về thực chất E_p là điện thế cân bằng tạo oxyt. Tại 25°C:

$$E_p = E_{\text{Me}_x\text{O}_y}^0 - 0.058 \text{ pII} \quad (2.47)$$

trong đó $E_{\text{Me}_x\text{O}_y}^0$ - điện thế điện cực tiêu chuẩn của phản ứng tạo oxyt.

Đôi khi giá trị của E_p không xác định được vì thường xảy ra sự chuyển biến từ oxyt hỗn hợp có tốc độ hoà tan cao sang loại oxyt có tốc độ hoà tan thấp.

Tóm lại khu vực chuyển tiếp là miền điện thế cần thiết để tạo ra một lượng oxyt Me_xO_y đủ để phủ kín toàn bộ bề mặt anốt hoặc những phần bề mặt hoạt động nhất của nó làm cho kim loại bị thụ động hoàn toàn và dòng điện giảm xuống nhỏ nhất $i_{l,d}$.

• Khu vực 3 là khu vực thụ động. Tại khu vực này bề mặt kim loại bị che phủ một lớp oxit Me_xO_y đặc sít khó tan có chiều dày từ lớp đơn phân tử đến hàng trăm nanomet.

Đặc điểm của khu vực này là điện thế không ảnh hưởng đến tốc độ hoà tan thụ động $i_{t,d}$.

Ngoài phản ứng điện hoá tạo thành oxit Me_xO_y và giảm pH còn có phản ứng hoà tan hoá học:



Kim loại bị thụ động không phải là kim loại trơ tuyệt đối. Mặc dù $i_{t,d}$ nhỏ, nhưng bao giờ cũng lớn hơn không.

Nếu điện thế kim loại đang bị thụ động được dịch chuyển về phía âm hơn thì mật độ dòng ăn mòn lại tăng lên sau khi đạt điện thế E_{p2} . Điện thế E_{p2} gọi là điện thế hoạt hoá kim loại hay điện thế Flade (E_F).

Miền điện thế bao gồm giữa E_{p1} , E_p và E_{p2} thường rất hẹp. Thực tế có trường hợp $E_{p1} = E_p = E_{p2} = E_F$.

Nếu trong dung dịch ăn mòn có các ion - hoạt hoá, ví dụ ion Cl^- , thì trạng thái thụ động bị phá vỡ:

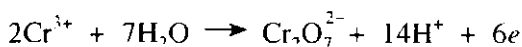


Màng thụ động bị phá vỡ tại vị trí yếu nhất.

Điện thế E_{pit} ứng với sự phá vỡ màng thụ động gọi là điện thế ăn mòn pitting (ăn mòn điểm). E_{pit} phụ thuộc thành phần dung dịch và kim loại, ví dụ, trong dung dịch 0,1% NaCl ở 25°C thì: $E_{pit}^{Cr} = 1$ V; $E_{pit}^{Al} = -0,45$ V; $E_{pit}^{Fe} = 0,23$ V.

• Khu vực 4 là khu vực quá thụ động, bắt đầu từ điện thế quá thụ động $E_{q,t,d}$. Trong khu vực này tốc độ hoà tan lại tăng khi tăng điện thế anốt về phía dương hơn. Khác với sự hoà tan hoạt động của kim loại trong khu vực 1, ở đây kim loại hoà tan tạo thành ion hoá trị cao hơn. Ví dụ sắt hoà tan thành Fe^{2+} trong khu vực 1, thành Fe^{3+} trong khu vực 4.

Với Cr đang bị thụ động thì trong khu vực 4 xảy ra phản ứng:



Với các kim loại không có sự quá thụ động thì khi dịch chuyển điện thế về phía dương hơn có thể xảy ra quá trình thoát oxy khi điện thế đạt tới điện thế thoát oxy E_{O_2} :



hoặc xảy ra quá trình anốt hoá tạo thành lớp oxyt dày (ví dụ anốt hoá Al) khi đạt tới điện thế anốt hoá $E_{\text{anốt hoá}}$.

2.5.3. Thụ động kim loại bằng chất oxy hoá

Sự chuyển kim loại vào trạng thái thụ động và quá thụ động có thể được thực hiện bằng cách nhúng kim loại vào dung dịch có chứa chất oxy hoá.

Khi nghiên cứu hành vi của Ni trong dung dịch H_2SO_4 , Ia. M. Koloturkin đã thấy rằng sự chuyển kim loại vào trạng thái thụ động và quá thụ động không phụ thuộc bản chất chất oxy hoá. Ông đã thành lập đường cong phân cực anốt theo các điện thế đo được trong dung dịch trên khi cho thêm 5 chất oxy hoá khác nhau. Dòng điện hoà tan kim loại tính theo định luật Faraday và lượng Ni hoà tan. Ông thấy rằng tất cả các điểm thu được từ các thí nghiệm trên nằm trên một đường cong phân cực.

Tóm lại sự dịch chuyển kim loại vào trạng thái thụ động và quá thụ động chỉ phụ thuộc điện thế mà không phụ thuộc nguyên nhân gây ra nó tức là không phụ thuộc vào do áp đặt một dòng điện từ ngoài hay là các chất oxy hoá.

Tuy nhiên muốn thụ động kim loại bằng chất oxy hoá phải thoả mãn hai điều kiện sau:

1) Điện thế oxy hoá khử $E_{\text{redox}}^{\text{ch}}$ của chất oxy hoá phải dương hơn thế Flade E_F (hay E_{P_2}) của kim loại trong dung dịch tương ứng.

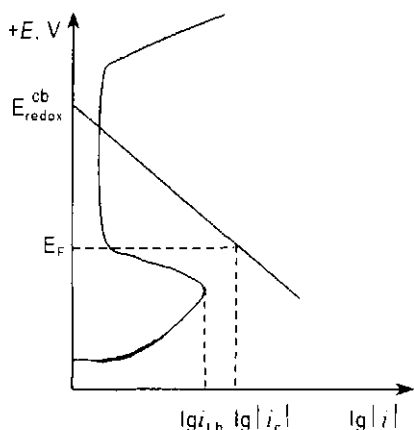
$$E_{\text{redox}}^{\text{ch}} > E_F$$

2) Mật độ dòng catốt i_c của phản ứng khử chất oxy hoá tại E_F phải lớn hơn mật độ dòng tới hạn:

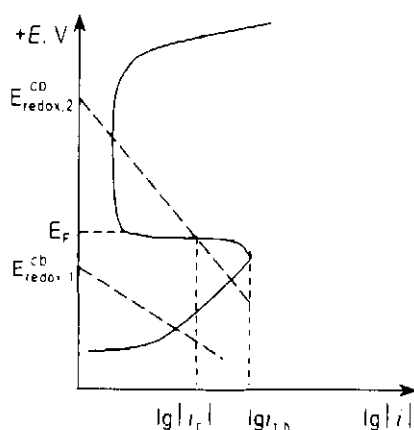
$$|i_c|_{E_F} > i_{\text{th}}$$

Thiếu một trong hai điều kiện trên thì kim loại không thể bị thụ động.

Hình 2.29a và 2.29b minh hoạ các trường hợp đạt yêu cầu và không đạt yêu cầu.



Hình 2.29a. Hai yếu cấu về điện thế và dòng điện đều đạt



Hình 2.29b. Yếu cấu về điện thế không đạt $E_{\text{redox},1} < E_F$; yếu cấu về dòng điện không đạt $|i_c|_{\text{tại } E_F} < i_{t,h}$

2.5.4. Các thuyết về thụ động

Có hai thuyết chính giải thích sự thụ động của kim loại.

2.5.4.1. Thuyết màng

Sự thụ động kim loại là do tạo thành trên bề mặt kim loại một màng pha dày từ 1 đến hàng chục nanomet (nm). Màng đó có thể là một lớp oxyt hoặc hydroxyt bị hydrat hoá với mức độ khác nhau. Theo A. M. Sukhotin thì chiều dày của màng đó tăng theo điện thế trong khu vực thụ động. Ví dụ, màng thụ động Cr trong dung dịch H_2SO_4 tăng từ 0,5 đến 4,5 nm khi tăng điện thế.

Thuyết màng không thể giải thích được nhiều sự kiện của sự thụ động. Trong nhiều trường hợp người ta không phát hiện màng pha trên bề mặt kim loại.

2.5.4.2. Thuyết hấp phụ

Frumkin A. N., Koloturkin Ia. M. và Kabanov B. N. chủ trương thuyết này. Theo họ thì sự thụ động là do hấp phụ oxy trên bề mặt kim loại. Sự thụ động có thể xảy ra khi lượng oxy hấp phụ không đủ bao phủ toàn bộ bề mặt kim loại một lớp có chiều dày một phân tử. Chỉ cần bao phủ một phần nhỏ bề mặt kim loại (khoảng 1%) là đủ khiến kim loại bị thụ động. Sự kiện này chứng tỏ trên bề mặt kim loại chỉ có rất ít trung tâm hoạt động. Sự hấp phụ oxy lên các trung tâm

hoạt động này sẽ làm giảm rõ rệt tốc độ hoà tan của kim loại.

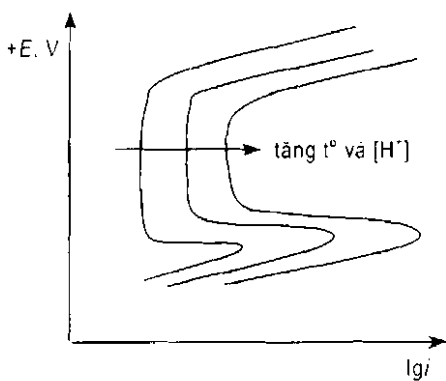
2.5.5. Các yếu tố ảnh hưởng đến sự thụ động kim loại

2.5.5.1. Ảnh hưởng của nồng độ ion H^+ và nhiệt độ

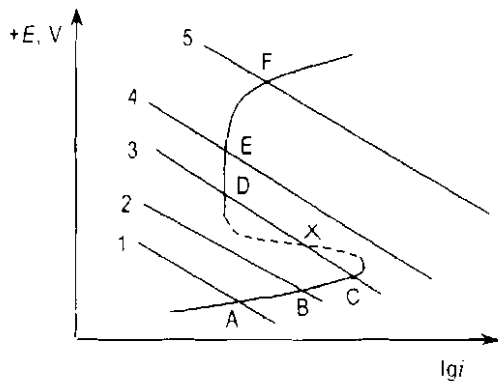
Hình 2.30 cho thấy tăng nồng độ ion H^+ và nhiệt độ sẽ thu hẹp khu vực điện thế trong đó kim loại ở trạng thái thụ động, mật độ dòng tới hạn i_{th} và thụ động i_{td} lớn hơn, nghĩa là kim loại càng khó bị thụ động hơn.

2.5.5.2. Ảnh hưởng của nồng độ chất oxy hoá

Trên hình 2.31 các đường từ 1 đến 5 là các đường phân cực catốt có nồng độ chất oxy hoá tăng dần. Khi nồng độ chất oxy hoá tăng từ 1 đến 2 thì điện thế ăn mòn và mật độ dòng ăn mòn tăng lên, ứng với từ A chuyển qua B. Ở nồng độ thứ ba thì đường catốt 3 có thể cắt đường anốt ở trạng thái thụ động D, trạng thái chuyển tiếp thụ động - hoạt động X và cuối cùng ở trạng thái hoạt động C. kim loại vẫn bị ăn mòn và tốc độ ăn mòn cũng như điện thế ăn mòn đều tăng tương ứng với điểm C.



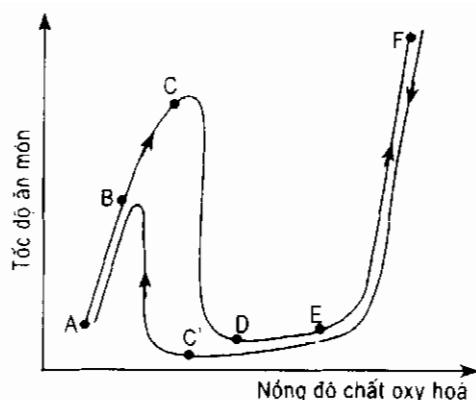
Hình 2.30. Ảnh hưởng của nhiệt độ và $[H^+]$ đến sự thụ động



Hình 2.31. Ảnh hưởng của nồng độ chất oxy hoá đến sự ăn mòn hợp kim thụ động - hoạt động

Ở nồng độ thứ tư, đường catốt chỉ cắt đường anốt ở điểm E trong trạng thái thụ động bền vững, tốc độ ăn mòn nhỏ và có giá trị bằng mật độ dòng thụ động i_{td} . Ở nồng độ thứ năm, đường catốt cắt đường anốt ở khu vực quá thụ động (điểm F) tốc độ ăn mòn tăng lên.

Hình 2.32 cho thấy khi giảm nồng độ chất oxy hoá trong quá trình nghịch thì đường cong thuận và nghịch gần như trùng nhau trong khu vực quá thụ động và thụ động (đoạn FED). Nhưng màng thụ động một khi đã hình thành thì lại đòi hỏi nồng độ thấp hơn để duy trì nó, đường cong nghịch sẽ đi theo tuyến DC'BA hơi khác với đường cong thuận.



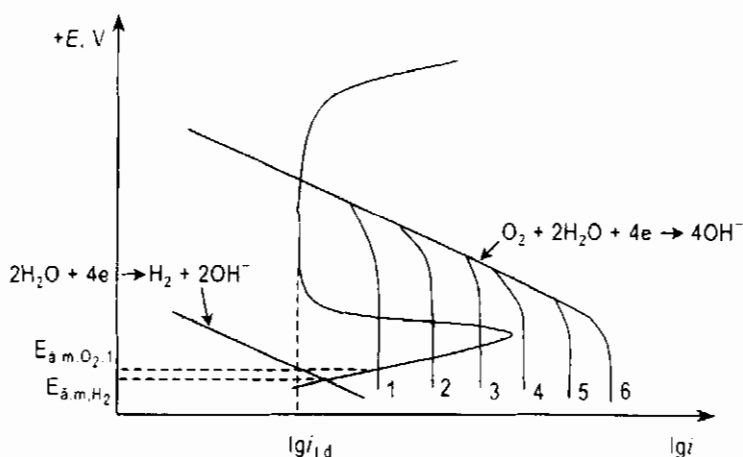
Hình 2.32. Ảnh hưởng của nồng độ chất oxy hoá đến tốc độ ăn mòn của kim loại và hợp kim

2.5.5.3. Ảnh hưởng của tốc độ chảy dung dịch

Hình 2.33 là sơ đồ đường cong phân cực của sự ăn mòn thép không gỉ trong dung dịch axit yếu như nước biển. Khi dung dịch được đuổi oxy thì chỉ có một phản ứng catốt duy nhất:

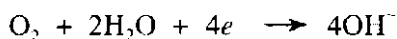


và hợp kim bị ăn mòn ở trạng thái hoạt động.



Hình 2.33. Ảnh hưởng của sự đuổi oxy và khuấy trộn đến tốc độ ăn mòn

Đối với phần lớn kim loại, tốc độ thoát hydro rất thấp và tốc độ ăn mòn trong dung dịch trung tính đã bão oxy cũng rất thấp thậm chí ngay cả ở trạng thái hoạt động. Nhưng khi dung dịch được thông khí oxy thì sự phóng điện của oxy sẽ đóng vai trò chủ yếu:

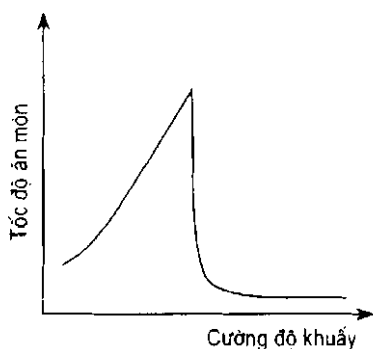


Nếu bây giờ ta khuấy trộn dung dịch với tốc độ mạnh dần từ 1 đến 6 thì hình 2.33 cho thấy từ tốc độ 1 đến 3 tốc độ ăn mòn tăng lên, từ 4 đến 6 tốc độ ăn mòn giảm xuống và bằng i_{d} .

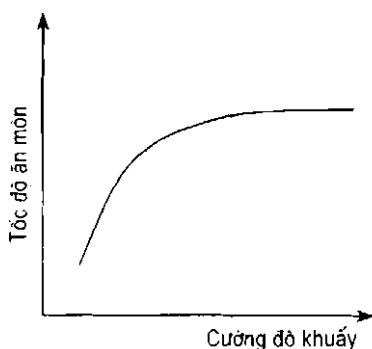
Hình 2.34 a, b cho thấy ảnh hưởng của sự khuấy trộn đến tốc độ ăn mòn.

Hình 2.34a là của thép không gỉ thụ động - hoạt động, hình 2.34b là của kim loại hoạt động.

Ta thấy với kim loại bị thụ động thì tốc độ ăn mòn lúc đầu tăng sau đó kim loại bị thụ động tốc độ ăn mòn giảm đột ngột. Với kim loại hoạt động thì tốc độ ăn mòn tăng đều khi tăng tốc độ dòng chảy.



Hình 2.34a. Ảnh hưởng của khuấy trộn đến ăn mòn hợp kim thụ động



Hình 2.34b. Ảnh hưởng của khuấy trộn đến ăn mòn hợp kim hoạt động

2.5.5.4. Ảnh hưởng của cấu tử hợp kim

Khi cho thêm các cấu tử hợp kim vào trong thép thì các điểm đặc trưng (E_{p1} , E_{p2} , E_{pit} , E_{qd} , i_{d}) trên đường cong phân cực anốt sẽ thay đổi.

Dấu \uparrow và \downarrow chỉ biến thiên điện thế về phía âm và phía dương.

Dấu \leftarrow và \rightarrow chỉ biểu thị sự giảm hay tăng mật độ dòng.

Dấu $\downarrow\uparrow$ chứng tỏ có mâu thuẫn.

Ảnh hưởng đến điện thế pitting E_{pi} được xem xét khi anion gây pitting là Cl^- .

Bảng 2.1

Nguyên tố hợp kim hoá	E_{p1}	E_{p2}	E_{pi}	E_{qd}	i_{cd}
Cr	↑	↑	↓	↑	←
Ni	↓↑	↓	↓	↓	←
Mo	↓↑	↑	↓	↑	→
Si	0	↑	↓	↓	←
V	0	0	↓	↑	→

2.5.6. Một số ứng dụng của sự thụ động

2.5.6.1. Bảo vệ anốt

Hiện tượng này là cơ sở của phương pháp bảo vệ anốt các kim loại có khuynh hướng bị thụ động. Nguyên tắc của phương pháp là phân cực anốt kim loại hay hợp kim bằng dòng điện ngoài sao cho điện thế của chúng nằm trong vùng thụ động. Cần lưu ý không chế sao cho điện thế của kim loại và hợp kim không đạt tới điện thế quá thụ động làm cho chúng tiếp tục bị hoà tan anốt thành các ion có hoá trị cao hơn.

2.5.6.2. Bảo vệ kim loại bằng các chất oxy hoá

Nguyên tắc của phương pháp là dùng các chất oxy hoá có $E_{redox} > E_{tp}$ và $|i_{redox}^c|_{E_F} > i_{th}$ làm cho kim loại hay hợp kim bị thụ động, tốc độ ăn mòn giảm xuống rất nhỏ (bằng i_{cd}).

2.5.6.3. Hợp kim hoá bằng kim loại catốt

Nguyên tắc của phương pháp là hợp kim hoá kim loại có khuynh hướng bị thụ động bằng một lượng nhỏ kim loại có điện thế rất dương. Đặc điểm của các phụ gia đó (ví dụ Pt, Pd) là có quá thế rất nhỏ đối với phản ứng catốt xảy ra trên bề mặt của chúng. Do đó phân cực catốt rất nhỏ, đảm bảo để dòng $|i_c|$ có giá trị lớn hơn mật độ dòng tới hạn i_{th} và điện thế của kim loại cần bảo vệ rơi vào vùng thụ động. Như vậy kim loại dường như được tự động giữ ở trạng thái thụ động, nếu vì một lý do gì đó trạng thái thụ động bị phá vỡ thì hoạt động của pin kim loại cần bảo vệ - phụ gia catốt lại khôi phục nó.

2.6. NHỮNG NHÂN TỐ ẢNH HƯỞNG ĐẾN ẪN MÒN ĐIỆN HOÁ

2.6.1. Những nhân tố bên trong

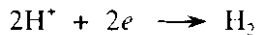
2.6.1.1. Độ bền vững nhiệt động

Độ bền vững nhiệt động được xác định bằng điện thế cân bằng $E_{\text{catot}}^{\text{ch}}$ của quá trình catốt và $E_{\text{anot}}^{\text{ch}}$ của quá trình anot. Tốc độ ban đầu của sự ăn mòn $I_{\text{a.m}}^{\text{bd}}$ tính theo công thức:

$$I_{\text{a.m}}^{\text{bd}} = \frac{E_{\text{catot}}^{\text{ch}} - E_{\text{anot}}^{\text{ch}}}{R} \quad (2.48)$$

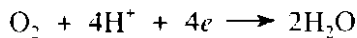
R - điện trở của pin ăn mòn (ở đây ta bỏ qua sự phân cực).

Các phản ứng catốt có thể là:

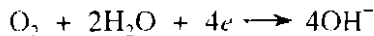


với thế điện cực cân bằng là:

$$E_{\text{catot}}^{\text{ch}} = E_{2\text{H}^+/\text{H}_2}^{\text{ch}} = -0,059\text{pH} - 0,030.\lg P_{\text{H}_2}$$



hoặc



với thế điện cực cân bằng là:

$$E_{\text{catot}}^{\text{ch}} = E_{\text{O}_2}^{\text{ch}} = 1,23 - 0,059\text{pH} + 0,015.\lg P_{\text{O}_2}$$

Từ công thức (2.48), ta thấy rằng tất cả các kim loại có điện thế cân bằng anot $E_{\text{anot}}^{\text{ch}}$ âm hơn điện thế cân bằng catốt $E_{\text{catot}}^{\text{ch}}$ đều bị ăn mòn:



Căn cứ vào điện thế thuận nghịch của điện cực hydro và oxy trong môi trường trung tính ($\text{pH} = 7$) và $\text{pH} = 1$ lần lượt là $-0,415 \text{ V}$; $0,00 \text{ V}$; $0,815 \text{ V}$; $1,23 \text{ V}$, Tomasov N. D. chia kim loại thành 5 nhóm:

a) Những kim loại có điện thế điện cực tiêu chuẩn âm hơn $-0,415 \text{ V}$ được coi là không bền vững nhiệt động. Đó là các kim loại Na, Mg, Al, Zn... Chúng bị ăn mòn thậm chí ngay cả trong môi trường nước trung tính không chứa oxy và chất oxy hoá.

b) Những kim loại có $-0,415 \text{ V} < E_{\text{Me}^{n+}/\text{Me}}^{\text{ch}} < 0,00 \text{ V}$ được coi là kém bền nhiệt động. Đó là Cd, Mn, Ni, Sn, Pb... Chúng bền trong môi trường trung tính không chứa oxy. Còn trong môi trường axit, chúng bị ăn mòn ngay cả khi không

chứa oxy.

c) Những kim loại có $-0,00 \text{ V} < E_{\text{Me}^{n+}/\text{Me}}^0 < 0,815 \text{ V}$ được coi là có độ bền nhiệt động trung bình. Đó là Bi, Re, Cu, Rh, Ag... Chúng bền trong môi trường axit và trung tính không chứa oxy và chất oxy hoá.

d) Những kim loại có $0,815 \text{ V} < E_{\text{Me}^{n+}/\text{Me}}^0 < 1,23 \text{ V}$ được coi là rất bền nhiệt động. Đó là Pd, Ir, Pt. Chúng không bị ăn mòn trong môi trường trung tính thậm chí khi có mặt oxy.

e) Những kim loại có $E_{\text{Me}^{n+}/\text{Me}}^0 > 1,23 \text{ V}$ (ví dụ Au). Chúng bền trong môi trường axit có oxy. Chúng chỉ bị ăn mòn trong môi trường phức chất có chất oxy hoá.

2.6.1.2. Thành phần và cấu trúc của hợp kim

Trong công nghiệp ít khi dùng kim loại nguyên chất mà thường dùng hợp kim của chúng. Độ bền với ăn mòn của kim loại và hợp kim thường giảm xuống khi chúng chuyển từ trạng thái đồng thể sang dị thể. Một loại dị thể thường gặp là *tạp chất catốt nằm trong nền anốt* (tạp chất catốt có điện thế dương hơn của nền). Ví dụ trong gang tạp chất catốt là cacbua, graphit, trong dura thì đó là các liên kim CuAl_2 . Trong hai trường hợp trên và trong đa số các trường hợp thì các tạp chất catốt đó làm tăng nhanh sự ăn mòn. Tuy nhiên những tạp chất gây thụ động kim loại có thể làm giảm tốc độ ăn mòn.

Những tạp chất anốt có điện thế âm hơn của kim loại nền thì hoặc là không ảnh hưởng lớn đến độ bền với ăn mòn (ví dụ, Mg_2Si trong hệ Al-Mg-Si) hoặc gây ra ăn mòn cục bộ. Ví dụ, sự nghèo Cr trong khu vực lân cận các hạt của thép 12Cr18Ni9 gây nên sự ăn mòn giữa các tinh thể.

Trong hợp kim đồng thể thì độ bền với ăn mòn tăng lên đột ngột khi tăng thành phần của cấu tử có điện thế dương hơn. Đó là qui luật $n/8$ của Tamman, trong đó n là số nguyên tử của nguyên tố bền với ăn mòn. Giá trị của n phụ thuộc vào hệ thống dung dịch rắn và độ xâm thực của dung dịch. Nó có thể có các giá trị 1, 2, 3, 4, 5, 6, 7 trong 8 nguyên tử của hợp kim.

Ví dụ, hợp kim Fe-Cr với nguyên tử phần của Cr là 0,125 (tức với $n = 1$ trong qui luật $n/8$) ứng với hợp kim có 1 nguyên tử Cr và 7 nguyên tử sắt bền trong axit HNO_3 có nồng độ bất kỳ ở 25°C .

Có thể chuyển đổi từ nguyên tử phần sang phần trăm trọng lượng theo công thức sau:

$$\% \text{ trọng lượng} = \frac{n \times A^{\text{bền}}}{n \times A^{\text{bền}} + (8 - n)A^{\text{nén}}} \times 100 \quad (2.49)$$

trong đó n - số nguyên tử của kim loại bền với ăn mòn;

$A^{\text{bền}}$ - trọng lượng nguyên tử của kim loại bền với ăn mòn;

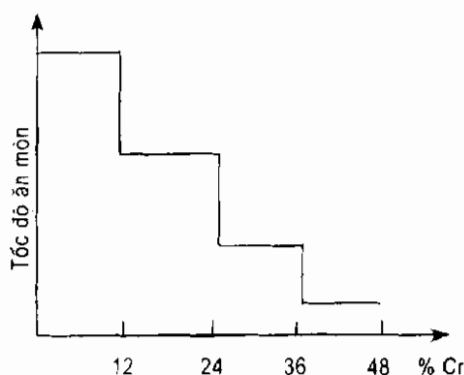
$A^{\text{nén}}$ - trọng lượng nguyên tử của kim loại nền.

Ví dụ hợp kim Fe-Cr với nguyên tử phần 0,125 ($n = 1$) sẽ có phần trăm trọng lượng là:

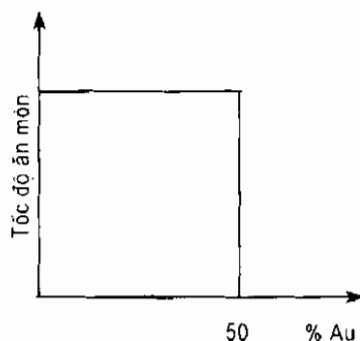
$$\% \text{ trọng lượng Cr} = \frac{1 \times 52}{1 \times 52 + (8 - 1) \cdot 56} \times 100 = 11,71\%$$

trong đó $A_{\text{Cr}} = 52$; $A_{\text{Fe}} = 56$.

Hình 2.35 a, b là minh hoạ định luật Tamman.



Hình 2.35a. Sơ đồ minh hoạ định luật Tamman cho thép Fe-Cr



Hình 2.35b. Sơ đồ minh hoạ định luật Tamman cho hệ Cu-Au

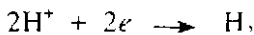
2.6.2. Những nhân tố bên ngoài (tác động của môi trường)

2.6.2.1. Ảnh hưởng của pH

2.6.2.1.1. Ảnh hưởng trực tiếp của pH

Điện thế của các phản ứng khử oxy và ion H^+ phụ thuộc vào pH của dung dịch.

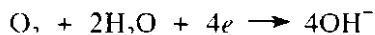
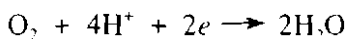
Phản ứng khử:



có điện thế cân bằng $E_{2\text{H}^+/\text{H}_2}^{\text{ch}} = -0,059\text{pH} - 0,030 \lg P_{\text{H}_2}$.

Khi áp suất khí hydro $P_{\text{H}_2} = 1 \text{ atm}$ thì $E_{2\text{H}^+/\text{H}_2}^{\text{ch}} = -0,059\text{pH}$

Các phản ứng:



có điện thế cân bằng giống nhau:

$$E_{\text{O}_2}^{\text{ch}} = 1,23 - 0,059\text{pH} + 0,015 \lg P_{\text{O}_2}$$

Khi áp suất khí oxy $P_{\text{O}_2} = 1 \text{ atm}$ thì $E_{\text{O}_2} = 1,23 - 0,059\text{pH}$.

Vì vậy khi pH thay đổi sẽ làm thay đổi tốc độ ăn mòn vì độ bền nhiệt động với ăn mòn của kim loại thay đổi ($E_{\text{catot}}^{\text{ch}}$ trong công thức (2.48) thay đổi).

2.6.2.1.2. Ảnh hưởng gián tiếp của pH

A. Ia. Satalov chia kim loại thành năm nhóm theo quan hệ giữa tốc độ ăn mòn và pH.

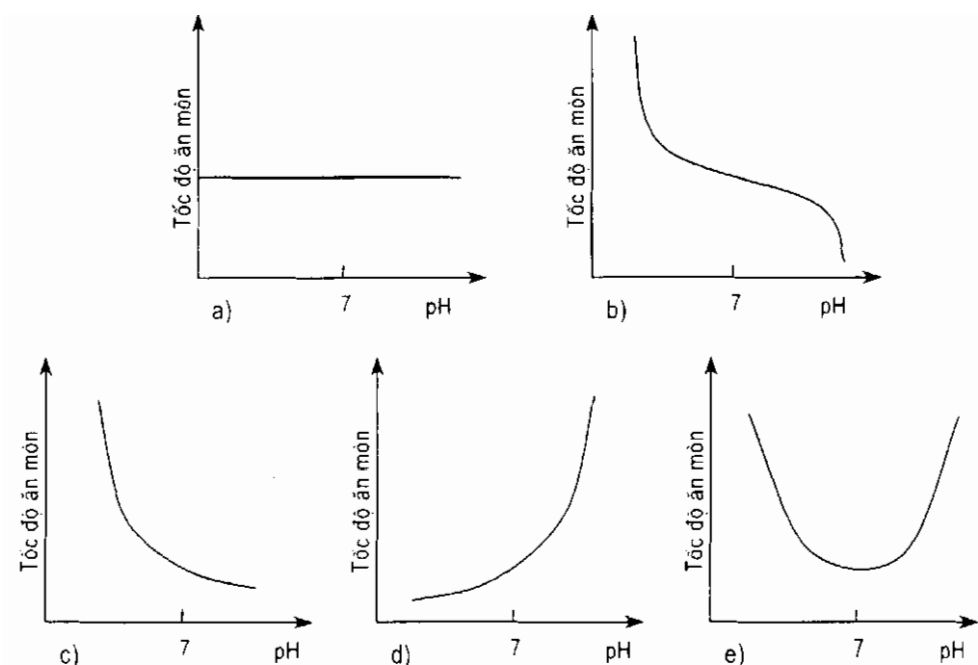
Nhóm a: gồm những kim loại bền trong môi trường axit và kiềm. Tốc độ ăn mòn không thay đổi theo pH (hình 2.36a) Au, Pt, Ag thuộc nhóm này.

Nhóm b: gồm những kim loại không bền trong môi trường axit, không đủ bền trong môi trường trung tính, nhưng bền trong môi trường kiềm mạnh (pH ≈ 12). Đó là những kim loại Mg, Mn và Fe (hình 2.36b). Các kim loại trên bền vì chúng tạo thành các hydroxyt không hoà tan trong môi trường kiềm, trừ sắt hydroxyt ở pH > 14 bị hoà tan thành ion ferrat.

Nhóm c: gồm những kim loại không bền trong môi trường axit, nhưng bền trong môi trường trung tính và kiềm. Co, Ni, Cd thuộc nhóm này. Màng oxyt của các kim loại này có tính bảo vệ cao (hình 2.36c).

Nhóm d: gồm những kim loại bền trong axit nhưng không bền trong môi trường kiềm như tantan (Ta), Mo, W. Các màng hydroxyt của các kim loại trên bị hoà tan trong môi trường kiềm (hình 2.36d).

Nhóm e: gồm những kim loại chỉ bền trong môi trường trung tính như Al, Zn, Sn, Pb. Những kim loại này tạo thành các hydroxyt lưỡng tính hoà tan tốt trong môi trường axit và kiềm (hình 2.36e).



Hình 36. Các dạng phụ thuộc tốc độ ăn mòn vào pH

Giá trị pH cực tiểu, tại đó kim loại không bị ăn mòn ở nhiệt độ 25°C như sau:

Kim loại	Al	Pb	Sn	Zn	Fe
pH cực tiểu ở 25°C	6,5	8	8,5	11,5	14

2.6.2.2. Ảnh hưởng của thành phần dung dịch

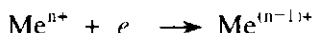
Nói chung đặc điểm của quá trình ăn mòn phụ thuộc chủ yếu vào thành phần anion của dung dịch. Tuy nhiên trong một số trường hợp các cation cũng có vai trò nhất định. Ta chia các ion trong dung dịch ăn mòn làm hai loại: chất kích hoạt và ức chế ăn mòn.

Các anion - kích hoạt thường có tác dụng kép. Một mặt nó phá huỷ trạng thái thụ động của kim loại hoặc ngăn cản sự hình thành trạng thái này. Đó là các anion Cl^- , Br^- , I^- . Cơ chế tác dụng của các anion này là phá huỷ màng pha oxyt hoặc hấp phụ lên bề mặt kim loại đẩy oxy hấp phụ ra khỏi bề mặt chúng.

Mặt khác nó có thể tạo điều kiện cho sự ion hoá kim loại xảy ra một cách

dễ dàng bằng cách tạo phức với các ion kim loại. Do đó hoạt độ ion kim loại ở sát bề mặt giảm xuống, phân cực anốt giảm. Ví dụ, tốc độ hoà tan của đồng tăng lên khi có mặt NH_3 vì nó tạo thành ion phức đồng $[\text{Cu}(\text{NH}_3)_4]^{2+}$.

Các *cation - kích hoạt* là các ion kim loại có hoá trị thay đổi. Ví dụ, các ion Fe^{2+} , Fe^{3+} , Cu^+ , Cu^{2+} . Các ion hoá trị cao của sắt và đồng sẽ tham gia quá trình catốt nhận điện tử:



Còn các ion hoá trị thấp của chúng có thể tác dụng với oxy:



Vì độ hoà tan của các ion kim loại lớn hơn của oxy, nên chúng có thể làm tăng nhanh đáng kể quá trình catốt.

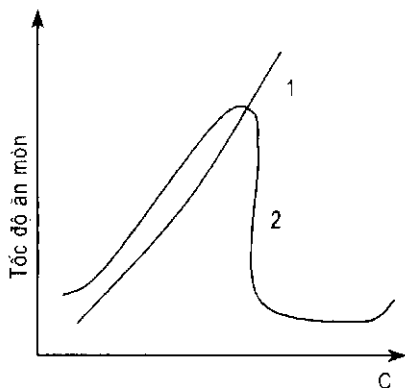
Các anion - ức chế tác dụng rất khác nhau đến quá trình ăn mòn.

Một mặt các *anion - chất oxy hoá* có thể chuyển kim loại vào trạng thái thụ động, do đó làm chậm quá trình anốt. Đó là các chất như CrO_4^{2-} , $\text{Cr}_2\text{O}_7^{2-}$, NO_2^- , NO_3^- , MnO_4^- . Chúng có thể làm chậm ăn mòn thép, hợp kim Al và hợp kim Mg.

Mặt khác một số anion có thể tác dụng với ion kim loại thành các hợp chất khó tan. Chúng tạo thành trên bề mặt kim loại một màng cản trở quá trình ion hoá kim loại và ngăn cản các chất khử cực (ví dụ, oxy) đến bề mặt kim loại.

Quá trình ăn mòn sắt sẽ bị kìm hãm khi có mặt các anion OH^- , CO_3^{2-} , PO_4^{3-} , SiO_3^{2-} . Quá trình ăn mòn hợp kim Al bị S^{2-} , SiO_3^{2-} , HPO_4^{2-} kìm hãm, hợp kim Mg bị F^- , PO_4^{3-} , OH^- làm chậm, còn chì bị F^- , SO_4^{2-} cản trở.

Các cation - ức chế tạo thành hydroxyt khó tan với ion hydroxyl là sản phẩm của quá trình catốt. Các cation đó là các ion sắt, magie, canxi, coban, thiếc, kẽm, mangan và crom. Đặc biệt sự ăn mòn sắt có thể bị kìm hãm khi có mặt ion kẽm, canxi, mangan. Trường hợp trong dung dịch ăn mòn có



Hình 2.37. Ảnh hưởng của nồng độ axit đến sự ăn mòn sắt:

1- axit không oxy hoá (HCl);

2- axit oxy hoá (HNO_3)

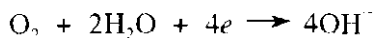
những muối mà các ion của chúng không có tính hoạt hoá hay ức chế thì nồng độ của các muối đó cũng ảnh hưởng đến sự ăn mòn.

Nồng độ muối tăng lên, đầu tiên tốc độ ăn mòn tăng lên, sau đó giảm xuống. Ta giải thích là đầu tiên độ dẫn điện của môi trường ăn mòn tăng lên khi tăng nồng độ muối. Nhưng nồng độ muối tăng lên tiếp thì độ hoà tan oxy giảm xuống do đó tốc độ ăn mòn giảm xuống.

Hình 2.37 cho thấy ảnh hưởng của nồng độ axit đến sự ăn mòn sắt trong HCl (1) và HNO₃ (2). Ta thấy rằng tăng nồng độ HCl tốc độ ăn mòn tăng lên vì ion Cl⁻ là chất kích hoạt. Trong HNO₃ thì lúc đầu tốc độ ăn mòn tăng lên khi tăng nồng độ HNO₃. Nhưng khi nồng độ đạt 35 ÷ 40% thì sắt bắt đầu bị thụ động, tốc độ ăn mòn giảm xuống đột ngột và chỉ khi nồng độ HNO₃ gần 100% thì sự thụ động mới bị phá huỷ. Trong axit H₂SO₄ cũng xảy ra hiện tượng tương tự. Sắt bắt đầu bị thụ động ở nồng độ 50 ÷ 55%.

2.6.2.3. Ảnh hưởng của nồng độ oxy

Quá trình catốt trong ăn mòn nhiều khi là quá trình khử oxy:



Vì vậy tốc độ ăn mòn phụ thuộc vào nồng độ oxy hoà tan trong dung dịch. Khi tăng nồng độ oxy hoà tan thì tốc độ ăn mòn tăng do tăng mật độ dòng giới hạn:

$$i_{L\text{O}_2} = -4F \frac{D}{\delta} C_{\text{O}_2}''$$

D - hệ số khuếch tán;

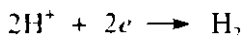
δ - chiều dày lớp khuếch tán;

C_{O_2}'' - nồng độ oxy hoà tan trong dung dịch.

Tuy nhiên khi nồng độ oxy vượt quá một giới hạn nào đó thì kim loại hoặc hợp kim lại bị thụ động. Ví dụ, hợp kim Fe-Cr sẽ bị thụ động khi $C_{\text{O}_2}'' \geq 0,7$ ml/l dung dịch.

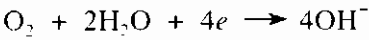
2.6.2.4. Ảnh hưởng của nhiệt độ

Trong trường hợp quá trình catốt là:



thì tốc độ ăn mòn tăng lên theo nhiệt độ vì quá thế hydro η_{H_2} giảm.

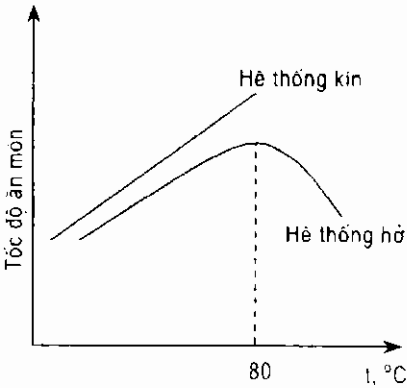
Khi quá trình catốt là sự khử oxy:



thì có hai trường hợp sẽ xảy ra:

- Nếu là hệ thống kín, oxy không bị mất mát khi tăng nhiệt độ thì tốc độ ăn mòn tăng lên do tăng khuếch tán oxy (i_{L,O_2} tăng) (hình 2.38).

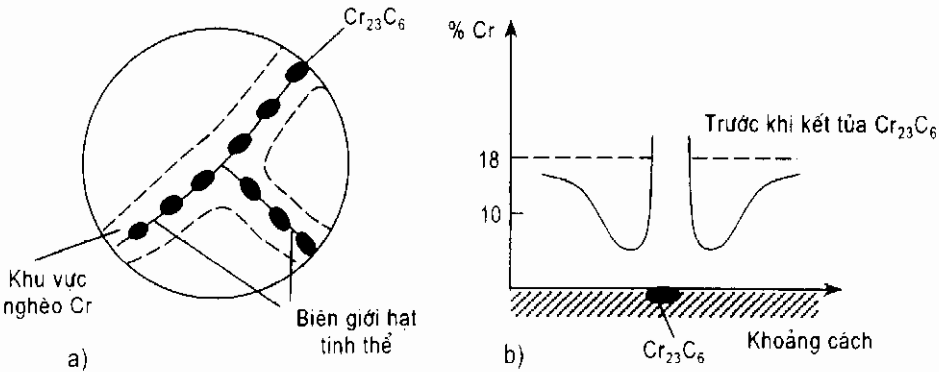
- Nếu hệ thống hở để thoát oxy ra ngoài thì tốc độ ăn mòn tăng đến tận nhiệt độ 80°C, sau đó giảm xuống và tốc độ ăn mòn sẽ rất nhỏ ở nhiệt độ sôi của dung dịch.



Hình 2.38. Ảnh hưởng của nhiệt độ đến tốc độ ăn mòn

2.6.2.5. Ảnh hưởng của gia công nhiệt

Sự gia công nhiệt có ảnh hưởng rất lớn đến tốc độ ăn mòn. Ví dụ, hợp kim Cr18Ni10 được nung đến nhiệt độ cao, rồi làm nguội từ từ thì cacbon sẽ kết tủa ở biên giới giữa các hạt dưới dạng crom cacbua $Cr_{23}C_6$ vì Cr và C ở trạng thái rắn có đủ thời gian để khuếch tán. Một vùng nghèo crom sẽ hình thành ở gần biên giới các hạt, do đó vùng biên giới hạt sẽ bị ăn mòn (hình 2.39).



Hình 2.39. Ăn mòn tinh giới của hợp kim chứa Cr:

- a) sơ đồ biên giới hạt tinh thể (tinh giới);
- b) biến thiên thành phần Cr ở khu vực biên giới hạt tinh thể

2.6.2.6. Ảnh hưởng của gradient nhiệt độ

Gradient nhiệt độ trên một thanh kim loại sẽ gây nên một gradient điện thế giữa phần nóng và lạnh của nó. Theo định luật Nernst:

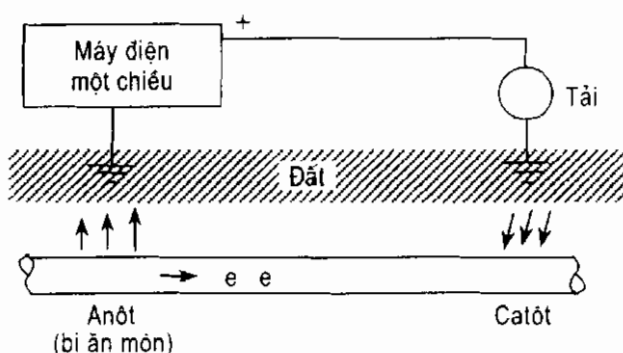
$$E = E^0 + \frac{RT}{nF} \ln \frac{a_{ox}}{a_{red}}$$

trong đó E^0 - điện thế điện cực tiêu chuẩn;

a_{ox} , a_{red} - hoạt độ của dạng oxy hoá và khử.

thì vùng lạnh sẽ có điện thế âm hơn và sẽ là anốt so với vùng nóng. Do đó vùng lạnh sẽ bị ăn mòn.

2.6.2.7. Dòng điện lạc



Hình 2.40. Sơ đồ hoạt động của dòng điện lạc

Khi ta nối đất một máy điện một chiều thì có thể có một dòng điện đi qua nền đất (hình 2.40). Nếu các ống dẫn hoặc thiết bị kim loại được chôn trong đất gần các máy điện này thì dòng điện có thể đi qua chúng vì điện trở của chúng nhỏ hơn của đất. Ta gọi dòng điện này là *dòng điện lạc* (vì đi lạc đường).

Nơi dòng điện đi ra (dòng điện từ e đi ngược lại) sẽ là anốt, thiết bị kim loại (ống dẫn) bị ăn mòn mạnh.



Trường hợp này thường được xảy ra trên các đường ống đặt cạnh đường xe lửa chạy điện.

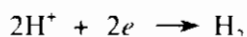
Một dòng điện có cường độ 1 A đi qua đường ống thép trong 1 năm có thể hoà tan:

$$\frac{1 \times 24 \times 365 \times 28}{26,8 \times 1000} = 9,152 \text{ kg thép}$$

Trong công thức trên thì 28 là đương lượng gam của thép (Fe)

$$26,8 \text{ Ah} = 96500 \text{ C} = 1 \text{ Faraday}$$

Nơi dòng điện đi vào sẽ là catôt và tại đó sẽ xảy ra các phản ứng:



hoặc



Vùng catôt sẽ có thoát khí và bị kiềm hoá gây hư hại các lớp sơn phủ hoặc bịt bọc bảo vệ kim loại khỏi bị ăn mòn, do đó kim loại càng bị phá huỷ mạnh.

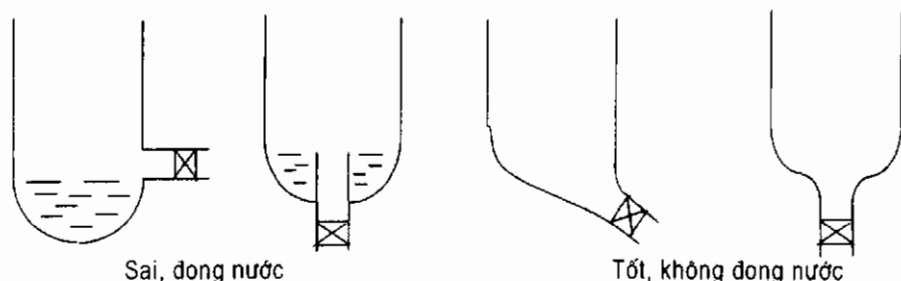
2.6.2.8. Ảnh hưởng của sự lắp ráp thiết bị

Lắp ráp thiết bị không đúng quy cách cũng sẽ gây ăn mòn. Cần tránh những vấn đề sau:

- Tránh tạo thành các cặp pin galvanic giữa các kim loại khác nhau. Khi cần phải ghép các kim loại có điện thế cực khác nhau chúng ta phải có cách điện giữa chúng.

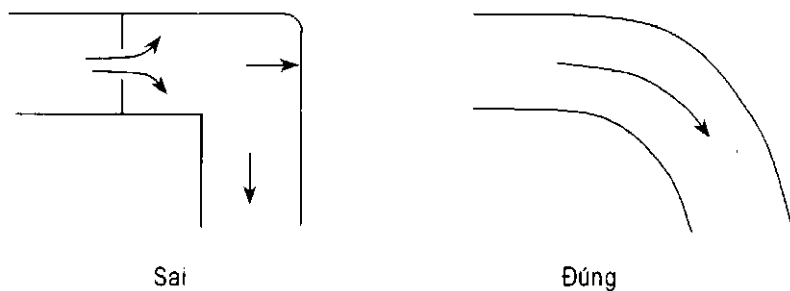
- Tránh tạo thành khe hở giữa các mối lắp ghép để tránh ăn mòn khe. Nếu có khe hở thì bịt bằng mat tít kỵ nước hoặc bằng mối hàn.

- Tránh gây đọng nước, bùn gây nên thông khí không đều. Hình 2.41 cho ta thấy những trường hợp lắp ghép đúng, sai.



Hình 2.41. Ảnh hưởng của vị trí đặt van thoát nước

- Tránh đổi chiều chuyển động chất lỏng đột ngột, van quá nhỏ hay bất thường vì chúng sẽ tạo nên những vùng chảy xoáy tạo điều kiện xảy ra sự ăn mòn - mài mòn (hình 2.42).



Hình 2.42. Ảnh hưởng của chiều chuyển động chất lỏng

- Tránh những điểm nóng và gradient nhiệt độ tạo thành các pin.

Chương 3

CÁC DẠNG ĂN MÒN KIM LOẠI

Để tiện lợi ta phân loại ăn mòn theo *dạng biểu hiện* của nó. Cơ sở của phương pháp phân loại là *về bên ngoài* của kim loại bị ăn mòn được quan sát *bằng mắt thường* (đôi khi cũng cần phóng đại).

3.1. ĂN MÒN ĐỀU

Là dạng ăn mòn phổ biến, tốc độ ăn mòn như nhau trên toàn bộ bề mặt kim loại, kim loại trở nên mỏng hơn sau quá trình bị ăn mòn. Ví dụ một mẫu thép nhúng trong axit H_2SO_4 loãng. Mặc dù lượng kim loại bị ăn mòn rất lớn nhưng ăn mòn đều ít nguy hiểm vì ta có thể dự đoán trước trong thiết kế thiết bị.

3.2. ĂN MÒN GALVANIC

Ăn mòn do tiếp xúc hai kim loại khác nhau, xảy ra khi kim loại hoặc hợp kim có thành phần khác nhau được tiếp xúc với nhau và được nhúng trong dung dịch chất điện giải.

Kim loại có điện thế âm hơn sẽ bị ăn mòn. Ví dụ một đinh ốc bằng thép sẽ bị ăn mòn khi tiếp xúc với đồng thau trong môi trường nước biển.

Muốn dự đoán kết quả ăn mòn của các cặp kim loại trong pin ăn mòn thì không nên so sánh điện thế điện cực tiêu chuẩn mà phải so sánh các điện thế ăn mòn của kim loại hay hợp kim trong môi trường làm việc của chúng. Ví dụ, trong môi trường nước biển nhân tạo với $pH = 7,5$ có bão hoà không khí và khuấy trộn ta có các điện thế ăn mòn $E_{a.m}$ như trong bảng 3.1.

Tuy nhiên điện thế $E_{a.m}$ ở trên chỉ cho biết khả năng kim loại có bị ăn mòn hay không, mà không cho biết tốc độ ăn mòn. Vì vậy muốn biết tốc độ ăn mòn của kim loại ta phải có hiểu biết về nhiều yếu tố khác.

Bảng 3.1. Điện thế ăn mòn trong nước biển nhân tạo

Kim loại	$E_{am}/NHE, V$	Kim loại	$E_{am}/NHE, V$
Au	0,243	Pb (99,9%)	-0,259
Ag	0,149	Sn (98,5%)	-0,284
Ni	0,046	Thép cacbon	-0,335
Đồng thau (63% Cu)	0,013	Al (Cu, Mg)	-0,339
Cu	0,010	Cd	-0,519
Thép 18Cr8Ni	-0,045	Al (99,5%)	-0,667
Ti	-0,111	Al (Mg, Si)	-0,785
		Zn 98%	-0,809
		Mg	-1,355

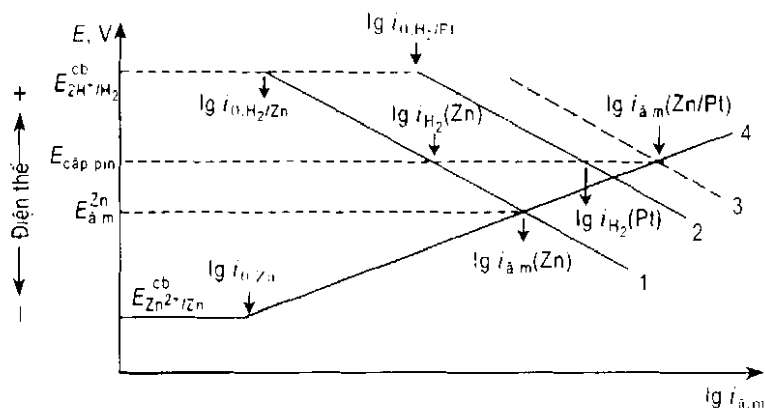
Chú thích: NHE là điện cực so sánh hydro tiêu chuẩn.

3.2.1. Cặp pin kim loại bị ăn mòn – kim loại trơ

Ta lấy ví dụ Zn – Pt. Khi nhúng cặp pin Zn – Pt trong dung dịch axit loãng ta thấy một số hiện tượng sau:

- Điện thế ăn mòn của kẽm $E_{a.m}^{Zn}$ dịch chuyển về phía dương hơn.
- Tốc độ ăn mòn của kẽm tăng lên.
- Tốc độ thoát hydro trên kẽm giảm xuống.

Các hiệu ứng trên có thể giải thích bằng đồ thị hình 3.1.



Hình 3.1. Sơ đồ phân cực của cặp pin Zn – Pt trong dung dịch axit loãng:

- 1- khử hydro trên kẽm: $2H^+ + 2e \rightarrow H_2$; 2- khử H^+ trên Pt: $2H^+ + 2e \rightarrow H_2$;
- 3- khử H^+ tổng cộng (cả trên kẽm lẫn Pt); 4- hoà tan anốt kẽm

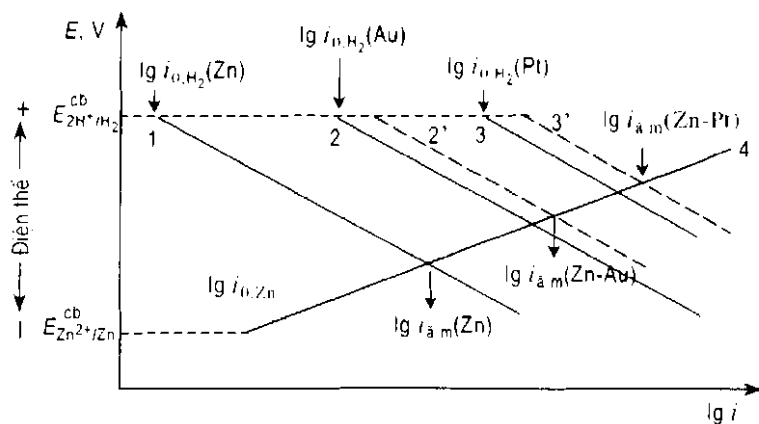
Từ đồ thị hình 3.1 ta thấy $E_{\text{cặp pin}}(\text{Zn} - \text{Pt})$ dịch chuyển về phía dương hơn, $i_{\text{a.m}}$ trên cặp pin lớn hơn trên kẽm tức là:

$$i_{\text{a.m}}(\text{Zn/Pt}) > i_{\text{a.m}}(\text{Zn})$$

$$E_{\text{cặp pin}}(\text{Zn} - \text{Pt}) > E_{\text{a.m}}^{\text{Zn}}$$

3.2.2. Ảnh hưởng của mật độ dòng trao đổi

Điện thế điện cực tiêu chuẩn của vàng $E_{\text{Au}^{3+}/\text{Au}}^0 = 1,498 \text{ V}$ của platin là $E_{\text{Pt}^{2+}/\text{Pt}}^0 = 1,2 \text{ V}$. Vì vậy ta có thể nghĩ rằng kẽm sẽ bị ăn mòn nhiều hơn trong cặp Zn – Au so với cặp Zn – Pt. Nhưng thực tế thì ngược lại. Hình 3.2 cho ta thấy vì sao xảy ra hiện tượng trên. Trên hình này ta thấy mật độ dòng trao đổi $i_{0, \text{H}_2}(\text{Au})$ của hydro trên vàng nhỏ hơn của hydro trên platin $i_{0, \text{H}_2}(\text{Pt})$, do đó đường phân cực catốt của sự khử H^+ trên vàng cắt đường phân cực anốt của sự hoà tan kẽm ở điện thế âm hơn và dòng ăn mòn nhỏ hơn.

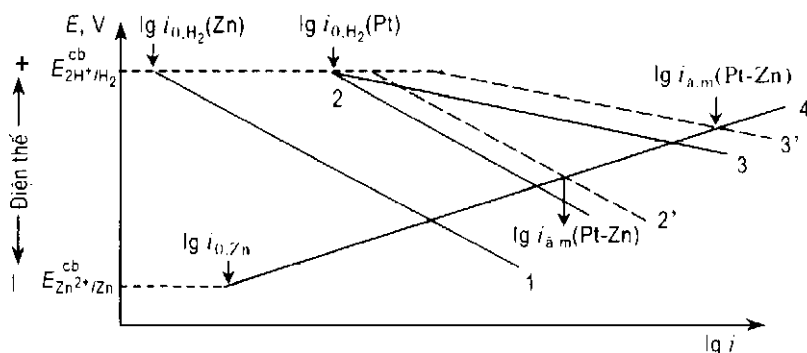


Hình 3.2. Ảnh hưởng của mật độ dòng trao đổi trên các cặp pin Zn – Pt, Zn – Au đến tốc độ ăn mòn Zn trong dung dịch axit loãng:

- 1- đường phân cực catốt khử H^+ trên kẽm;
- 2- đường phân cực catốt khử H^+ trên vàng;
- 2'- đường phân cực catốt tổng khử H^+ trên kẽm và vàng;
- 3- đường phân cực catốt khử H^+ trên platin;
- 3'- đường phân cực catốt tổng khử H^+ trên kẽm và platin;
- 4- đường phân cực anốt hoà tan kẽm

3.2.3. Ảnh hưởng của diện tích bề mặt điện cực

Tăng diện tích catốt sẽ làm giảm phân cực catốt và cắt đường phân cực anốt ở $\lg i_{a,m}$ lớn hơn.



Hình 3.3. Ảnh hưởng của sự tăng bề mặt catốt Pt đến tốc độ ăn mòn Zn trong cặp pin Zn – Pt:

- 1- đường phân cực catốt của sự khử H^+ trên Zn;
- 2- đường phân cực catốt của sự khử H^+ trên Pt khi diện tích S_{Pt} nhỏ;;
- 2'- đường phân cực catốt tổng của sự khử H^+ trên Pt khi diện tích S_{Pt} nhỏ và trên kẽm;
- 3- đường phân cực catốt của sự khử H^+ trên Pt khi diện tích S'_{Pt} lớn ($S'_{Pt} \gg S_{Pt}$);
- 3'- đường phân cực catốt tổng khử H^+ trên kẽm và Pt khi S'_{Pt} lớn;
- 4- đường phân cực anốt hoà tan kẽm

3.2.4. Ảnh hưởng của khoảng cách

Tốc độ ăn mòn tiếp xúc thường lớn nhất ở gần nơi tiếp xúc giữa hai kim loại. Xa nơi tiếp xúc tốc độ ăn mòn giảm dần. Khu vực bị ăn mòn tiếp xúc phụ thuộc vào độ dẫn điện của dung dịch. Trong dung dịch có điện trở cao hoặc nước sạch, khu vực bị ăn mòn rất nhỏ chỉ như một rãnh hẹp.

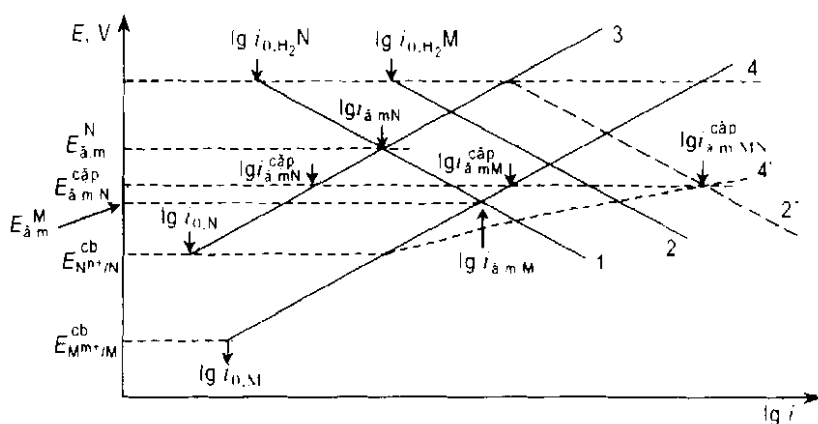
3.2.5. Cặp pin kim loại bị ăn mòn – kim loại bị ăn mòn

(cả hai kim loại đều bị ăn mòn, không kim loại nào được coi là trơ)

Giả sử ta có cặp pin gồm hai kim loại M và N. Cả hai đều có khả năng bị ăn mòn theo các phản ứng:



Khi ghép chúng với nhau (hình 3.4) thì ta thấy cả hai kim loại đều bị ăn mòn nhưng với tốc độ khác nhau.



Hình 3.4. Sơ đồ phân cực của cặp pin M – N:

- 1- khử H^+ trên N;
- 2- khử H^+ trên M;
- 2'- khử H^+ tổng trên M và N;
- 3- hoà tan $N \rightarrow N^{n+} + ne$;
- 4- hoà tan $M \rightarrow M^{m+} + me$;
- 4'- đường hoà tan tổng của M và N

Ta thấy tốc độ ăn mòn của kim loại N khi ghép cặp $i_{a.m N}^{cấp}$ nhỏ hơn tốc độ ăn mòn khi chưa ghép cặp $i_{a.m N}$, ngược lại tốc độ ăn mòn của kim loại M khi ghép cặp $i_{a.m M}^{cấp}$ lại lớn hơn khi chưa ghép cặp $i_{a.m M}$.

Ta cũng thấy rằng điện thế cân bằng $E_{M^{m+}/M}^{cb}$ âm hơn $E_{N^{n+}/N}^{cb}$.

Vậy khi ghép cặp hai kim loại bị ăn mòn thì kim loại nào có điện thế cân bằng E^{cb} dương hơn sẽ có tốc độ ăn mòn nhỏ hơn khi chưa ghép cặp, ngược lại kim loại nào có điện thế cân bằng E^{cb} âm hơn sẽ có tốc độ ăn mòn lớn hơn khi chưa ghép cặp.

3.2.6. Biện pháp phòng tránh ăn mòn galvanic

Biện pháp này bao gồm:

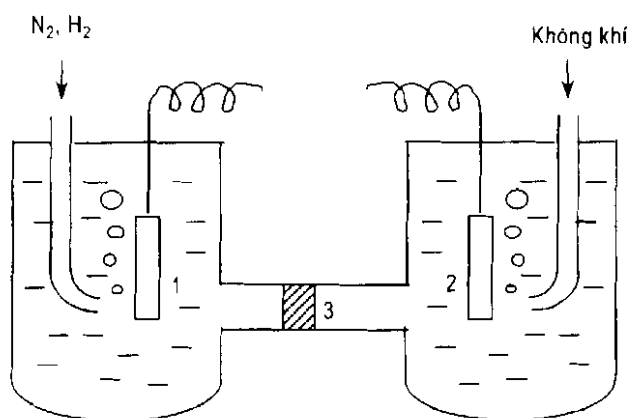
a) Khi lắp ghép các kim loại với nhau cần chọn các kim loại có điện thế điện cực càng gần nhau càng tốt.

- b) Cố gắng tránh hiệu ứng anốt bé, catốt lớn.
- c) Cách điện các kim loại khác nhau khi có thể, ví dụ, lắp các miếng đệm cách điện hoặc sơn phủ bịt bọc ở những nơi cho phép.
- d) Thiết kế sao cho dễ thay phần anốt.
- e) Đặt một kim loại thứ ba có điện thế âm hơn hai kim loại lắp ghép (bảo vệ catốt).

3.3. PIN NỒNG ĐỘ VÀ SỰ ĂN MÒN DO THÔNG KHÍ KHÔNG ĐỀU

Các loại pin nồng độ đều ảnh hưởng đến sự ăn mòn.

3.3.1. Pin do thông khí không đều

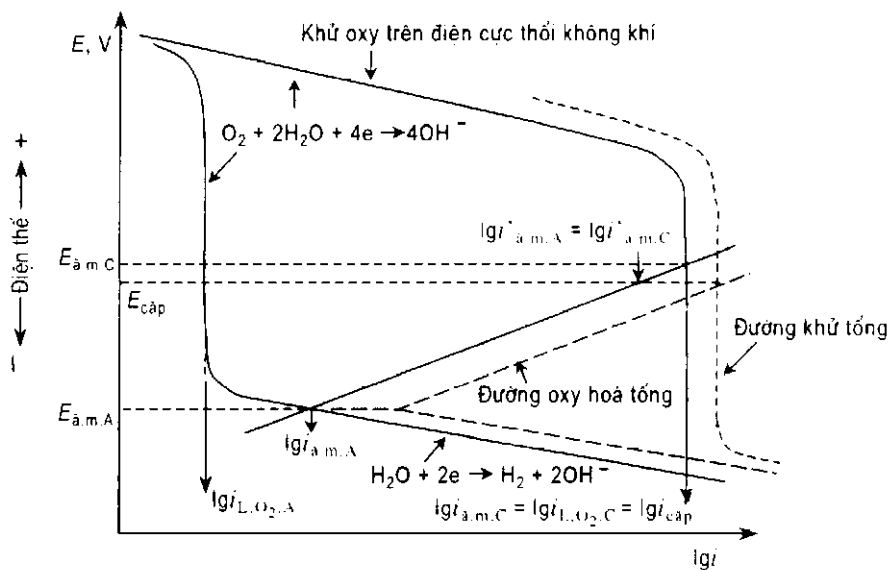


Hình 3.5. Pin thông khí không đều:

1, 2- điện cực sắt; 3- màng ngăn

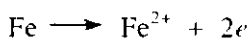
Hình 3.5 mô tả một pin thông khí không đều gồm hai điện cực sắt 1, 2 giống hệt nhau nhúng trong dung dịch 0,1 N NaCl. Hai buồng của pin cách nhau bởi một màng ngăn. Một buồng thổi H_2 , N_2 , một buồng thổi không khí (O_2 , N_2).

Hình 3.6 là sơ đồ điện thế hỗn hợp của hệ thống gồm hai điện cực Fe giống hệt nhau, có cùng diện tích.



Hình 3.6. Điện thế hỗn hợp của pin thông khí không đều với hai điện cực sắt giống hệt nhau (giả thiết dòng điện phân bố đều)

a) Khi hai điện cực chưa nối với nhau thì bên thổi khí N_2, H_2 sẽ có điện thế ăn mòn (hỗn hợp) $E_{\text{a.m.A}}$, tại đó có phản ứng anốt là:



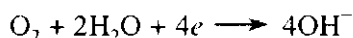
và phản ứng catốt là:



Vì khi thổi khí H_2, N_2 thì nồng độ oxy trong dung dịch rất thấp nên mật độ dòng giới hạn của oxy $i_{L,O_2,A}$ trên điện cực rất nhỏ, dòng catốt chủ yếu là khử nước thành H_2 .

Bên thổi không khí vẫn có phản ứng anốt là: $Fe \longrightarrow Fe^{2+} + 2e$ và đường phân cực anốt cũng trùng với bên thổi N_2, H_2 .

Nhưng phản ứng catốt khử oxy trở thành chủ yếu:



Tốc độ ăn mòn khi chưa nối điện cực bị khống chế bởi sự khuếch tán oxy, cụ thể là bởi mật độ dòng giới hạn khử oxy $i_{L,O_2,C}$ tại điện cực thổi không khí.

Điện thế ăn mòn, khi chưa nối các điện cực, ở bên thổi không khí là $E_{\text{a.m.C}}$.

b) Khi hai điện cực nối với nhau thì điện tích anốt và dòng điện anốt gấp đôi, nhưng mật độ dòng catốt vẫn bị khống chế bởi mật độ dòng giới hạn của oxy bên thổi khí, còn của bên thổi N_2 , H_2 thì không đáng kể.

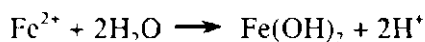
Điện thế của cặp pin sẽ là $E_{cặp}$ nằm giữa $E_{\bar{a}.m.A}$ và $E_{\bar{a}.m.C}$.

Dòng điện ăn mòn bên thổi N_2 , H_2 (anốt) tăng từ $i_{\bar{a}.m.A}$ lên $i'_{\bar{a}.m.A}$ còn dòng điện ăn mòn tại catốt (bên thổi không khí) giảm từ $i_{\bar{a}.m.C}$ xuống $i'_{\bar{a}.m.C} = i'_{\bar{a}.m.A}$ (hình 3.6).

Như vậy là không có sự khác nhau về mật độ dòng ăn mòn giữa bên anốt (thổi N_2 , H_2) và catốt (thổi không khí).

Thực ra thì phân bố dòng điện không đều, dòng điện anốt thường tập trung gần biên giới tiếp xúc vì rằng phân cực anốt thường nhỏ hơn phân cực catốt.

Sự khác nhau giữa tốc độ ăn mòn ở anốt và catốt khi nối ngắn mạch lại càng trở nên trầm trọng vì có sự thay đổi nồng độ theo thời gian. Thật vậy, quá trình khử oxy $O_2 + 2H_2O + 4e \rightarrow 4OH^-$ ở khu vực điện cực thổi không khí (catốt) làm tăng pH (vì giải phóng OH^-). Quá trình hoà tan anốt của sắt: $Fe \rightarrow Fe^{2+} + 2e$ tại vùng thổi N_2 , H_2 (anốt) ngược lại làm giảm pH do sự thủy phân Fe^{2+} theo phản ứng:



Tăng pH làm tăng thụ động catốt (điện cực được thổi không khí) còn giảm pH (tăng độ axit) làm anốt (điện cực được thổi N_2 , H_2) hoạt động hơn.

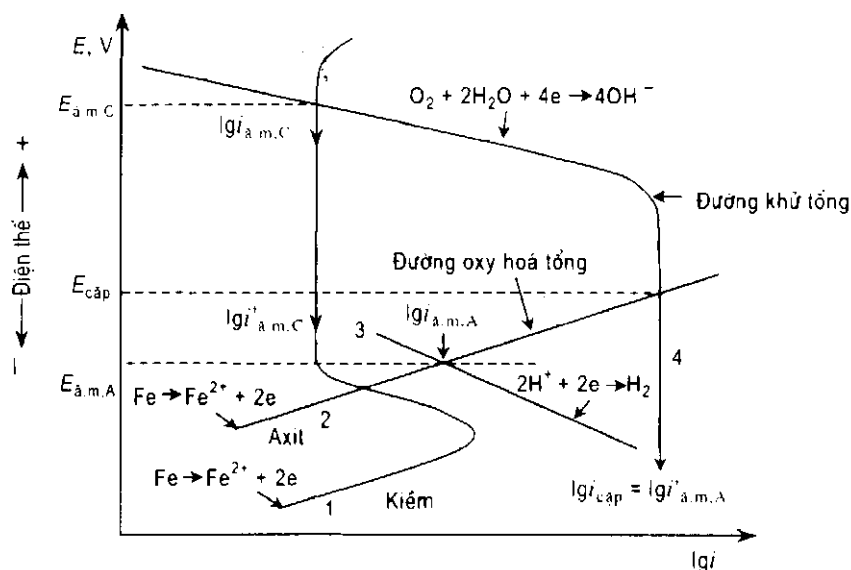
Hình 3.7 cho thấy khi chưa nối cặp pin trên anốt (vùng thổi N_2 , H_2) ta có điện thế ăn mòn $E_{\bar{a}.m.A}$ và mật độ dòng điện ăn mòn $i_{\bar{a}.m.A}$, còn trên catốt (vùng thổi không khí) ta có $E_{\bar{a}.m.C}$ và $i_{\bar{a}.m.C}$.

Khi nối cặp pin thì đường oxy hoá tổng 2 của anốt cắt đường khử tổng 4 tại điện thế $E_{cặp}$ và mật độ dòng $i_{cặp} = i'_{\bar{a}.m.A}$, còn trên catốt bị thụ động (vùng thổi không khí) tại điện thế của cặp pin $E_{cặp}$, mật độ dòng điện ăn mòn là $i'_{\bar{a}.m.C}$.

Như vậy là khi nối cặp pin thì trên anốt (vùng thổi N_2 , H_2) tốc độ ăn mòn tăng từ $i_{\bar{a}.m.A}$ khi chưa nối cặp pin lên $i'_{\bar{a}.m.A}$ khi nối cặp pin. Còn trên catốt (vùng thổi không khí) thì mật độ dòng điện ăn mòn vẫn không thay đổi khi nối cặp $i_{\bar{a}.m.C} = i'_{\bar{a}.m.C}$.

Tốc độ ăn mòn trên vùng anốt lớn hơn trên vùng catốt rất nhiều khi nối cặp pin.

$$i'_{\bar{a}.m.A} \gg i'_{\bar{a}.m.C}$$



Hình 3.7. Điện thế hỗn hợp của pin thông khí không đều trên điện cực sắt với vùng catốt kiềm hoá bị thụ động và vùng anốt bị axit hoá:

- 1- oxy hoá sắt trên vùng catốt bị kiềm hoá và bị thụ động;
- 2- oxy hoá sắt trên vùng anốt (thổi N_2 , H_2) bị axit hóa;
- 3- khử H^+ trên anốt (vùng thổi N_2 , H_2);
- 4- khử oxy trên catốt (vùng thổi không khí).

3.3.2. Ăn mòn khe

Ăn mòn khe (crevice corrosion) là sự tăng ăn mòn trong các khe kẽ giữa các kim loại tiếp xúc, thậm chí cả những nơi tiếp xúc không khít các kim loại và vật liệu phi kim trở với ăn mòn.

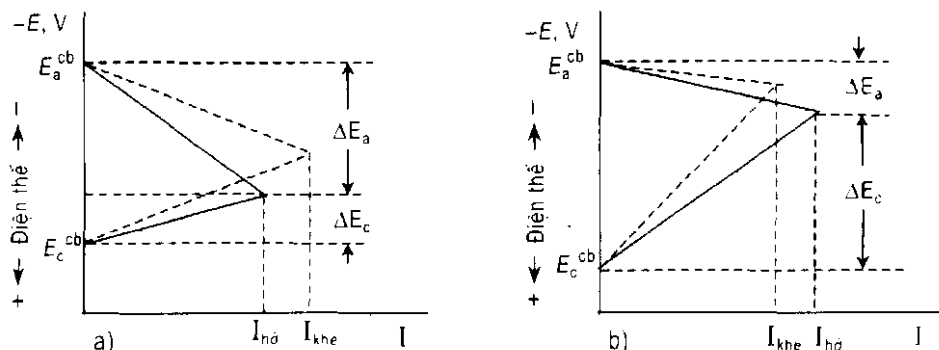
Các kim loại hay hợp chất bị thụ động rất nhạy cảm với ăn mòn khe: thép không gỉ chứa Cr, thép Cr – Ni, các hợp kim Al và Mg...

Nguyên nhân gây ăn mòn khe là do oxy khó thâm nhập vào các khe, biến thiên pH dung dịch trong khe và hình thành cặp pin ăn mòn dạng khe – bề mặt hở.

Sự khó thâm nhập oxy sẽ làm cho quá trình catốt bị kìm hãm, do đó điện thế điện cực của kim loại trong lỗ giảm xuống và quá trình anốt trở nên dễ dàng hơn.

Tuỳ theo cơ chế của sự ăn mòn điện hoá, sự khó thâm nhập của oxy có thể làm tăng hay giảm tốc độ ăn mòn trong khe.

Nếu tốc độ ăn mòn bị khống chế bởi quá trình anốt $\Delta E_a \gg |\Delta E_c|$ thì sự khó thâm nhập oxy sẽ làm tăng ăn mòn trong khe (hình 3.8a)



Hình 3.8. Ảnh hưởng của khống chế anốt (a) và catốt (b) đến tốc độ ăn mòn trong khe:

đường liền ứng với bề mặt hở; đường đứt ứng với trong khe

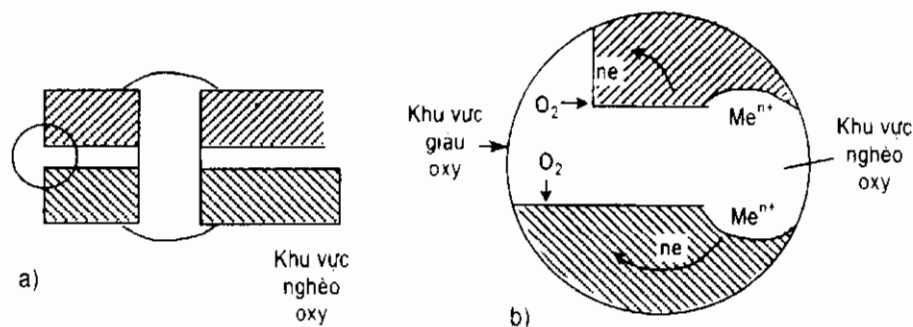
Nếu tốc độ ăn mòn bị khống chế bởi quá trình catốt $|\Delta E_c| \gg \Delta E_a$ thì sự khó thâm nhập oxy sẽ làm giảm tốc độ ăn mòn trong khe (hình 3.8b).

Thật vậy, tốc độ ăn mòn của các kim loại như Fe, Zn, hợp kim nhôm như Al-Zn-Mg-Cu hoặc Al-Cu bị khống chế bởi phản ứng catốt nên tốc độ ăn mòn trong khe nhỏ hơn trên bề mặt hở. Ngược lại các thép không gỉ như 12Cr13, 12Cr17, hợp kim nhôm loại Al-Mn và Al-Mg thì tốc độ ăn mòn bị kìm hãm bởi quá trình anốt nên bị ăn mòn khe nhiều hơn.

Các kim loại và hợp kim, mà trạng thái thụ động của nó liên quan tới oxy hoà tan hoặc chất gây thụ động trong dung dịch, thì rất nhạy cảm với ăn mòn khe. Sự khó thâm nhập các chất trên vào trong khe làm cho nồng độ của chúng tại đó nhỏ hơn nồng độ tới hạn gây thụ động. Do đó kim loại và hợp kim chuyển từ trạng thái thụ động sang hoạt động và xảy ra ăn mòn khe.

Ta nhận thấy hiện tượng trên khi ăn mòn thép trong dung dịch 8,6 N HNO_3 và trong dung dịch chứa 30 mg/l NaCl, 90 mg/l Na_2SO_4 , 250 mg/l NaNO_3 . Trong các dung dịch trên thép ở trạng thái thụ động. Trong các khe nồng độ các chất gây thụ động giảm xuống dưới giá trị tới hạn nên sắt bị ăn mòn mạnh.

Hình 3.9 là sơ đồ ăn mòn khe.



Hình 3.9. Sơ đồ ăn mòn khe:

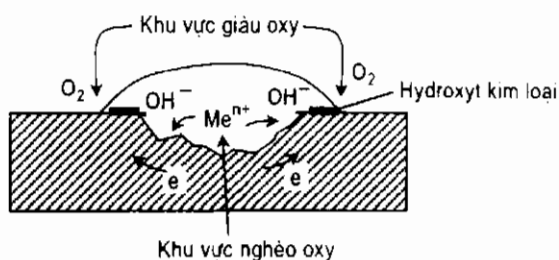
a) hình thành khe;

b) cơ chế ăn mòn khe

Nói chung các khe phải đủ rộng để dung dịch thâm nhập nhưng cũng phải đủ hẹp để dung dịch tù đọng. Chiều rộng của khe thường cỡ vài phần nghìn xentimet. Trong khí quyển các khe có khả năng giữ ẩm, do đó sẽ tăng cường sự ăn mòn.

3.3.3. Ăn mòn do lắng đọng

Nếu trên bề mặt kim loại có những giọt nước hoặc sản phẩm ăn mòn lắng đọng cũng gây ăn mòn do thông khí không đều. Khu vực nghèo oxy sẽ bị ăn mòn. Hình 3.10 là sơ đồ ăn mòn do lắng đọng.

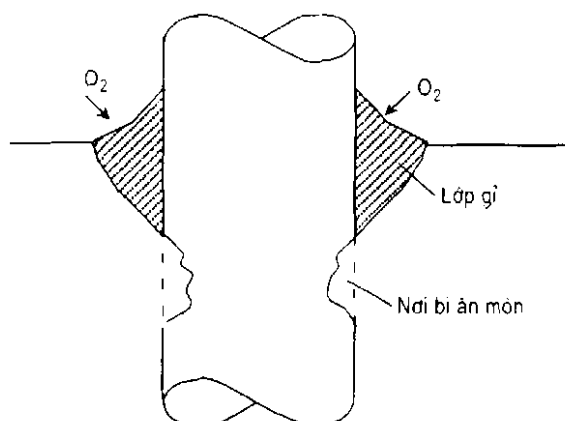


Hình 3.10. Sơ đồ ăn mòn do lắng đọng

3.3.4. Ăn mòn đường mớn nước

Biến thiên nồng độ trong pin thông khí không đều giải thích tại sao có sự tăng cường ăn mòn tại khu vực gần đường mớn nước.

Khu vực dưới đường mớn nước nồng độ oxy nghèo hơn nên trở thành anot, kim loại bị hoà tan. Tại đường mớn nước oxy hoà tan sẽ bị khử. Bề mặt kim loại tại khu vực đường mớn nước sẽ bị thụ động do kiềm mạnh tạo thành khi khử oxy. Vì vậy kim loại ở khu vực ngay dưới đường mớn nước bị ăn mòn ta gọi là ăn mòn đường mớn nước. Hình 3.11 mô tả hiện tượng này.



Hình 3.11. Ăn mòn đường mớn nước

3.4. ĂN MÒN ĐIỂM

Ăn mòn điểm (pitting corrosion) xảy ra trên một phần rất nhỏ bề mặt kim loại trong khi hầu như toàn bộ bề mặt kim loại ở trạng thái thụ động. Dạng ăn mòn này xảy ra với các kim loại hoặc hợp kim dễ bị thụ động như sắt, thép, thép không gỉ, các hợp kim trên cơ sở Al, Ni, Ti, Zn... Ăn mòn điểm những kim loại và hợp kim kể trên xảy ra trong môi trường chứa chất oxy hoá (oxy của không khí, NO_3^- , NO_2^- , CrO_4^{2-} ...) và các chất hoạt hoá (Cl^- , Br^- , I^- ...) đồng thời.

Sự ăn mòn điểm thường xảy ra trong nước biển, dung dịch rượu trong nước chứa HCl hoà tan, trong nước muối của máy lạnh, trong hệ thống tuần hoàn nước của xí nghiệp hoá chất.

3.4.1. Cơ chế ăn mòn điểm

Sự ăn mòn điểm xảy ra theo ba giai đoạn: phát sinh, phát triển và tái thụ động.

3.4.1.1. Phát sinh ăn mòn điểm

Sự phát sinh ăn mòn điểm là do trạng thái thụ động của kim loại hay hợp kim ở một số nơi riêng biệt trên bề mặt của chúng bị các anion hoạt hoá phá huỷ. Tại các điểm đó màng oxyt nhanh chóng bị phá huỷ tạo sự *hoạt hoá bề mặt cục bộ*. Đó là do các anion - chất hoạt hoá hấp phụ cạnh tranh đẩy oxy ra khỏi bề mặt kim loại hay hợp kim tại những nơi độ bền liên kết của oxy với kim loại yếu hơn của anion.

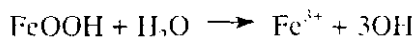
Sự phá huỷ trạng thái thụ động ở một số điểm riêng biệt làm cho tốc độ ăn mòn tăng lên và phát sinh ăn mòn điểm. Những điểm riêng biệt đó là các tạp chất phi kim (đặc biệt là các sunfua), biên giới các hạt tinh thể, nơi có nồng độ Cr thấp trong dung dịch rắn hình thành sau quá trình gia công nhiệt...

Thường tâm điểm của ăn mòn điểm là biên giới kim loại - tạp chất phi kim. Tại các điểm đó màng thụ động có khả năng bảo vệ kém nên dễ hấp phụ các anion - chất hoạt hoá. Khi phân cực anốt thì sự hấp phụ anion - chất hoạt hoá tăng lên và khi điện thế đạt tới một giá trị nào đó màng thụ động bị *nguyên thủy và ăn mòn điểm* bắt đầu. Điện thế đó gọi là điện thế ăn mòn điểm E_{pu} (hình 3.12). Điện thế E_{pu} là chỉ số đánh giá khuynh hướng ăn mòn điểm của kim loại. E_{pu} càng âm thì kim loại và hợp kim bị ăn mòn điểm càng mạnh. Ví dụ, Al có $E_{pu} = -0,43$ V trong dung dịch 0,1 N NaCl còn Ni có $E_{pu} = 0,28$ V. Như vậy Al dễ bị ăn mòn điểm hơn Ni.

Sự phát sinh ăn mòn điểm của kim loại và hợp kim phụ thuộc vào bản chất anion và nồng độ của chúng: anion - chất hoạt hoá hiệu quả nhất là Cl^- , Br^- còn F^- không phải là chất hoạt hoá và không gây ăn mòn điểm.

Ta lấy ví dụ sự hoà tan màng thụ động trên sắt để xét vai trò của anion - chất hoạt hoá Cl^- .

Khi không có ion Cl^- , màng thụ động $FeOOH$ hoà tan chậm:

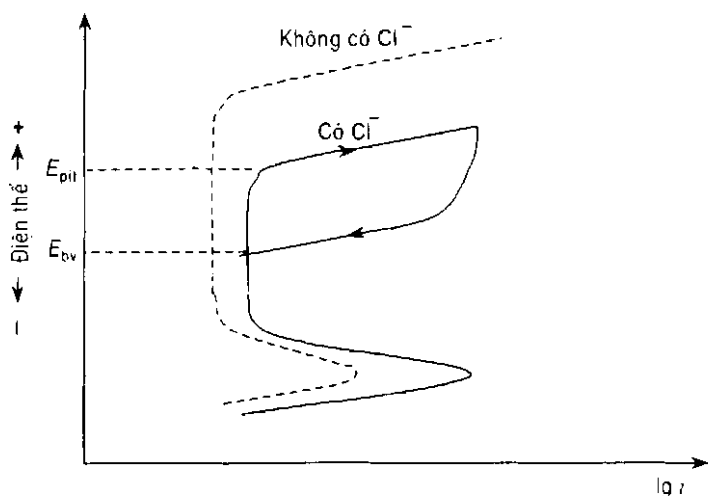


Cl^- được coi là chất xúc tác giải phóng Fe^{3+} :



Sự có mặt của các anion chứa oxy như OH^- , CrO_4^{2-} , NO_3^- , SO_4^{2-} , ClO_3^- trong

dung dịch NaCl làm cho thép không gỉ khó bị ăn mòn điểm hơn, thậm chí ở một tỷ lệ nồng độ nhất định giữa các anion – chất làm chậm đã nói ở trên với anion Cl^- , ăn mòn điểm sẽ không xảy ra.



Hình 3.12. Đường cong von-ampe vòng trong trường hợp có ăn mòn điểm:

đường đứt là đường cong von-ampe vòng trong dung dịch không chứa ion Cl^- ;

đường liền là đường cong von-ampe vòng trong dung dịch có chứa ion Cl^- .

Mũi tên chỉ chiều quét thế;

E_{bv} là điện thế bảo vệ, dưới điện thế này không có ăn mòn điểm;

E_{pit} là điện thế xuyên thủng màng thụ động và bắt đầu ăn mòn điểm.

Trong dung dịch NaCl trung tính, thép không gỉ không bị ăn mòn điểm ở các tỷ lệ nồng độ sau: $C_{\text{Na}_2\text{SO}_4} : C_{\text{NaCl}} \geq 10$; $C_{\text{Na}_2\text{CrO}_4} : C_{\text{NaCl}} \geq 7$; $C_{\text{NaNO}_3} : C_{\text{NaCl}} \geq 0.4$; $C_{\text{NaClO}_3} : C_{\text{NaCl}} \geq 0.5$.

Bản chất kim loại, trạng thái bề mặt, thành phần pha của hợp kim... cũng ảnh hưởng đến sự phát sinh ăn mòn điểm.

Ví dụ với thép không gỉ, nếu tăng hàm lượng Ni, đặc biệt là Cr thì khả năng bền với ăn mòn điểm tăng lên. Khi hàm lượng Cr là 30% hoặc hơn thì thép Fe-Cr bền với ăn mòn điểm trong dung dịch clorua. Hàm lượng Ni lớn hơn 10% cũng tăng độ bền với ăn mòn điểm.

3.4.1.2. Sự phát triển các “điểm” ăn mòn

Trong quá trình ăn mòn điểm thì anốt là các “điểm” ăn mòn, còn catốt là bề mặt còn lại của kim loại đang ở trạng thái thụ động. Số “điểm” ăn mòn không tăng lên theo thời gian vì rằng các “điểm” là các anốt đóng vai trò như anốt hy sinh nên giảm khả năng sinh các điểm mới.

Theo I. L. Rosenfeld thì ăn mòn điểm được coi như là một dạng ăn mòn khe. Theo ông thì các điểm ăn mòn (pit) của thép không gỉ trong các môi trường khác nhau là các ổ ăn mòn đóng kín. Sự thâm nhập của chất điện giải và chất thụ động đi theo nó bị cản trở nên kim loại ở điểm ăn mòn ở trạng thái hoạt động và điểm ăn mòn sẽ phát triển.

3.4.1.3. Sự tái thụ động điểm ăn mòn

Tốc độ ăn mòn trong các điểm rất khác nhau. Phần lớn các điểm có tốc độ ăn mòn giảm dần theo thời gian, trong một số điểm sự ăn mòn ngừng hẳn, chỉ có một số ít điểm sự ăn mòn phát triển.

Hiện tượng ngừng ăn mòn trong các điểm gọi là *sự tái thụ động*. Nguyên nhân của sự tái thụ động là:

a) Các cấu trúc thành phần có màng thụ động kém hoàn thiện bị bào mòn hết và trên bề mặt tạo thành màng thụ động hoàn thiện hơn nên tốc độ ăn mòn giảm rồi ngừng hẳn.

b) Điện thế kim loại ở điểm ăn mòn dịch chuyển đến vùng thụ động.

Để bảo vệ kim loại khỏi ăn mòn điểm ta có thể dùng các phương pháp điện hoá, chất làm chậm, và hợp kim hoá thích hợp. Hợp kim hoá thép không gỉ bằng Cr, Si, Mo sẽ tăng cao độ bền với ăn mòn điểm của nó.

Khi trong môi trường chứa một lượng lớn ion Cl^- , ta phải dùng Ti là kim loại rất bền với ăn mòn điểm trong điều kiện đó. Khi bảo vệ catốt điện thế của kim loại dịch chuyển về phía âm hơn do đó khó hấp phụ các anion – chất hoạt hoá. Ở điện thế âm hơn điện thế tạo pitting một chút thì ăn mòn điểm không xảy ra.

Trong dung dịch có chứa chất ức chế ăn mòn (ngoài các anion – chất hoạt hoá) thì có thể dùng phương pháp bảo vệ anốt. Ví dụ, khi phân cực anốt thép không gỉ trong dung dịch $\text{NaCl} + \text{NaNO}_3$ ở điện thế dương hơn điện thế tạo

pitting, thép không gỉ bị thụ động và ăn mòn điểm không xảy ra. Chất ức chế ăn mòn có thể là NaNO_2 , CrO_4^{2-} , NO_3^- , SO_4^{2-} , OH^- ...

3.4.2. Tác hại của ăn mòn điểm

Ăn mòn điểm rất nguy hiểm vì khó phát hiện. Tuy lượng kim loại bị mất đi ít nhưng sức bền vật liệu kim loại lại giảm đáng kể. Các điểm pitting tiến từ bề mặt vào sâu bên trong theo hướng gần như thẳng góc (hình 3.13).



Hình 3.13. Sơ đồ ăn mòn điểm:

d - chiều sâu ăn mòn đều;

p - chiều sâu ăn mòn điểm.

Hệ số ăn mòn lỗ F_p là tỷ số: $F_p = p/d$.

Tỷ số này càng lớn thì càng nguy hiểm vì sức bền của vật liệu giảm càng mạnh. Một điểm pitting thường khởi đầu trên bề mặt kim loại bởi các khuyết tật như vết xước trên lớp sơn, chỗ yếu trên màng thụ động...

3.5. ĂN MÒN TINH GIỚI

3.5.1. Khái quát

Ăn mòn tinh giới xảy ra khi biên giới các hạt bị ăn mòn do có các kết tủa tại vùng đó. Biên giới các hạt thường là nơi ưu tiên xảy ra các quá trình phân ly và kết tủa của hợp kim.

Theo quan điểm ăn mòn thì các sản phẩm kết tủa và phân ly đó có năng lượng nhiệt động khác hẳn phần còn lại của vật liệu.

Các chất lạ thâm nhập này được chia làm hai loại:

- Các liên kim tạo thành từ các nguyên tử kim loại khác nhau. Chúng có thể có điện thế âm hơn hoặc dương hơn kim loại.

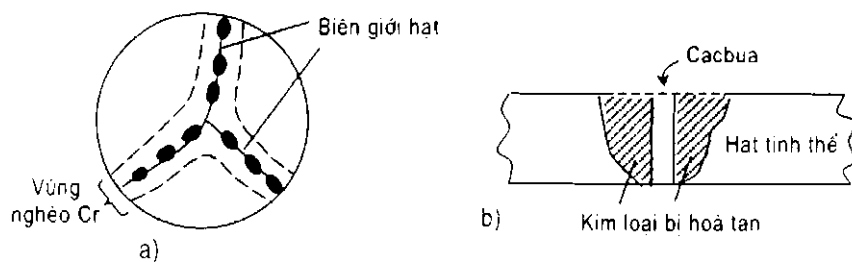
– Các hợp chất hoá học giữa kim loại và phi kim (hydro, cacbon, silic, nitơ và oxy). Sắt cacbua và mangan sunfua là hai thành phần chủ yếu của thép đều có điện thế dương hơn ferit.

Về nguyên tắc tất cả kim loại và hợp kim chứa liên kim và hợp chất hoá học tại biên giới hạt đều nhạy cảm với ăn mòn tinh giới (ăn mòn vùng biên giới các hạt tinh thể).

3.5.2. Ăn mòn tinh giới thép không gỉ ôstênit

Khi thép không gỉ ôstênit được gia công nhiệt ở nhiệt độ cao rồi làm nguội từ từ thì tại nhiệt độ từ 425°C đến 815°C crom cacbua (chromium carbide) $(Fe,Cr)_3C_6$ không tan sẽ kết tủa tại biên giới các hạt. Dưới 425°C tốc độ khuếch tán của cacbon rất thấp nên không thể có sự tạo thành cacbua. Trên 815°C, crom cacbua hoà tan.

Crom cacbua kết tủa rất giàu Cr, nhưng hợp kim xung lại nghèo Cr ở vùng biên giới hạt (hình 3.14). Vùng nghèo Cr ở biên giới hạt sẽ bị ăn mòn và là anốt. Tỷ số diện tích anốt S_a trên diện tích catốt S_c rất bé nên vùng biên giới hạt bị ăn mòn mạnh.



Hình 3.14:

- a) sơ đồ biên giới hạt thép không gỉ;
b) mặt cắt biên giới hạt

Có thể ổn định hoá thép không gỉ ôstênit bằng cách cho thêm một lượng nhỏ titan hoặc niobi (ở Mỹ có tên là columbi). Những nguyên tố thay vì Cr này khi đủ hàm lượng sẽ ưu tiên tạo thành cacbua và như vậy vùng biên giới hạt không bị nghèo Cr. Thường lượng titan và niobi gấp 5 ÷ 10 lần lượng cacbon có mặt trong hợp kim đủ đảm bảo để không hình thành crom cacbua.

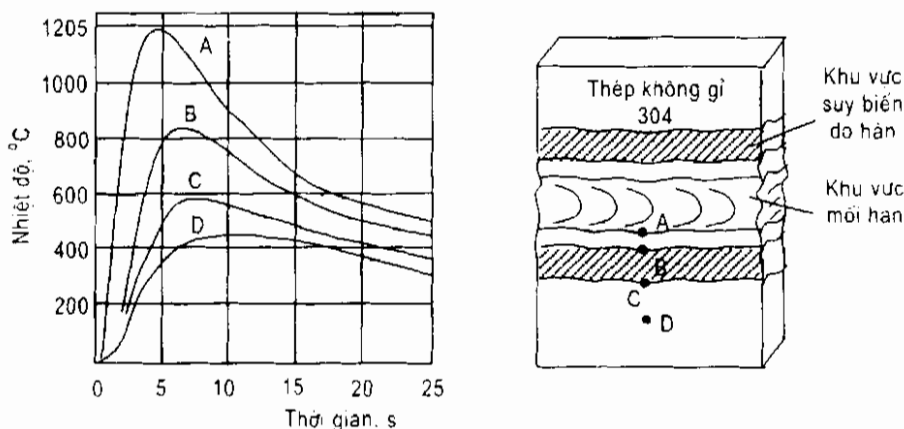
Về nguyên tắc có ba cách giảm độ nhạy cảm với ăn mòn tinh giới:

- Dùng thép cacbon thấp (dưới 0,03% C).
- Gia nhiệt lại để hoà tan các kết tủa cacbua.
- Thêm titan hoặc niobi để tạo thành cacbua ưu tiên với chúng thay vì với Cr.

3.5.3. Suy biến do hàn

Sự nhạy cảm của thép không gỉ ôstênit với ăn mòn tinh giới khi hàn được gọi là suy biến do hàn. Hình 3.15 cho biết sự suy biến khi hàn thép không gỉ 304 (Fe18Cr8Ni chứa 0,06% C). Kim loại ở giữa điểm B, C (bao gồm cả B, C) nằm trong vùng nhiệt độ nhạy cảm tại một khoảng thời gian nhất định. Đó là khu vực suy biến do hàn. Nó nằm hơi xa vùng hàn một chút.

Hiệu ứng thời gian và nhiệt độ phụ thuộc vào chiều dày của vật hàn. Các tấm mỏng hàn một lần, tản nhiệt tốt thời gian ở nhiệt độ nhạy cảm ngắn nên không gây ăn mòn tinh giới. Điều này cũng giải thích tại sao thường dùng hàn hồ quang điện hơn hàn ga thép không gỉ. Hàn hồ quang điện đốt nóng mạnh hơn trong thời gian ngắn hơn, hàn ga có khi vực nhạy cảm rộng hơn, trong thời gian lâu hơn, cacbua kết tủa nhiều hơn.



Hình 3.15. Biến thiên nhiệt độ khi hàn hồ quang thép không gỉ 304 (loại Fe18Cr9Ni chứa 0,06% C)

3.5.4. Ăn mòn dao cắt

Thép không gỉ ôstênit ổn định hoá bằng titan, niobi cũng bị ăn mòn tinh giới trong một số điều kiện do kết tủa crom cacbua. Titan và niobi khi đó không

kết hợp được với cacbon. Ăn mòn tinh giới nghiêm trọng xảy ra ở một dải rất hẹp sát ngay mối hàn, còn các phần khác của kim loại không bị ăn mòn. Ăn mòn dao cắt giống suy biến do hàn ở hai điểm:

- Ăn mòn dao cắt là ăn mòn tinh giới.
- Luôn có liên hệ với sự hàn.

Nhưng nó cũng khác suy biến do hàn ở ba điểm:

- Ăn mòn dao cắt xảy ra trong dải hẹp, ngay sát mối hàn trong khi suy biến do hàn xảy ra ở khoảng cách đáng kể từ mối hàn.
- Ăn mòn dao cắt xảy ra với thép không gỉ được ổn định hoá bằng titan và niobi.
- Quá trình nhiệt của kim loại khác nhau.

Cơ chế của sự ăn mòn dao cắt dựa trên sự hoà tan của titan, niobi trong thép không gỉ. Titan, niobi và các cacbua của chúng hoà tan trong kim loại khi được nung lên đến nhiệt độ rất cao và chúng ở lại dung dịch khi được làm lạnh nhanh từ nhiệt độ đó. Titan, niobi ở lại dung dịch nếu sau đó kim loại lại được nung lên đến khu vực kết tủa crom cacbua. Như vậy là không có sự tạo thành cacbua của titan, niobi và kim loại hoạt động như thế là không có titan, niobi.

3.5.5. Ăn mòn tinh giới của các hợp kim khác

Tuỳ theo kết tủa để nâng cao độ bền, hợp kim nhôm bền cao nhạy cảm với ăn mòn tinh giới. Ví dụ hợp kim duralumin loại Al-Cu rất bền vì kết tủa pha CuAl_2 . Người ta thấy rằng giữa vùng nghèo đồng và các vật liệu liền kề có một hiệu số điện thế lớn. Khi tôi hợp kim để giữ đồng trong dung dịch thì hợp kim ít nhạy với ăn mòn tinh giới và chúng kém bền. Các kết tủa khác như FeAl_3 , Mg_3Al_8 , Mg_2Si , MgZn_2 và MnAl_6 dọc biên giới hạt trên các hợp kim nhôm khác cũng có đặc điểm tương tự nhưng ít quyết liệt hơn.

Một số hợp kim trên cơ sở magie hoặc đồng cũng tương tự duralumin. Hợp kim kẽm đúc chứa nhôm bị ăn mòn tinh giới trong hơi nước và khí quyển biển.

3.6. ĂN MÒN CHỌN LỰA

Ăn mòn chọn lựa là sự ăn mòn một nguyên tố của hợp kim. Ví dụ chung nhất về sự ăn mòn chọn lựa là sự loại kẽm khỏi đồng thau (hợp kim Zn-Cu).

Quá trình tương tự cũng xảy ra với các hợp kim khác, trong đó Al, Fe, Co, Cr và các nguyên tố khác bị thải loại.

3.6.1. Ăn mòn chọn lựa đồng thau

3.6.1.1. Đặc điểm của quá trình loại kẽm

Đồng thau (đồng vàng) chứa khoảng 30% Zn và 70% Cu. Quá trình loại kẽm có thể nhìn thấy bằng mắt thường vì hợp kim trở nên đỏ hơn (màu của đồng). Có hai kiểu loại kẽm. Một loại thải kẽm đều gọi là loại từng lớp, còn loại kia có tính cục bộ tạo thành các lỗ như trong các ổ điện.

Thường đồng thau có hàm lượng kẽm cao và môi trường axit bị loại kẽm kiểu từng lớp, còn loại kẽm cục bộ thường xảy ra ở đồng thau có hàm lượng kẽm thấp.

3.6.1.2. Cơ chế quá trình loại kẽm

Có hai thuyết về thải loại kẽm:

1) Thuyết vị trí trống

Theo thuyết này thì khi kẽm bị hoà tan sẽ để lại vị trí trống trong cấu trúc mạng của đồng thau.

Thuyết này bị phản đối vì không thể loại kẽm đến một chiều sâu đáng kể hoặc là xảy ra rất chậm chạp vì rất khó khuếch tán dung dịch và ion qua bề mặt của các vị trí trống nhỏ bé.

2) Thuyết ba giai đoạn

Thuyết này được dư luận thừa nhận và bao gồm ba bước:

a) Hoà tan đồng thau.

b) Ion kẽm ở lại trong dung dịch vì rất hoạt động.

c) Đóng kết tủa lại trên đồng thau vì đồng có điện thế khá dương. Kẽm có thể bị ăn mòn chậm trong nước sạch bằng cách khử nước thành H_2 và OH^- . Vì vậy sự loại kẽm có thể xảy ra trong dung dịch không chứa oxy. Oxy cũng có thể tham gia phản ứng catốt, cho nên sự thải loại kẽm sẽ được tăng cường khi có mặt oxy. Phân tích bề mặt bị thải loại kẽm ta thấy gồm 90 ÷ 95% Cu và một ít đồng oxyt. Lượng đồng oxyt phụ thuộc hàm lượng oxy trong môi trường.

Lớp kết tủa trên bề mặt đồng thau xốp nên dung dịch dễ dàng tiếp xúc với hợp kim này.

3.6.1.3. Ngăn ngừa sự thải loại kẽm

Có thể ngăn ngừa sự thải loại kẽm bằng giảm độ xâm thực của môi trường (ví dụ đuổi oxy) hoặc bằng bảo vệ catốt, nhưng nói chung các phương pháp trên không kinh tế.

Thường dùng các hợp kim ít nhạy cảm với thải loại kẽm. Ví dụ, đồng thau đỏ (15% Zn) không bị thải loại kẽm. Cho thêm 1% Sn vào đồng thau 70 ÷ 30 (kim loại hải quân) sẽ giảm thải loại kẽm. Sau này người ta còn cho thêm một lượng nhỏ As, Sb, P với vai trò như chất ức chế thải loại kẽm. Ví dụ kim loại hải quân loại chứa As có thành phần 70% Cu, 29% Zn, 1% Sn và 0,04% As. Đường như các nguyên tố ức chế đó kết tủa lại trên bề mặt hợp kim thành một màng ngăn cản sự kết tủa của đồng. Người ta cũng cho thêm As vào đồng thau Al (2% Al). Với môi trường khắc nghiệt tại đó xảy ra sự thải loại kẽm hoặc ở các bộ phận đặc biệt ta dùng hợp kim đồng - niken (70 ÷ 90% Cu, 30 ÷ 10% Ni).

3.6.2. Sự graphit hoá

Gang xám đôi khi cũng bị ăn mòn chọn lựa trong môi trường xâm thực tương đối nhẹ. Gang dường như bị graphit hoá và lớp bề mặt có thể cắt dễ dàng bằng dao nhíp vì thế gọi là sự graphit hoá. Thực ra từ này dùng sai vì graphit vốn có trong gang xám trước khi nó bị ăn mòn. Sắt và thép bị ăn mòn để lại một khối xốp gồm graphit, gỉ và lỗ trống. Gang bị mất sức bền và tính chất kim loại. Sự graphit hoá xảy ra chậm. Trong môi trường ăn mòn mạnh thì toàn bộ bề mặt gang xám sẽ bị ăn mòn đều.

Gang cầu và gang dẻo không bị graphit hoá vì không có mạng graphit để giữ graphit và gỉ. Gang trắng không có cacbon tự do nên cũng không bị graphit hoá.

3.6.3. Ăn mòn chọn lựa các hợp kim khác

Các hệ hợp kim khác đều bị ăn mòn chọn lựa trong dung dịch nước trong điều kiện thích hợp, đặc biệt là trong axit. Người ta quan sát thấy sự loại Al khỏi đồng thanh nhôm trong HF và các axit khác. Những cấu trúc hai pha hoặc hai lớp đặc biệt nhạy với ăn mòn chọn lựa.

Đồng thanh silic (Cu-Si) cũng bị loại Si, còn hợp kim Co-W-Cr thì bị loại Co.

3.6.4. Nhiệt độ cao và oxy hoá chọn lựa

Khi nghiên cứu sự oxy hoá thép không gỉ ở nhiệt độ cao (482°C) M. G. Fontana thấy rằng có sự oxy hoá chọn lựa crom trong bầu khí với nồng độ oxy thấp. Khi có sự tranh chấp oxy thì những nguyên tố có ái lực cao với oxy bị oxy hoá nhiều hơn. Trong trường hợp thép không gỉ thì Cr bị oxy hoá tạo thành lớp bảo vệ hiệu quả. Tuy nhiên phần hợp kim còn lại sẽ bị nghèo Cr. Hợp kim inconel (75% Ni, 15% Cr, 9% Fe) cũng bị hỗn hợp muối clorua - florua của kali hay natri ăn mòn chọn lựa Cr ở 800°C. Hợp kim đó bị phá huỷ biến thành khối bột xốp.

3.7. ĂN MÒN MÀI MÒN

Ăn mòn mài mòn (erosion) là sự gia tăng tốc độ phá huỷ kim loại dưới tác động của sự chuyển động tương đối giữa chất lỏng gây ăn mòn và bề mặt kim loại.

Khi tốc độ chuyển động tương đối rất lớn sẽ gây ra sự mài mòn cơ học. Sản phẩm ăn mòn bị quét khỏi bề mặt kim loại dưới dạng ion hoặc hợp chất hoá học ở thể rắn.

Đôi khi sự chuyển động chất lỏng cũng làm giảm tốc độ ăn mòn, nhất là ăn mòn cục bộ dưới điều kiện tù đọng, nhưng đó không phải là trường hợp ăn mòn mài mòn vì sự phá huỷ kim loại không tăng lên.

Đặc điểm bên ngoài của ăn mòn mài mòn là xuất hiện các khe, rãnh, sóng, lỗ tròn và có hướng.

Phần lớn các kim loại đều nhạy cảm với ăn mòn mài mòn tùy thuộc sự bền vững của màng hình thành trên bề mặt.

Ví dụ sự ăn mòn mài mòn của Al, Pb và thép không gỉ xảy ra khi màng thụ động bị phá huỷ.

Những kim loại mềm dễ bị rách cơ học như đồng, chì rất nhạy cảm với ăn mòn mài mòn.

Nhiều loại môi trường như dung dịch nước, khí, các chất hữu cơ, kim loại lỏng... cũng gây ăn mòn mài mòn.

Có nhiều nhân tố ảnh hưởng đến ăn mòn mài mòn. Sau đây ta chỉ xét những nhân tố thích hợp.

3.7.1. Ảnh hưởng của màng bề mặt

Bản chất và tính chất của màng bảo vệ có ảnh hưởng lớn đến sự ăn mòn mài mòn.

Khả năng bảo vệ của màng phim phụ thuộc vào tốc độ hình thành màng, độ bền với phá huỷ cơ học và mài mòn, tốc độ tái tạo màng khi bị phá huỷ hoặc hư hại. Màng phim liên tục rắn, dày đặc, bám chắc sẽ bảo vệ kim loại tốt hơn màng dễ bị phá huỷ cơ học. Màng giòn bị nứt dưới ứng suất không thể có khả năng bảo vệ. Độ bền của thép không gỉ với ăn mòn mài mòn phụ thuộc vào khả năng thụ động của nó. Nói chung thép không gỉ không bền lắm với ăn mòn mài mòn tuy rằng rất bền trong điều kiện tù đọng.

Chì bền trong axit H_2SO_4 tới 20 năm do tạo thành màng bảo vệ chì sunfat - chì oxyt. Tuy nhiên trong axit mạnh thì PbSO_4 bị tan không có khả năng bảo vệ. Khi tốc độ dòng chảy lớn, sự ăn mòn tăng lên theo nhiệt độ. Trong môi trường clorua bão hoà oxy đồng thau bền hơn đồng vì trên đồng thau có màng CuO đen xám có tính bảo vệ tốt hơn màng đen nâu vàng CuCl_2 trên đồng.

Titan bền với ăn mòn mài mòn do sự ổn định của màng TiO_2 . Màng này bền trong nước biển và HNO_3 bốc khói.

3.7.2. Ảnh hưởng của tốc độ dòng chảy

Tốc độ chảy của môi trường có vai trò quan trọng trong ăn mòn - mài mòn vì nó ảnh hưởng tới cơ chế của phản ứng ăn mòn. Nó có tác dụng mài mòn, đặc biệt khi dung dịch có chứa huyền phù.

Nói chung tăng tốc độ dòng chảy thì tăng tốc độ ăn mòn mài mòn. Tốc độ ăn mòn có thể bằng không hoặc rất chậm cho tới khi đạt tới *tốc độ tới hạn* sau đó tốc độ ăn mòn tăng rất nhanh.

Tuy nhiên ảnh hưởng của tốc độ dòng chảy cũng rất phức tạp. Tăng tốc độ dòng chảy có thể làm tăng hay giảm ăn mòn tùy theo cơ chế của quá trình đó. Nó có thể làm tăng ăn mòn thép do tăng cung cấp oxy, CO_2 , H_2S đến tiếp xúc với bề mặt kim loại. Tăng tốc độ dòng chảy có thể làm giảm tốc độ ăn mòn do

làm tăng hiệu quả của chất ức chế vì tăng cường cung cấp nó đến bề mặt kim loại. Người ta thấy rằng với tốc độ dòng chảy cao nồng độ NaNO_2 cần thiết để bảo vệ thép trong nước máy sẽ thấp hơn.

Tăng tốc độ dòng chảy cũng có thể làm giảm ăn mòn do quét sạch bùn và bẩn đọng lại gây ăn mòn khe.

3.7.3. Ảnh hưởng của chảy xoáy

Chảy xoáy làm cho dung dịch khuấy trộn mãnh liệt hơn, nên môi trường ăn mòn và kim loại tiếp xúc với nhau tốt hơn. Ví dụ, sự ăn mòn ở đầu vào các ống trao đổi nhiệt. Sự ăn mòn tập trung ở $5 \div 10$ cm đầu vào của ống. Sờ dĩ có chảy xoáy ở đây vì chất lỏng chảy từ ống lớn (đầu thiết bị trao đổi nhiệt) vào ống trao đổi nhiệt có đường kính nhỏ.

3.7.4. Ảnh hưởng của sự va đập

Khi dòng chảy bị đổi chiều đột ngột sự ăn mòn mài mòn tăng lên, các chất rắn và cả bọt khí cũng là tác nhân gây ăn mòn va đập.

3.7.5. Ảnh hưởng của hiệu ứng galvanic

Biến thiên tốc độ dòng chảy có thể gây hiệu ứng galvanic bất ngờ. Trong nước biển tốc độ thấp thì tốc độ ăn mòn của thép không bị ảnh hưởng khi ghép với thép không gỉ, đồng, niken hoặc titan. Nhưng ở tốc độ nước biển cao thì thép ghép với thép không gỉ và titan bị ăn mòn thấp hơn khi ghép với đồng hoặc niken. Đó là do thép không gỉ và titan bị phân cực catốt nhiều hơn tại tốc độ cao.

3.7.6. Bản chất của kim loại và hợp kim

Thành phần của kim loại quyết định độ bền với ăn mòn của nó. Nếu kim loại là hoạt động, hoặc hợp kim gồm các nguyên tố hoạt động thì độ bền với ăn mòn của chúng phụ thuộc khả năng tạo thành và duy trì màng thụ động. Còn nếu chúng là các kim loại dương hơn thì chúng đã có độ bền với ăn mòn tự thân và dĩ nhiên trong khi các điều kiện khác như nhau thì chúng cũng ít bị ăn mòn hơn. Ví dụ, hợp kim 80% Ni + 20% Cr tốt hơn hợp kim 80% Fe + 20% Cr vì Ni có độ bền với ăn mòn tự thân tốt hơn Fe.

Thêm một nguyên tố thứ ba vào hợp kim thường nâng cao độ bền với ăn

mòn mài mòn. Cho thêm sắt vào hợp kim Cu-Ni nâng cao đáng kể độ bền với ăn mòn, mài mòn của nó do tạo thành màng bảo vệ ổn định hơn.

3.7.7. Ngăn ngừa ăn mòn - mài mòn

Có năm phương pháp giảm hoặc ngăn ngừa ăn mòn - mài mòn:

1. Vật liệu tốt hơn: Đây là giải pháp kinh tế nhất đối với phần lớn các quá trình ăn mòn - mài mòn.

2. Thiết kế: Nội dung thiết kế chỉ gói gọn trong thay đổi hình dáng hình học, không bao gồm việc chọn lựa vật liệu. Ví dụ như tăng đường kính ống để làm giảm tốc độ, uốn dòng để tránh đối chiều dòng chất lỏng gây va đập, tăng chiều dày thiết bị ở những nơi nguy hiểm...

3. Biến đổi môi trường: Các phương pháp biến đổi môi trường có hiệu quả là đuổi oxy hoặc thêm chất ức chế, tuy nhiên trong nhiều trường hợp lại không kinh tế. Có thể lắng lọc để loại các chất rắn, giảm nhiệt độ môi trường đến thấp nhất có thể để giảm ăn mòn mài mòn.

4. Lớp phủ: Dùng các loại lớp phủ để ngăn cách kim loại với môi trường là phương pháp dễ thực hiện để chống ăn mòn - mài mòn.

5. Bảo vệ catốt: Không được sử dụng rộng rãi để chống ăn mòn mài mòn. Một số nhà máy dùng các tấm kẽm làm anốt hy sinh để bảo vệ các máy bơm.

3.8. ĂN MÒN DƯỚI ỨNG SUẤT

3.8.1. Khái niệm về cơ học vật liệu [5]

3.8.1.1. Ứng suất và độ biến dạng

Theo Robert Hooke thì tính đàn hồi của vật liệu được mô tả bằng biểu thức:

$$\frac{\text{Tải trọng}}{\text{Độ giãn dài}} = \text{const}$$

Cho dù tải trọng không quá lớn thì phần lớn các vật liệu sẽ giãn ra hoặc bị nén lại đều theo chiều của tải trọng.

Đàn hồi là một hành vi tuyến tính và thuận nghịch. Để nghiên cứu chính xác hơn tác động của lực đến các vật liệu ta cần có định nghĩa về một số thông số.

◆ Ứng suất là tỷ số giữa lực tác động lên vật liệu và diện tích chịu lực (hình 3.16):

$$\sigma = \text{ứng suất} = \frac{\text{Lực tác động } P}{\text{Diện tích chịu lực } S_0} = \frac{P}{S_0} \quad (3.1)$$

Đơn vị của ứng suất là N.m^{-2} hay Pascal ($1 \text{ Pa} = 1 \text{ N.m}^{-2}$).

◆ Vật liệu được nói là có độ biến dạng khi bị biến dạng dưới ứng suất:

$$\text{Độ biến dạng} = \frac{\text{Biến dạng tổng cộng}}{\text{Kích thước của vật liệu}}$$

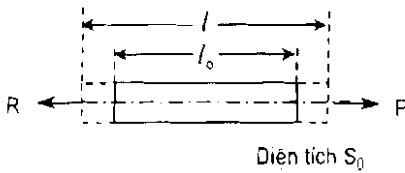
◆ Độ biến dạng kéo ε :

$$\varepsilon = \frac{l - l_0}{l_0} \quad (3.2)$$

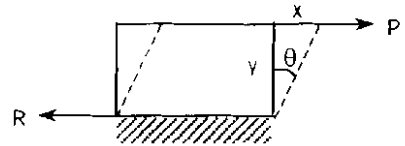
l_0 - chiều dài ban đầu;

l - chiều dài dưới tải trọng.

Độ biến dạng không có thứ nguyên thường biểu diễn bằng phần trăm kích thước ban đầu:



Hình 3.16. Ứng suất kéo đồng trục



Hình 3.17. Ứng suất tiếp

Hình 3.17 trình bày ứng suất tiếp τ . Vật liệu được cố định ở đáy của lực đặt vào song song với mặt đỉnh. Lực đối thì ngược chiều nhưng không cùng trên một đường thẳng. Độ biến dạng tiếp đo bằng góc biến dạng θ tính bằng radian. Vì θ nhỏ nên:

$$\theta \text{ (radian)} \approx \text{tg } \theta = \frac{x}{y} \quad (3.3)$$

Với phần lớn vật liệu thì:

$$\frac{\text{Ứng suất}}{\text{Độ biến dạng}} = \text{const}$$

Với ứng suất kéo thì const có tên là modun Young E . Vì độ biến dạng là đại lượng không thứ nguyên nên đơn vị của E trùng với của ứng suất.

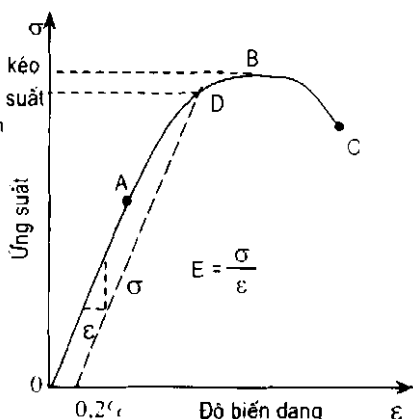
3.8.1.2. Độ bền kéo

Hình 3.18 trình bày đường thử nghiệm kéo. Thời gian đầu giữa ứng suất và độ biến dạng có quan hệ bậc 1 và dần hồi nghĩa là khi không có ứng suất thì vật liệu lại có kích thước ban đầu. Tại A vật liệu đạt đến giới hạn của sự đàn hồi. Qua điểm A để có cùng một giá số biến dạng ta chỉ cần một giá số về tải trọng nhỏ hơn trước đó. Tình trạng này kéo dài đến điểm B, tại đó mẫu thử bắt đầu bắt đầu thắt lại tại một điểm nào đó. Ứng suất tại điểm thắt B được gọi là độ bền kéo. Tiếp tục biến dạng thì ứng suất giảm xuống đến khi mẫu thử bị đứt tại C.

Độ giãn dài khi đứt càng lớn thì vật liệu được coi là càng dẻo.

Bề mặt đứt gãy của vật liệu dẻo thường bị xé nát, còn bề mặt đứt gãy của vật liệu giòn thường bóng, sáng không có vết xé.

Rất khó xác định được điểm, tại đó biến dạng dẻo bắt đầu vượt trội biến dạng đàn hồi. Vì vậy người ta sử dụng một thông số khác có tên là ứng suất trần hay ứng suất chịu đựng (proof stress). Ví dụ một ứng suất trần 0,2% sẽ gây ra biến dạng thường trực là 0,2%. Ta gọi là biến dạng thường trực vì nó không mất đi khi không có ứng suất trần.

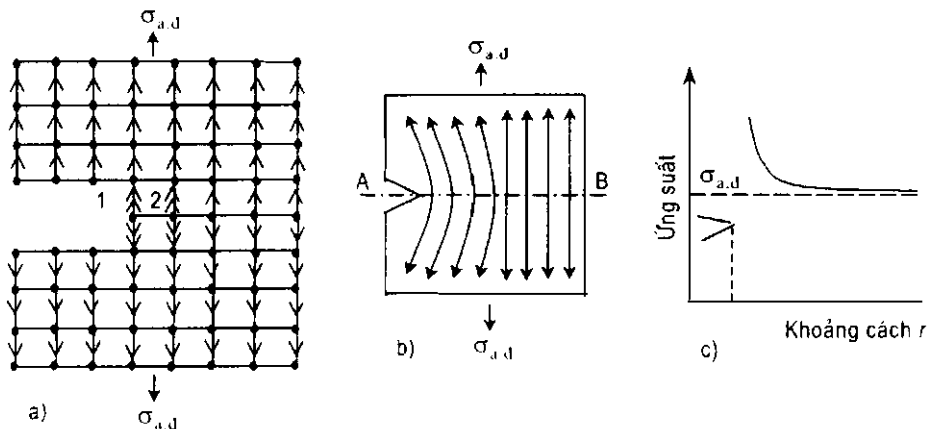


Hình 3.18. Đường ứng suất độ biến dạng khi kéo

3.8.1.3. Sự tập trung ứng suất

Trong các tình thế hoàn chỉnh thì ứng suất được hấp thụ đều trên các liên kết giữa các nguyên tử kim loại. Nhưng khi mạng lưới tinh thể có khuyết tật thì sự phân bố ứng suất sẽ không đều và tập trung vào các mối liên kết liền kề với khuyết tật (biểu thị bằng hai mũi tên). Cho nên các liên kết 1, 2 (hình 3.19a) sẽ chịu ứng suất lớn hơn là ứng suất áp đặt $\sigma_{a.d}$. Càng xa chỗ đó thì ứng suất giảm đến ứng suất trung bình và cũng là ứng suất bên ngoài. Với ứng suất áp đặt tương đối nhỏ thì liên kết chỉ bị căng ra, nhưng với $\sigma_{a.d}$ lớn thì ứng suất ở liên kết 1 có thể lớn hơn độ bền liên kết và liên kết sẽ bị phá. Bây giờ ứng suất lại

tập trung vào 2 và sự tập trung còn lớn hơn trước và giống như hiệu ứng domino vật liệu sẽ bị đứt gãy. Hình 3.19b cho thấy tại sao ứng suất lại tập trung lớn nhất tại đầu vết nứt. Ứng suất hiệu quả theo chiều x tại các điểm dọc AB được phân bố theo hình 3.19c.



Hình 3.19:

- a) ảnh hưởng của ứng suất áp đặt $\sigma_{a,d}$ đến liên kết nguyên tử trong mạng tinh thể có vết nứt;
- b) tập trung ứng suất tại đầu vết nứt;
- c) biến thiên $\sigma_{a,d}$ theo chiều x tức σ_x với khoảng cách r đến đầu vết nứt.

3.8.1.4. Cơ học đứt gãy dẻo tuyến tính

Để giản đơn ta coi mọi khuyết tật đều là vết nứt. Quá trình phá huỷ vật liệu nói chung gồm hai giai đoạn:

- Giai đoạn khởi đầu: Các vết nứt có thể tồn tại trong vật liệu gốc do quá trình gia công gây nên hoặc nó cũng có thể phát sinh do tác động cơ học và ăn mòn.
- Giai đoạn lan truyền: Một khi đã phát sinh, các vết nứt có thể lan truyền do tác động cơ học hoặc ăn mòn.

Có ba kiểu lan truyền vết nứt:

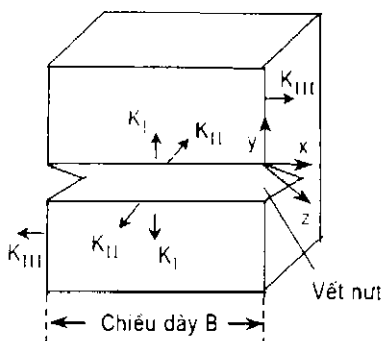
- Kiểu mở vết nứt I gây hư hỏng nhiều nhất, các mặt nứt tách ra trực tiếp. Kiểu này xảy ra khi có ứng suất kéo.
- Kiểu trượt cùng mặt phẳng II, các mặt nứt trượt lên nhau theo chiều thẳng góc với cạnh chính của vết nứt.

- Kiểu trượt tiếp các mặt đối III hay còn gọi là kiểu xé rách, trong đó các mặt nứt trượt lên nhau theo chiều song song với cạnh chính của vết nứt.

- Kiểu II và III ít xảy ra hơn kiểu I nên ở giai đoạn sau ta chỉ xét kiểu I.

Xét mẫu như hình 3.20 được áp đặt ứng suất kéo $\sigma_{a,d}$ như kiểu I.

Đầu tiên sự tập trung ứng suất trên vết nứt nhỏ chưa đủ để tạo nên sự phát triển đáng kể vết nứt. Khi chiều dài vết nứt tăng lên thì sự tập trung ứng suất tại đầu vết nứt đạt tới ứng suất có hiệu quả đủ lớn để vết nứt bắt đầu phát triển với tốc độ lớn và phá huỷ vật liệu. Ta gọi *chiều dài đó là chiều dài tới hạn*, nhỏ hơn nó thì vật liệu được coi là bền. Bây giờ ta tìm độ bền đứt gãy của kiểu I.



Hình 3.20. Ba kiểu phát triển vết nứt:

I- kiểu mở vết nứt;

II- kiểu trượt cùng mặt phẳng;

III- kiểu trượt tiếp các mặt đối

Trên hình 3.20 chiều dày của mẫu là B , và vết nứt phát triển ra toàn bộ chiều dày ta gọi là *nứt xuyên chiều dày*.

Áp dụng đồ thị 3.19c và biến thiên ứng suất hiệu quả với khoảng cách trong một vật thể dài vô hạn có một *vết nứt xuyên chiều dày* dài $2a$ thì ứng suất có hiệu quả tại khoảng cách rất nhỏ r tới đầu mút của vết nứt sẽ là:

$$\sigma = \frac{K}{(2\pi r)^{1/2}} \quad (3.4)$$

K - hệ số cường độ ứng suất và được tính theo công thức:

$$K = \sigma_{a,d} \cdot (\pi a)^{1/2} \quad (3.5)$$

Với kiểu mở vết nứt I thì thay K bằng K_I . Khi vết nứt đạt chiều dài tới hạn để phá huỷ vật liệu thì K_I giảm thiểu và trở thành *độ bền đứt gãy* $K_{I,c}$:

$$K_{I,c} = \sigma_{a,d} \cdot (\pi a_{I,b})^{1/2} \quad (3.6)$$

Ta thấy dường như xác định độ bền đứt gãy là công việc đơn giản. Thực ra không phải vậy, ta sẽ thu được các độ bền đứt gãy khác nhau với cùng một vật liệu có chiều dày khác nhau. Hình 3.21 cho thấy hệ số cường độ ứng suất tới

hạn phụ thuộc chiều dày vật liệu thử nghiệm. Giá trị của hệ số cường độ ứng suất tới hạn K_C thấp nhất là độ bền đứt gãy của vật liệu K_{LC} , một thông số thiết kế chủ yếu của kỹ thuật hiện đại. Bề mặt đứt gãy thường không bằng phẳng khi vật liệu thử nghiệm dẻo, có độ bền đứt gãy cao, không đủ dày để đo chính xác K_{LC} . Sự không bằng phẳng này sẽ mất đi khi ta có chiều dày đủ để đo chính xác K_{LC} .

Với các mẫu mỏng thì bề mặt đứt gãy không bằng phẳng ta có ứng suất phẳng. Trong trường hợp mẫu dày xảy ra đứt gãy giòn ta có độ biến dạng phẳng. Trường hợp trung gian có kiểu đứt gãy hỗn hợp. Chiều dày B để có biến dạng phẳng tính như sau:

$$B = 2.5 \cdot \left[\frac{K_{LC}}{\sigma_{ys}} \right]^2 \quad (3.7)$$

trong đó σ_{ys} - độ bền đàn hồi.

Hình 3.22 trình bày sự biến thiên của tốc độ phát triển vết nứt theo hệ số cường độ ứng suất.

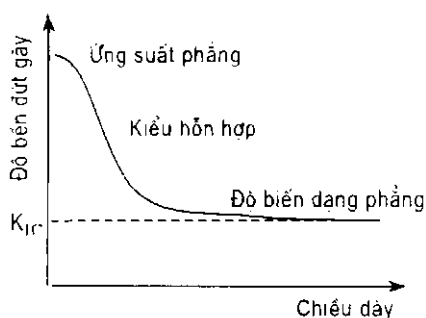
3.8.1.5. Sự mỏi

Sự mỏi bắt đầu được chú ý sau những năm năm mươi của thế kỷ XX khi máy bay Comet bị rơi.

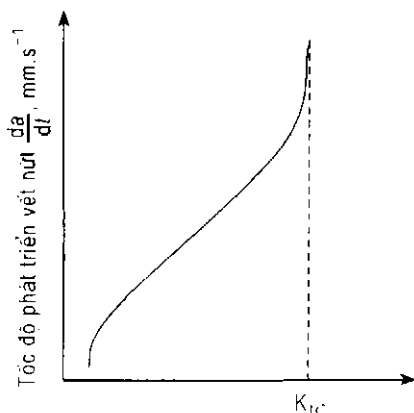
Sự mỏi của vật liệu gây nên bởi ứng suất thay đổi cả về độ lớn lẫn chiều tác dụng theo chu kỳ.

Hình 3.23 giới thiệu ba chu kỳ tải trọng khác nhau:

- Đường (a) giới thiệu biến thiên tải trọng hình sin dao động với biên độ bằng nhau xung quanh điểm trung bình 0.



Hình 3.21. Biến thiên độ bền đứt gãy theo chiều dày



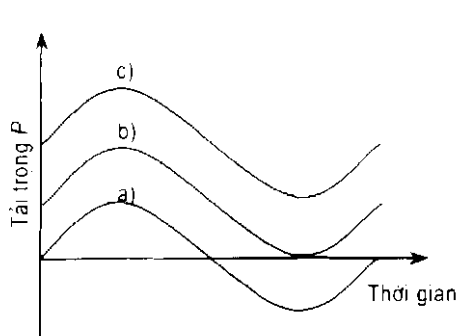
Hình 3.22. Biến thiên tốc độ phát triển vết nứt theo hệ số cường độ ứng suất K_I

- Đường (b) là chu kỳ tải trọng tương tự, nhưng không bao giờ có giá trị âm mà chỉ bắt đầu từ 0 và trở về 0.

- Đường (c) thì có tải trọng luôn luôn dương.

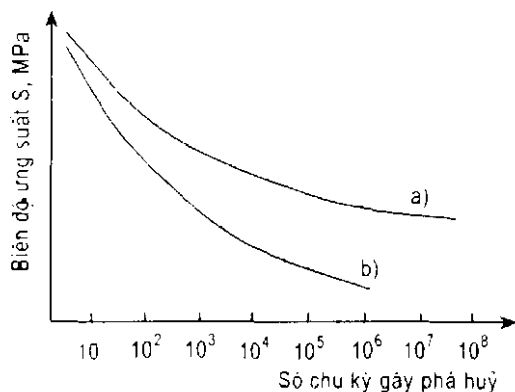
Ta có thể mô tả trạng thái của ba đường trên bằng tỷ số giữa tải trọng cực tiểu P_{\min} trên tải trọng cực đại P_{\max} được áp đặt vào vật liệu $P_{\min}/P_{\max} = R$. Đường (a) ứng với $R = -1$, (b) ứng với $R = 0$, còn (c) thì $R > 0$.

Ngoài biên độ, thì tần số của dao động cũng quan trọng. Cần nói thêm rằng trong thực tế kỹ thuật thì các chu kỳ có thể bất thường không giống các trường hợp lý tưởng kể trên.



Hình 3.23. Ba chu kỳ tải trọng:

- a) $R = 1$;
- b) $R = 0$;
- c) $R > 0$



Hình 3.24. Đường S-N trong thử nghiệm mỏi trong không khí:

- a) hợp kim sắt;
- b) hợp kim không sắt

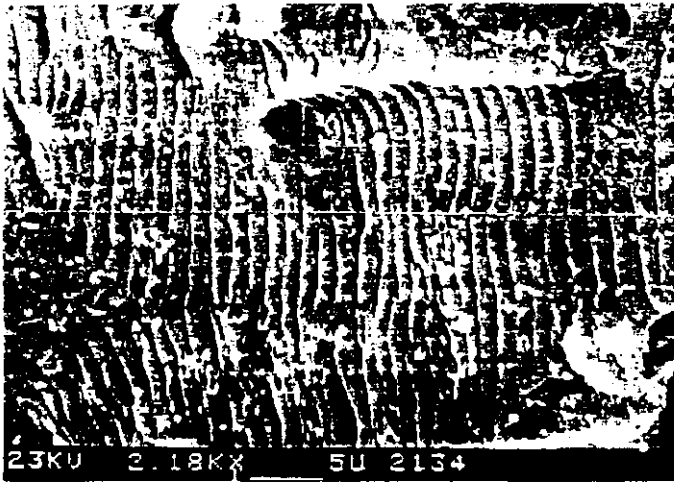
Hình 3.24 trình bày sự phụ thuộc biên độ S vào logarit số chu kỳ gây phá hủy. Đồ thị này gọi tắt là đường cong S-N.

Đường (a) trình bày mức ứng suất, mà dưới đó vật liệu không bao giờ bị phá hủy. Sắt và hợp kim của sắt là vật liệu có tính chất này điển hình.

Đa số các hợp kim không chứa sắt không có đặc tính này được biểu thị bằng đường (b).

Sự phát triển của vết nứt sẽ xoay quanh chỗ yếu cục bộ. Đường đi của vết nứt thẳng góc với chiều tác dụng của vectơ tải trọng cực đại. Khi vật liệu bị gãy thì bề mặt đứt gãy hiện ra và ta nhìn thấy trên đó các *vết mỏi* (hình 3.25) thẳng

góc với đường đi của vết nứt. Chiều rộng của vết mỗi khoảng 1,5 μm . Đoạn thẳng ở cuối hình tương đương 5 μm . Số vết mỗi này là số lần phát triển vết nứt trong mỗi pha dương của chu kỳ tải.



Hình 3.25. Ảnh chụp hiển vi điện tử của vết mỏi trên bề mặt đứt gãy

Những số liệu về thử nghiệm mỏi cũng có thể vẽ trên đồ thị tương tự hình 3.22, nhưng thay K_I bằng hiệu số giữa cường độ ứng suất cực đại và cực tiểu của mỗi chu kỳ:

$$\Delta K = K_{\max} - K_{\min} \quad (3.8)$$

Trong khoảng biên độ ứng suất trung gian thì tốc độ phát triển vết nứt tuân theo phương trình Paris (luật Paris):

$$\frac{da}{dN} = C \Delta K^m \quad (3.9)$$

C - hằng số thực nghiệm;

$m = 2 \div 3$ với đa số vật liệu.

3.8.2. Ăn mòn nứt dưới ứng suất

Ăn mòn nứt dưới ứng suất là sự nứt gãy ra do tác dụng đồng thời của ứng suất kéo và môi trường ăn mòn đặc biệt. Trong quá trình bị ăn mòn nứt dưới ứng suất, phần lớn bề mặt kim loại và hợp kim không bị xâm hại, nhưng có những vết nứt nhỏ phát triển xuyên qua chúng. Hiện tượng ăn mòn nứt rất nguy hiểm vì nó có thể xảy ra ở ứng suất nhỏ hơn ứng suất vẫn dùng thiết kế (khi chưa có

tác động của ăn mòn). Những yếu tố ảnh hưởng đến ăn mòn nứt là nhiệt độ, thành phần dung dịch, thành phần kim loại, ứng suất và cấu trúc kim loại.

3.8.2.1. Ảnh hưởng của ứng suất

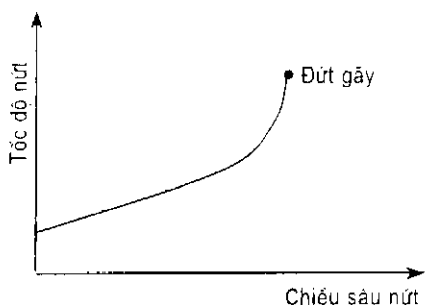
Tăng ứng suất sẽ giảm thời gian cần thiết để phát sinh vết nứt. Ứng suất nhỏ nhất để không xảy ra ăn mòn nứt phụ thuộc vào nhiệt độ, thành phần hợp kim và thành phần môi trường.

Để ăn mòn nứt xảy ra thì các ứng suất phải là kéo và đủ lớn. Các ứng suất đó có thể do các nguồn khác nhau: từ ngoài áp vào, ứng suất dư do nhiệt hoặc hàn. Trong thực tế thì đa số ăn mòn nứt không do các ứng suất từ ngoài áp đặt.

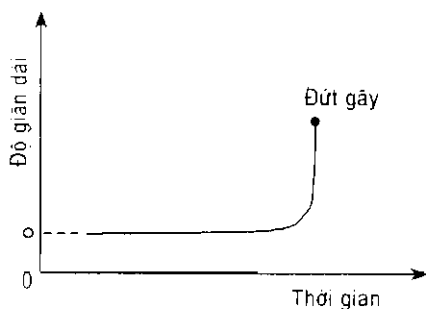
3.8.2.2. Thời gian phát sinh nứt

Khi ăn mòn nứt do ứng suất thâm nhập vào vật liệu thì tiết diện của nó giảm xuống và cuối cùng đứt gãy nứt hoàn toàn do tác dụng cơ học gây nên.

Hình 3.26 trình bày phụ thuộc tốc độ nứt vào chiều sâu vết nứt dưới tác dụng của tải trọng kéo không đổi.



Hình 3.26. Phụ thuộc tốc độ nứt dưới ứng suất kéo vào chiều sâu nứt



Hình 3.27. Phụ thuộc độ giãn dài vào thời gian trong thử nghiệm ăn mòn nứt dưới tải trọng không đổi

Hình 3.27 trình bày mối quan hệ giữa thời gian thử nghiệm và độ giãn dài của mẫu trong ăn mòn nứt dưới ứng suất. Ở giai đoạn đầu, vết nứt hẹp, độ giãn dài ít thay đổi. Ở giai đoạn cuối, vết nứt rộng dần. Trước khi đứt gãy xảy ra biến dạng dẻo và biến thiên độ giãn dài lớn.

Không nên thử nghiệm ngắn hạn ăn mòn nứt vì không có biểu hiện gì ngay cả trước khi đứt gãy.

3.8.2.3. Ảnh hưởng của môi trường

Ăn mòn nứt do ứng suất xảy ra trong nhiều môi trường: nước kim loại lỏng, muối nóng chảy, chất lỏng vô cơ không nước. Các chất oxy hoá ảnh hưởng rõ rệt đến khuynh hướng ăn mòn nứt. Sự có mặt oxy hoặc các phần tử oxy hoá làm cho thép không gỉ ôstênit bị ăn mòn nứt trong môi trường clorua. Nếu oxy và chất oxy hóa bị loại trừ thì ăn mòn nứt do ứng suất không xảy ra.

Bảng 3.2 liệt kê các môi trường có thể gây ăn mòn nứt do ứng suất.

Bảng 3.2. Môi trường gây ăn mòn ứng suất

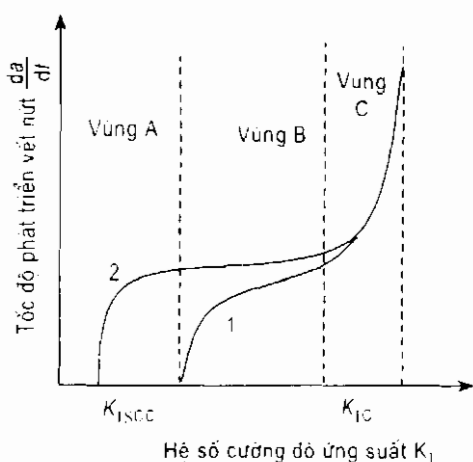
Vật liệu	Môi trường	Vật liệu	Môi trường
Hợp kim nhôm	NaCl-H ₂ O ₂ , dung dịch NaCl, nước biển, không khí, hơi nước	Thép không gỉ	Dung dịch clorua axit như BaCl ₂ , MgCl ₂ , dung dịch NaCl-H ₂ O ₂ , nước biển, H ₂ S, dung dịch NaOH-H ₂ S
Hợp kim đồng	Hơi và dung dịch amoniac, amin, nước, hơi nước	Hợp kim titan	Axit HNO ₃ bốc khói, nước biển, N ₂ O ₄ , metanol-HCl
Hợp kim magiê	Dung dịch NaCl-K ₂ CrO ₄ , khí quyển nông thôn và biển, nước cất		

Hình 3.28 là sơ đồ phụ thuộc tốc độ phát triển vết nứt vào hệ số cường độ ứng suất K_I trong môi trường gây và không gây ăn mòn nứt.

Tên đồ thị ta thấy có ba vùng:

- Trong vùng A, sự phát triển vết nứt phụ thuộc mạnh vào hệ số cường độ ứng suất (đường 2), nhưng cũng giảm nhanh xuống gần như bằng không. Ngoài suy cho thấy có một ngưỡng hệ số cường độ ứng suất K_{ISCC} , dưới nó ăn mòn nứt không xảy ra.

- Trong vùng B, sự phát triển vết nứt ít phụ thuộc vào hệ số cường độ ứng suất. Tốc độ phát triển vết



Hình 3.28. Phụ thuộc tốc độ phát triển vết nứt vào hệ số cường độ ứng suất K_I :

- 1- môi trường không gây ăn mòn nứt;
- 2- môi trường gây ăn mòn nứt

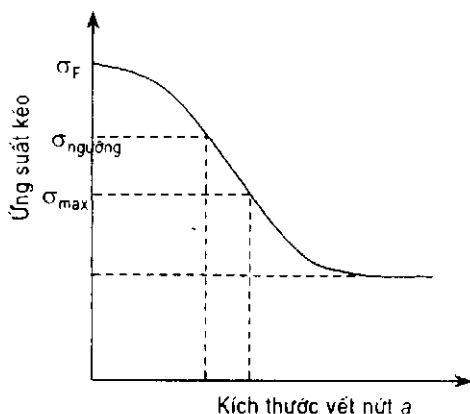
nứt hầu như không đổi.

- Trong vùng C, hệ số cường độ ứng suất lớn đến mức không phụ thuộc môi trường (đường 1, 2 trùng nhau).

Sự phát hiện ngưỡng ứng suất là một tiến bộ quan trọng vì nó cho thấy không cần loại hoàn toàn ứng suất để ngăn ngừa ăn mòn nứt. Ta chỉ cần giảm ứng suất xuống dưới ngưỡng là đủ. Ngưỡng của hệ số cường độ ứng suất để không xảy ra ăn mòn nứt được ký hiệu là K_{ISCC} , còn ngưỡng của ứng suất là $\sigma_{ngưỡng}$. Brown đã chứng minh:

$$a = 0,2 \cdot \left(\frac{K_{ISCC}}{\sigma_1} \right) \quad (3.10)$$

a - kích thước vết nứt.



Hình 3.29. Quan hệ giữa kích thước tới hạn của vết nứt và ứng suất:

σ_F = độ bền kéo

Hình 3.29 là sơ đồ phụ thuộc độ bền kéo vào kích thước tới hạn của vết nứt.

Trên cơ sở ứng suất ngưỡng $\sigma_{ngưỡng}$, xác định ứng suất thiết kế cực đại σ_{max} , ta tính được kích thước tới hạn của vết nứt.

3.8.2.4. Ảnh hưởng của các nhân tố luyện kim

Các nhân tố như thành phần hoá học của kim loại, định hướng tinh thể, thành phần và phân bố kết tủa, lệch mạng, biến đổi pha... đều ảnh hưởng đến độ nhạy cảm với ăn mòn nứt do ứng suất.

Kim loại sạch bền với ăn mòn nứt do ứng suất hơn hợp kim trên cơ sở cùng kim loại nền đó.

Ăn mòn nứt do ứng suất có thể là ăn mòn tinh giới hoặc xuyên tinh thể, nhưng đường đi vĩ mô của vết nứt bao giờ cũng thẳng góc với chiều lực kéo.

Trong ăn mòn xuyên tinh thể, vết nứt lan truyền qua hạt tinh thể theo các mặt có chỉ số thấp như [100], [110] và [210].

Trong ăn mòn tinh giới, các vết nứt lan truyền theo biên giới các tinh thể.

Phá huỷ xuyên tinh thể ít gặp hơn phá huỷ tinh giới.

Phá huỷ tinh giới chứng tỏ biên giới hạt không đồng nhất.

Ví dụ, sự tập trung của S và P tại biên giới hạt gây ăn mòn nứt dưới ứng suất kiểu tinh giới của thép hợp kim thấp.

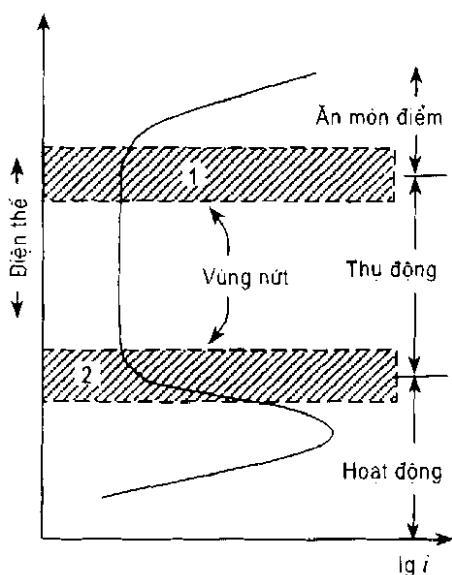
3.8.2.5. Ảnh hưởng của nhân tố điện hoá

Điện thế điện cực ảnh hưởng lớn đến ăn mòn nứt dưới ứng suất. Hình 3.30 trình bày đường cong phân cực anốt của hợp kim bền với ăn mòn bị thụ động. Vùng gạch chéo là khu vực nhạy cảm với ăn mòn nứt dưới ứng suất. Màng thụ động hình như là điều kiện tiên quyết cho ăn mòn nứt dưới ứng suất. Nhưng hai vùng nhạy cảm với ăn mòn nứt lại nằm tại vùng giáp ranh, tại đó màng thụ động kém bền nhất.

Ở vùng 1, ăn mòn nứt dưới ứng suất và ăn mòn điểm (pitting) cũng xảy ra tại điện thế liên kế hay trùng nhau. Ví dụ sự ăn mòn nứt dưới ứng suất của thép không gỉ ôstênit trong dung dịch $MgCl_2$ nóng.

Mặc dù ăn mòn nứt có thể khởi đầu tại các điểm (pit) do sự tăng cường của ứng suất, nhưng các điểm (pit) đó cũng không phải là điều kiện tiên quyết ngay cả ở vùng 1. Tuy nhiên, đôi khi các dung dịch có tiềm năng xâm thực hay các oxyt không bền trên bề mặt kim loại thử nghiệm có thể tụ tập quanh các điểm và khởi mào vết nứt. Ví dụ, thép cacbon thử nghiệm trong nước nóng hoặc nitrat thì các sắt từ oxyt Fe_3O_4 có thể tụ tập trong các điểm và khởi mào vết nứt.

Trong vùng 2, ăn mòn nứt có thể khởi đầu tại nơi màng thụ động tương đối yếu tại điện thế vừa đủ tạo màng thụ động ví dụ thép cacbon trong dung dịch cacbonat - bicacbonat.



Hình 3.30. Đường cong phân cực anốt và các vùng nhạy cảm ăn mòn nứt dưới ứng suất

3.8.2.6. Cơ chế ăn mòn nứt dưới ứng suất

Sự phá hủy của kim loại có thể chia làm hai giai đoạn: giai đoạn khởi đầu và giai đoạn phát triển (lan truyền) dần tới phá hủy vật liệu.

a) Giai đoạn khởi đầu (khởi mào)

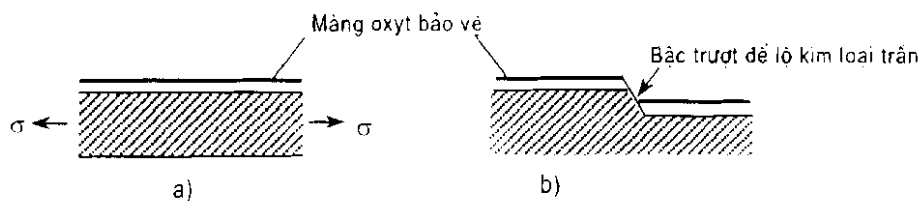
Thoạt tiên một số vị trí anốt nhất sẽ bị tấn công tạo thành các điểm ăn mòn (pit). Ứng suất áp đặt sẽ làm tăng năng lượng nhiệt động của liên kết nguyên tử. Nếu hiệu ứng trên tập trung ở bề mặt thì sẽ hình thành các anốt ngay cả khi ứng suất áp đặt lên vật liệu còn nằm trong phạm vi giới hạn đàn hồi. Những lý lẽ kể trên chỉ đúng trong trường hợp ăn mòn nứt xảy ra ở ứng suất thấp hơn độ bền đàn hồi.

Còn khi các ứng suất vượt quá độ bền đàn hồi của vật liệu thì xảy ra biến dạng dẻo, cấu trúc tinh thể sẽ bị sắp xếp lại, các liên kết bị bẻ gãy, hình dạng của tinh thể sẽ bị thay đổi. Các khuyết tật sẽ được tạo thành và di chuyển trong cấu trúc tinh thể tức là có các lệch mạng. Sự di chuyển lệch mạng sẽ ngừng lại tại bề mặt kim loại hoặc biên giới các hạt tinh thể. Sự tập trung các lệch mạng tại biên giới hạt sẽ tạo ra phân cực anốt vì tăng sự bất thường trong cấu trúc mạng tinh thể.

Dưới tác dụng của ứng suất kéo trên bề mặt vật liệu nhấn thường xuất hiện các hư hỏng cục bộ gọi là bậc trượt, tại đó dễ xảy ra sự khởi đầu ăn mòn.

Các bậc trượt sẽ để lộ kim loại trần trên các hợp kim được bảo vệ bằng một màng oxyt mỏng (hình 3.31). Kim loại trần sẽ là anốt và bị ăn mòn.

Nếu kim loại nhanh chóng bị thụ động thì không nguy hiểm, còn nếu thời gian để thụ động dài thì sẽ có ăn mòn điểm và như vậy là khởi đầu ăn mòn nứt.



Hình 3.31. Vai trò của bậc trượt trong ăn mòn nứt:

- a) lớp oxyt mỏng bảo vệ;
- b) bậc trượt để lộ kim loại trần

Nhiều người ít quan tâm đến giai đoạn khởi đầu vì họ quan niệm rằng các vật liệu công nghiệp luôn hàm chứa các khuyết tật, bất thường bề mặt và chúng là những điểm khởi đầu ăn mòn.

Nhiều khi ăn mòn nứt cũng không bắt đầu bằng các pit (điểm ăn mòn). Ví dụ, thép mềm trong nitrat, hydroxyt, bicarbonat. Trong trường hợp trên các vết nứt cục bộ tại biên giới các hạt tinh thể sẽ gây ăn mòn nứt. Biên giới các hạt không đồng nhất hoá học nên bị ăn mòn ngay cả khi không có ứng suất.

b) Giai đoạn phát triển (lan truyền)

Có nhiều cơ chế lan truyền vết nứt nhưng ba cơ chế sau đây được thừa nhận:

Cơ chế mạch hoạt tính có sẵn

Theo cơ chế này thì sự lan truyền vết nứt chủ yếu theo biên giới các hạt hoạt động giống như trong ăn mòn tinh giới. Biên giới các hạt có thể bị phân cực anốt do các nguyên tố hợp kim tách ra. Chứng cứ về sự tồn tại một mạch hoạt tính trong thép mềm không có ứng suất là sự phá huỷ của nó trong dung dịch nitrat sôi có áp một dòng anốt (phân cực anốt).

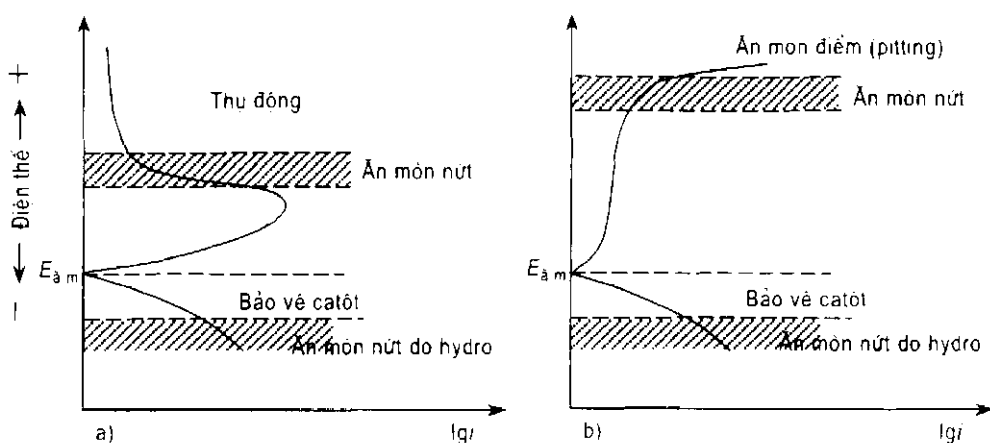
Cơ chế mạch hoạt tính gây ra bởi biến dạng

Theo cơ chế này thì sự đứt gãy màng bảo vệ do biến dạng gây ra sẽ dẫn tới sự hoà tan kim loại ở nơi đứt gãy. Tốc độ phát triển (lan truyền) vết nứt bị khống chế bởi ba tiêu chuẩn:

- *Tốc độ đứt gãy màng* là tốc độ biến dạng hay tốc độ lan truyền nứt khi tải trọng tĩnh.
- *Tốc độ đổi mới hoặc thải loại dung dịch* tại đầu mút vết nứt bị khống chế bởi khuếch tán và khả năng tiếp cận của đầu mút nứt với các phân tử xâm thực.
- *Tốc độ thụ động* là điều cần lưu ý, nếu sự tái thụ động rất chậm, thì kim loại sẽ bị hoà tan nhiều cả ở đầu mút vết nứt lẫn bên cạnh. Vết nứt sẽ rộng ra và tù, kết quả là sẽ ngừng nứt. Nếu hợp kim thụ động kém thì xảy ra ăn mòn đều hơn là ăn mòn nứt. Còn nếu sự tái thụ động xảy ra rất nhanh thì tốc độ lan truyền nứt sẽ bị chậm lại.

Tóm lại chỉ khi tốc độ tái thụ động là trung bình thì sự phá huỷ mới lớn nhất.

Quan điểm trên cho thấy rằng điều kiện phát sinh ăn mòn nứt giống như điều kiện hoạt động - thụ động trên đường cong phân cực thể động (potentiodynamic polarisation curve). Hình 3.32 trình bày đường cong phân cực thể động cho vật liệu thụ động yếu và thụ động mạnh. Ở điện thế âm hơn điện thế ăn mòn thì ban đầu cả hai loại vật liệu đều không nhạy cảm với ăn mòn nứt. Trường hợp này tương ứng với phương pháp chống ăn mòn nứt bằng bảo vệ catốt. Nhưng ở điện thế rất âm thì lại xảy ra ăn mòn nứt do hydro thoát ra (giòn hydro). Đây là điều rất nguy hiểm với vật liệu có độ bền cao, vì nó luôn được sử dụng ở ứng suất lớn và cũng cảnh báo về tác hại của sự bảo vệ catốt quá mức (điện thế quá âm).



Hình 3.32. Khu vực nhạy cảm với ăn mòn nứt trên đường cong phân cực thể động:

- a) kim loại thụ động yếu;
- b) kim loại thụ động mạnh

Các cơ chế hấp phụ gồm có

- Sự hấp phụ các phần tử hoạt động có trong dung dịch lên bề mặt kim loại sẽ làm suy giảm tính toàn vẹn cơ học tại đầu nứt của vết nứt, tạo điều kiện phá huỷ các mối liên kết với năng lượng cần thiết thấp hơn bình thường. Đầu tiên các phần tử hoạt động bị hấp phụ tạo thành liên kết kim loại - phần tử hoạt động làm giảm năng lượng liên kết kim loại - kim loại tạo điều kiện phân ly cơ học dễ dàng. Nói chung các ion hấp phụ đặc biệt thường không phản ứng với kim

loại, nhưng khi có lực kéo tác dụng thì năng lượng nhiệt động của liên kết kim loại - kim loại tăng lên và các ion hấp phụ đặc biệt trở nên hoạt động hơn.

- Sự hấp phụ các nguyên tử hydro sẽ làm yếu các liên kết kim loại - kim loại ở đầu vết nứt. Các nguyên tử hydro là sản phẩm của quá trình khử ion H^+ tại đầu vết nứt.

Ngoài ra các nguyên tử hydro có thể tạo thành các hydrua kim loại làm cho nó trở nên giòn hoặc len lỏi vào sâu trong kim loại kết hợp thành phân tử hydro nằm trong các hố. Áp suất của hydro tăng dần lên đến mức có thể phá huỷ vật liệu.

3.8.2.7. Ăn mòn nứt của một số vật liệu

a) Ăn mòn nứt thép hợp kim thấp

Ăn mòn nứt lần đầu tiên được phát hiện ở các lỗ tán nguội rive của nồi hơi. Nước trong nồi hơi được điều chỉnh đến $pH = 9,5 \div 11,5$ bằng NaOH.

Thép cacbon thấp nhạy cảm với ăn mòn nứt trong môi trường chứa nitrat và xianua. Cơ chế ăn mòn nứt là ăn mòn tinh giới. Trong không khí ẩm chứa hỗn hợp $CO + CO_2$ cũng xảy ra sự phá huỷ tương tự.

Ăn mòn nứt tinh giới cũng xảy ra trên bề mặt ngoài các đường ống dẫn dầu và khí bằng thép hợp kim thấp được chôn trong đất. Môi trường nguy hiểm nhất là hỗn hợp cacbonat + bicacbonat tại nhiệt độ $75^\circ C$. Bảo vệ catốt quá cũng gây nên ăn mòn nứt (hình 3.32).

b) Ăn mòn nứt thép không gỉ

Phổ biến nhất là ăn mòn nứt thép không gỉ ôstênit trong môi trường clorua nóng. Các halogenua khác cũng có tác dụng tương tự. Ăn mòn nứt thép không gỉ ôstênit thường theo cơ chế xuyên tinh thể. Cần lưu ý hạn chế oxy hoà tan.

c) Hợp kim niken

Tăng hàm lượng Ni lên trên 8% sẽ giảm ăn mòn nứt hợp kim ôstênit trong dung dịch clorua nóng.

Thêm Mo cũng có tác dụng cải thiện độ bền với ăn mòn nứt.

Các nhân tố gây ăn mòn nứt thép không gỉ ôstênit cũng gây phá huỷ hợp kim Ni nhưng ở nồng độ và nhiệt độ cao hơn. Hydro có tác dụng tăng cường ăn mòn nứt ở độ sâu.

Hợp kim Ni-Cr-Fe 600 thường dùng làm các ống trao đổi nhiệt bị ăn mòn nứt tinh giới ở nhiệt độ trên 300°C. Các hợp kim 690 và 800 bền hơn 600 nhưng vẫn bị ăn mòn nứt.

d) Hợp kim đồng

Cái gọi là *nứt theo mùa* (trong môi trường nhiệt đới) của đồng thau (Cu-Zn) dùng làm cactut đạn được biết từ lâu. Phần tử nguy hiểm gây ăn mòn nứt đồng thau gia công nguội là ion NH_4^+ , tất nhiên cũng cần có nước và oxy hoà tan.

e) Hợp kim nhôm

Ăn mòn nứt của hợp kim nhôm nhạy cảm với độ bền, thành phần hợp kim và chế độ gia công nhiệt.

Nhôm sạch và hợp kim tới đến dưới độ bền cực đại thì bền với ăn mòn nứt hơn.

Ăn mòn nứt trong hợp kim nhôm chủ yếu là tinh giới.

Hợp kim nhôm nhạy cảm với không khí ẩm, nước biển, nước uống.

f) Titan

Titan và hợp kim của nó bền với ăn mòn nứt hầu như trong mọi môi trường ngoại trừ một vài môi trường như HNO_3 bốc khói, muối nóng chảy, N_2O_4 ...

3.8.3. Ăn mòn môi

Có nhiều điểm giống nhau giữa ăn mòn môi và ăn mòn nứt, nhưng khác nhau ở chỗ ăn mòn môi không phải là riêng biệt với một số kim loại. Nó phá huỷ mọi kim loại ở ứng suất thấp hơn ứng suất tĩnh rất nhiều. Trong dung dịch nước độ bền với ăn mòn môi thường giảm.

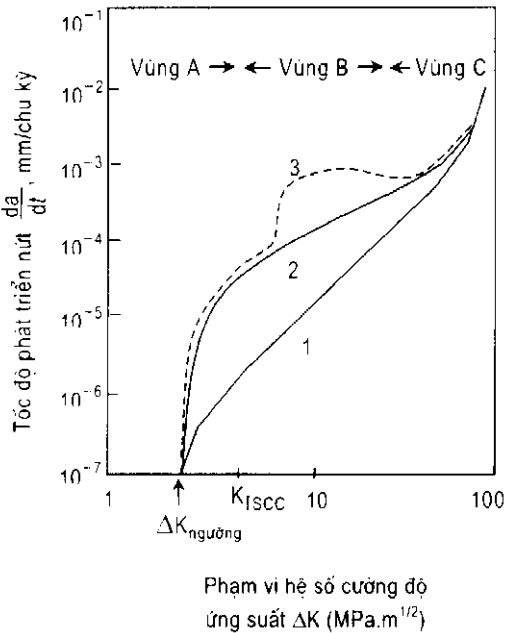
Ăn mòn môi bao gồm những giai đoạn sau:

- Tạo thành các dải trượt.
- Tạo thành các mầm nứt cỡ 10 μm .
- Mở rộng mầm nứt theo hướng thuận lợi.

Vết nứt vĩ mô (100 μm đến 1 mm) phát triển theo hướng thẳng góc với ứng suất chính lớn nhất gây phá huỷ.

Hình 3.33 trình bày các đặc điểm của sự môi và ăn mòn môi của thép hợp kim thấp trong môi trường tro và dung dịch nước natri clorua. Trong môi trường

trở chỉ xảy ra sự mỏi cơ học (đường 1). Nhưng khi có môi trường nước (đường 2) thì tại ứng suất thấp đã xảy ra ăn mòn môi với tốc độ phát triển vết nứt lớn hơn. Còn tại ứng suất cao thì hai đường 1 và 2 tương tự như nhau. Trên đồ thị hình 3.33 chúng ta cũng vạch ranh giới giữa ba vùng: A (khởi đầu); B (phát triển); C (phá hủy) như của ăn mòn nứt dưới ứng suất (hình 3.28). Nhờ vậy ta thấy rằng ăn mòn môi có thể xảy ra ở mức ứng suất thấp hơn rất nhiều so với ăn mòn nứt (K_{ISCC}). Trong ăn mòn nứt tốc độ phát triển nứt trong giai đoạn phát triển hầu như không phụ thuộc hệ số cường độ ứng suất (song song với trục x). Ăn mòn môi luôn tuân theo luật Paris [xem công thức (3.9)], ngoại trừ khi ăn mòn nứt đồng thời xảy ra (đường 3), cho nên ta gọi là ăn mòn môi - ứng suất ngay cả khi trong hiệu ứng đó có cả cơ chế giòn hydro.



Hình 3.33. Đường cong ăn mòn môi tổng quát:

- 1- mỏi cơ học; 2- ăn mòn môi;
- 3- ăn mòn môi - ứng suất

Trên đường 3 có một đoạn nằm ngang gồ lên đặc trưng cho cơ chế kếp.

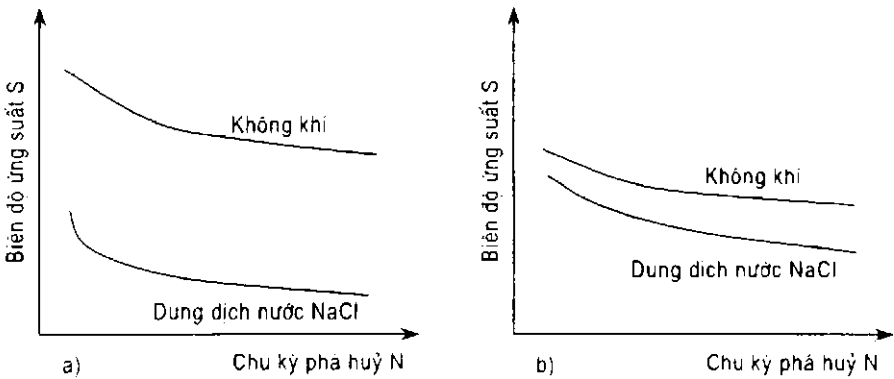
Hình 3.34 cho thấy sự khác nhau giữa mẫu nhẵn và mẫu có khía hình chữ V.

Mẫu nhẵn đòi hỏi có thời gian để môi trường tác dụng đồng thời với ứng suất tạo nên sự khởi đầu, cho nên có sự khác nhau giữa hai môi trường. Còn với mẫu khía hình chữ V thì coi như đã có khởi đầu nên tác dụng của hai môi trường không khác nhau nhiều.

Hình 3.35 cho thấy tại tần số 10 Hz không có sự khác nhau giữa các môi trường. Với cùng một hệ số cường độ ứng suất thì tốc độ nứt cực đại ở tần số khoảng 0.01 Hz và tốc độ nứt trong NaCl gấp 10 lần trong không khí-vì ở tần số

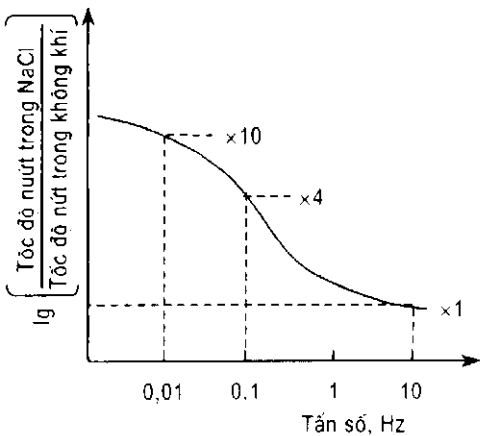
thấp môi trường có đủ thời gian để phát huy tác dụng. Cho nên tần số mà các công trình biển bị tác động của dao động là trong khoảng $0,1 \div 0,01$ Hz, không phải là 10 Hz.

Hình 3.36 trình bày quan hệ giữa biên độ ứng suất và độ bền môi.

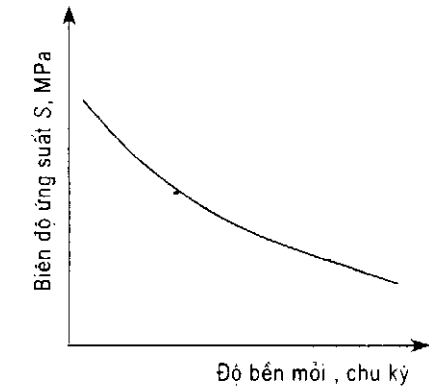


Hình 3.34. Độ bền phá huỷ của thép hợp kim thấp trong không khí và dung dịch nước NaCl:

- a) mẫu nhẵn;
- b) mẫu khía hình chữ V



Hình 3.35. Phụ thuộc tốc độ nứt vào tần số



Hình 3.36. Độ bền mỏi phụ thuộc biên độ ứng suất S

Chương 4

ĂN MÒN ĐIỆN HOÁ TRONG CÁC MÔI TRƯỜNG KHÁC NHAU

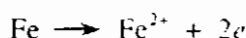
4.1. ĂN MÒN ĐIỆN HOÁ TRONG NƯỚC NGỌT

Ăn mòn điện hoá trong nước ngọt phụ thuộc vào thành phần của nó như lượng chất vô cơ, oxy và khí CO_2 hoà tan, pH...

Tốc độ ăn mòn của thiết bị có thể thay đổi rất lớn khi thay đổi loại nước ngọt tiếp xúc với nó. Ở một số nơi, các ống dẫn nước có thể bền tới 20 năm, trong khi ở một số nơi khác thì lại phải thay trong một vài năm.

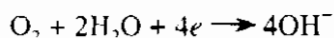
4.1.1. Ảnh hưởng của pH

Phản ứng anốt là:



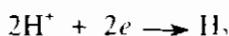
tại mọi giá trị pH.

Nhưng phản ứng catốt thay đổi theo pH. Tại $\text{pH} = 4 \div 10$ thì phản ứng catốt là:

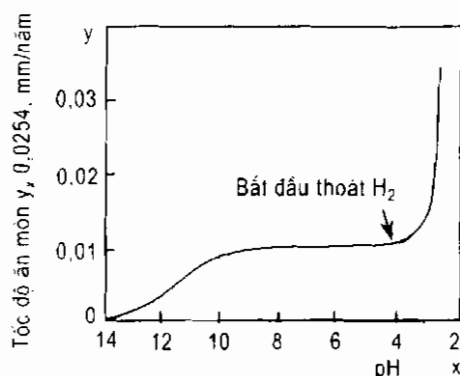
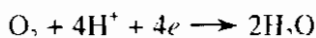


Tốc độ ăn mòn ít thay đổi và bị khống chế bởi khuếch tán oxy. Trên bề mặt kim loại phủ một lớp oxyt xốp. Bề mặt dưới lớp oxyt có $\text{pH} = 9,5$.

Tại $\text{pH} < 4$, oxyt bị hoà tan, tốc độ ăn mòn tăng lên vì hydro bắt đầu thoát ra:



Sự biến mất lớp oxyt bề mặt cũng tạo điều kiện cho oxy hoà tan đến bề mặt tham gia phản ứng đồng thời.



Hình 4.1. Ảnh hưởng của pH đến sự ăn mòn sắt trong nước có hoà tan oxy. pH điều chỉnh bằng HCl và NaOH

Tại pH > 10, tốc độ ăn mòn rất nhỏ vì tạo thành màng thụ động khi có oxy hoà tan. Tất nhiên ở pH khoảng 14 trong dung dịch không có oxy hoà tan tốc độ ăn mòn tăng lên vì tạo thành ion ferrit HFeO_2^- hoà tan.

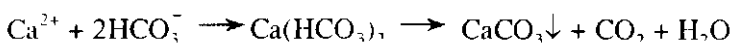
4.1.2. Ảnh hưởng của độ cứng của nước

Nước ngọt có thể chứa các ion Ca^{2+} , Mg^{2+} ... Nếu hàm lượng Ca^{2+} , Mg^{2+} lớn hơn 250 ppm thì được gọi là nước cứng, nếu hàm lượng muối hoà tan nhỏ hơn 50 ppm thì được gọi là nước mềm.

Nước cứng chứa nhiều chất vô cơ tạo điều kiện cho sự hình thành lớp bị phủ canxi cacbonat. Cơ chế như sau:



Khi pH tăng thì phản ứng tạo thành HCO_3^- càng dễ xảy ra:



Khả năng kết tủa CaCO_3 do bằng chỉ số bão hoà SI (saturation index):

$$\text{SI} = \text{pH} - \text{pH}_s \quad (4.1)$$

pH đo được bằng thực nghiệm

pH_s là pH tại đó nước cân bằng với CaCO_3 rắn.

Nếu $\text{SI} > 0$ thì nước đủ độ kiềm để kết tủa CaCO_3 và tốc độ ăn mòn giảm.

Tính pH_s bằng công thức:

$$\text{pH}_s = (\text{pK}'_2 - \text{pK}'_1) + \text{pCa} + \text{pAlK} \quad (4.2)$$

trong đó:
$$\text{pK}'_2 = -\lg \frac{[\text{H}^+].[\text{CO}_3^{2-}]}{[\text{HCO}_3^-]}$$

$$\text{pK}'_1 = -\lg[\text{Ca}^{2+}].[\text{CO}_3^{2-}]$$

$$\text{pCa} = -\lg[\text{Ca}^{2+}]$$

$$\text{pAlK} = -\lg[\text{độ kiềm tổng quát}]$$

$$\text{Độ kiềm tổng quát (AlK) mol/l} = 2[\text{CO}_3^{2-}] + [\text{HCO}_3^-] + [\text{OH}^-]$$

$\text{SI} < 0$ cần thiết cho các thiết bị trao đổi nhiệt vì kết tủa CaCO_3 làm giảm hiệu suất truyền nhiệt.

4.2. ĂN MÒN ĐIỆN HOÁ TRONG NƯỚC BIỂN

4.2.1. Tính xâm thực của nước biển

Các thiết bị cảng biển, công nghệ khai thác dầu và các tàu biển... đều bị nước biển ăn mòn.

Nước biển chứa $3 \div 3,5\%$ muối hoà tan. Thành phần của nước biển phụ thuộc vị trí địa lý của vùng biển. Ví dụ nước biển Đại Tây Dương có thành phần sau:

Độ muối toàn phần (chủ yếu là NaCl): 34 g;

pH = 8,2; độ dẫn điện: 8,2 S/m;

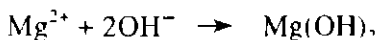
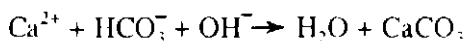
Độ hoà tan của oxy trong nước biển là 12 mg/l ở 5°C , 7 mg/l ở 25°C .

4.2.2. Đặc điểm của ăn mòn trong nước biển

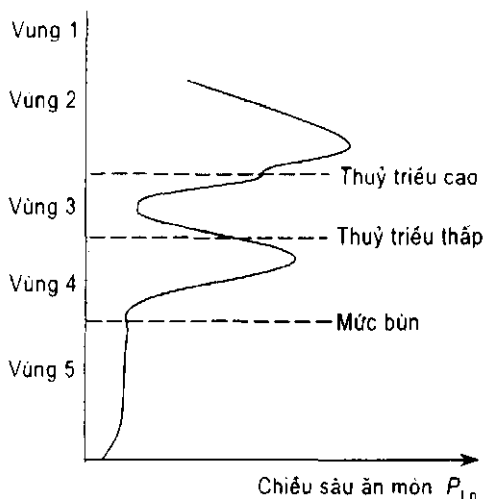
Ăn mòn trong nước biển bị kìm hãm chủ yếu bởi quá trình catốt. Ion Cl^- ngăn cản sự tạo thành màng thụ động trên bề mặt kim loại. Nước biển dẫn điện tốt nên không có sự không chế điện trở.

Người ta thường dùng dung dịch 3,5% NaCl để mô phỏng nước biển, nhưng dung dịch này thường ăn mòn mạnh hơn nước biển, có lẽ vì hàm lượng Ca^{2+} , Mg^{2+} không đủ để tạo thành lớp CaCO_3 , $\text{Mg}(\text{OH})_2$ bảo vệ.

Thật vậy quá trình khử oxy ở catốt làm cho bề mặt kim loại hơi kiềm nên có các phản ứng:



Hình 4.2 trình bày sự phụ thuộc tốc độ ăn mòn thép cacbon vào khoảng



Hình 4.2. Ảnh hưởng của độ sâu nước biển đến ăn mòn:

Vùng 1: ăn mòn khí quyển;

Vùng 2: vùng bắn toé trên mức thủy triều cao;

Vùng 3: vùng thủy triều;

Vùng 4: ngập nước thường xuyên;

Vùng 5: chôn trong đất

cách đến bề mặt thoáng của nước biển.

Hình 4.2 cho thấy tốc độ ăn mòn lớn nhất là ở vùng bán toé tại đó oxy hoà tan dễ tiếp cận kim loại và nồng độ clorua cao hơn đôi chút vì màng ẩm bốc hơi. Tốc độ ăn mòn thấp nhất ở dưới mức bùn vì oxy khó thâm nhập. Tuy nhiên các vi khuẩn khử có mặt trong bùn có thể làm tăng tốc độ ăn mòn.

4.2.3. Các biện pháp bảo vệ

Bảo vệ thân tàu bằng sơn, phần thân tàu chìm dưới nước phải dùng sơn đặc biệt có chất độc với vi sinh vật (đồng oxyt, thủy ngân oxyt...).

Lớp phủ kim loại cadimi (Cd) bên trong nước biển, còn kẽm thì không dùng được.

Có thể dùng anốt hy sinh hay bảo vệ catốt bằng dòng ngoài.

4.3. ĂN MÒN KHÍ QUYỂN

Ăn mòn khí quyển là ăn mòn điện hoá trên bề mặt kim loại có màng nước (nhìn thấy hoặc không) hoặc giọt nước. Màng nước đó có thể do sương mù hoặc mưa tạo nên, trong nước chứa các tạp chất hoà tan từ khí quyển. Nồng độ tạp chất tăng dần lên do nước bốc hơi. Ngoài ra dưới các giọt nước tốc độ ăn mòn cũng tăng lên do tạo thành pin nồng độ oxy (xem hình 3.10).

4.3.1. Các nhân tố ảnh hưởng đến ăn mòn khí quyển

4.3.1.1. Độ ẩm

Độ ẩm là điều kiện cần thiết để xảy ra ăn mòn khí quyển. Màng mỏng nước trên bề mặt kim loại thường do mưa, sương hoặc ngưng tụ gây ra. Tuy nhiên độ ẩm là điều kiện cần nhưng chưa đủ để gây ăn mòn điện hoá. Trong môi trường ẩm ướt, tốc độ ăn mòn bề mặt kim loại sạch cũng rất nhỏ khi khí quyển không ô nhiễm.

Nhiều kim loại như sắt, thép, Ni, Cu, Zn bị ăn mòn trong khí quyển khi độ ẩm tương đối lớn hơn 60%. Độ ẩm tương đối tính bằng công thức sau (với nhiệt độ $\leq 100^{\circ}\text{C}$):

$$\theta = \frac{p}{p_s} \cdot 100\% \quad (4.3)$$

trong đó θ - độ ẩm tương đối;

p - áp suất riêng phần của hơi nước trong khí quyển tại nhiệt độ đã cho;

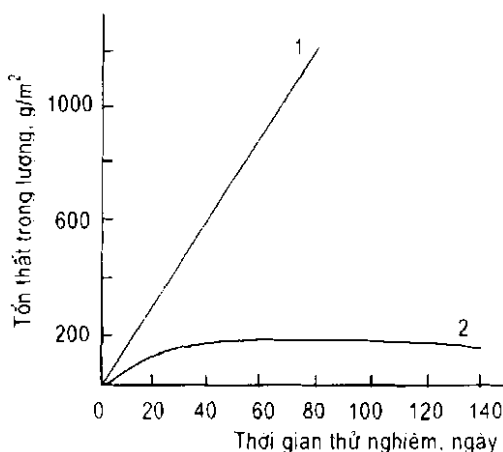
p_0 - áp suất bão hoà của hơi nước tại nhiệt độ đã cho.

Nếu độ ẩm lớn hơn 80% thì gỉ của sắt thép trở nên hút ẩm (chất hấp phụ nước) và tốc độ ăn mòn tăng lên.

4.3.1.2. Chất ô nhiễm

Màng ẩm mỏng tạo thành do độ ẩm cao hay sương mù thường bão hoà oxy hoặc có các khí hoà tan khác như CO_2 (vùng nông thôn), SO_2 , các hợp chất nitơ, H_2S ... (vùng công nghiệp) và các ion clorua (vùng biển). Các tạp chất này đều làm tăng tốc độ ăn mòn.

Hình 4.3 cho thấy khi không có SO_2 (đường 2) tổn thất trọng lượng rất nhỏ và gần như không đổi sau 40 ngày thử nghiệm. Đó là vì màng sản phẩm ăn mòn có tính bảo vệ nhưng khi có SO_2 (đường 1) thì màng không có tính bảo vệ, tổn thất trọng lượng tăng tuyến tính theo thời gian. Những tạp chất có màng sản phẩm ăn mòn hoà tan bao gồm SO_2 , NO_2 , Cl^- , F^- ...



Hình 4.3. So sánh tốc độ ăn mòn khí quyển thép cacbon khi có SO_2 (1) và không có SO_2 (2)

Các sản phẩm ăn mòn hút ẩm và các muối đọng lại trên bề mặt kim loại (từ khí quyển) sẽ làm giảm độ ẩm tương đối cần thiết để ngưng tụ nước tức độ ẩm tới hạn θ_{th} . Ví dụ độ ẩm tới hạn của $\text{Na}_2\text{SO}_4 \cdot 10\text{H}_2\text{O}$ là 93%, NaCl - 78%, NaNO_2 - 66%, $\text{LiCl} \cdot \text{H}_2\text{O}$ - 15%...

4.3.2. Phân loại và cơ chế ăn mòn khí quyển

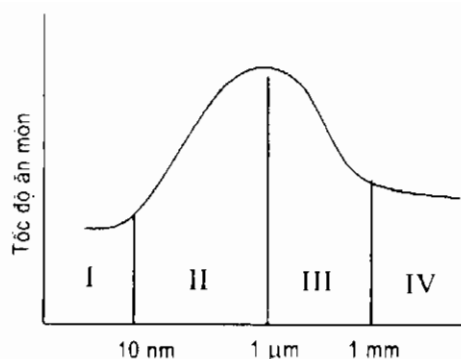
Trong hầu như mọi trường hợp ăn mòn khí quyển đều có quá trình catốt là khử oxy.

Người ta phân loại ăn mòn khí quyển theo chiều dày màng ẩm (hình 4.4).

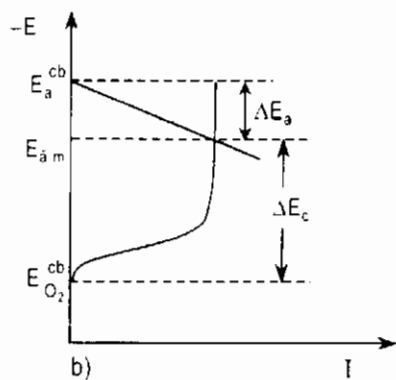
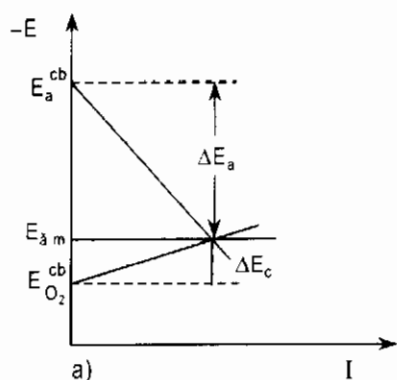
Trong khu vực ăn mòn khô I (dày 10 nm) không có dung dịch điện giải dày từ 10 nm đến 1 μm . Đó là màng hấp phụ, ăn mòn trong khu vực đó không chế bởi quá trình anot (hình 4.5a). Vì màng ẩm rất mỏng nên oxy dễ dàng khuếch tán qua màng do đó quá trình catốt không bị cản trở. Quá trình anot xảy ra phức tạp hơn vì sản phẩm ăn mòn che khuất bề mặt kim loại. Nước không đủ để hydrat hoá các ion kim loại chuyển vào màng ẩm. Khi màng ẩm rất mỏng thì quá trình ăn mòn chủ yếu không chế bởi điện trở.

Trong khu vực ăn mòn ẩm II, trên bề mặt kim loại đã có dung dịch điện giải dày từ 10 nm đến 1 μm . Đó là màng hấp phụ, ăn mòn trong khu vực đó không chế bởi quá trình anot (hình 4.5a). Vì màng ẩm rất mỏng nên oxy dễ dàng khuếch tán qua màng do đó quá trình catốt không bị cản trở. Quá trình anot xảy ra phức tạp hơn vì sản phẩm ăn mòn che khuất bề mặt kim loại. Nước không đủ để hydrat hoá các ion kim loại chuyển vào màng ẩm. Khi màng ẩm rất mỏng thì quá trình ăn mòn chủ yếu không chế bởi điện trở.

Trong khu vực ăn mòn ướt III, trên bề mặt đã có màng pha dày từ 1 μm đến 1 mm. ở vùng này ta thấy không chế catốt vì oxy khó thâm nhập bề mặt kim loại (hình 4.5b).



Hình 4.4. Phân loại ăn mòn khí quyển theo chiều dày màng ẩm



Hình 4.5. Sơ đồ ăn mòn khí quyển:

- a) ăn mòn ẩm $\Delta E_a \gg |\Delta E_c|$;
- b) ăn mòn ướt $|\Delta E_c| \gg \Delta E_a$

Vùng IV ứng với ăn mòn nhúng hoàn toàn trong dung dịch. Trên thế giới có trường hợp sắt bền hiếm có trong khí quyển. Thật vậy cột sắt ở Đêli thực tế không bị gỉ trong 2500 năm tồn tại. Thành phần của cột sắt đó như sau: C

0.08%, Si 0,05%, S 0,006%, P 0.114%, Mn - vết. Độ bền với ăn mòn của cội đồ không chỉ do độ tinh khiết của sắt, khí hậu rất khô ở Đêli mà còn do đã hấp thụ một lượng nhiệt rất lớn vào ban ngày, nên ẩm không thể đọng lại trên bề mặt và nhanh chóng bị khô đi.

4.3.3. Sự ăn mòn khí quyển trong các tiểu vùng khí hậu khác nhau

Người ta phân biệt ba loại tiểu vùng khí quyển: nông thôn, thành phố và khu công nghiệp, biển.

4.3.3.1. Khí quyển nông thôn

Ít ăn mòn vì khí quyển sạch và ít tạp chất.

Trong khí quyển nông thôn, những mái tôn (thép tráng kẽm nóng) có thể bền trong vòng 20 năm cho đến khi lớp kẽm bị hoà tan hoàn toàn. Còn trong khí quyển thành phố, nó chỉ bền trong vài năm cho nên cần bảo vệ bằng lớp sơn.

4.3.3.2. Khí quyển thành phố và khu công nghiệp

Tạp chất chủ yếu là SO_2 do đốt dầu và than. Có SO_2 thì nước bị axit hoá, pH có thể đạt tới 3,5, tốc độ ăn mòn tăng (theo qui định nếu nước mưa có pH = 5,5 thì được gọi là "mưa axit").

Ở Việt Nam tổn thất trọng lượng của thép CT3 tính bằng công thức thực nghiệm của Viện Nhiệt đới (1992):

$$P_{11} = at^b, \text{ g/m}^2$$

trong đó t - thời gian, năm;

a và b thay đổi theo địa phương như sau:

Tỉnh	Vĩnh Phú	Hà Nội	Thành phố Hồ Chí Minh
a	152,344	190,777	295,353
b	0,748	0,714	0,609

Trong khí quyển thành phố, những mái che bằng đồng chịu ăn mòn rất tốt vì được phủ một lớp bảo vệ màu xanh xám gồm cacbonat và đồng sunfat.

4.3.3.3. Khí quyển biển

Trong khí quyển biển luôn có các giọt nước nhỏ mang bởi sương mù, sóng, gió có chứa ion Cl^- , cho nên tốc độ ăn mòn lớn không kém khu công nghiệp máy.

Để đánh giá độ nguy hiểm của ăn mòn khí quyển tại các tiểu vùng khác nhau ngoài tạp chất và nhiệt độ ta phải lưu ý đến thời gian thấm ướt bề mặt kim loại.

Theo Gölubev thời gian thấm ướt (t) gồm:

$$\tau_{\text{chung}} = \tau_1 + \tau_2 + \tau_3 + \tau_4 + \tau_5 \quad (4.4)$$

trong đó τ_1 - thời gian mưa;

τ_2 - thời gian có sương mù;

τ_3 - thời gian cần thiết để khô bề mặt sau khi mưa và sương mù;

τ_4 - thời gian sương mù;

τ_5 - thời gian nồm.

Bề mặt bị ướt có màng pha hoặc màng hấp phụ. Màng pha tạo thành do nước mưa rơi hoặc sương đọng trực tiếp hoặc khi độ ẩm xấp xỉ 100%. Màng hấp phụ hình thành khi độ ẩm tương đối bằng 60 ÷ 70%.

Độ ẩm tương đối, tại đó bắt đầu ngưng tụ hấp phụ ẩm gọi là độ ẩm tới hạn $\theta_{\text{t.h}}$.

Trên đồng độ ẩm tới hạn lớn hơn trên sắt $\theta_{\text{t.h}}^{\text{Cu}} > \theta_{\text{t.h}}^{\text{Fe}}$ tức là trên sắt dễ ngưng tụ ẩm hơn.

4.3.4. Biện pháp chống ăn mòn khí quyển

Có hai phương pháp bảo vệ kim loại khỏi ăn mòn khí quyển:

- Lớp phủ bảo vệ bao gồm các lớp sơn, mà ta sẽ xem xét ở các chương sau.
- Tạo thành hợp kim như thép không gỉ, hợp kim Ni, hợp kim Al...

Ngoài ra có thể dùng các chất ức chế hay hơi nếu vật liệu được giữ trong không gian kín.

4.4. ĂN MÒN TRONG ĐẤT

4.4.1. Tính xâm thực của đất

Rất nhiều dụng cụ và thiết bị chôn ngầm trong đất: ống dẫn nước, khí, dầu, cáp điện và điện thoại... nên hàng năm phải sửa chữa và thay thế một lượng lớn các loại kể trên vì bị hư hỏng do ăn mòn.

Đất là môi trường không đồng nhất. Tùy theo địa phương mà đặc tính của đất khác nhau rất nhiều.

Tính xâm thực của đất phụ thuộc các yếu tố sau:

- Độ thâm nhập của không khí và nước vào trong đất. Bản thân độ thâm nhập này lại phụ thuộc cấu tạo hạt và độ xốp của đất.

- Độ ẩm của đất.

- Độ muối của đất.

- Độ dẫn điện.

Trong thực tế người ta thường chỉ đo pH và độ dẫn điện của đất. Trong đa số trường hợp $\text{pH} = 5 \div 8$. Ta có thể dự đoán rằng một nền đất ẩm, axit, ít thông khí, độ dẫn điện tốt ($> 0,2 \text{ S/m}$) sẽ rất xâm thực. Những số liệu dưới đây cho thấy sự tương quan giữa điện trở và tính xâm thực của đất.

Điện trở riêng $\Omega \cdot \text{m}$	< 5	$5 \div 10$	$10 \div 20$	$20 \div 100$	> 100
Tính xâm thực của đất	Rất cao	Cao	Tương đối cao	Trung bình	Thấp

Tăng độ ẩm của đất sẽ tăng tính xâm thực của nó. Tuy nhiên ẩm quá ($15 \div 18\%$) sẽ làm giảm tính xâm thực vì oxy khó thâm nhập bề mặt kim loại. Đất cát xâm thực hơn đất sét. Đôi khi ta cũng gặp đất axit ($\text{pH} = 3 \div 4$) hoặc kiềm ($\text{pH} = 10 \div 12$). Các loại đất này có tính xâm thực cao.

Ngoài ra sự ăn mòn kim loại trong đất còn chịu ảnh hưởng của vi sinh vật và nhiệt độ nữa.

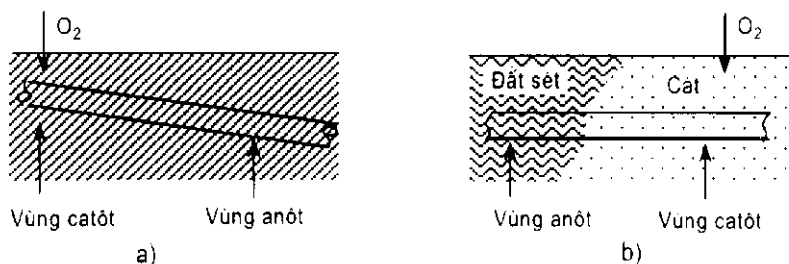
4.4.2. Đặc điểm của quá trình ăn mòn trong đất

Ăn mòn trong đất có quá trình catốt là khử oxy, trừ trường hợp đất rất axit thì có thể là khử ion H^+ .

Cấu trúc không đồng nhất của đất có thể tạo ra các cặp pin ăn mòn do thông khí oxy không đều.

Hình 4.6 là minh họa hai trường hợp thông khí không đều. Nơi oxy đến nhiều hơn sẽ là catốt, còn nơi oxy khó đến sẽ là anốt và bị phá hủy. Các vùng anốt và catốt có thể cách xa nhau hàng trăm mét, thậm chí hàng cây số.

Ăn mòn dưới đất có đặc điểm kim loại bị phá hủy ở dạng ăn mòn điểm, hố sâu, rỗ và chủ yếu ở mặt dưới của ống.



Hình 4.6. Hình thành cặp pin do thông khí (O_2) không đều trong đất:

a) đặt ống với độ sâu không đều;

b) độ xốp của đất khác nhau.

Logan đưa ra công thức kinh nghiệm sau:

$$P_{in} = K\tau^n$$

trong đó P_{in} - chiều sâu thâm nhập cực đại của vết rỗ, tạo thành sau thời gian τ ;

K - hệ số tỷ lệ;

n - hằng số phụ thuộc vào loại kim loại và chủ yếu vào độ thông khí của đất. Trong đất thông khí tốt (cát, á sét) thì $n = 0,1 \div 0,2$. Trong đất thông khí kém (than bùn, đất sét nặng) thì $n = 0,6 \div 0,7$.

Trong phần lớn các loại đất thì quá trình ăn mòn xảy ra với kim hãm quá trình catốt do khó vận chuyển oxy đến bề mặt kim loại. Trong đất xốp cũng có thấy kim hãm quá trình anốt. Còn khi anốt và catốt xa nhau thì có kim hãm do điện trở.

Trong khu vực công nghiệp, gần đường sắt chạy điện... các thiết bị ngầm trong đất cũng bị ăn mòn do dòng điện lạc (xem mục 2.6.2.7).

4.4.3. Biện pháp phòng tránh ăn mòn dưới đất

Có hai phương pháp chính:

- Sơn, phủ, bọc kim loại bằng các lớp phủ bitum hoặc polime (một hoặc nhiều lớp).

- Bảo vệ điện hoá bằng anốt hy sinh hay bảo vệ catốt bằng dòng ngoài.

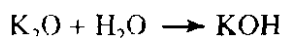
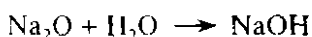
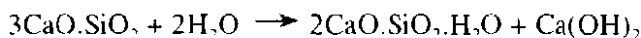
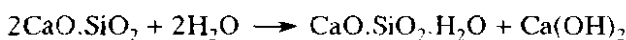
Thông thường người ta kết hợp cả hai phương pháp trên.

4.5. ĂN MÒN TRONG BÊTÔNG

Nghiên cứu ăn mòn cốt thép trong bê tông là một vấn đề rất quan trọng và tốn kém. Hàng ngàn cầu, mặt đường, cầu vượt... bị ăn mòn phá huỷ đòi hỏi phải sửa chữa kịp thời để đảm bảo an toàn cho nhân dân.

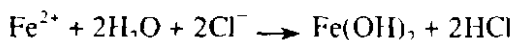
4.5.1. Đặc điểm của ăn mòn bê tông

Bê tông là một tổ hợp gồm xi măng, vật liệu độn (cát, đá, sỏi) nước và các phụ gia. Kết hợp cốt thép với bê tông sẽ làm tăng sức bền chống ngoại lực, tạo sự vững chắc cho công trình. Lớp bê tông bao bọc bên ngoài bảo vệ cho cốt thép tránh những tác động cơ học và hoá học của môi trường. Trong quá trình đóng rắn của bê tông các thành phần khoáng của xi măng bị thủy hoá tạo ra môi trường kiềm cao ($\text{pH} = 13 \div 14$)



Quá trình thủy hoá tiếp tục xảy ra ngay cả trong thời gian sử dụng của bê tông.

Ở pH cao ($13 \div 14$) trên bề mặt thép hình thành một màng thụ động sít, đặc bảo vệ cốt thép khỏi bị ăn mòn. Cốt thép trong bê tông có thể rất bền với ăn mòn nếu bê tông loại trừ được không khí và nước tiếp xúc với thép. Nếu lớp bê tông quá mỏng hoặc xốp thì tác nhân gây ăn mòn cốt thép chủ yếu là nước có hoà tan oxy thâm nhập. Trong bê tông khô cốt thép không bị ăn mòn. Cốt thép trong bê tông bão hoà nước thường xuyên cũng ít bị hư hại vì oxy khó thâm nhập qua pha lỏng. Ở những bê tông khô, ướt xen kẽ oxy thâm nhập dễ dàng, cốt thép bị ăn mòn nhiều hơn. Ion Cl^- hoà tan phá huỷ màng thụ động, thép cacbon bị ăn mòn. Ion Fe^{2+} tạo thành sẽ bị thủy phân, môi trường trở nên axit, ăn mòn càng tăng:



CO_2 của không khí phản ứng với Ca(OH)_2 tạo thành CaCO_3 làm giảm pH trong lỗ xốp nên cũng làm tăng ăn mòn. Thâm nhập của CO_2 gây ăn mòn cục đại trong bê tông ướt nhưng không bão hoà nước.

4.5.2. Biện pháp chống ăn mòn cốt thép trong bê tông

a. Lớp bê tông phải dày ít nhất 50 mm để đảm bảo phủ kín cốt thép và phải có độ gắn bám tốt với cốt thép.

b. Tỷ số nước/ximăng phải nhỏ để bê tông sau đóng rắn có ít lỗ xốp.

c. Cốt thép phải sạch không có gỉ, gắn bám tốt với bê tông.

Tuy nhiên có ý kiến cho rằng bề mặt bị gỉ nhẹ lại tăng liên kết với bê tông.

Có thể dùng lớp phủ epoxy cho cốt thép trong trường hợp đặc biệt. Thường hay dùng lớp phủ kẽm hơn, nhưng không nên dùng trong trường hợp có mặt ion Cl^- .

Bảo vệ catốt bằng dòng ngoài, tỏ ra có triển vọng, tuy nhiên chưa đủ thời gian để đánh giá hiệu quả của nó. Phải cẩn thận khi bảo vệ catốt bằng dòng ngoài cho cốt thép dự ứng lực vì có nguy cơ giòn hydro.

4.6. ĂN MÒN VI SINH

Ăn mòn vi sinh là sự ăn mòn trong điều kiện có tác dụng tăng cường của vi sinh vật và sản phẩm hoạt động của nó. Sự ăn mòn vi sinh chủ yếu gây ra do vi sinh vật sống trong đất, bể chứa nước, nước ngầm.

Ăn mòn vi sinh có tính mùa rõ rệt, mạnh nhất trong mùa xuân ẩm áp và ẩm ướt thuận lợi cho sự phát triển của vi khuẩn.

Các vi khuẩn hiếu khí, cần oxy để hoạt động cũng như các vi khuẩn kỵ khí, không cần oxy đều làm tăng ăn mòn.

4.6.1. Vi khuẩn hiếu khí

Vi khuẩn hiếu khí tiêu thụ oxy, gây ăn mòn do:

a. Tạo thành bùn loăng là các polime do vi khuẩn tiết ra để cải thiện môi trường sinh sản. Bùn loăng bám trên bề mặt kim loại. Các vi khuẩn tạo thành bùn loăng gồm có nấm sợi, tảo, nguyên bào, tảo cát và vi khuẩn. Những vi khuẩn oxy hoá sắt hay sunfua cũng tạo ra bùn loăng. Bùn loăng che phủ ở bề mặt kim loại, tạo nên pin thông khí không đều đồng thời tạo nên môi trường ẩn nấp của vi khuẩn kỵ khí.

b. Oxy hoá các sunfua trong kim loại tạo thành axit H_2SO_4 là tác nhân gây

ăn mòn mạnh. Tuy nhiên khi có mặt ion sunfat, thì vai trò quan trọng của vi khuẩn oxy hoá sunfua là tạo ra bùn loãng làm môi trường kỵ khí cục bộ nuôi dưỡng vi khuẩn khử sunfat.

Vi khuẩn oxy hoá sunfua hoạt động tốt trong môi trường axit ($\text{pH} = 0 \div 6$). Nồng độ H_2SO_4 có thể đạt tới 10%.

c. Oxy hoá Fe^{2+} thành Fe^{3+} ít hoà tan. Nồng độ Fe^{2+} giảm tạo điều kiện cho phản ứng anot xảy ra dễ dàng:



Ở những nơi màng sơn bị hư hỏng, thì các sắt (III) hydroxyt kết tủa và lớn lên tạo nơi ẩn nấp cho vi khuẩn kỵ khí.

Vi khuẩn oxy hoá sắt phát triển tốt ở $\text{pH} = 4 \div 10$. Sản phẩm ăn mòn có màu vàng đỏ, đỏ máu hay da lươn (đỏ nâu).

4.6.2. Vi khuẩn kỵ khí

Vi khuẩn kỵ khí chủ yếu là vi khuẩn khử sunfat. Chúng phát triển tốt tại $\text{pH} = 5 \div 9$ (tốt nhất là $\text{pH} = 6 \div 7.5$).

Do hoạt động của chúng các ion sunfat bị khử thành sunfua:



Phản ứng catốt:



Các nguyên tử H sơ sinh sẽ tác dụng với oxy sinh ra trong quá trình khử sunfat và phản ứng catốt sẽ được tăng cường dẫn đến tăng ăn mòn.

Sự tạo thành các ion S^{2-} và H_2S sẽ tăng cường ăn mòn. Sự có mặt của ion Fe^{2+} trong dung dịch cũng làm tăng ăn mòn. Nếu lượng ion sắt vừa đủ để liên kết toàn bộ H_2S thì trên bề mặt sẽ tạo thành một lớp kết tủa sắt sunfua xốp khiến cho sự khử oxy hoà tan trở nên dễ dàng. Ăn mòn sẽ là dạng ăn mòn điểm (pitting). Sản phẩm ăn mòn có màu đen. Tuy nhiên cũng có một số công trình nghiên cứu cho thấy FeS có tính bảo vệ trong môi trường nước chứa H_2S được chỉnh đến $\text{pH} = 8$ hoặc cao hơn.

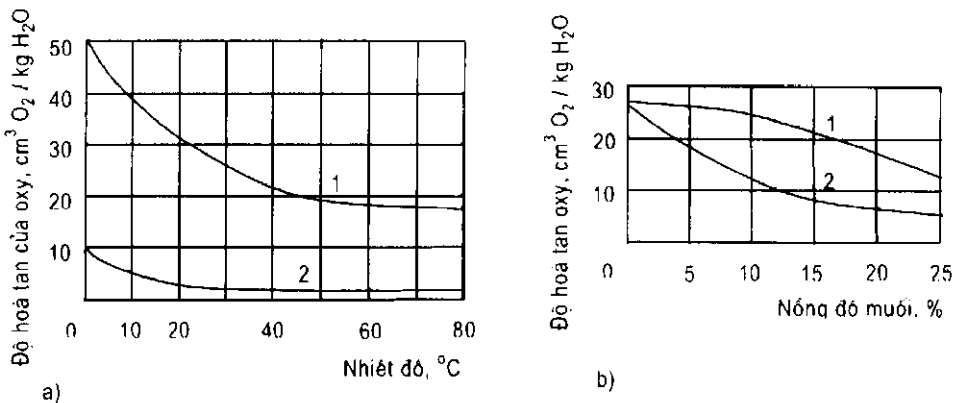
Chương 5

BẢO VỆ KIM LOẠI

5.1. BẢO VỆ KIM LOẠI BẰNG CÁCH BIẾN ĐỔI MÔI TRƯỜNG

5.1.1. Loại trừ các cấu tử gây ăn mòn

Phần lớn các kim loại dùng chế tạo thiết bị và máy móc đều bền trong môi trường trung tính không chứa oxy. Ta có thể trung hoà dung dịch một cách dễ dàng, nhưng rất khó loại trừ oxy. Độ hoà tan của oxy trong môi trường nước phụ thuộc vào nhiệt độ, áp suất riêng phần của oxy (P_{O_2}) và nồng độ muối trong dung dịch.

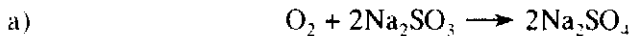


Hình 5.1. Độ hoà tan của oxy trong dung dịch nước:

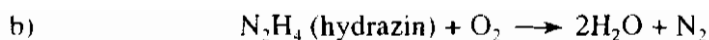
1- $P_{O_2} = 1$ at; 2- $P_{O_2} = 0,2$ at

Loại trừ oxy có thể thực hiện theo các cách sau:

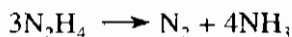
5.1.1.1. Loại oxy bằng các phản ứng hoá học



Ở nhiệt độ thường tốc độ của phản ứng trên chậm. Ta có thể dùng chất xúc tác để tăng tốc độ (ví dụ, thêm 0,001 ppm ion Co^{2+}).



Ở nhiệt độ cao hydrazin sẽ bị phân huỷ:



Sử dụng hydrazin loại trừ được nguy cơ tạo thành muối, tuy nhiên N_2H_4 và NH_3 gây ăn mòn đồng và hợp kim của nó. Thừa sunfit cũng gây ăn mòn thép.

5.1.1.2. Loại trừ oxy bằng phương pháp vật lý

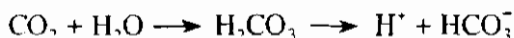
Phương pháp này bao gồm:

- Đun nóng dung dịch cho oxy bay ra.
- Xử lý nước trong chân không có thể giảm nồng độ oxy xuống còn 0,005 ppm.

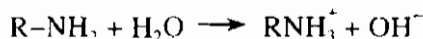
Những phương pháp này được dùng để loại trừ oxy trong nồi hơi.

5.1.1.3. Loại trừ các cấu tử gây ăn mòn khác

Ngoài oxy, khí cacbonic (CO_2) cũng gây ăn mòn vì phản ứng



làm giảm pH. Các amin $\text{R}-\text{NH}_2$ thường dùng để trung hoà axit nhờ phản ứng thuỷ phân sinh ra OH^-



5.1.2. Bảo vệ kim loại bằng chất ức chế ăn mòn

Chất ức chế ăn mòn là những chất mà ta thêm vào môi trường một lượng rất nhỏ nhưng kim hãm đáng kể tốc độ ăn mòn.

Có hai loại chất ức chế chủ yếu:

- Ức chế gây thụ động.
- Ức chế hấp phụ.

Để đánh giá tính hiệu quả của ức chế ta dùng khái niệm “Hệ số tác dụng bảo vệ Z”:

$$Z = \frac{(i_{\text{am}})_{\text{o}} - (i_{\text{am}})_{\text{uc}}}{(i_{\text{am}})_{\text{o}}} \cdot 100\% \quad (5.1)$$

trong đó $(i_{\text{am}})_{\text{o}}$ - tốc độ ăn mòn khi không có ức chế;

$(i_{\text{am}})_{\text{uc}}$ - tốc độ ăn mòn khi có ức chế.

Ngay cả khi nồng độ chất ức chế $C_{uc} = 10^{-4}$ mol/l thì Z cũng vượt quá 95%.

Độ phủ bề mặt θ_{uc} của kim loại bởi các phân tử hấp phụ có vai trò quan trọng ăn mòn vì nó có lập một phần bề mặt với môi trường. Từ phương trình (2.30) cho đường cong phân cực tổng ta có thể viết:

$$i = (1 - \theta_{uc}) \left[B_{Fe} \exp\left(\frac{E_i}{b'_{Fe}}\right) - A_H \exp\left(\frac{E_i}{a'_H}\right) \right] \quad (5.2)$$

$$\text{hay} \quad i = (1 - \theta_{uc})(i_{am})_0 \left[\exp\left(\frac{E_i - E_{am}}{b'_{Fe}}\right) - \exp\left(-\frac{E_i - E_{am}}{a'_H}\right) \right] \quad (5.3)$$

$$(i_{am})_{uc} = (1 - \theta_{uc})(i_{am})_0 \quad (5.4)$$

$$\text{Rút ra} \quad \theta_{uc} = 1 - \frac{(i_{am})_{uc}}{(i_{am})_0} \quad (5.5)$$

Có thể tiên đoán tốc độ ăn mòn nếu biết đường đẳng nhiệt hấp phụ của chất ức chế $\theta_{uc} = f(C_{uc})$ trong đó C_{uc} là nồng độ chất ức chế. Nếu các phân tử hấp phụ chiếm vị trí cố định trên bề mặt không tác dụng với nhau và năng lượng hấp phụ không phụ thuộc độ phủ bề mặt θ_{uc} thì ta có đường đẳng nhiệt hấp phụ Langmuir:

$$\theta_{uc} = \frac{k.C_{uc}}{1 + k.C_{uc}} \quad (5.6)$$

k - hằng số.

Tuy nhiên ít khi gặp đường đẳng nhiệt lý tưởng này.

Nếu bề mặt kim loại không đồng nhất về năng lượng hấp phụ thì ta có đường đẳng nhiệt Temkin:

$$\theta_{uc} = k_1 \lg(k_2 - C_{uc}) \quad (5.7)$$

k_1, k_2 - các hằng số.

Nếu ta giả thiết rằng bề mặt là đồng nhất và năng lượng giảm tuyến tính khi tăng độ phủ bề mặt thì cũng thu được kết quả như (5.7). Đường đẳng nhiệt hấp phụ Temkin đúng khi độ phủ bề mặt có giá trị trung bình $0,2 \leq \theta_{uc} \leq 0,8$.

Nếu ta thừa nhận rằng có sự tương tác giữa các phân tử hấp phụ láng giềng thì có đường đẳng nhiệt hấp phụ Frumkin:

$$\frac{\theta_{uc}}{1 - \theta_{uc}} \exp[f\theta_{uc}] = kC_{uc} \quad (5.8)$$

Để mô tả sự phụ thuộc độ phủ bề mặt vào nồng độ chất ức chế ta dùng đường đẳng nhiệt Freindlich:

$$\theta_{uc} = kC_{uc}^m \quad (5.9)$$

5.1.2.1. Chất ức chế gây thụ động

Kim loại trở nên thụ động khi có mặt các chất ức chế loại này. Để gây thụ động kim loại các chất ức chế loại này phải đáp ứng hai tiêu chuẩn:

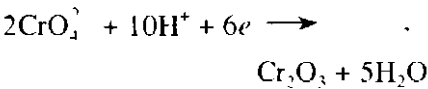
1) Điện thế cân bằng oxy hoá - khử của chất tham gia phản ứng catốt E_c^{ch} phải dương hơn điện thế Flade E_F :

$$E_c^{ch} > E_F$$

2) Tốc độ của phản ứng catốt tại thế điện thế Flade E_F phải lớn hơn mật độ dòng tới hạn:

$$|i_c|_{E_F} > i_{th}$$

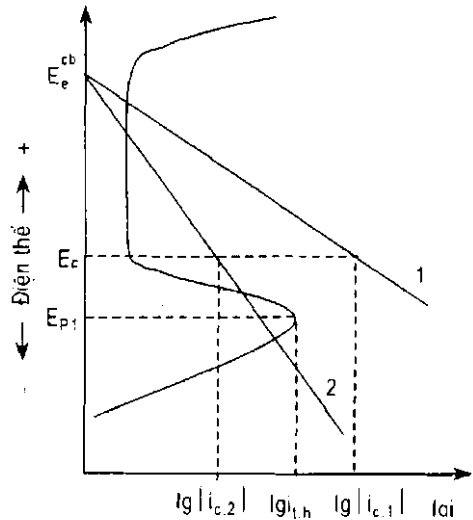
Ví dụ chất ức chế $Na_2Cr_2O_4$ bảo vệ thép trong hệ thống làm lạnh:



Cr_2O_3 tạo thành lớp thụ động trên bề mặt thép.

Sử dụng chất ức chế gây thụ động bất lợi và nguy hiểm khi nồng độ của nó không đủ để

$$|i_c|_{E_F} > i_{th}$$



Hình 5.2. Sơ đồ ăn mòn khi dùng chất ức chế thụ động:

- 1- nồng độ ức chế đủ lớn;
- 2- nồng độ ức chế không đủ lớn

Hình 5.2 cho thấy khi nồng độ chất ức chế không đủ lớn (đường 2) thì $|i_{c,2}|_{E_F} < i_{th}$, đường catốt cắt đường anốt tại khu vực hoạt động, nên chất ức chế không có tác dụng. Khi nồng độ ức chế đủ lớn (đường 1) thì $|i_{c,1}|_{E_F} > i_{th}$, kim loại được bảo vệ.

Nồng độ tối thiểu C_{min} của CrO_4^{2-} , NO_2^- khoảng $10^{-3} \div 10^{-4}$ mol/l. Tăng nồng độ ion Cl^- sẽ làm cho mật độ dòng tới hạn và thụ động tăng và do đó nồng độ C_{min} của chất ức chế gây thụ động phải lớn hơn.

Một số chất kết hợp với oxy hoà tan trong dung dịch sẽ trở thành chất ức chế gây thụ động. Đó là các hợp chất kiềm như NaOH , Na_2CO_3 . Khi tăng pH thì i_{th} trở nên rất nhỏ nên kim loại sẽ dễ bị thụ động hơn.

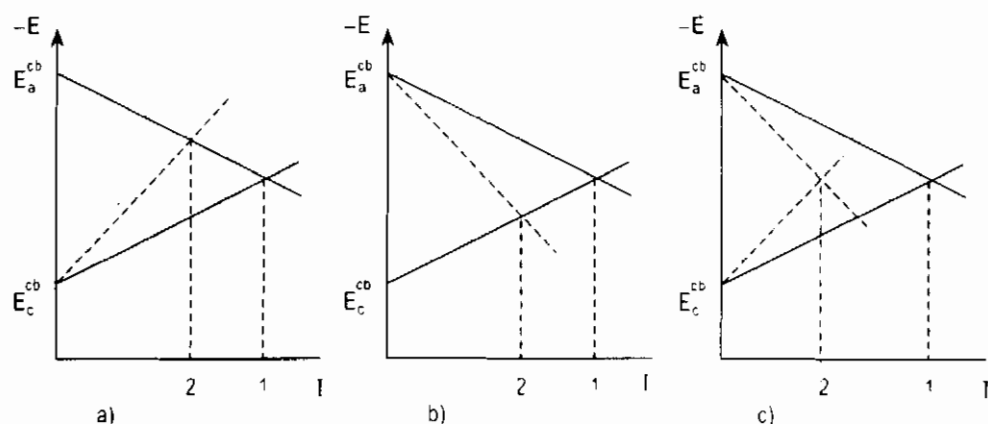
Các chất borat, silicat, photphat cũng có những tính chất tương tự.

5.1.2.2. Những chất ức chế hấp phụ (không gây thụ động)

Những chất ức chế loại này thường có nguồn gốc hữu cơ. Chúng hoà tan vào dung dịch (hoặc ít tan) và kim hãm tốc độ ăn mòn do hấp phụ che phủ bề mặt kim loại.

Chúng có thể kim hãm phản ứng anốt, catốt hay cả hai đồng thời. Chúng được gọi là chất ức chế catốt, anốt hay hỗn hợp.

Hình 5.3 là sơ đồ Evans của sự ăn mòn trong dung dịch có chất ức chế catốt, anốt và hỗn hợp tương ứng.



Hình 5.3. Sơ đồ Evans về ăn mòn:

a) Dung dịch có chất ức chế catốt:

- 1- I_{am} trong dung dịch không có ức chế;
- 2- I_{am} trong dung dịch có ức chế catốt

b) Dung dịch có chất ức chế anốt:

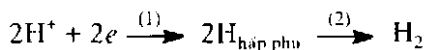
- 1- I_{am} trong dung dịch không có ức chế;
- 2- I_{am} trong dung dịch có ức chế anốt

c) Dung dịch có chất ức chế hỗn hợp:

- 1- I_{am} trong dung dịch không có ức chế;
- 2- I_{am} trong dung dịch có ức chế hỗn hợp

Các chất ức chế hấp phụ hay được dùng trong môi trường axit.

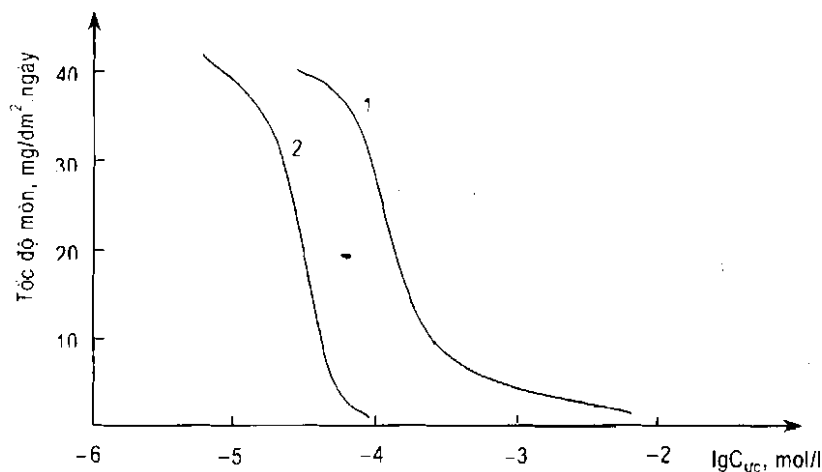
Các chất ức chế chứa lưu huỳnh có thể gây giòn hydro trong thép vì chúng kim hãm giai đoạn 2 của phản ứng khử catốt của ion H^+ .



do đó tăng sự thấm hydro vào trong các tinh thể kim loại.

Chất ức chế không gây thụ động có hiệu quả ngay cả khi hàm lượng của nó trong dung dịch rất nhỏ, miễn là đủ tạo thành một lớp hấp phụ sát chặt, chiều dày một vài phân tử.

Hình 5.4 trình bày ảnh hưởng của nồng độ chất ức chế đến sự ăn mòn thép cacbon trong axit H_2SO_4 .



Hình 5.4. Ảnh hưởng của nồng độ chất ức chế đến ăn mòn thép cacbon 0,1% trong axit H_2SO_4 5% ở 70°C :

1- thioure;

2- o- và p-tolyl thioure

5.1.2.3. Áp dụng chất ức chế trong môi trường nước

Chất ức chế ăn mòn được dùng nhiều nhất trong các hệ thống tuần hoàn. Hệ thống dung dịch chảy qua một lần tiêu thụ quá nhiều chất ức chế nên không kinh tế. Hiệu quả của chất ức chế sẽ bị giảm khi tính xâm thực của dung dịch tăng. Nhiều chất ức chế là chất độc hại (cromat, arsen), do đó hiện nay Luật Môi trường hạn chế việc sử dụng chúng. Nhiều chất ức chế có hiệu quả với nhiều loại kim loại và hợp kim (bảng 5.1), tất nhiên pH, nhiệt độ và các điều kiện khác là riêng biệt cho từng loại. Một chất ức chế kim loại này, có thể xâm thực kim loại kia.

Bảng 5.1. Hiệu quả của chất ức chế trong nước có pH gần trung tính

Kim loại	Bromat	Natrit	Benzoat	Borat	Phosphat	Silicat	Tanin
Thép mềm	H	H	H	H	H	V	V
Gang	H	H	K	T		V	V
Kẽm	H	K	K	H	H	V	V
Đồng	H	I	I	H	T	V	V
Nhôm	H	I	I	T		V	V

Ghi chú: H - hiệu quả; K - không hiệu quả; V - hiệu quả vừa; I - ít hiệu quả;
T - thất thường.

Có ba loại môi trường rất hay dùng chất ức chế:

- Nước công nghiệp (làm lạnh) ở pH gần trung tính ($5 \div 9$).
- Dung dịch axit tẩy gỉ.
- Công nghệ dầu thô và chưng cất dầu.

Ít dùng chất ức chế trong nước uống vì độc và giá thành cao. Chỉ được dùng các chất ức chế không độc.

Bảng 5.2 thống kê các chất ức chế hay dùng trong công nghiệp.

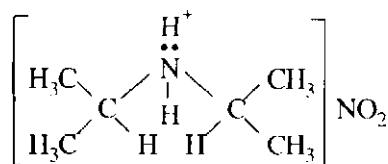
5.1.2.4. Chất ức chế bay hơi

Đó là những hợp chất vô cơ hay hữu cơ có áp suất hơi đủ cao, ngay cả nhiệt độ thường, để nhanh chóng chiếm một thể tích khép kín. Những hợp chất này hấp phụ lên bề mặt kim loại và bảo vệ nó khỏi tác dụng của môi trường xâm thực.

Những chất ức chế bay hơi thường dùng trong bao gói bảo quản những mặt hàng bằng kim loại.

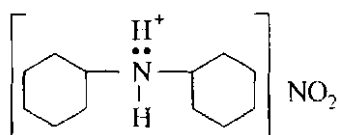
Mỗi kim loại, nhất là kim loại màu có một chất ức chế riêng.

Ví dụ, amoni nitrit diazopropyl

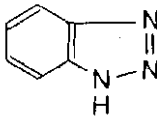
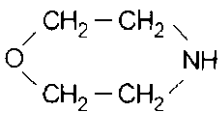


có tác dụng bảo vệ Cr, monel (70% Ni + 30% Cu) và thiếc nhưng lại tăng nhanh tốc độ ăn mòn Cu, đồng thanh (Cu - Sn), bạc, Al và đồng thau.

Để bảo vệ thép trong khí quyển kín ta thường dùng dicyclohexyl amoni nitrit $(C_6H_{11})_2NH_2NO_2$, công thức khai triển của nó là



Bảng 5.2. Các chất ức chế công nghiệp

Môi trường	Chất ức chế
Nước - Nước uống - Nước làm lạnh tuần hoàn - Chất làm lạnh trong ô tô	Kết tủa CaCO_3 , silicat, polyphosphat, muối kẽm CrO_4^{2-} , NO_3^- ở nồng độ 300 ÷ 500 ppm Canxi polyphosphat 15 ÷ 37 ppm Silicat 20 ÷ 40 ppm Nitrit, benzoat, borax, phosphat Natri mercaptobenzotiazol Benzotriazol 
- Nước ngưng nổi hơi	Chất trung hoà: amoniac, morpholin 
- Nước biển và nước muối	Xyclohexamin, benzylamin Amin mạch dài thẳng 1 ÷ 3 ppm Nước muối làm lạnh: $\text{C}_2\text{O}_4^{2-}$ 2000 ÷ 3300 ppm Nước biển loãng NaNO_2 3 ÷ 10%
Dung dịch axit tẩy gỉ H_2SO_4 HCl	Phenylthioure, di-ortho-tolyl thioure, mercaptan, sunfua 0,003 ÷ 0,01% Pyridin, quinolin, các amin, dexylamin, phenyl thioure, dibenzylsulfoxid

5.2. BẢO VỆ KIM LOẠI BẰNG THAY ĐỔI ĐIỆN THẾ ĐIỆN CỰC

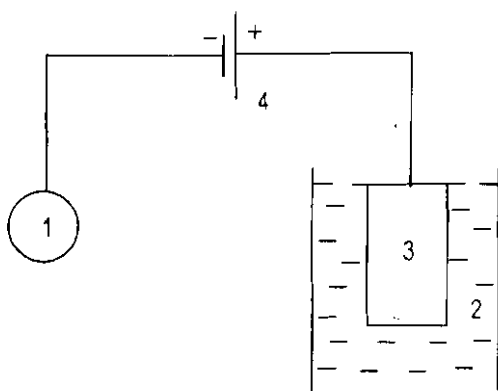
Phương pháp này chỉ được dùng để bảo vệ kim loại nhúng trong môi trường có độ dẫn điện ion, ví dụ trong dung dịch hoặc dưới đất.

Đồ thị Pourbaix giản đơn của sắt (hình 1.13) cho thấy nếu dịch chuyển điện thế của sắt đến vùng miễn dịch hoặc thụ động thì sắt sẽ không bị ăn mòn. Từ đó người ta thấy rằng có thể bảo vệ kim loại bằng thay đổi điện thế điện cực.

Nếu điện thế của kim loại được dịch chuyển về phía âm hơn thì ta nói kim loại được bảo vệ catốt. Nếu điện thế của kim loại được dịch chuyển về phía dương hơn thì nó được bảo vệ anốt.

5.2.1. Bảo vệ catốt bằng dòng ngoài

Thiết bị cần bảo vệ được nối với cực âm của nguồn điện một chiều, còn điện cực phụ (anốt) nối với cực dương (hình 5.5).

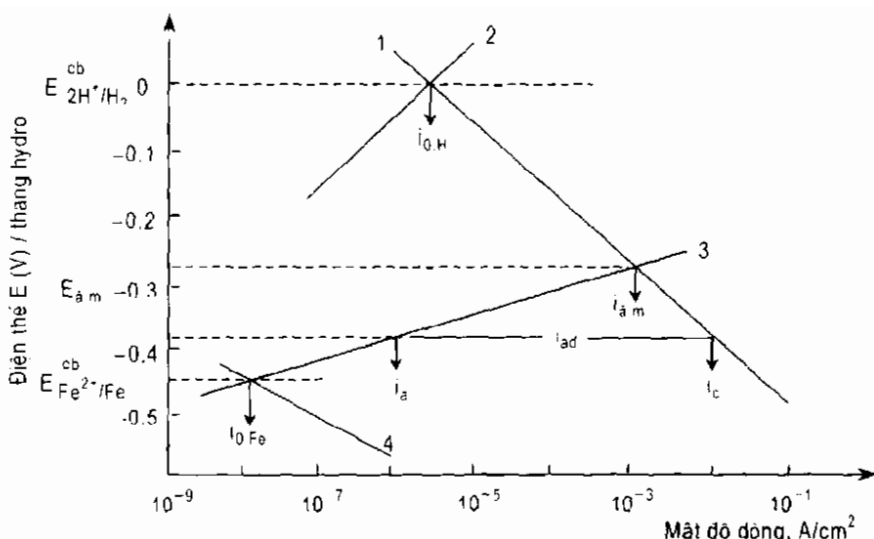


Hình 5.5:

- 1- thiết bị cần bảo vệ;
- 2- chất điện dẫn;
- 3- điện cực phụ (anốt);
- 4- nguồn điện một chiều

Sơ đồ đường cong phân cực (hình 5.6) sẽ giải thích tại sao khi phân cực catốt bằng dòng ngoài có thể giảm được tốc độ ăn mòn.

Ta thấy trước khi phân cực catốt mật độ dòng ăn mòn $i_{an} = 10^{-3} \text{ A/cm}^2$ tức $10^3 \mu\text{A/cm}^2$. Phân cực catốt khoảng 120 mV, mật độ dòng ăn mòn giảm xuống còn $i_a = 1 \mu\text{A/cm}^2$. Trường hợp này đòi hỏi áp đặt một mật độ dòng $i_{ad} = 1,5 \cdot 10^{-2} \text{ A/cm}^2$ tức khoảng 150 A cho 1 m^2 . Đó là một mật độ dòng quá cao không kinh tế, vì vậy bảo vệ catốt trong môi trường axit là không thực tế. Nhưng nếu là môi trường trung tính có oxy hoà tan thì ta lại có một hình ảnh khác hẳn (hình 5.7).



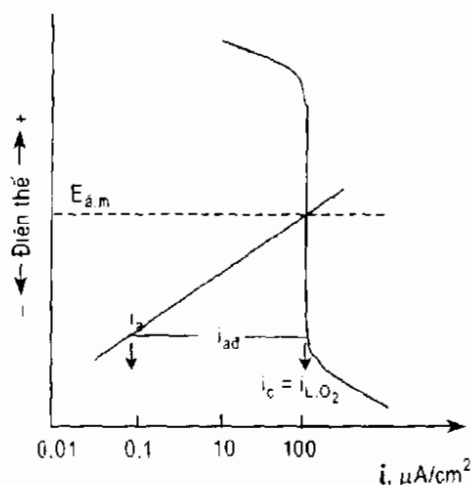
Hình 5.6. Bảo vệ catốt bằng dòng ngoài (i_{ad}) cho thép trong môi trường axit:

đường 1: $2H^+ + 2e \rightarrow H_2$; đường 2: $H_2 \rightarrow 2H^+ + 2e$;

đường 3: $Fe \rightarrow Fe^{2+} + 2e$; đường 4: $Fe^{2+} + 2e \rightarrow Fe$

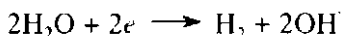
Tốc độ ăn mòn bị kìm hãm bởi sự khuếch tán oxy hoà tan và $i_{am} = -i_{L,O_2} = 100 \mu A/cm^2$.

Khi dịch chuyển điện thế về phía âm hơn điện thế ăn mòn (E_{am}) 120 mV thì tốc độ ăn mòn chỉ còn $i_{am} = i_a = 0,1 \mu A/cm^2$. Vì mật độ dòng điện áp đặt i_{ad} lớn nhất cũng chỉ bằng i_{L,O_2} và bằng $100 \mu A/cm^2$ nên bảo vệ catốt trong trường hợp này rất kinh tế. Mặt khác trong dung dịch này các chất phủ, bị bóc bết với ăn mòn, cho nên dòng điện áp đặt còn có thể giảm xuống nhỏ hơn.



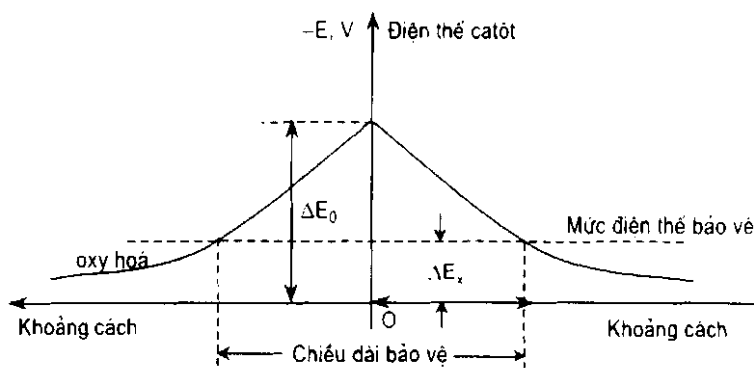
Hình 5.7. Bảo vệ catốt cho thép bằng dòng ngoài i_{ad} trong nước biển trung tính thoáng khí (có oxy hoà tan)

Nếu ta phân cực catốt quá thì nước sẽ bị khử:



Các chất phủ, bột bọc bị phá huỷ, ngoài ra còn gây giòn hydro (hình 3.32).

5.2.1.1. Phân bố điện thế và dòng điện



Hình 5.8. Phân bố điện thế theo khoảng cách tới điểm nối với anốt (O)

Giả sử ta có một ống chôn ngầm dưới đất được bảo vệ catốt.

Điện thế của ống tại khoảng cách x tới đầu nối 0 với anốt:

$$E_x = E_o \exp(-\alpha x) \quad (5.10)$$

Dòng điện đi trong ống tại khoảng cách x tới đầu nối 0 với anốt:

$$I_x = I_o \exp(-\alpha x) \quad (5.11)$$

trong đó E_o , I_o - điện thế và cường độ dòng tại điểm nối với anốt.

α - hệ số giảm thế và dòng:

$$\alpha = \frac{R_s}{R_K} \quad (5.12)$$

ở đây R_s - điện trở của một đơn vị chiều dài ống;

R_K - điện trở đặc trưng:

$$R_K = (R_s R_L)^{1/2} \quad (5.13)$$

$$R_L = \frac{(E_x - E_o)}{(I_x - I_o)} \quad (5.14)$$

R_L có tên là điện trở rò của ống.

$(E_x - E_o)$ bao gồm điện thế rơi qua lớp phủ, bọt bọc và phân cực điện hoá tại giao diện (bề mặt phân chia) kim loại - lớp phủ. E_x và I_x sẽ bằng không tại $x = \infty$.

Phương trình giảm thế và dòng giữa 2 điểm nối với anốt cách nhau $2d$ là:

$$E_x = \frac{E_o \cos h\alpha(d-x)}{\cosh \alpha d} \quad (5.15)$$

$$\left[\cosh x = \frac{(e^x + e^{-x})}{2} \right]$$

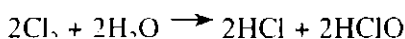
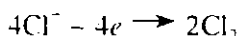
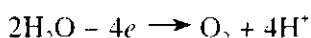
$$I_x = \frac{I_o \sinh \alpha(d-x)}{\sinh \alpha d} \quad (5.16)$$

$$\left[\sinh x \text{ hay } shx = \frac{1}{2} \cdot (e^x - e^{-x}) \right]$$

Sự biến thiên điện thế giữa 2 điểm nối với anốt vẽ theo phương trình (5.15) được trình bày trên hình 5.8.

5.2.1.2. Vật liệu anốt cho bảo vệ catốt bằng dòng ngoài

Trước kia vật liệu anốt thường dùng là sắt thép vụn phế thải, bị hoà tan anốt trong quá trình bảo vệ. Ngày nay các loại anốt tan này chỉ được dùng ở những nơi anốt và thiết bị cần bảo vệ được chôn trong bùn và cát thềm lục địa, tại đó khí thoát ra khó phân tán. Các anốt thường dùng là thép, gang, hợp kim chì, titan mạ Pt. Gần đây người ta còn dùng anốt titan phủ hỗn hợp oxyt để bảo vệ bê tông. Anốt loại này có thể đặt ngay trên bê tông. Người ta thấy rằng trên anốt phủ hỗn hợp oxyt giàu iridi, phản ứng sinh ra oxy xảy ra thuận lợi hơn phản ứng sinh clo. Thoát oxy hoặc thoát clo đều sinh ra một lượng axit như nhau:



Nhưng axit HClO là chất oxy hoá mạnh, nên nó huỷ hoại mạnh bê tông ở lân cận anốt.

Bảng 5.3 trình bày tính chất của một số anốt.

Bảng 5.3. Anốt dùng cho bảo vệ catốt bằng dòng ngoài

Vật liệu	Hao tổn, kg/A.năm	Khuyến dùng
Ta hay Nb mạ Pt	8.10^{-6}	Biển, nước uống, chất dòn cacbon, chất lỏng rất sạch
Ti mạ Pt	8.10^{-6}	Môi trường biển và nước uống
Thép silic cao	$0,25 \div 1,0$	Nước uống, đất
Thép	$6,8 \div 9,1$	Biển và chất dòn cacbon
Sắt	Khoảng 9,5	Biển và chất dòn cacbon
Pb - Pt	0,09	Biển
Pb - Ag	0,09	Biển
Graphit	$0,1 \div 1$	Biển, nước uống

5.2.1.3. Thiết kế bảo vệ catốt bằng dòng ngoài

Các bước thiết kế:

1. Chọn mật độ dòng bảo vệ.
2. Tính dòng tổng ($i \times S_{\text{bảo vệ}}$).
3. Tính điện trở đất.
4. Tính dây dẫn.
5. Tính điện thế của chính lưu.
6. Thiết kế mạch điện.
7. Chọn vị trí cho trạm thử nghiệm.
8. Vẽ thiết kế.

a) Chất dòn bao quanh anốt và có nhiệm vụ:

- Hạ thấp điện trở tiếp xúc anốt với môi trường.
- Dẫn điện trực tiếp từ anốt sang chất dòn.

Chất dòn cacbon gồm 95% than cốc.

b) Điện trở đất - anốt:

Với anốt tròn đặt nằm ngang đơn độc:

$$R_{11} = \frac{\rho}{2\pi L} \left(\ln \frac{4L}{d} - 1 \right), \Omega \quad (5.17)$$

Với anốt tròn đặt thẳng đứng đơn độc:

$$R_v = \frac{\rho}{2\pi L} \left(\ln \frac{8L}{d} - 1 \right), \Omega \quad (5.18)$$

trong đó ρ - điện trở suất của đất hoặc chất độn, $\Omega \cdot \text{cm}$.

Khi anốt đặt trong chất độn thì hai điện trở mắc nối tiếp là từ anốt đến chất độn và từ chất độn đến đất.

Khi có nhiều anốt mắc song song thì:

$$R = \frac{\rho}{4\pi NL} \left(\ln \frac{8L}{d} - 1 + \frac{2L}{S} \ln 0,656N \right) \quad (5.19)$$

trong đó R - điện trở của các anốt nối song song, Ω ;

ρ - điện trở suất của đất, $\Omega \cdot \text{cm}$;

N - số anốt song song;

L - chiều dài anốt, cm ;

d - đường kính anốt, cm ;

S - khoảng cách các anốt, cm .

c) Điện trở của lớp phủ và bọt bọc

Sự hút ẩm làm giảm điện trở của lớp bọt bọc khoảng 10% trong vòng 2,5 năm. Người ta cũng có thể tính được điện trở rò của lớp phủ.

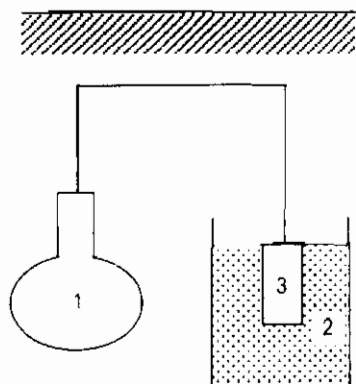
5.2.2. Bảo vệ catốt bằng anốt hy sinh (protectơ)

Kim loại cần bảo vệ nối với kim loại khác có điện thế âm hơn (hình 5.9).

Sơ đồ đường cong phân cực được trình bày trên hình 5.10. Trong trường hợp này thì thiết bị kim loại được bảo vệ còn protectơ bị hoà tan. Nó đã hy sinh để bảo vệ thiết bị nên có tên là anốt hy sinh.

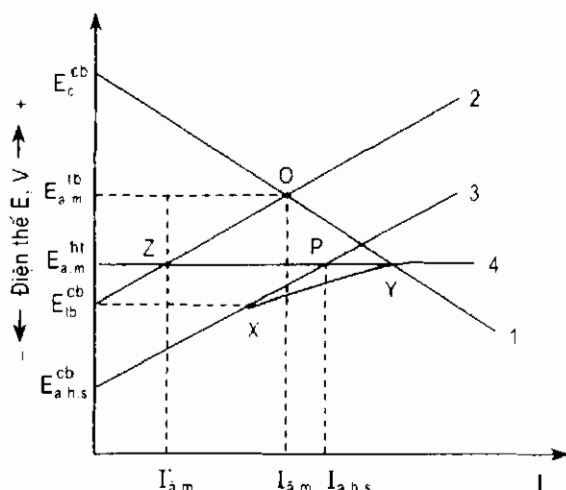
Trước khi lắp đặt anốt hy sinh thì đường phân cực anốt 2 và đường phân cực catốt 1 cắt nhau tại O. Tốc độ ăn mòn khi thiết bị chưa được bảo vệ là i_m và điện thế ăn mòn là $E_{a.m.}^{tb}$.

Khi lắp thêm anốt hy sinh thì đường phân cực catốt vẫn là đường 1. Nhưng bây giờ ta có hai đường phân cực anốt: đường 2 của thiết bị với phản ứng anốt là: $\text{Me}_{tb} \rightarrow \text{Me}_{tb}^{n+} + ne$ và đường 3 của anốt hy sinh với phản ứng anốt là: $\text{Me}_{a.h.s} \rightarrow \text{Me}_{a.h.s}^{m+} + me$.



Hình 5.9. Sơ đồ bảo vệ bằng anốt hy sinh:

- 1- thiết bị cân bảo vệ;
- 2- vỏ bọc hoạt hoá gồm thạch cao + đất sét + Na_2SO_4 ;
- 3- anốt hy sinh



Hình 5.10. Sơ đồ đường cong phân cực bảo vệ catốt bằng anốt hy sinh:

- 1- đường cong phân cực catốt;
- 2- đường cong phân cực anốt trên thiết bị:
 $\text{Me}_{\text{tb}} \rightarrow \text{Me}_{\text{tb}}^{n+} + ne$
- 3- đường cong phân cực anốt trên anốt hy sinh:
 $\text{Me}_{\text{a.h.s}} \rightarrow \text{Me}_{\text{a.h.s}}^{m+} + me$
- 4- đường cong phân cực anốt tổng (cộng hai đường anốt 2 và 3)

Do đó ta phải cộng hai đường 2 và 3 để được đường cong phân cực anốt tổng 4. Đường 4 bắt đầu từ $E_{\text{a.h.s}}^{\text{cb}}$ (điện thế cân bằng của anốt hy sinh) đi qua X cắt đường 1 tại Y. Từ Y giống đường thẳng góc với trục tung được điện thế ăn mòn của hệ thống $E_{\text{a.m}}^{\text{ht}}$. Đường $E_{\text{a.m}}^{\text{ht}}$ cắt đường 2 tại Z. Từ Z hạ đường thẳng góc với trục I ta được dòng điện ăn mòn $I_{\text{a.m}}$ của thiết bị đã được bảo vệ.

Từ hình 5.10 ta thấy rằng $I_{\text{a.m}} < I_{\text{a.h.s}}$ như vậy kim loại đã được bảo vệ, còn anốt hy sinh sẽ hoà tan với tốc độ là $I_{\text{a.h.s}}$.

5.2.2.1. Điện thế làm việc, điện thế bảo vệ và hiệu điện thế tác dụng

a) Điện thế làm việc của anốt hy sinh là điện thế của nó khi nối với thiết bị

cần bảo vệ (có nghĩa là điện thế mạch đóng). Vì các anốt thương mại được chế tạo sao cho nó có phân cực rất nhỏ trong điều kiện làm việc khắc nghiệt nên điện thế làm việc tiếp cận với điện thế mạch hở. Nếu có cách biệt lớn ($> 50 \text{ mV}$) giữa hai điện thế trên thì anốt coi như không đạt yêu cầu.

b) Điện thế bảo vệ là điện thế, tại đó sự ăn mòn kim loại sẽ dừng hoặc rất nhỏ. Các kim loại khác nhau có điện thế bảo vệ khác nhau (bảng 5.4).

Bảng 5.4. Điện thế bảo vệ của các kim loại trong nước biển

Kim loại	Điện thế bảo vệ (V) so điện cực clorua bạc
Thép và sắt	
Môi trường háo khí	-0,8
Môi trường kỵ khí	-0,9
Chì	-0,55
Hợp kim đồng	-0,45 đến -0,6

c) Hiệu điện thế tác dụng là hiệu số giữa điện thế của thiết bị (bị phân cực nối với anốt) và điện thế làm việc của anốt. Khi thiết kế thì hiệu điện thế tác dụng lấy bằng hiệu số giữa điện thế bảo vệ của thiết bị và điện thế làm việc của anốt:

$$\Delta E_{\text{td}} = E_{\text{bn}}^{\text{th}} - E_{\text{a}}^{\text{a}} \quad (5.20)$$

5.2.2.2. Dung lượng và hiệu suất của anốt hy sinh

Dung lượng là tổng diện tích (dòng điện \times thời gian) do một đơn vị khối lượng anốt sản ra khi hoà tan điện hoá. Dung lượng đo bằng số Ah cho 1 kg (Ah/kg).

Nghịch đảo của dung lượng là tốc độ tiêu thụ đo bằng kg/A.năm.

Dung lượng lý thuyết của anốt có thể tính theo định luật Faraday. Dung lượng thực tế của anốt thường nhỏ hơn lý thuyết.

Hiệu suất của anốt là phần trăm dung lượng lý thuyết được thực hiện trong thực tế:

$$\text{Hiệu suất } \eta = \frac{\text{dung lượng thực tế}}{\text{dung lượng lý thuyết}} \times 100\% \quad (5.21)$$

5.2.2.3. Yêu cầu với anốt hy sinh

Anốt hy sinh phải đáp ứng các yêu cầu sau:

1- Phải có hiệu điện thế tác dụng đủ lớn. Yêu cầu này bao gồm cả việc anốt hy sinh phải có điện thế âm hơn của thiết bị cần bảo vệ.

2- Vật liệu anốt phải có điện thế làm việc ít nhiều không đổi trong một phạm vi mật độ dòng nào đó. Tóm lại là anốt phải có phân cực nhỏ khi dòng điện chạy qua và đặc điểm của phân cực có thể tiên đoán được.

3- Vật liệu anốt phải có dung lượng cao, ổn định, không bị thụ động trong môi trường làm việc, ăn mòn đều, đủ bền cơ khí, hiệu suất cao (gần với lý thuyết).

5.2.2.4. Vật liệu anốt hy sinh

Có thể bảo vệ catốt phần lớn kim loại, nhưng thông dụng nhất là bảo vệ thép cacbon trong môi trường tự nhiên (nước, cát, đất). Như đã nói ở trên để bảo vệ catốt thì anốt hy sinh phải có điện thế âm hơn kim loại cần bảo vệ.

Li, Na, K có điện thế âm nhất nhưng bị ăn mòn cực nhanh trong môi trường nước. Chỉ còn Mg, Al và kẽm là có thể dùng được và được làm nền để chế tạo ba loại anốt hy sinh.

Bảng 5.5 trình bày một số anốt điển hình và các thông số kỹ thuật.

Bảng 5.5. Các thông số kỹ thuật của một số anốt hy sinh

Hợp kim	Môi trường	Điện thế làm việc (so với điện cực bạc clorua) trong nước biển	Hiệu thế tác dụng ΔE_{td} , V	Dung lượng, Ah/kg
Al-Zn-Hg	Nước biển	-1,0 ÷ 1,05	0,2 ÷ 0,25	2600 ÷ 2850
Al-Zn-In	Nước biển	-1,0 ÷ -1,10	0,2 ÷ 0,3	2300 ÷ 2650
Al-Zn-Sn	Nước biển	-1,0 ÷ -1,05	0,2 ÷ 0,25	925 ÷ 2600
Zn	Nước biển	-0,95 ÷ -1,03	0,15 ÷ 0,23	760 ÷ 780
Zn-Al-Cd	Nước biển	-1,05		780
Mg-Al-Zn	Nước biển	-1,5	0,7	1230
Mg-Mn	Nước biển	-1,7	0,9	1230

Nhìn vào bảng 5.5 ta thấy hợp kim Mg có diện thế làm việc rất âm, do đó có hiệu điện thế tác dụng lớn còn hợp kim của nhôm lại có dung lượng gần gấp đôi của kẽm và magie. Như vậy nếu trong hệ thống bảo vệ catốt cần có dòng điện lớn trong thời gian ngắn, hoặc cần phải thắng một điện trở lớn thì nên dùng hợp kim Mg, còn nếu cần sẵn sàng cung cấp dòng trong một thời gian dài thì nên dùng hợp kim nhôm.

Để cải thiện sự hoạt động của anốt hy sinh ta thường cho thêm các phụ gia hợp kim và kiểm soát chặt chẽ hàm lượng tạp chất trong anốt vì các tạp chất, chủ yếu là đồng và sắt, ảnh hưởng xấu đến hoạt động của anốt hy sinh.

5.2.2.5. Thiết kế hệ thống bảo vệ catốt bằng anốt hy sinh

a) Diện tích cần bảo vệ và tầm quan trọng của chất phủ

Ít khi thiết bị không phủ một lớp bảo vệ. Vì vậy diện tích cần bảo vệ sẽ là:

Diện tích bảo vệ =
$$\frac{\text{Toàn bộ diện tích thiết bị} \times \text{phần lớp phủ bị hỏng (\%)}}{100}$$

Tất nhiên phần trăm lớp phủ bị hỏng thay đổi theo thời gian (bảng 5.6).

Bảng 5.6. Phần lớp phủ bị hỏng của các thiết bị ngoài khơi (%)

Thời gian phục vụ của lớp phủ, năm	Phần bị hỏng, %		
	Khởi đầu	Giữa	Cuối
10	2	7	10
20	2	15	30
30	2	25	60
40	2	40	90

b) Mật độ dòng bảo vệ

Mật độ dòng bảo vệ phụ thuộc nhiệt độ, tốc độ chảy, lớp gỉ bảo vệ, tình trạng chôn thiết bị, độ muối và vi khuẩn.

Điều quan trọng là phải chọn đúng mật độ dòng bảo vệ. Nếu cao quá sẽ dẫn tới quá bảo vệ, nếu nhỏ quá thì giảm tuổi thọ của công trình. Ví dụ để bảo vệ thép trần trong vịnh Ả-rập thì mật độ dòng bảo vệ là $90 \div 130 \text{ mA/m}^2$.

c) Tính khối lượng anốt hy sinh

Tổng khối lượng anốt cần thiết để bảo vệ thiết bị:

$$W = \frac{i_{th} \cdot A \cdot l \cdot 8760}{C} \quad (5.22)$$

trong đó W - tổng khối lượng anốt, kg;

A - diện tích cần bảo vệ, m^2 ;

i_{th} - mật độ dòng điện trung bình để bảo vệ thiết bị, A/m^2 ;

l - tuổi thọ công trình theo thiết kế, năm ($1 \text{ năm} = 8760 \text{ h}$);

C - dung lượng của anốt, Ah/kg .

d) Công suất của anốt hy sinh

Công suất của anốt là cường độ do anốt sản ra theo thiết kế. Nó phụ thuộc vào hình dáng anốt, điện trở của môi trường điện thế bảo vệ và điện thế làm việc:

$$I = \frac{|E_{lv}^a - E_{bv}^{th}|}{R} \quad (5.23)$$

trong đó E_{lv}^a - điện thế làm việc của anốt, V;

E_{bv}^{th} - điện thế bảo vệ của thiết bị, V;

I - công suất anốt, A;

R - điện trở anốt, Ω .

Điện thế bảo vệ của thép trong môi trường nước biển hóa khí là $-0,80 \text{ V}$ so với điện cực bạc clorua.

e) Điện trở của anốt hy sinh

Dưới đây là các công thức tính điện trở anốt R trong điều kiện nhúng. Cũng có những công thức tương tự cho điều kiện chôn.

- Thanh anốt nhỏ đặt cách thiết bị tối thiểu 30 cm (với $L > 4r$):

$$R_a = \frac{\rho}{2\pi L} \cdot \left[\ln \frac{4L}{r} - 1 \right] \quad (5.24)$$

trong đó ρ - điện trở suất;

L - chiều dài của anốt;

r - bán kính anốt (với các thanh anốt không phải hình trụ, thì $r = \frac{C}{2\pi}$;

C là chu vi mặt cắt).

- Thanh anốt đặt cách thiết bị tối thiểu 30 cm và $L < 4r$:

$$R_a = \frac{\rho}{2\pi L} \cdot \left\{ \ln \left[\frac{2L}{r} \left(1 + \sqrt{1 + \left(\frac{r}{2L} \right)^2} \right) \right] + \frac{r}{2L} - \sqrt{1 + \left(\frac{r}{2L} \right)^2} \right\} \quad (5.25)$$

- Anốt tấm phẳng:

$$R_a = \frac{\rho}{2S} \quad (5.26)$$

S - trung bình cộng chiều dài và chiều rộng anốt.

- Các anốt có hình dạng khác và hình vòng đeo tay:

$$R_a = \frac{0,315\rho}{\sqrt{A}} \quad (5.27)$$

A - bề mặt anốt

Để tính điện trở anốt phải biết điện trở suất của môi trường.

f) Tuổi thọ của anốt hy sinh

$$T = \frac{MU}{IE} \quad (5.28)$$

T - tuổi thọ của anốt, năm;

M - khối lượng của một anốt, kg;

U - hệ số sử dụng anốt, với anốt kiểu vòng đeo tay, $U = 0,75 \div 0,8$;

E - tốc độ tiêu hao anốt, kg/A.năm;

I - công suất anốt, A.

g) Số lượng anốt

Số lượng anốt N tính theo:

$$N = \frac{Ai_{th}}{I} \quad (5.29)$$

$N \times M$ phải lớn hơn hoặc bằng W .

5.2.3. Bảo vệ anốt

Phương pháp này chỉ dùng cho kim loại có khả năng bị thụ động. Trước khi đi sâu vào nguyên tắc của phương pháp bảo vệ anốt, ta thử so sánh hai phương pháp bảo vệ anốt và bảo vệ catốt bằng dòng ngoài. Cả hai phương pháp đều làm

giảm tốc độ ăn mòn bằng thay đổi điện thế điện cực của kim loại. Giảm do Pourbaix của sắt (hình 1.12, 1.13) cho thấy tùy theo chiều thay đổi điện thế của sắt về phía dương hơn hay âm hơn điện thế cân bằng mà kim loại có thể rơi vào vùng thụ động hay miễn dịch. Nếu điện thế rơi vào vùng thụ động thì trên bề mặt kim loại sẽ hình thành màng oxit bảo vệ (màng thụ động).

Điểm khác nhau thứ hai giữa hai phương pháp là trong bảo vệ anốt thì tốc độ ăn mòn luôn bằng mật độ dòng thụ động, trong khi bảo vệ catốt có thể làm cho kim loại hoàn toàn không bị ăn mòn ($i_{\text{an}} \rightarrow 0$).

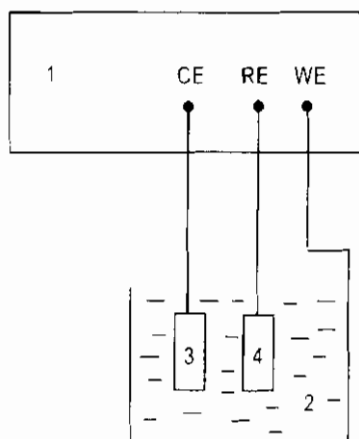
Trong bảo vệ anốt nếu dịch chuyển điện thế về phía quá dương thì có thể làm tăng dòng điện ăn mòn khi kim loại rơi vào vùng điện thế quá thụ động (vùng 4 hình 2.28). Còn trong bảo vệ catốt nếu điện thế được dịch chuyển đến điện thế âm hơn điện thế bảo vệ thì nói chung không ảnh hưởng đến tốc độ ăn mòn, nhưng tốn điện năng vô ích. Hơn thế nữa nếu điện thế quá âm sẽ có thể xảy ra sự giòn hydro (xem hình 3.32a, b, vùng nứt do hydro). Thực ra trong bảo vệ anốt cả bảo vệ quá và bảo vệ chưa đạt cũng đều có thể gây ăn mòn mạnh (xem vùng 4 và vùng 2 hình 2.28). Trong bảo vệ anốt thì thiết bị cần bảo vệ sẽ là anốt trong mạch điện hoá và catốt sẽ là thép mềm, thép không gỉ, grafit. Điện thế anốt được duy trì trong vùng thụ động bằng potentiostat và điện cực so sánh thích hợp (hình 5.11) [Ý nghĩa của các điện thế Flade E_p , điện thế bắt đầu thụ động E_{p1} , mật độ dòng tới hạn i_{th} , mật độ dòng thụ động i_{td} ... xin xem trong mục 2.5.2 (chương 2) và đồ thị hình 2.28].

Ở đây cần lưu ý rằng để kim loại trở nên bị thụ động thì:

a) Mật độ dòng catốt i_c tại E_p phải lớn hơn i_{th} ($|i_c|_{E_p} > i_{th}$).

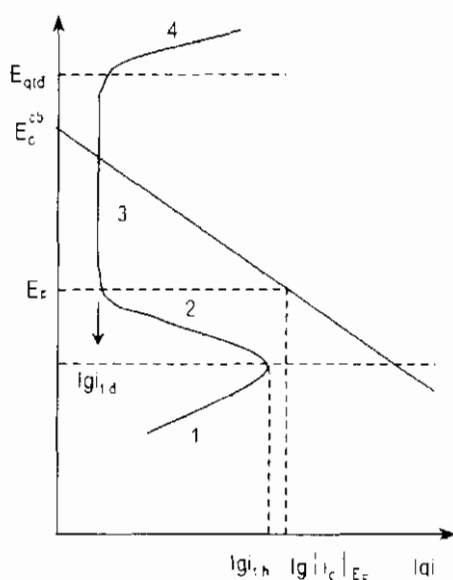
b) Phải giữ điện thế ở vùng thụ động, không được phép rơi lại vào vùng hoạt động (vùng 1, hình 2.28), chuyển tiếp (vùng 2, hình 2.28) và vùng quá thụ động (vùng 4, hình 2.28).

Cũng cần nói thêm rằng mặc dù cần có mật độ dòng điện cao để gây thụ động ($|i_c|_{E_p} > i_{th}$) nhưng chỉ cần một mật độ dòng điện rất nhỏ (bằng i_{td}) để giữ kim loại ở vùng thụ động.



Hình 5.11. Sơ đồ bảo vệ anốt:

- 1- potentiostat;
- 2- thiết bị cân bảo vệ nối với điện cực làm việc WE;
- 3- điện cực catốt nối với điện cực đối CE của potentiostat;
- 4- điện cực so sánh nối với RE



Hình 5.12. Sơ đồ đường cong phân cực khi bảo vệ anốt

Bảng 5.7 trình bày hợp kim và dung dịch trong bảo vệ anốt.

Bảng 5.7. Hợp kim và dung dịch trong bảo vệ anốt

Dung dịch	Kim loại được bảo vệ anốt
Axit sunfuric	Thép
Axit phosphoric	Thép không gỉ
Axit nitric	Niken
Dung dịch nitrat	Hợp kim niken
Dung dịch amoniac	Titan

5.2.3.1. Catôt trong bảo vệ anôt

Vì bề mặt anôt lớn và dung dịch có độ dẫn điện cao, nên điện trở của mạch chủ yếu do bề mặt catôt quyết định. Bề mặt catôt thường rất hạn chế, thường dùng catôt có quá thế hydro thấp. Bảng 5.8 liệt kê các catôt dùng trong bảo vệ anôt.

Bảng 5.8. Vật liệu catôt dùng trong bảo vệ anôt

Vật liệu catôt	Môi trường
Pt trên đồng thau	Nhiều môi trường khác nhau
Gang silic	Axit H_2SO_4 (89 ÷ 105%)
Đồng	Hydroxylamin sunfat
Thép không gỉ	Dung dịch nitrat
Thép mạ niken	Dung dịch mạ niken hoá học
Hastelloy C (Ni59Mo17Cr14Fe6W5)	Dung dịch nitrat, H_2SO_4

5.2.3.2. Điện cực so sánh

Tuỳ theo dung dịch xâm thực ta chọn các điện cực so sánh thích hợp.

Bảng 5.9 giới thiệu các điện cực so sánh thích hợp cho từng môi trường xâm thực.

Bảng 5.9. Điện cực so sánh dùng trong bảo vệ anôt

Điện cực	Dung dịch
Calomel	H_2SO_4
Bạc - bạc clorua	H_2SO_4 , dung dịch nitrat
Mo - MoO_2	Dung dịch Na_2CO_3
Bismut	Dung dịch NH_4OH
Hg - $HgSO_4$	Hydroxylamin sunfat
Pt - PtO	H_2SO_4

5.2.3.3. Mật độ dòng điện bảo vệ anôt

Ưu điểm quan trọng của bảo vệ anôt là dùng được trong các môi trường ăn mòn cực mạnh và mật độ dòng bảo vệ nhỏ (bảng 5.10).

Bảng 5.10. Mật độ dòng bảo vệ anốt

Chất lỏng và nồng độ	Nhiệt độ, °C	Kim loại	Mật độ dòng điện, mA/m ²	
			Để thụ động	Để duy trì thụ động
H ₂ SO ₄				
15%	24	304	4.196	721
30%	24	304	5.380	236,72
93%	24	Thép mềm	2.797,6	226
Oleum	24	Thép mềm	47.344	118,4
H ₃ PO ₄ 75%	24	Thép mềm	408.880	204.440

Ghi chú: Thép 304 là thép không gỉ Fe-Cr18Ni10 có thành phần sau: C = 0.08%; Mn = 2%; P = 0.045%; S = 0.03%; Si = 1%; Cr = 18 ÷ 20%; Ni = 8 ÷ 10.5%.

5.3. LỚP PHỦ KIM LOẠI

5.3.1. Lớp mạ điện

5.3.1.1. Khái quát

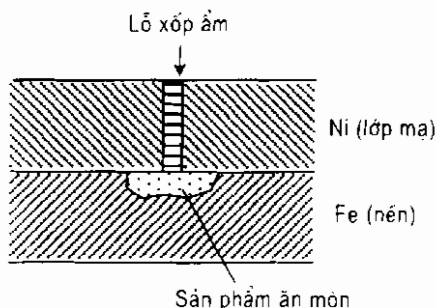
Ta chia lớp mạ điện thành hai loại:

a) Lớp mạ catốt có điện thế dương hơn kim loại cần bảo vệ. Ví dụ các lớp mạ Cu, Ni, Ag, Au... lên nền thép (Fe).

Yêu cầu đối với lớp mạ catốt là phải đặc sít, không có lỗ xốp. Nếu có lỗ xốp thì khi có nước ngưng tụ, kim loại nền có điện thế âm hơn sẽ là anốt và bị ăn mòn.

Trên hình 5.13 lớp mạ Ni có điện thế điện cực tiêu chuẩn $E_{Ni^{2+}/Ni}^{\circ} = -0,25$ V, còn nền sắt thì $E_{Fe^{2+}/Fe}^{\circ} = -0,44$ V, sắt sẽ bị ăn mòn nếu lớp mạ không kín.

b) Lớp mạ anốt có điện thế âm hơn kim loại nền. Ví dụ lớp mạ kẽm trên nền thép (hình 5.14). $E_{Zn^{2+}/Zn}^{\circ} = -0,76$ V và $E_{Fe^{2+}/Fe}^{\circ} = -0,44$ V, lớp mạ kẽm có điện



Hình 5.13. Lớp mạ niken trên nền thép

thể âm hơn nên bị ăn mòn.

Như vậy lớp mạ bị hoà tan còn kim loại nền được bảo vệ tương tự như bảo vệ catốt bằng anot hy sinh.

Mạ điện được tiến hành trong các bể mạ với dòng điện một chiều.

Vật cần mạ là catốt được nối với cực âm của nguồn điện một chiều.

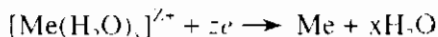
Anốt là kim loại dùng để mạ được nối với cực dương.

Ví dụ, mạ Ni lên một vành xe đạp bằng thép thì vành xe đạp được treo ở cực âm, còn anot là kim loại Ni.

Dung dịch chất điện giải (dung dịch mạ) gồm có các ion của kim loại cần mạ và một số phụ gia (hình 5.15).

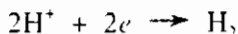
Quá trình điện cực xảy ra như sau:

Ở catốt xảy ra phản ứng khử của ion kim loại cần mạ:



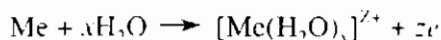
Me - kim loại tạo nên lớp mạ.

Đồng thời với quá trình khử của ion kim loại, còn có quá trình phụ khử ion H^+ :

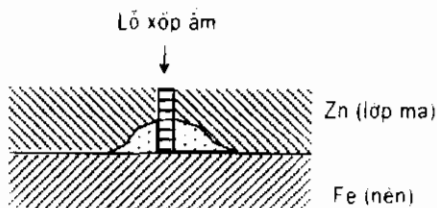


Vì thế hiệu suất dòng điện trong quá trình mạ thường nhỏ hơn 100%.

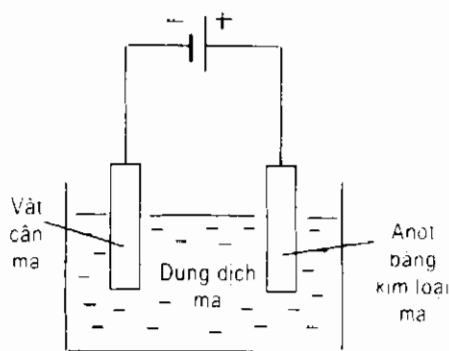
Ở anot xảy ra quá trình hoà tan điện hoá (oxi hoá) kim loại cần mạ dùng làm anot:



Me - kim loại cần mạ.



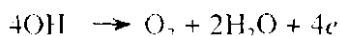
Hình 5.14. Lớp mạ kẽm trên nền thép



Hình 5.15. Sơ đồ bể mạ

Phản ứng hoà tan điện hoá ở anốt có nhiệm vụ bù đắp lượng ion $[Me(H_2O)_n]^{+}$ đã bị khử tạo thành lớp mạ ở catốt giữ cho thành phần dung dịch mạ không đổi.

Quá trình phụ ở anốt:



Nhiều khi anốt bị thụ động không hoà tan được nên ta thường cho thêm vào dung dịch chất hoạt hoá (chất chống thụ động) để anốt hoà tan bình thường.

Có trường hợp ta dùng anốt không hoà tan, vì thế phải thường xuyên bổ sung, điều chỉnh dung dịch mạ để có thành phần cần thiết.

Quá trình kết tủa điện (mạ điện) kim loại gồm nhiều giai đoạn, trong đó quan trọng nhất là:

- Các ion phóng điện khuếch tán từ dung dịch đến điện cực.
- Các ion hydrat hoá $[Me(H_2O)_n]^{+}$ phóng điện bao gồm các giai đoạn khử vỏ hydrat của ion một phần hay toàn bộ và các phần tử hình thành sau phóng điện hấp phụ lên điện cực catốt.
- Di chuyển các phần tử hình thành sau phóng điện (nguyên tử kim loại) đến nơi kết tinh và các nguyên tử kim loại đi vào mạng lưới tinh thể tạo thành và phát triển các mầm tinh thể.

Quan điểm hiện đại cho rằng quá trình điện kết tinh xảy ra không phải đồng thời tại toàn bộ bề mặt điện cực mà chỉ ở những vị trí hoạt động. Đó là các đỉnh, góc, cạnh của tinh thể, nơi khuyết tật của bề mặt catốt.

Cấu trúc của lớp mạ phụ thuộc vào tỷ lệ tốc độ tạo thành mầm tinh thể và sự lớn lên của nó. Tốc độ tạo mầm càng lớn thì cấu trúc lớp mạ càng nhỏ mịn. Sự tạo thành mầm tinh thể tốn nhiều năng lượng hơn để phát triển mầm. Do đó tăng phân cực catốt tạo điều kiện hình thành lớp mạ nhỏ mịn, có tính bảo vệ khỏi ăn mòn tốt.

Thành phần dung dịch, bản chất kim loại kết tủa và chế độ mạ quyết định cấu trúc, tính chất cơ lý và bảo vệ chống ăn mòn của lớp mạ.

Dung dịch điện giải để mạ chia làm hai loại: dung dịch ion phức và đơn. Sự phóng điện của ion phức cần quá thế lớn hơn ion đơn. Do đó lớp mạ thu được từ dung dịch phức có cấu trúc nhỏ mịn và có chiều dày đều hơn từ dung dịch muối

đơn (cho ion đơn). Tuy nhiên dung dịch phức có hiệu suất dòng điện thấp, mật độ dòng điện làm việc nhỏ hơn dung dịch muối đơn.

Ta thường cho các *chất hoạt động bề mặt* vào dung dịch mạ để tăng phân cực catốt, cho phép thu được lớp mạ nhỏ, mịn, đặc sít. Các chất hoạt động bề mặt cũng dùng để làm chất tạo bóng, san bằng bề mặt không cần phải đánh bóng cơ khí sau khi mạ.

Nhiệt độ dung dịch mạ cũng đóng vai trò quan trọng. Tăng nhiệt độ thì dòng giới hạn tăng nên giới hạn trên của mật độ dòng điện, độ hoà tan của muối, độ dẫn điện dung dịch đều tăng. Đối với đa số kim loại thì hiệu suất dòng điện cũng tăng khi tăng nhiệt độ.

Chiều dày lớp mạ tính theo công thức:

$$l = \frac{K_a \cdot i_c \cdot \eta \cdot \tau}{\rho \cdot 1000} \quad (5.30)$$

trong đó K_a - đương lượng điện hoá, g/A.h;

η - hiệu suất dòng điện (hiệu suất kim loại theo dòng), %;

i_c - mật độ dòng catốt, A/dm²;

ρ - tỷ trọng kim loại mạ, g/cm³;

τ - thời gian mạ, h.

Phân bố dòng điện trên bề mặt vật mạ thường không đều. Do đó chiều dày lớp mạ cũng không đều nhất là trên các vật mạ có hình thù phức tạp.

Tăng độ dẫn điện của dung dịch mạ, tăng độ phân cực (khi tăng mật độ dòng), giảm hiệu suất dòng điện (khi tăng mật độ dòng điện), tăng khoảng cách giữa anốt và catốt (vật mạ) làm cho chiều dày lớp mạ đều hơn.

Khả năng cho lớp mạ dày đều trên vật mạ có hình thù phức tạp gọi là *khả năng phân bố*. Các dung dịch phức có khả năng phân bố lớn nhất.

5.3.1.2. Chuẩn bị bề mặt trước khi mạ

Muốn có lớp mạ gắn chắc với kim loại nền, đẹp phải chuẩn bị bề mặt cần mạ rất cẩn thận. Trước khi mạ nền phải được tẩy sạch gỉ và dầu mỡ.

a) Gia công cơ khí

Nhiệm vụ của gia công cơ khí là loại bỏ những chỗ lỗi lổm, vết xước để có được bề mặt bóng nhẵn. Gia công cơ khí bao gồm mài và đánh bóng.

b) Gia công hoá học và điện hoá học

Bao gồm tẩy dầu mỡ, tẩy gỉ, tẩy nhẹ, đánh bóng điện hoá.

• *Tẩy dầu mỡ hoá học* thường tiến hành trong dung dịch kiềm hoặc dung môi hữu cơ.

Trong dung dịch kiềm dầu mỡ động và thực vật bị xà phòng hoá và hoà tan trong nước. Dầu mỡ khoáng vật không bị xà phòng hoá. Vì vậy ngoài kiềm trinitrat photphat và Na_2CO_3 , ta còn phải cho thêm chất tạo nhũ tương và thấm ướt như sintanol và thủy tinh lỏng. Ví dụ, để tẩy dầu mỡ các chi tiết bằng thép bị nhiễm bẩn dầu mỡ bảo quản ta dùng dung dịch sau (g/l): NaOH 5 ÷ 35, Na_3PO_4 15 ÷ 35, Na_2CO_3 15 ÷ 35, sintanol DS10 từ 3 ÷ 5, nhiệt độ 60 ÷ 80°C, thời gian 3 ÷ 20 phút.

Tẩy dầu mỡ trong dung môi hữu cơ như dầu hoá, xăng, tricloetylen, cacbon tetraclorea CCl_4 có thể hoà tan cả dầu mỡ xà phòng hoá và không xà phòng hoá.

• *Tẩy dầu mỡ điện hoá* được thực hiện ở catốt hoặc anốt trong dung dịch kiềm có thành phần tương tự tẩy dầu mỡ hoá học nhưng loãng hơn:

NaOH 10 ÷ 20 g/l, Na_3PO_4 hay Na_2CO_3 25 ÷ 50 g/l, Na_2SiO_3 3 ÷ 5 g/l.

Nhiệt độ 70 ÷ 80°C. Mật độ dòng anốt D_a , catốt D_k 3 ÷ 10 A/dm².

Thời gian catốt $\tau_{\text{catốt}}$ 2 ÷ 3 phút, $\tau_{\text{anốt}}$ 0,5 ÷ 1 phút.

Cơ chế của tẩy dầu mỡ điện hoá là giảm sức căng bề mặt và tăng độ thấm ướt kim loại bằng dung dịch do có sự phân cực điện cực. Bọt khí thoát ra bám vào các giọt dầu, bật nó ra khỏi bề mặt kim loại và nổi lên trên.

Khuyết điểm của phương pháp tẩy dầu mỡ ở catốt là làm cho chi tiết kim loại bị thấm hydro trở nên giòn, vì thế sau tẩy dầu mỡ catốt thường tẩy dầu mỡ anốt trong thời gian ngắn hơn. Tuy nhiên đối với đồng, hợp kim của đồng và kẽm, hợp kim kẽm thì không nên dùng nhiều NaOH vì quá xâm thực gây ăn mòn và không tẩy anốt.

• *Tẩy gỉ*: Bề mặt kim loại đen như sắt thường có một lớp oxyt dày như FeO , Fe_2O_3 , Fe_3O_4 .

Thường tẩy gỉ sắt cho sắt thép bằng H_2SO_4 5 ÷ 7% (80 ÷ 120 g/l) hoặc HCl loãng 150 ÷ 200 g/l ở 40°C hay hỗn hợp của hai axit trên.

Để chống ăn mòn nền thép và thấm hydro ta thường cho thêm chất ức chế ăn mòn vào trong dung dịch tẩy gỉ.

Tẩy gỉ Al và hợp kim của nó trong dung dịch HCl 5 ÷ 10% hoặc NaOH 10 ÷ 15% có thêm 30 g/l NaCl.

Tẩy gỉ cho Zn, Cd bằng H_2SO_4 hoặc HCl (50 ÷ 200 g/l).

- *Tẩy nhẹ* có nhiệm vụ lấy đi lớp oxyt mỏng hình thành sau khi gia công cơ học và hoạt hoá bề mặt.

Tẩy nhẹ tiến hành trong dung dịch H_2SO_4 hay HCl 3 ÷ 10%. Đồng và hợp kim của đồng được tẩy nhẹ trong dung dịch H_2SO_4 5 ÷ 10%, nhưng phải thực hiện trong bể riêng để tránh kết tủa đẩy đồng lên kim loại có điện thế âm hơn.

- *Rửa nước nóng và lạnh* để loại trừ hết các dung dịch.

- *Bảo quản tạm thời* các chi tiết đã làm vệ sinh bề mặt trong dung dịch Na_2CO_3 3 ÷ 5% và một ít NH_4OH . Tuy nhiên trước khi mạ phải rửa nước lạnh rồi tẩy nhẹ và rửa lại bằng nước.

Ở đây ta cần lưu ý rằng không nhất thiết phải thực hiện toàn bộ các khâu kể trên. Sau mỗi khâu (từ tẩy dầu mỡ trở đi) đều phải rửa chi tiết cần mạ bằng nước sạch để tránh nhiễm bẩn các dung dịch tiếp theo.

5.3.1.3. Mạ điện

Để bảo vệ kim loại ta dùng các lớp mạ như Zn, Cd, Ni, Cr, Sn...

Để bảo vệ kim loại đen thì tốt nhất và rẻ nhất là lớp mạ anốt Zn.

a) Mạ kẽm (Zn)

Dung dịch muối đơn để mạ kẽm có thành phần và chế độ mạ như sau (g/l): $ZnSO_4 \cdot 7H_2O$ 200 ÷ 250; $Na_2SO_4 \cdot 10H_2O$ 50 ÷ 100; $Al_2(SO_4)_3 \cdot 18H_2O$ 20 ÷ 30; dextrin 10; pH = 3,5 ÷ 4,5, mật độ dòng điện catốt $D_c = 1 ÷ 4 A/dm^2$; anốt kẽm.

Dung dịch này để mạ các chi tiết có hình thù đơn giản. Các chi tiết có hình thù phức tạp phải mạ trong dung dịch muối phức.

Dung dịch phức xianua có thành phần và chế độ như sau (g/l): ZnO 10 ÷ 18; NaCN 20 ÷ 30; NaOH 50 ÷ 70; Na_2S 0,5 ÷ 5. Mật độ dòng điện catốt $D_c = 0,5 ÷ 1 A/dm^2$; nhiệt độ thường.

Dung dịch phức xianua rất độc nên thường được thay bằng dung dịch phức amiacat có thành phần (g/l) và chế độ như sau: ZnO $12 \div 15$ g/l; NH_4Cl $240 \div 260$; H_3BO_3 $20 \div 25$; gelatin $1 \div 2$. Nhiệt độ thường, $D_c = 0,8 \div 1 \text{ A/dm}^2$; pH = 7.

Sau khi mạ xong thường tiến hành thụ động lớp mạ kẽm trong dung dịch: H_2SO_4 $8 \div 12$ g/l, $\text{Na}_2\text{Cr}_2\text{O}_7$ $150 \div 200$ g/l; $t = 15 \div 30^\circ\text{C}$, thời gian τ $0,1 \div 0,3$ phút. Lớp mạ kẽm sau khi thụ động có màu ngũ sắc.

Nếu muốn có lớp mạ có màu trắng như bạc thì tiếp tục nhúng trong dung dịch NaOH 80 g/l, Na_2CO_3 40 g/l, thời gian $5 \div 10$ s; $t = 15 \div 30^\circ\text{C}$ hoặc dung dịch CrO_3 150 g/l, $t = 15 \div 30^\circ\text{C}$, thời gian $10 \div 15$ s.

b) Mạ đồng

Mạ đồng sunfat có thành phần (g/l) và chế độ mạ như sau: $\text{CuSO}_4 \cdot 5\text{H}_2\text{O}$ $200 \div 300$; H_2SO_4 $50 \div 70$, nhiệt độ $20 \div 30^\circ\text{C}$; $D_c = 100 \div 200 \text{ A/m}^2$.

Không thể mạ đồng sunfat trực tiếp lên sắt được vì đồng bị đẩy.



Cu bám không chắc trên nền thép, có thể chùi đi được.

Vì vậy ta phải dùng dung dịch phức xianua. Có nhiều dung dịch phức xianua, ở đây ta chỉ nêu một dung dịch có thành phần (g/l) và chế độ như sau:

Tỷ lệ $\text{CuCN}/\text{NaCN} = 1/2$, ứng với phức $\text{Na}_2[\text{Cu}(\text{CN})_4]$, CuCN $20 - 30$, NaCN từ $5 - 10$, NaOH $5 - 10$, $t' = 15 - 55^\circ\text{C}$, $D_c = 0,2 - 2 \text{ A/dm}^2$.

c) Mạ niken (mạ nền)

Niken là lớp mạ catốt so với sắt, nó chỉ có tác dụng bảo vệ khi không có lớp xốp. Cho nên phải mạ dày ($25 \div 35 \mu\text{m}$) hay phải có lót đồng (dày $25 \div 30 \mu\text{m}$), sau đó mạ một lớp Ni dày $10 \div 15 \mu\text{m}$.

Thành phần và chế độ mạ niken bóng trực tiếp như sau:

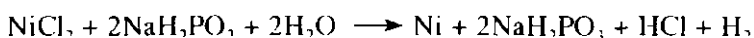
$\text{NiSO}_4 \cdot 7\text{H}_2\text{O}$ $260 \div 300$; H_3BO_3 $30 \div 35$; $\text{NiCl}_2 \cdot 6\text{H}_2\text{O}$ $40 \div 60$ g/l. Phụ gia làm bóng và san bằng bề mặt 1,4-butyndiol $0,12 \div 0,16$ g/l, saccharin $0,7 \div 1,3$ g/l, ftalimid $0,08 \div 0,1$ g/l, $D_c = 1 \div 2 \text{ A/dm}^2$, $t' = 45 \div 50^\circ\text{C}$. Anốt Ni.

Cũng có thể mạ Ni mờ trong dung dịch (g/l) sau:

$\text{NiSO}_4 \cdot 7\text{H}_2\text{O}$ $150 \div 400$ g/l tối ưu 310 g/l; $\text{NiCl}_2 \cdot 6\text{H}_2\text{O}$ $60 \div 80$ tối ưu 25 hoặc NaCl $10 \div 40$ tối ưu 40 ; H_3BO_3 35 , pH = $3 \div 5$; $t' = 40 \div 70^\circ\text{C}$; $D_c = 3 \div 10 \text{ A/dm}^2$.

Khuấy trộn lọc liên tục. Nếu hiệu suất dòng điện 100% thì với mật độ $D_c = 1 \text{ A/dm}^2$ sẽ thu được lớp mạ Ni dày 10 μm trong 52 phút.

Ta cũng có thể mạ Ni bằng phương pháp hoá học theo phản ứng:



Lớp mạ Ni hoá học rất cứng vì chứa P (3 ÷ 15%) hoặc B có độ bền với ăn mòn cao. Mạ Ni hoá học có thể kết tủa lên các vật liệu phi kim như thủy tinh, gốm, chất dẻo.

d) Mạ Cr

Dung dịch mạ Cr vạn năng có thành phần (g/l) và chế độ mạ như sau: CrO_3 250; H_2SO_4 2,5; $D_c = 30 \div 80 \text{ A/dm}^2$; $t^n = 40 \div 70^\circ\text{C}$. Anốt là chì. Tùy thuộc mật độ dòng điện và nhiệt độ, lớp mạ có thể bóng, mờ với các tính chất cơ học khác nhau.

Vì có tính thụ động cao nên Cr rất bền hoá và là lớp mạ catốt so với nền thép. Tuy nhiên lớp mạ Cr rất xốp và có khuynh hướng bị nứt nên thường phải kết hợp với các lớp mạ khác, ví dụ mạ ba lớp đồng - niken - crom.

Thường trong mạ ba lớp, chiều dày của lớp mạ Cr rất mỏng (khoảng dưới 0,5 μm trong môi trường xâm thực vừa).

5.3.2. Lớp phủ nhiệt khuếch tán

Đó là những lớp phủ tạo thành do khuếch tán từ pha rắn hay khí của nhôm (lớp phủ nhiệt nhôm), Cr (lớp phủ nhiệt Cr), Si (lớp phủ nhiệt silic) vào kim loại chính (thép).

Quá trình tiến hành ở nhiệt độ cao trong chân không, môi trường trung tính hay khử, trong khí clo. Chi tiết cần phủ lớp phủ nhiệt khuếch tán được đặt trong bột kim loại dùng để phủ (Al, Cr, Si) hoặc bột hợp chất của chúng.

Các hợp chất đó sẽ bị phân huỷ ở nhiệt độ thấp hơn nhiệt độ khuếch tán hoặc nóng chảy.

Ở nhiệt độ cao gần nhiệt độ nóng chảy, các ion kim loại có mức năng lượng đủ để thực hiện sự trao đổi với nhau.

5.3.2.1. Lớp phủ nhiệt nhôm

Chi tiết được làm sạch gỉ, bắn đặt trong hộp kín đổ đầy hỗn hợp bột Al

(50%), Al_2O_3 (45 ÷ 48%), NH_4Cl (2 ÷ 5%). Nung nóng 3 ÷ 4 h ở nhiệt độ $950 \div 1000^\circ\text{C}$.

Nhôm oxyt dùng để ngăn cản bột kim loại chảy lỏng liên kết với nhau (vón cục). NH_4Cl sẽ phân huỷ tạo thành NH_3 và HCl đuổi không khí ra ngoài.

Sắt được nhiệt nhôm hoá bên trong hơi lưu huỳnh và khí H_2S , bên với tác dụng của oxy ở nhiệt độ cao.

5.3.2.2. Lớp phủ nhiệt Cr

Việc phủ nhiệt Cr tiến hành ở nhiệt độ $1000 \div 1150^\circ\text{C}$ trong hỗn hợp bột Cr, cao lanh (để tránh vón cục) và NH_4Cl . Lớp phủ nhiệt Cr là dung dịch rắn Fe-Cr chịu nhiệt, rất cứng.

5.3.2.3. Lớp phủ nhiệt silic

Thực hiện trong hỗn hợp Si hoặc ferosilic nghiền thành bột và bột NH_4Cl ở nhiệt độ $1000 \div 1200^\circ\text{C}$.

Lớp phủ nhiệt Si bảo vệ tốt thép cacbon ở nhiệt độ cao khỏi ăn mòn khí.

5.3.3. Phủ nhúng nóng

Lớp phủ nhúng nóng tạo thành khi nhúng kim loại cần bảo vệ vào kim loại phủ nóng chảy. Ví dụ phủ nhúng nóng Zn (419°C), thiếc (232°C), chì (327°C). Hay dùng nhất là phủ nhúng nóng Zn. Có ba phương pháp phủ nhúng nóng.

a) Phương pháp khô

Vật cần phủ được gia công liên tiếp trong các dung dịch NH_4Cl và ZnCl_2 để hoà tan oxyt, sau đó sấy khô rồi nhúng vào kim loại nóng chảy (kẽm).

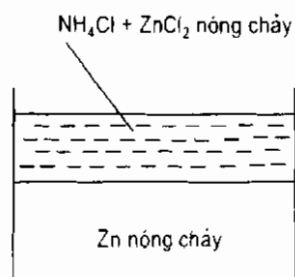
b) Phương pháp ướt

Vật cần phủ đi qua hỗn hợp $\text{NH}_4\text{Cl} + \text{ZnCl}_2$ nóng chảy trên bề mặt kim loại nóng chảy (hình 5.16).

c) Phương pháp Sendzimir

Có hai phương pháp làm sạch:

- Nung kim loại trong bầu khí oxy hoá để đốt các chất hữu cơ.



Hình 5.16. Sơ đồ nhúng kẽm

- Nung trong bầu khí khử của NH_3 bị phân huỷ ($\text{N}_2 + \text{H}_2$) để khử các oxyt.
Sau một trong hai quá trình trên kim loại được nhúng vào kẽm nóng chảy.

5.3.4. Lớp phủ cán ép

Là phương pháp có nhiệt để chế tạo lớp phủ kim loại.

Lớp phủ tạo thành do cán nóng hai kim loại, một kim loại là lớp phủ, kim loại kia là nền. Chiều dày lớp phủ thường bằng $10 \div 20\%$ kim loại nền. Tính bảo vệ của lớp phủ không khác gì với kim loại dùng để phủ khi lớp phủ không có khuyết tật.

5.3.5. Phun kim loại

Dùng luồng khí nén phun kim loại nóng chảy lên bề mặt chi tiết cần bảo vệ. Các phần tử kim loại chuyển động với tốc độ lớn đập vào bề mặt nền, gắn kết với nó tạo thành lớp phủ kim loại. Phương pháp này thích hợp cho phủ các vật liệu phi kim. Thường trên thép phủ lớp mạ anốt Zn hoặc Al. Nhược điểm của phương pháp phun là độ xốp cao và gắn bám không tốt.

5.4. LỚP PHỦ PHI KIM

5.4.1. Lớp phủ oxyt và phosphat (lớp phủ vô cơ)

Phần lớn kim loại đều bị oxy hoá trong không khí và tạo thành các lớp oxyt bề mặt. Tuy nhiên các lớp oxyt đó rất mỏng không đủ sức bảo vệ kim loại khỏi bị ăn mòn, trong khi đó các màng oxyt tạo ra bằng phương pháp điện hoá thì lại rất bền với ăn mòn so với kim loại nền.

Sau đây là một số màng chính.

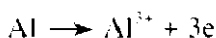
5.4.1.1. Oxy hoá anốt nhôm

Phản ứng tổng quát của quá trình oxy hoá nhôm:

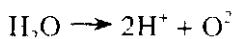


Cơ chế của quá trình như sau:

Ion Al^{3+} tạo thành khi hoà tan anốt:



Ion O^{2-} tạo thành do:



Các ion Al^{3+} và O^{2-} khuếch tán ngược chiều (hình 5.17), tác dụng với nhau thành Al_2O_3 . Màng oxyt Al_2O_3 ở phía tiếp xúc với chất điện giải bị hoà tan một phần nên xấp tạo điều kiện cho chất điện giải xâm nhập sâu vào trong.

Như vậy trên anốt xảy ra hai quá trình:

- Tạo thành màng nhôm oxyt đặc
- sít - lớp barie phía trong.

- Hoà tan màng trong chất điện giải - lớp màng xấp phía ngoài.

Quá trình oxy hoá nhôm thường tiến hành trong dung dịch H_2SO_4 20% ở mật độ dòng anốt $D_a = 1 \div 2 \text{ A/dm}^2$, $t'' = 20^\circ\text{C}$.

Để tăng khả năng bảo vệ của màng nhôm oxyt, sau khi oxy hoá ta rửa sạch màng và xử lý bằng hơi nước hoặc nước nóng, sau đó tiếp tục nhúng vào dung dịch cromat, bicromat để tạo thành hợp chất $(\text{AlO})_2\text{CrO}_4$ bền hơn.

Màng nhôm oxyt cũng có thể tạo thành bằng phương pháp oxy hoá hoá học Al và hợp kim của nó trong dung dịch (g/l): Na_2CO_3 50; NaOH 2.5; Na_2CrO_4 15; $t'' = 90 \div 95^\circ\text{C}$, thời gian 5 ÷ 10 phút. Phương pháp này đơn giản nhưng màng mỏng (3 ÷ 4 μm), độ bền cơ và hằng số điện môi không cao.

5.4.1.2. Oxy hoá nhuộm màu kim loại

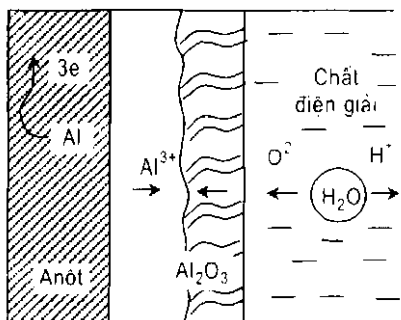
Phương pháp này chủ yếu tạo nên lớp oxyt trên kim loại đen.

a) Oxy hoá hoá học thép

Thực hiện bằng cách đun sôi chi tiết bằng thép ở $135 \div 145^\circ\text{C}$ trong dung dịch (g/l) NaOH 600 ÷ 700; NaNO_2 200 ÷ 250; NaNO_3 50 ÷ 100, thời gian 30 ÷ 90 phút. Lớp oxyt có thành phần chủ yếu là Fe_3O_4 , dày 0.6 ÷ 3 μm . Sau khi oxy hoá nhúng vào dung dịch nước xà phòng 2 ÷ 3% trong vòng 2 ÷ 3 phút, sau đó nhúng trong dầu biến thế 5 ÷ 10 phút ở nhiệt độ $105 \div 120^\circ\text{C}$.

b) Oxy hoá nhiệt

Các chi tiết bằng thép được nung đến nhiệt độ $450 \div 470^\circ\text{C}$ sau đó nhúng



Hình 5.17. Sơ đồ tạo màng oxyt nhôm

vào dầu lạnh hoặc nhúng vào hỗn hợp muối nóng chảy ở 300°C gồm NaNO_2 55%, NaNO_3 45%.

Khi nhúng vào dầu lạnh thì được lớp oxyt màu đen, còn trong hỗn hợp muối được màu xanh da trời.

c) Oxy hoá điện hoá thép

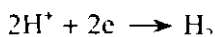
Tiến hành trong dung dịch NaOH 40% ở $t' = 80 \div 120^\circ\text{C}$ và mật độ dòng anôt $D_a = 3 \div 10 \text{ A/dm}^2$. Nhuộm màu oxy hoá kim loại đen chủ yếu có tính trang trí, tạo màu đen cho vũ khí và dụng cụ chính xác.

5.4.1.3. Phosphat hoá

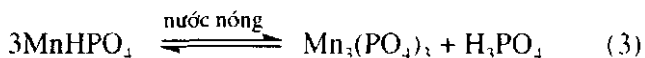
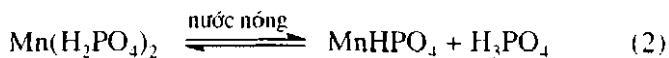
Nguyên tắc của phương pháp là nhúng các chi tiết bằng thép vào trong dung dịch muối phosphat của các kim loại như Mn , Fe , Zn , khi ấy một màng xốp muối phosphat khó tan tạo thành trên bề mặt chi tiết. Màng xốp này có tính năng bảo vệ thấp, nhưng là nền tốt để sơn phủ hoặc tẩm dầu. Đôi khi người ta còn xử lý chi tiết trong dung dịch $\text{Na}_2\text{Cr}_2\text{O}_7$ 7 ÷ 9% để thụ động các chỗ chưa bị phosphat hoá.

Thường tiến hành phosphat hoá các chi tiết bằng thép ở nhiệt độ $96 \div 98^\circ\text{C}$ trong dung dịch chứa 20 ÷ 35 g/l muối Mazép. Thành phần của muối này bao gồm phosphat của mangan và sắt - $\text{Mn}(\text{H}_2\text{PO}_4)_2$, MnHPO_4 , $\text{Fe}(\text{H}_2\text{PO}_4)_2$. Ta cũng dùng dung dịch $\text{Zn}(\text{H}_2\text{PO}_4)_2$. Thời gian phosphat hoá từ 0,5 ÷ 2 h.

Cơ chế của quá trình phosphat hoá như sau:



Mật khác có các phản ứng thủy phân:



Fe^{2+} tạo thành từ phản ứng (1) tác dụng với H_3PO_4 từ các phản ứng (2), (3) làm cho các phản ứng ấy dịch chuyển về phía phải. Các phosphat của mangan và sắt thế 2 và 3 kết tủa trên bề mặt chi tiết thép tạo thành màng.

5.4.2. Sơn và vecni

Sơn và vecni là những sản phẩm lỏng ta quét hoặc phun lên vật liệu kim loại (hoặc phi kim) để trang sức, bảo vệ hoặc đem lại các tính chất đặc biệt khác như cách điện, trừ nấm mốc...

Các lớp phủ đó gọi là màng sơn và thường gồm nhiều lớp như lớp ban đầu, lớp hoàn thiện, lớp tăng cường, lớp trung gian. Sự khác nhau căn bản giữa sơn và vecni là sơn có chứa sắc tố còn vecni thì không. Sắc tố là bột mịn không tan và có màu.

Vecni thường bám dính tốt, cứng, nhẵn, bóng, trong mờ.

Ưu điểm của các lớp sơn là dễ phủ, rẻ, dễ khôi phục chỗ bị hỏng, có thể kết hợp với các phương pháp bảo vệ khác (anốt hy sinh, phosphat hoá...).

Khuyết điểm của lớp sơn là không chịu được nhiệt độ cao quá 200°C, độ bền cơ kém, kém bền trong môi trường nước.

5.4.2.1. Thành phần của sơn

Sơn bao giờ cũng gồm hai pha: lỏng và rắn.

a) Pha lỏng

Pha lỏng gồm: dung môi, phụ gia và chất kết dính.

- **Dung môi** để hoà tan chất kết dính. Trong quá trình sấy khô dung môi bay đi. Những dung môi sôi ở trên 250°C không bị bay hơi gọi là chất hoá dẻo. Chúng làm cho màng sơn dẻo hơn.

- **Phụ gia** là những chất cho thêm một lượng nhỏ vào chất kết dính để cải thiện tính chất của nó. Đó là:

- *Chất tăng nhanh quá trình khô* (làm cho sơn mau khô) do tăng nhanh sự oxy hoá chất kết dính. Những chất thường dùng là các muối của các kim loại như Co, Pb, Mn, Zn, Zr.

- *Chất hoạt động bề mặt* để cải thiện sự thấm ướt của sơn với bề mặt kim loại.

- *Chất tạo nhũ tương* làm cho sơn ở dạng nhũ tương ổn định.

- *Chất phân tán* có nhiệm vụ đuổi nước khỏi bề mặt sắc tố (pigment), tăng cường sự bám dính của màng sơn ngay cả khi bề mặt kim loại ẩm ướt.

- Chất chống lắng.
- Chất trừ sâu, hà, hàu.

• Chất kết dính

♦ Chất kết dính đóng rắn do bị oxy hoá trong môi trường không khí bao quanh bao gồm:

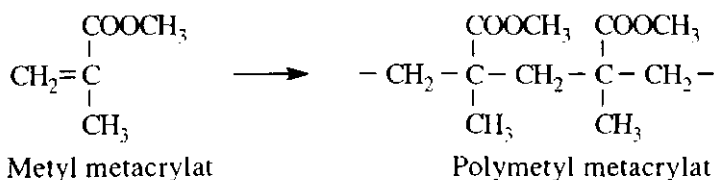
– Sơn dầu thường là các loại dầu thực vật như dầu lanh, dầu tùng, dầu đậu tương... chúng sẽ bị oxy hoá trong môi trường không khí bao quanh và tự đóng rắn.

– Nhựa alkyt là este của diacid với rượu đa chức, ví dụ, axit phthalic $\text{COOH}-\text{C}_6\text{H}_4-\text{COOH}$ và glycerin $\text{CH}_2\text{OH}-\text{CHOH}-\text{CH}_2\text{OH}$.

♦ Chất kết dính đóng rắn do bốc hơi dung môi bao gồm:

– Sơn acrylic

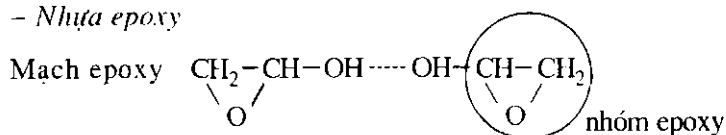
Axit acrylic ($\text{CH}_2=\text{CH}-\text{COOH}$) và metacrylic ($\text{CH}_2=\text{C}(\text{CH}_3)\text{COOH}$) và các este của chúng đều có thể polyme hóa thành nhựa nhiệt dẻo mạch dài polymetyl metacrylat.



– Caosu clo hoá điều chế bằng tác dụng của clo với caosu tự nhiên hoặc tổng hợp.

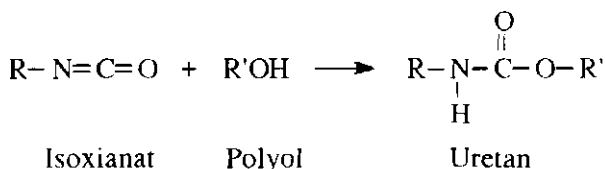
♦ Chất kết dính đóng rắn do polyme hoá gồm:

– Nhựa epoxy



đóng rắn do phản ứng với chất đóng rắn (ví dụ amin).

– Nhựa polyurê tan tạo thành do phản ứng của isocyanat lên nhóm OH của rượu hoặc nước:



Uretan lại bị polyme hoá và liên kết chéo thành polyuretan.

Ngoài ra còn một số nhựa khác như ure-formaldehyt, melamin formaldehyt, silicon...

b) Pha rắn gồm sắc tố (pigment) và chất độn

• **Sắc tố được đặc trưng** bởi màu sắc, độ hạt, tốc độ lắng, độ đục, sự hoà tan trong nước và chất hữu cơ.

Sắc tố có nhiều loại:

- Sắc tố chống ăn mòn gồm bột kẽm, bột chì, Pb_3O_4 , ZnCrO_4 .
- Sắc tố gia cố để có lớp phủ dày và giảm thấm nước gồm ZnO , TiO_2 , Fe_2O_3 , graphit.

• **Chất độn** thường dùng là SiO_2 , SbSO_4 , bột talc, amiăng, mica, CaCO_3 .

5.4.2.2. Chuẩn bị bề mặt trước khi sơn

Muốn lớp sơn bám chắc trên kim loại thì phải chuẩn bị tốt bề mặt của nó. Có thể nói rằng lớp sơn tốt phủ lên bề mặt chuẩn bị không tốt còn tồi hơn cả lớp sơn không tốt phủ lên bề mặt được chuẩn bị tốt.

Có nhiều cách chuẩn bị bề mặt trước khi sơn như dùng dung môi, chải, đánh giấy ráp, phun cát...

Ngoài ra trước khi sơn còn phosphat hoá hoặc cromat hoá để tạo lớp nền cho sơn bám tốt.

5.4.2.3. Độ bền của các lớp sơn với hoá chất, khí hậu, oxy hoá...

Bảng 5.11 cho phép đánh giá độ bền của các lớp sơn trong các môi trường khác nhau. Điểm 10 cho lớp sơn bảo vệ tốt nhất.

Bảng 5.11

Loại sơn	Axit	Kiểm	Muối	Dung môi	Nước	Thời tiết	Oxy hoá	Bào mòn
Sơn trên cơ sở dầu alkyl	1 6	1 6	6 8	2 4	7 10	10 10	1 3	4 6
Caosu clo hoá	10	10	10	4	8	8	6	6
Epoxy xúc tác	9	10	10	9	8	8	6	6
Silicon alumin	4	3	6	2	9	9	4	4
Vinyl	10	10	10	5	10	10	10	7
Uretan	9	10	10	9	8	8	9	10
Kẽm (vô cơ)	1	1	5	10	9	10	10	10

5.4.2.4. Chọn sơn

Bảng 5.12 cho biết cách chọn các loại sơn tùy theo môi trường và điều kiện làm việc.

Bảng 5.12. Lời khuyên chọn sơn

Điều kiện	Lời khuyên
Nội thất khô, thép nằm trong bê tông hoặc vữa	Không cần sơn
Ngoại thất khô	Sơn trên cơ sở dầu
Thường bị ướt do nước mưa và sương...	Sơn trên cơ sở vinyl, caosu clo hoá
Thường bị ướt do nước mặn	Sơn trên cơ sở vinyl, epoxy, sơn giàu kẽm
Trong môi trường hoá chất nhẹ <ul style="list-style-type: none"> - Axit $\text{pH} \leq 5$ - Trung tính - Dung môi hữu cơ nhẹ 	Sơn trên cơ sở vinyl Sơn giàu kẽm Sơn epoxy
Trong môi trường hoá chất khắc nghiệt	Không dùng

Chương 6

TÍNH CHẤT ĂN MÒN CỦA VẬT LIỆU KIM LOẠI VÀ HỢP KIM

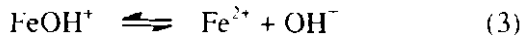
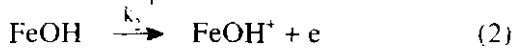
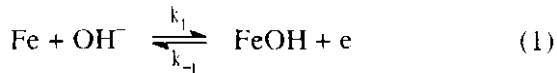
6.1. SẮT, THÉP VÀ GANG

6.1.1. Sắt

Sắt ít bền với ăn mòn vì các nguyên nhân sau:

- Điện thế điện cực tiêu chuẩn của sắt $E_{\text{Fe}^{2+}/\text{Fe}}^{\circ} = -0,44 \text{ V}$ không bền về phương diện nhiệt động.
- Quá thế của hydro trên sắt $\eta_{\text{H}_2}^{\text{Fe}}$ thấp nên trong môi trường axit sắt bị ăn mòn khá nhanh.

Trong môi trường axit, Bockris đề nghị cơ chế sau:



Giai đoạn (2) là chậm nên giai đoạn (1) ở trạng thái cân bằng:

$$v_1 = k_1 [\text{OH}^-] e^{\alpha n \text{FE}/RT} = v_{-1} = k_{-1} [\text{FeOH}] e^{-(1-\alpha) n \text{FE}/RT}$$

$$\text{Rút ra: } [\text{FeOH}] = \frac{k_1}{k_{-1}} [\text{OH}^-] \frac{e^{\alpha n \text{FE}/RT}}{e^{-(1-\alpha) n \text{FE}/RT}} = K [\text{OH}^-] e^{n \text{FE}/RT}$$

$K = \frac{k_1}{k_{-1}}$. Vậy mật độ dòng anốt i_a sẽ là:

$$\begin{aligned} i_a &= k_2 [\text{FeOH}] e^{\alpha n \text{FE}/RT} = \\ &= k_2 K [\text{OH}^-] e^{(1+\alpha) n \text{FE}/RT} = \\ &= k' [\text{OH}^-] e^{(1+\alpha) n \text{FE}/RT} \end{aligned} \quad (6.1)$$

6.1.2. Thép cacbon và thép hợp kim thấp

Thép cacbon là hợp kim của sắt có từ 0,05 đến 1% cacbon. Thép hợp kim thấp có các nguyên tố hợp kim khác thường ở mức dưới 2% để cải thiện tính

chất cơ học là chủ yếu. Thép cacbon và hợp kim thấp thường rẻ, độ bền và độ cứng của nó có thể thay đổi trong phạm vi rộng tùy theo hàm lượng cacbon, các nguyên tố hợp kim và xử lý nhiệt.

Thép cacbon và thép hợp kim thấp có độ bền với ăn mòn thấp thường cần có các lớp phủ bảo vệ (sơn, mạ), bảo vệ điện hoá. Thép cacbon bị thụ động trong môi trường kiềm nên có thể dùng làm cốt thép trong bê tông trừ trường hợp tiếp xúc với muối (ví dụ, nước biển, muối để tan băng trên cầu đường...), các bể chứa kiềm tới nồng độ dưới 30%.

Tuy nhiên thép cacbon thấp cũng có thể làm thùng chứa axit H_2SO_4 có nồng độ lớn hơn 65% ở nhiệt độ thường, tốc độ chảy thấp hơn 0,9 m/s. Còn axit H_2SO_4 có nồng độ thấp hơn 65% có thể đựng trong thùng chứa thép cacbon được bảo vệ anốt.

Thép hợp kim thấp có hành vi giống như thép cacbon trong nước trung tính có oxy hoà tan và các dung dịch trong đó quá trình ăn mòn bị khống chế bởi oxy hoà tan. Tuy nhiên các phụ gia như Cu, Ni, Si và Cr cải thiện đáng kể độ bền với ăn mòn khí quyển của thép thời tiết hợp kim thấp độ bền cơ cao. Các nguyên tố hợp kim kể trên dễ dàng tạo thành màng bề mặt màu tối bám chắc có tính bảo vệ trong quá trình khô ướt xen kẽ, vì vậy không cần phải sơn thép thời tiết.

6.1.3. Gang

Hàm lượng cacbon trong gang lớn hơn 2%.

Trong gang trắng hầu hết cacbon nằm ở dạng Fe_3C . Gang trắng rất cứng và giòn. Trong quá trình bị ăn mòn, Fe_3C rơi vào dung dịch để lại các lỗ chứa graphite, ta gọi là hiện tượng ăn mòn graphite hoá.

Gang xám chứa khoảng 2 ÷ 4% C và 1 ÷ 3% Si.

Độ bền với ăn mòn của gang xám trong nước tốt hơn của thép mềm. Thêm 3% Ni cải thiện độ bền với ăn mòn đôi chút, độ bền cơ tăng.

6.2. THÉP KHÔNG GI

Thép chứa một hàm lượng lớn Cr, Ni, Si (thép hợp kim cao) rất bền với ăn mòn vì những phụ gia trên làm cho hợp kim dễ bị thụ động.

Thông dụng nhất là thép không gỉ Cr và thép không gỉ ôstênit Cr-Ni.

6.2.1. Thép không gỉ crom cao

Crom tạo thành với thép dung dịch rắn thay thế trên cơ sở màng lưới tinh thể ferit và ôstênit. Ngoài ra còn có các cacbua (thường gọi là cacbit) $Cr_{23}C_6$, Cr_7C_3 và hợp chất liên kim với sắt chứa tới 50% nguyên tử Cr. Tuy nằm trong dung dịch rắn, nhưng Cr vẫn có khả năng tạo thành màng thụ động trong môi trường oxy hoá. Trong nước sông, không khí, HNO_3 loãng ở nhiệt độ thường thép có hàm lượng Cr rất thấp ở trạng thái hoạt động. Khi tăng hàm lượng Cr đến khoảng 12% trọng lượng (ứng với $n = 1$ trong qui luật $n/8$) thì Cr trở nên thụ động trong các môi trường trên. Trong môi trường không oxy hoá như HCl, H_2SO_4 loãng thì tăng hàm lượng Cr sẽ tăng ăn mòn, trong khi đó thì trong môi trường oxy hoá như HNO_3 tốc độ ăn mòn giảm.

Hàm lượng cacbon và chế độ gia công nhiệt ảnh hưởng lớn đến độ bền với ăn mòn của thép hợp kim Cr. Sau khi tôi, Cr và C nằm trong dung dịch rắn, thép rất bền với ăn mòn. Khi ram sau tôi thì crom cacbua tiết ra, trong đó 1% C liên kết với $10 \div 12\%$ Cr do đó hàm lượng Cr trong dung dịch rắn giảm. Nhiệt độ ram càng cao thì lượng cacbua thoát ra càng nhiều và độ bền với ăn mòn càng giảm.

Các loại thép không gỉ Cr thường dùng là 12Cr13 ($C < 0,12\%$, Cr 13% tương đương thép 403, Mỹ), 30Cr13, 20Cr13, 40Cr13, 12Cr17, 12Cr18, 15Cr28, 15Cr25.

6.2.2. Thép không gỉ mactensit

Nhiều thép mactensit có hàm lượng Cr thấp hơn 11%, nên thực ra không phải là thép không gỉ.

Tuy nhiên đa số thép không gỉ mactensit chứa $11,5 \div 13,5\%$ Cr và có thể biến cứng, bằng xử lý nhiệt như các thép thông thường. Thép 410 và 420 thường chứa 13% Cr còn thành phần cacbon thì thay đổi.

Thép không gỉ mactensit thường dùng ở những nơi cần độ bền với ăn mòn trung bình nhưng cần độ bền cơ và độ cứng cao như các van nước, bơm và các chi tiết của tuabin hơi.

6.2.3. Thép không gỉ ferit

Thép này chỉ chứa Cr ($16 \div 30\%$), đôi khi có Mo và một số kim loại khác Cr là nguyên tố ổn định trạng thái ferit và giữ hợp kim ở cấu trúc mạng lập phương thể tâm.

Khác với ôstênit có độ hoà tan cacbon cao, thép không gỉ ferit có độ hoà tan cacbon và nitơ thấp nên dễ bị ăn mòn tinh giới do kết tủa cacbon và nitrua. Thép không gỉ ferit có chuyển biến pha khi hàn làm cho thép giòn mặc dù hàm lượng cacbon và nitơ rất thấp.

Thêm Ti và Nb sẽ giảm ăn mòn tinh giới.

Thép không gỉ ferit được sử dụng rộng rãi trong công nghiệp.

6.2.4. Thép không gỉ ôstênit Cr-Ni

Thêm Ni vào thép không gỉ Cr sẽ mở rộng vùng ôstênit và cải thiện cơ tính của thép. Thường dùng thép Cr-Ni 18-8 chứa $17 \div 20\%$ Cr và $8 \div 11\%$ Ni. Sau khi tôi ở nhiệt độ cao thép này có cấu trúc ôstênit. Thép ôstênit Cr-Ni khác thép Cr ở chỗ rất dẻo và chịu hàn tốt. Độ bền với ăn mòn của thép Cr-Ni chủ yếu do Cr đem lại. Thêm Ni tăng độ bền của thép không gỉ trong môi trường không oxy hoá hoặc oxy hoá yếu.

Thép ôstênit Cr-Ni bền trong HNO_3 thấp hơn 65% ở nhiệt độ thường, không bền ở nhiệt độ sôi và HNO_3 đậm đặc vì bị quá thụ động.

Trong các axit yếu như axit boric, axit limonic, picric, lactic... thì thép này rất bền.

Thép Cr-Ni bị ăn mòn trong HCl, H_2SO_4 loãng, CH_3COOH (đóng băng), $\text{H}_2\text{C}_2\text{O}_4$, HCOOH khi sôi, trong H_2S .

Nhược điểm lớn nhất của thép không gỉ là trong điều kiện nhất định nó có khuynh hướng bị ăn mòn tinh giới, ăn mòn điểm (pitting corrosion), khe và nứt.

Để chống ăn mòn tinh giới thép không gỉ ta dùng các biện pháp sau:

a) Thêm các nguyên tố như Nb, Ti có ái lực tạo cacbua với cacbon mạnh hơn. Hàm lượng Ti phải 5 lần, Nb 10 lần lớn hơn hàm lượng C.

b). Giảm hàm lượng cacbon xuống dưới 0,015%.

c) Tôi ở nhiệt độ $1050 \div 1100^\circ\text{C}$ để Cr và C nằm trong dung dịch rắn.

d) Nung lên ở 870°C để phá mạng lưới cacbua và san bằng hàm lượng Cr.

Thép không gỉ Crom cao thường bị ăn mòn tinh giới trong dung dịch HNO_3 , $\text{HNO}_3 + \text{HF}$, trong dung dịch NaCl ... do tiết ra crom cacbua, khi làm lạnh sau tôi. Để tránh hiện tượng này sau khi tôi phải ram ở nhiệt độ $600 \div 800^\circ\text{C}$.

Để tránh ăn mòn thép không gỉ ôstênit Cr-Ni ta dùng phương pháp bảo vệ catốt bằng dòng ngoài hoặc tăng hàm lượng Ni lên đến $30 \div 40\%$ hoặc đuổi oxy, giảm hàm lượng N và P.

6.3. ĐỒNG VÀ HỢP KIM

Đồng là kim loại dẫn điện, dẫn nhiệt, độ bền cơ học và với ăn mòn tốt. Nhưng đồng đắt hơn thép không gỉ và thép cacbon. Điện thế điện cực tiêu chuẩn $E_{\text{Cu}^{2+}/\text{Cu}}^\circ$ của đồng khoảng 0,34 V và $E_{\text{Cu}^+/\text{Cu}}^\circ = 0,52$ V. Trong NaCl 3% $E_{\text{đồng}} = 0,06$ V, trong HCl 1N thì $E_{\text{đồng}} = 0,15$ V.

6.3.1. Đồng

Sự ăn mòn của đồng xảy ra trong môi trường nước chứa oxy hoà tan hay trong dung dịch chứa các chất oxy hoá khử (redox) với $E_{\text{redox}}^{\text{ch}} > E_{\text{Cu}^{2+}/\text{Cu}}^{\text{ch}}$. Ví dụ $E_{\text{O}_2}^{\text{ch}} > E_{\text{Cu}^{2+}/\text{Cu}}^{\text{ch}}$. Mặt khác khi có mặt các ligand tạo phức như Cl^- , NH_3 , CN^- ... thì đồng tạo thành các ion phức như $[\text{Cu}(\text{NH}_3)_4]^{2+}$, $[\text{Cu}(\text{CN})_4]^{1-}$, CuCl_2^- ... và $E_{\text{đồng}}^{\text{ch}}$ sẽ dịch chuyển về phía âm hơn nên nó bị ăn mòn.

Ví dụ: $\text{Cu} + 2\text{Cl}^- \rightarrow \text{CuCl}_2^- + e$

$$E_{\text{CuCl}_2^-/\text{Cu}}^{\text{ch}} = 0,194 + 0,059 \lg \frac{C_{\text{CuCl}_2^-}}{(C_{\text{Cl}^-})^2} \text{ ở } 25^\circ\text{C}$$

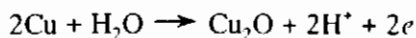
Khi $C_{\text{Cl}^-} = 1$, $C_{\text{CuCl}_2^-} = 10^{-6}$ ta có:

$$E_{\text{CuCl}_2^-/\text{Cu}}^{\text{ch}} = -0,16 \text{ V}$$

Vì vậy tại một giá trị pH nhất định, đồng sẽ bị ăn mòn trong dung dịch HCl với sự khử catốt H^+ thành H_2 .

Tốc độ ăn mòn của đồng trong nước thiên nhiên trung tính hoặc hơi kiềm như nước biển là rất nhỏ, nhưng lượng hợp chất đồng sinh ra đủ để giết các sinh vật như các loại tảo, hàu hà bám lên bề mặt đồng.

Sự ăn mòn của đồng trong các môi trường trên bị kìm hãm bởi màng oxít Cu_2O :



Trong nước biển tù, tốc độ ăn mòn đồng khoảng $25 \div 50 \mu\text{m}/\text{năm}$ ($i_{\text{am}} = 2 \div 4.10^{-2} \text{ Am}^{-2}$), thấp hơn mật độ dòng giới hạn của phản ứng khử oxy rất nhiều ($i_{\text{L.O}_2} = 0.2 \div 0.3 \text{ Am}^{-2}$). Chất lỏng chuyển động với tốc độ lớn dọc theo thiết bị đồng có thể phá huỷ màng oxít Cu_2O , khi đó tốc độ ăn mòn của đồng sẽ phụ thuộc tốc độ khử oxy.

Tốc độ chuyển động cực đại cho phép của chất lỏng đối với thiết bị bằng đồng là $0.5 \div 0.75 \text{ ms}^{-1}$.

Trong không khí chứa H_2S thì đồng tạo thành CuS , chứa CO_2 tạo thành $(\text{CuOH})_2\text{CO}_3$, còn chứa SO_2 thì thành $\text{CuSO}_4.3\text{Cu}(\text{OH})_2$ có tính bảo vệ. Các mái bằng đồng có thể bền hàng thế kỷ.

6.3.2. Các hợp kim của đồng

Tính chất cơ học của đồng được cải thiện rõ rệt khi thêm các kim loại khác như Sn, Zn, Ni và Be.

6.3.2.1. Đồng thau Cu-Zn (30% Zn)

Nó được sử dụng trong các thiết bị trao đổi nhiệt nhỏ trong ô tô, tủ lạnh... Thêm vào hợp kim $0.02 \div 0.06\%$ As sẽ hạn chế được ăn mòn chọn lựa thải loại kẽm. Trong các thiết bị ngưng tụ hơi bằng nước lạnh có chứa một lượng nhỏ ion Cl^- thì các ống trao đổi nhiệt của nó được làm bằng đồng thau (Cu-Zn hay CuZn29Sn1). Trong các thiết bị trao đổi nhiệt loại công nghiệp làm lạnh bằng nước biển ta dùng CuZn22Al2 nếu tốc độ chuyển động của nước biển không lớn.

Theo Nguyễn Văn Chiến thì đồ đồng Đông Sơn không phải là đồng thau. Thành phần phân tích của nó như sau:

Thành phần	Cu, %	Pb, %	Sn, %	Fe, %	Ag, %	Au, %
Lưỡi riu	55,2	17,3	15,3	4,4	0,012	Vết
Bình đồng	57,2	19,3	16,1	2,4	0,17	Vết

Như vậy đồ đồng Đông Sơn phải gọi là đồng thanh (bronze) mới đúng, trong dân gian có khi còn gọi là đồng đen. Loại hợp kim này cứng và giòn hơn đồng, đồng thau.

6.3.2.2. Hợp kim Cu-Ni

Để thiết bị trao đổi nhiệt nhỏ hơn, tiết kiệm trọng lượng và không gian trong các tàu và thuyền ta phải dùng tốc độ nước làm lạnh lớn hơn khiến cho sự trao đổi nhiệt tốt hơn. Trong trường hợp này ta phải dùng các hợp kim bền với ăn mòn - mài mòn như CuNi10, CuNi30. Nếu thêm 0,5 ÷ 1,5% Fe vào hợp kim thì sẽ cải thiện được tính chất chống ăn mòn. Fe rất quan trọng để tạo thành một màng bảo vệ bền với tốc độ chuyển động lớn của chất lỏng làm lạnh. Ta cũng thu được kết quả tương tự nếu thêm FeSO_4 vào trong nước làm lạnh. Tuy nhiên nếu tốc độ chảy khá lớn hay nước biển quá ô nhiễm thì hợp kim của đồng không chịu được. Ta cũng không thể dùng thép không gỉ vì sẽ có hiện tượng ăn mòn điểm (pitting).

Trong trường hợp này tốt nhất là dùng titan. Bảng 6.1 trình bày tốc độ cực đại của nước biển (trong ống làm lạnh) tương ứng với từng kim loại và hợp kim.

Bảng 6.1. Tốc độ chảy cực đại của các vật liệu

Kim loại và hợp kim	Tốc độ chảy cực đại, m.s^{-1}
Cu	0,75
Thép mạ (mạ Ni, Cu, Cu-Zn)	1,5
Cu-Zn-Al	2,6
Cu Ni 10 Fe	3,2
Cu Ni 30 Fe	4,5
Ti	10

6.4. NIKEN VÀ HỢP KIM

Niken hoà tan trong axit không oxy hoá và loãng chậm hơn sắt. Trong dung dịch nước hoà tan tốt oxy, niken có thể bị thụ động, nhưng màng thụ động ấy không bền như của crom. Trong nước biển tình niken có khuynh hướng bị ăn mòn điểm (pitting). Niken nguyên chất hay kim loại mạ niken được dùng làm thùng chứa dung dịch kiềm đậm đặc, đặc biệt là NaOH, ngay cả ở trạng thái nóng chảy.

Có ba nhóm hợp kim niken sau.

6.4.1. Hợp kim Ni-Cu chứa 70% Ni (hợp kim Monel)

Monel bền trong nước biển chuyển động. Nó cũng được dùng làm bể chứa dung dịch axit HF (không có oxy hoà tan) ở bất kỳ nồng độ nào đến tận nhiệt độ sôi.

Hợp kim này không dùng được trong môi trường oxy hoá mạnh.

6.4.2. Hợp kim Ni-Cr chứa 80% Ni

Tên thương mại của hợp kim này:

Nimonic Ni 80 Cr 20

Inconel Ni 76 Cr 16 Fe 7

Những hợp kim này bị thụ động dễ dàng và được dùng trong các điều kiện mà thép không gỉ không bền.

6.4.3. Hợp kim Ni-Mo

Nó có tên thương mại là Hastelloy.

Hastelloy A Ni60Mo20Fe20

Hastelloy B Ni65Mo30Fe5

Hastelloy C Ni59Mo17Cr14Fe6W5

Hai hợp kim Hastelloy A và B bền trong axit HCl và H₂SO₄ đến nồng độ 60% ở tất cả các nhiệt độ trong điều kiện không oxy hoá. Hastelloy C bền trong môi trường oxy hoá.

6.5. NHÔM VÀ HỢP KIM

6.5.1. Nhôm

Điện thế điện cực tiêu chuẩn của nhôm $E''_{\text{Al}^{3+}/\text{Al}} = -1,66 \text{ V}$ rất âm nên nhôm kém bền nhiệt động. Trong không khí trên bề mặt nhôm có một lớp oxyt Al_2O_3 dày từ 5 đến 20 nm, do đó điện thế điện cực của nhôm trở nên dương hơn.

Nhôm bền trong không khí, ngay cả khi có mặt SO_2 .

Trong dung dịch NaCl 3%, điện thế điện cực của nhôm là $-0,55 \text{ V}$. Trong dung dịch trung tính và trong nước, nhôm bị ăn mòn với phản ứng catốt khử oxy và khử hydro.

Ở $\text{pH} > 4$, ion Al^{3+} , sản phẩm của quá trình ăn mòn, tạo thành với OH^- , nhôm hydroxyt $\text{Al}(\text{OH})_3$ khó tan, sau đó chuyển hoá tiếp thành $\text{Al}_2\text{O}_3 \cdot n\text{H}_2\text{O}$.

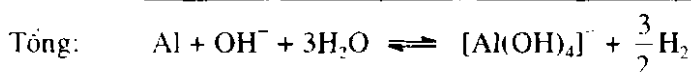
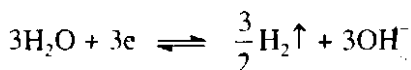
Màng oxyt và hydroxyt tạo thành có tính bảo vệ, nên nhôm rất bền trong dung dịch chất điện giải trung tính không chứa các chất hoạt hoá như các clorua.

Tăng hay giảm pH của môi trường trong một phạm vi nhất định đều dẫn tới tăng ăn mòn Al vì oxyt và hydroxyt của nhôm lưỡng tính. Tính chất lưỡng tính của nhôm hydroxyt làm cho nó bị ăn mòn trong môi trường kiềm với quá trình catốt khử hydro của nước.

Quá trình anốt:



Quá trình catốt:



Trong axit HNO_3 , H_3PO_4 và H_2SO_4 loãng nhôm bền với ăn mòn.

Nhôm tan trong axit HCl , HF , H_2SO_4 đậm đặc.

Nhôm bị ăn mòn rất nhanh trong dung dịch chứa Hg^{2+} vì nó tác dụng với ion này tạo thành hỗn hống, trên đó không có màng bảo vệ.

Nhôm tạo thành với hợp chất FeAl_3 với sắt và CuAl_2 với đồng. Những hợp chất liên kim này có điện thế dương hơn Al, do đó chúng sẽ là catốt.

6.5.2. Hợp kim trên cơ sở Al

Các hợp kim nhôm được sử dụng rộng rãi trong kiến trúc, công nghệ ô tô, dụng cụ nhà bếp...

Ở pH trung tính Al và phần lớn các hợp kim của nó có thể bị ăn mòn điểm khi có mặt ion Cl^- . Tuy nhiên hợp kim Al cũng bền trong nước biển nếu bề mặt hợp kim sạch và dung dịch chuyển động hoặc được thay luôn. Sự tù đọng và tích lũy sản phẩm ăn mòn có thể làm pH trong nước biển, nước ngọt không còn giữ được trung tính nữa và hợp kim sẽ bị ăn mòn điểm.

Khi tạo thành cặp pin galvanic với các kim loại khác (trừ Zn, Be, Mg) thì hợp kim Al sẽ là anốt và nó sẽ bị phân cực đến điện thế ăn mòn điểm.

Độ bền với ăn mòn của hợp kim nhôm thay đổi trong phạm vi rộng, tùy thuộc thành phần của hợp kim. Phần lớn các nguyên tố hợp kim đều làm giảm độ bền với ăn mòn của nó, nhưng vẫn được cho vào hợp kim để tăng độ bền cơ. Ở các nước Mỹ, Canada... người ta sử dụng hệ thống ký hiệu gồm bốn chữ số xxxx để ký hiệu hợp kim nhôm. Mỗi loại hợp kim được đặc trưng bằng số hạng đầu tiên của bốn số trên. Hợp kim trong cùng loại được phân biệt bằng ba chữ số tiếp theo xxx. Hợp kim 1xxx bao gồm Al nguyên chất với dư lượng tạp chất được kiểm soát để giữ một độ bền với ăn mòn cần thiết trong một trường hợp sử dụng nhất định. Lượng tạp chất và nguyên tố hợp kim nhỏ nhất khiến hợp kim bền với ăn mòn và không bị ăn mòn nứt dưới ứng suất, nhưng độ bền cơ kém. Vì vậy ít dùng hợp kim 1xxx.

Hợp kim 2xxx chứa Cu là nguyên tố hợp kim chủ yếu.

Hợp kim 3xxx chứa Mn và Mg + Mn.

Hợp kim 4xxx chứa Si là nguyên tố hợp kim chủ yếu.

Hợp kim 5xxx chứa Si và Mg (nhiều hơn 3xxx) và Cr.

Hợp kim 6xxx chứa Si + Mg là nguyên tố hợp kim quan trọng.

Hợp kim 7xxx chứa Zn + Mg là nguyên tố hợp kim quan trọng.

Bảng 6.2 cho biết thành phần và ký hiệu một số hợp kim Al theo tiêu chuẩn TCVN và tiêu chuẩn của Hiệp hội Nhôm (AA) của Mỹ.

Bảng 6.2. Thành phần, ký hiệu một số hợp kim nhôm

Hệ hợp kim	Ký hiệu		Thành phần, %
	Tiêu chuẩn Việt Nam TCVN	Tiêu chuẩn Hiệp hội nhôm AA	
	Hợp kim biến dạng		
Al sạch	Al 99,6	1060	99,6
Công nghiệp	Al 99,00	1100	99,0 Al
Al-Cu-Mg	AlCu4,4Mg1,5Mn0,6	2024	4,4Cu-1,5Mg-0,6Mn
Al-Mn	AlMn1,2	3004	1,2Mn-0,12Cu
Al-Mg	AlMg1,4	5050	1,4Mg
Al-Mg-Si	AlMg1Si0,6	6061	1Mg-0,6Si-0,2Cr-0,3Cu
Al-Zn-Mg	AlZn4,5Mg1,4	7005	4,5Zn-1,4Mg-0,12Cr-0,4Mn-0,15Zr
	Hợp kim đúc		
Al-Cu	AlCu4,5 Đ	295,0	4,5Cu-1Si

Hợp kim hệ Al-Cu điển hình là dura có thành phần (%) Cu4; Mg0,6; Mn0,6; Si và Fe0,7. Sau khi tôi, dura là dung dịch rắn quá bão hoà. Dura chỉ có độ bền cơ cao sau khi hoá già tự nhiên hay nhân tạo. Hoá già là dạng nhiệt luyện dùng cho hợp kim có quá trình tiết pha biến cứng (phân huỷ dung dịch rắn quá bão hoà). Quá trình tiết pha biến cứng có thể xảy ra ở nhiệt độ phòng - hoá già tự nhiên, hoặc ở nhiệt độ cao hơn - hoá già nhân tạo. Khi hoá già tự nhiên trong dura đã tôi không xảy ra biến đổi đáng kể về cấu trúc và độ bền với ăn mòn.

Khi hoá già nhân tạo thì ở biên giới các hạt có các hợp chất liên kim CuAl_2 (pha θ) kết tủa. Các hợp chất liên kim này sẽ là catốt. Vì vậy sau khi hoá già nhân tạo dura có độ bền với ăn mòn thấp hơn so với hoá già tự nhiên. Khi có các liên kim CuAl_2 kết tủa ở dạng chuỗi liên tục ở biên giới các hạt thì dura có khuynh hướng bị ăn mòn tinh giới vì xuất hiện vùng nghèo đồng ở biên giới hạt. Nồng độ đồng giảm từ 4% xuống còn 0,3 ÷ 0,5%. Điện thế điện cực của liên

kim CuAl_2 và của hạt dương hơn vùng nghèo đồng, do đó vùng này sẽ bị ăn mòn mạnh lên.

Khi hoá già nhân tạo kéo dài thì chuỗi liên kim không còn liên tục do đó độ bền với ăn mòn của dura tăng lên. Dura có chuỗi liên kim CuAl_2 liên tục ở biên giới hạt bị ăn mòn nứt trong khí quyển, trong dung dịch clorua.

6.6. CHÌ VÀ HỢP KIM

Điện thế điện cực tiêu chuẩn của chì là $-0,126 \text{ V}$ thuộc loại bền nhiệt động trung bình. Điện thế ăn mòn trong dung dịch NaCl $0,5 \text{ N}$ là $-0,312 \text{ V}$. Độ không chế anốt $C_a = \frac{\Delta E_A}{\Delta E_A + |\Delta E_C|} = 0,06$.

Chì ít bị thụ động.

Chì mềm, nhiệt độ nóng chảy thấp, dễ tạo hình. Chì có chứa $0,06\%$ Cu bền với axit H_2SO_4 , có nồng độ nhỏ hơn 96% ở nhiệt độ thường. Tốc độ ăn mòn chì trong H_2SO_4 nồng độ nhỏ hơn 80% sôi là 2 mm/năm . Chì bền trong H_3PO_4 nóng hay lạnh, H_2CrO_4 (dung dịch mạ Cr), HF nồng độ nhỏ hơn $60 \div 65\%$ ở nhiệt độ thường. Tốc độ ăn mòn chì trong nước biển là $0,0125 \text{ mm/năm}$. Chì bền trong khí quyển công nghiệp, clo khô hay ướt, trong SO_2 , SO_3 , H_2S .

Tuy nhiên chì không bền trong HNO_3 nhỏ hơn 70% , HCl , H_2SO_4 lớn hơn 96% ở nhiệt độ thường, kiềm, HF khí và trong các axit hữu cơ có hoà tan oxy.

Chì cứng chứa $3 \div 18\%$ Sb có độ bền cơ gấp đôi chì.

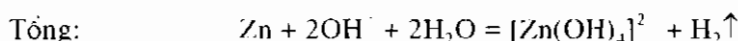
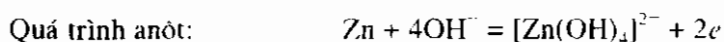
6.7. KẼM VÀ CADIMI

Điện thế điện cực tiêu chuẩn của kẽm là $E_{\text{Zn}^{2+}/\text{Zn}}^\circ = -0,76 \text{ V}$, của cadimi là $E_{\text{Cd}^{2+}/\text{Cd}}^\circ = -0,4 \text{ V}$. Trong NaCl 3% thì điện thế ăn mòn $E_{\text{am}}^{\text{Zn}} = -0,83 \text{ V}$ và $E_{\text{am}}^{\text{Cd}} = -0,52 \text{ V}$ cho nên cả Zn lẫn Cd có thể bị ăn mòn với phản ứng catốt là khử oxy hay H^+ .

Trong môi trường axit Zn và Cd bị ăn mòn với phản ứng catốt là khử ion H^+ . Những tạp chất có quá thế hydro thấp (Cu, Fe...) tăng nhanh tốc độ ăn mòn kẽm trong dung dịch axit. Tốc độ ăn mòn "kẽm tinh khiết cao" trong dung dịch axit không oxy hoá rất nhỏ.

Trong môi trường trung tính dưới màng ẩm mỏng (ăn mòn khí quyển) kẽm và cadimi bị ăn mòn với quá trình catốt là khử oxy. Khi ấy trên bề mặt kim loại tạo thành màng hydroxyt của kẽm hoặc cadimi có tính bảo vệ. Kẽm hydroxyt thì lưỡng tính còn cadimi hydroxyt có tính kiềm. Do đó khi tăng pH thì thoát tiến tốc độ ăn mòn kẽm giảm xuống sau đó tăng lên.

Trong môi trường kiềm kẽm bị ăn mòn với quá trình catốt khử H_2O .

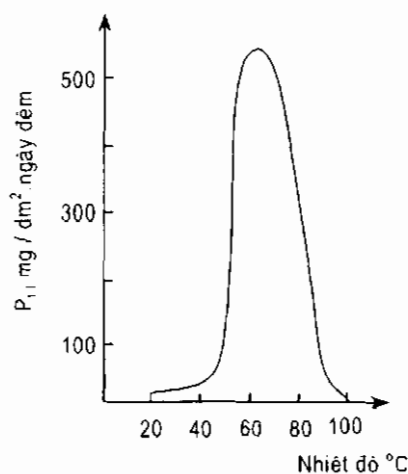


Khác với kẽm, tốc độ ăn mòn của cadimi giảm khi tăng pH.

Trong môi trường axit trung tính nhiệt độ có ảnh hưởng lớn đến sự ăn mòn kẽm (hình 6.1). Dưới $50^\circ C$ nhiệt độ ít ảnh hưởng đến tốc độ ăn mòn. Tốc độ ăn mòn đạt cực đại ở $70^\circ C$, sau đó giảm nhanh vì ở nhiệt độ nhỏ hơn $50^\circ C$ và ở nhiệt độ lớn hơn $95^\circ C$ trong môi trường nước cất, trên bề mặt Zn có một lớp phủ sét, chất, bảo vệ.

Trong khoảng nhiệt độ từ $50 \div 95^\circ C$, bề mặt kẽm có màng sản phẩm ăn mòn dạng hạt kẽm bền, nên tốc độ ăn mòn lớn. Mặt khác ở nhiệt độ cao điện thế điện cực kẽm trở nên dương hơn thép. Do đó trong cặp pin galvanic Fe-Zn, kẽm sẽ là catốt, không bị ăn mòn.

Độ ẩm tương đối của khí quyển, thời gian tồn tại của màng ẩm cũng ảnh hưởng lớn đến tốc độ ăn mòn kẽm trong khí quyển. Ví dụ:



Hình 6.1. Ảnh hưởng của nhiệt độ đến tốc độ ăn mòn kẽm trong nước cất

Môi trường khí quyển	Nông thôn	Ngoại ô	Thành phố	Khu công nghiệp
Tốc độ ăn mòn, $\mu\text{m}/\text{năm}$	2	4	5	11

Trong khí quyển nhiễm khí SO_2 và trong dung dịch chứa Cl^- , sự ăn mòn kẽm tăng lên đáng kể. Trong điều kiện độ ẩm và nhiệt độ cao (nhiệt đới) kẽm kém bền. Ngược lại cadimi lại rất bền trong điều kiện nhiệt đới chứa Cl^- , còn trong khí quyển công nghiệp Cd bị ăn mòn mạnh hơn Zn. Để tăng độ bền với ăn mòn của Zn và Cd ta cần cromat hoá bề mặt của chúng.

6.8. TITAN VÀ HỢP KIM

Khi có mặt oxy và ẩm, trên bề mặt titan có một lớp oxit TiO_2 bám chắc, bảo vệ tốt. Màng oxit TiO_2 hình thành tại mọi pH và hợp kim titan bền với đa số dung dịch axit và kiềm.

Titan bền trong nước biển, dung dịch các muối clorua, ClO^- , clo ưôt, HNO_3 ,...

Các muối FeCl_3 , CuCl_2 gây ăn mòn điểm phần lớn các kim loại và hợp kim, nhưng lại ức chế sự ăn mòn titan. Titan không bền trong H_2SO_4 , HCl tương đối tinh khiết, nhưng lại bền khi axit bị nhiễm tạp chất Fe^{3+} , Cu^{2+} .

Hợp kim hoá titan bằng 30% Mo sẽ tăng độ bền với ăn mòn trong HClO. Thêm một lượng nhỏ Pd, Pt và các kim loại quý khác vào Ti sẽ tăng độ bền với ăn mòn của nó trong môi trường khử trung bình.

Tuy nhiên khi sử dụng titan phải lưu ý một số vấn đề sau:

a) Khi titan tiếp xúc với kim loại bị ăn mòn như thép thì nó sẽ hấp thụ hydro và trở nên giòn.

b) Khi làm sạch titan bằng HCl với chất ức chế không thích hợp thì nó sẽ nhanh chóng bị ăn mòn.

c) Không được sử dụng titan trong HCl, H_2SO_4 , HF tương đối tinh khiết hoặc clo khô.

d) Khi tiếp xúc với teflon và chất dẻo chứa chì thì titan bị phá huỷ mạnh.

6.9. CÁC KIM LOẠI VÀ HỢP KIM KHÁC

Những kim loại và hợp kim sau đây ít dùng nhưng cũng có vai trò quan trọng.

6.9.1. Hợp kim coban

Hợp kim này chịu mài mòn, có tính năng cơ học và chịu nhiệt độ cao. Thường dùng trong kỹ thuật hàng không, tên lửa. Co gần giống với Ni và các hợp kim Co dùng trong kết cấu thường chứa một lượng Ni đáng kể để ổn định pha lập phương diện tâm và tăng độ dẻo ở nhiệt độ cao. Cũng giống như hợp kim của Fe và Ni, độ bền với ăn mòn của Co được cải thiện khi thêm Cr, Ni, Mo và W.

Một ứng dụng quan trọng của hợp kim Co ở nhiệt độ thường là làm các bộ phận giả trong cơ thể con người (ví dụ, khớp háng nhân tạo). Hợp kim Co-Cr có tính chịu mài mòn và bền với ăn mòn rất thích hợp với công việc này, trong khi thép không gỉ hợp kim Ni không dùng được.

6.9.2. Hợp kim Zr

Zr có tính chất giống Ti. Nó bền trong tất cả các axit mạnh như H_2SO_4 , HNO_3 và đặc biệt Zr bền trong HCl mọi nồng độ, tại mọi nhiệt độ.

Cũng giống như Ti, zirconi không bền trong HF. Tuy nhiên Zr bị ăn mòn trong các dung dịch clorua chứa các cation oxy hoá như Fe^{3+} , Cu^{2+} . Một ứng dụng quan trọng của hợp kim Zr là dùng để dát vào các thanh nhiên liệu trong lò phản ứng hạt nhân và các thiết bị đòi hỏi có tiết diện ít bắt giữ neutron. Sự kết hợp giữa hai tính chất cho neutron xuyên qua và bền với ăn mòn trong nước nhiệt độ cao (315°C), áp suất cao làm cho Zr chiếm vị trí độc tôn trong công việc này.

6.9.3. Tantal

Tantal bền trong tất cả axit mạnh như HCl, H_2SO_4 , HNO_3 tại mọi nồng độ và nhiệt độ (cho đến sôi). Trái với titan, tantal bền trong HNO_3 bốc khói nhưng nhạy cảm với xâm thực của HF. Nhược điểm của tantal là đắt.

6.9.4. Hợp kim Mg

Hợp kim Mg tương đối nhạy cảm với ăn mòn. Nhưng vì rất nhẹ nên được dùng trong ngành hàng không, vũ trụ và công nghiệp ô tô. (Thường thêm Al để tăng độ bền cơ của dung dịch rắn). Để tăng cực đại độ bền với ăn mòn, kim loại không được có tạp chất kim loại nặng như Fe, Ni, Cu. Hợp kim này chủ yếu được dùng trong khí quyển xâm thực nhẹ kèm theo lớp phủ hữu cơ và lớp phủ chuyển hoá.

6.9.5. Các kim loại vô định hình hay kim loại thủy tinh

Các kim loại này được tạo ra bằng cách đông rắn nhanh bằng mỏng hoặc sợi kim loại.

Có hai loại cấu trúc vô định hình:

a) Hai (hoặc nhiều hơn) kim loại nhóm chuyển tiếp như Cu-Zr, Cu-Ti, Ni-Nb có thể tạo thành cấu trúc vô định hình (thủy tinh).

b) Sự kết hợp của các kim loại bao gồm Fe, Cr, Ni với các á kim như B, P, Si hoặc C cũng tạo thành cấu trúc vô định hình. Trong cả hai loại trên, hợp kim vô định hình (thủy tinh) đều có độ bền với ăn mòn cao hơn hợp kim tinh thể, tuy nhiên hệ thống kim loại - kim loại như Cu trong Ti hoặc Zr độ bền với ăn mòn chỉ tăng 20%, còn hệ thống kim loại - á kim thì cải thiện nhiều hơn.

Trạng thái thủy tinh dường như cải thiện độ bền của màng thụ động trên Fe-Cr-Ni. Khi hàm lượng Cr tăng lên, tốc độ ăn mòn giảm xuống còn rất nhỏ và độ bền ăn mòn khe, ăn mòn điểm tăng lên mạnh ngay cả ở hàm lượng Cr thấp hơn rất nhiều so với thép không gỉ thông thường. Ví dụ điện thế ăn mòn điểm tăng lên đến 1 V tại hàm lượng Cr 7% so với tối thiểu là 12% Cr ở các thép không gỉ thông thường.

Hiện nay hợp kim thủy tinh còn ít được sử dụng để tăng độ bền với ăn mòn vì khó khăn về kỹ thuật và giá thành.

Hợp kim vô định hình chỉ bị kết tinh lại ở nhiệt độ tương đối cao.

Chương 7

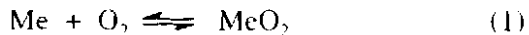
ĂN MÒN HOÁ HỌC (ĂN MÒN KHÍ KHÔ)

Ăn mòn hoá học là sự phá huỷ của kim loại trong môi trường khí khô ở nhiệt độ cao hoặc trong chất không phải là điện giải.

Thông thường lý thuyết ăn mòn hoá học mô tả quá trình tác dụng của kim loại với khí (chủ yếu là oxy) ở nhiệt độ cao, vì vậy còn gọi là ăn mòn khí khô.

7.1. NHIỆT ĐỘNG HỌC CỦA SỰ ĂN MÒN KIM LOẠI Ở NHIỆT ĐỘ CAO

Ở nhiệt độ cao, kim loại bị oxy hoá theo phương trình:



Me - kim loại giả thiết có hoá trị 4.

Hằng số cân bằng K_{cb} của phản ứng (1) có thể biểu diễn qua hoạt độ cân bằng $a_{\text{O}_2}^{cb}$ hoặc áp suất cân bằng $P_{\text{O}_2}^{cb}$ của oxy, hoạt độ a_{Me} của kim loại và a_{MeO_2} của oxit:

Thật vậy:
$$K_{cb} = \frac{a_{\text{MeO}_2}}{a_{\text{O}_2}^{cb} \cdot a_{\text{Me}}} \quad (7.1)$$

Vì MeO_2 và Me ở thể rắn nên $a_{\text{MeO}_2} = a_{\text{Me}} = 1$.

Rút ra:
$$K_{cb} = \frac{1}{a_{\text{O}_2}^{cb}} = \frac{1}{P_{\text{O}_2}^{cb}} \quad (7.2)$$

$P_{\text{O}_2}^{cb}$ chính là áp suất phân huỷ của oxy do oxit phân huỷ tại cân bằng. Khi phản ứng (1) xảy ra thì khối lượng kim loại và oxy sẽ giảm còn khối lượng của oxit sẽ tăng.

Ta biết rằng năng lượng tự do G của vật chất tỷ lệ với số mol của nó. Như ta đã biết thế hoá học μ có thể tính theo công thức:

$$\mu = \mu'' + RT \ln a \quad (7.3)$$

μ'' - thế hoá học của 1 mol khí khi $a = 1$.

Biến thiên năng lượng tự do ΔG của phản ứng:

$$\Delta G = G_{\text{sản phẩm}} - G_{\text{ban đầu}} = \sum \mu_{\text{sản phẩm}} - \sum \mu_{\text{ban đầu}}$$

trong đó $G_{\text{ban đầu}}$ - năng lượng tự do của trạng thái ban đầu trước khi Me bị ăn mòn:

$G_{\text{sản phẩm}}$ - năng lượng tự do của các sản phẩm sau khi Me bị ăn mòn.

Căn cứ vào phản ứng (1) ta có thể viết:

$$\begin{aligned}\Delta G &= \mu_{\text{MeO}_2} - (\mu_{\text{Me}} + \mu_{\text{O}_2}) \\ &= \mu_{\text{MeO}_2}^0 + RT \ln a_{\text{MeO}_2} - \mu_{\text{Me}}^0 - RT \ln a_{\text{Me}} - \mu_{\text{O}_2}^0 - RT \ln a_{\text{O}_2}^{\text{m}}\end{aligned}$$

Đặt $\Delta G^0 = \mu_{\text{MeO}_2}^0 - \mu_{\text{Me}}^0 - \mu_{\text{O}_2}^0$ là biến thiên năng lượng tự do tiêu chuẩn ta có:

$$\Delta G = \Delta G^0 + RT \ln \frac{a_{\text{MeO}_2}}{a_{\text{Me}} \cdot a_{\text{O}_2}^{\text{m}}} \quad (7.4)$$

$a_{\text{O}_2}^{\text{m}}$ - hoạt độ của oxy trong môi trường khí phản ứng (1) chưa đạt trạng thái cân bằng.

Khi có cân bằng thì $\Delta G = 0$; $a_{\text{O}_2}^{\text{m}} = a_{\text{O}_2}^{\text{cb}}$

Vậy
$$\Delta G^0 = - RT \ln \frac{a_{\text{MeO}_2}}{a_{\text{Me}} \cdot a_{\text{O}_2}^{\text{cb}}}$$

Vì $a_{\text{Me}} = a_{\text{MeO}_2} = 1$ và sau khi thay $a_{\text{O}_2}^{\text{cb}}$ bằng $P_{\text{O}_2}^{\text{cb}}$ ta có:

$$\Delta G^0 = - RT \ln \frac{1}{P_{\text{O}_2}^{\text{cb}}} \quad (7.5)$$

Tóm lại công thức (7.4) trở thành:

$$\begin{aligned}\Delta G &= - RT \ln \frac{1}{P_{\text{O}_2}^{\text{cb}}} + RT \ln \frac{1}{P_{\text{O}_2}^{\text{m}}} \\ \Delta G &= - RT \ln \frac{P_{\text{O}_2}^{\text{m}}}{P_{\text{O}_2}^{\text{cb}}}\end{aligned} \quad (7.6)$$

$P_{\text{O}_2}^{\text{m}}$ - áp suất riêng phần của oxy trong môi trường trên bề mặt oxyt.

Phương trình (7.6) cho phép tiên đoán kim loại có bị oxy hoá hay không.

Nếu $P_{\text{O}_2}^{\text{m}} > P_{\text{O}_2}^{\text{cb}}$ thì sự oxy hoá sẽ xảy ra vì $\Delta G < 0$, còn $P_{\text{O}_2}^{\text{m}} < P_{\text{O}_2}^{\text{cb}}$ thì sự oxy hoá không thể xảy ra vì $\Delta G > 0$.

Áp suất phân huỷ của oxy $P_{O_2}^{ch}$ tăng khi tăng nhiệt độ. Do đó mặc dù tốc độ phản ứng tăng khi tăng nhiệt độ, nhưng xác suất nhiệt động của sự oxy hoá kim loại giảm. Ví dụ trong khí quyển $P_{O_2}^{ml} = 0,21$ atm, còn áp suất của oxy do bạc oxyt phân huỷ theo phản ứng:

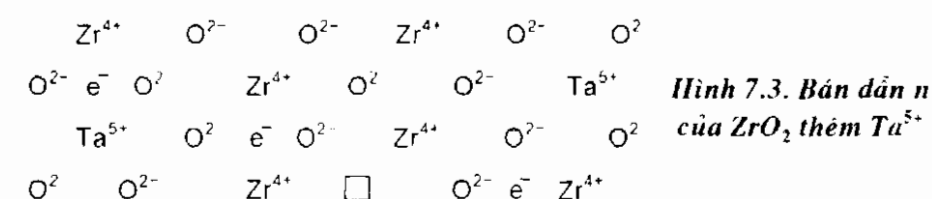
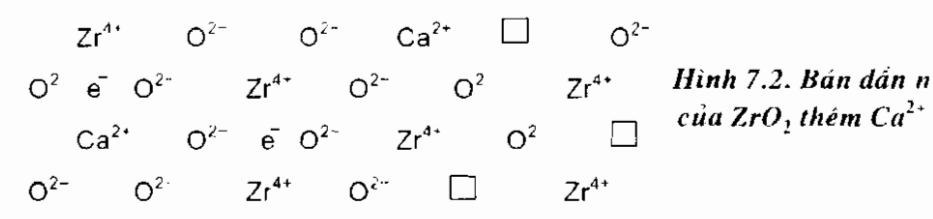
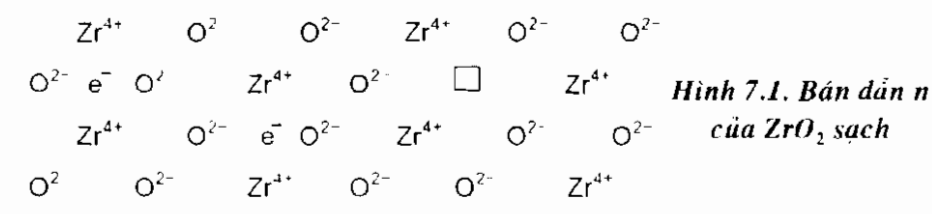


ở 400K là $P_{O_2}^{ch} = 6,9 \cdot 10^{-1}$ atm nên $P_{O_2}^{ch} > P_{O_2}^{ml}$, sự oxy hoá bạc không xảy ra.

7.2. CẤU TẠO KHUYẾT TẬT CỦA OXYT

Thường các oxyt là các hợp chất không tỷ lệ lượng. Một số oxyt thừa hoặc thiếu ion kim loại hay ion oxy.

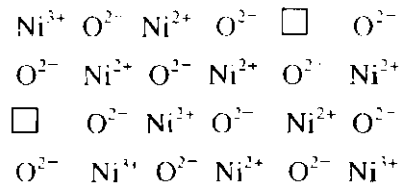
Hình 7.1 là sơ đồ zirconium oxyt ZrO_2 thừa kim loại. Trong mô hình này các vị trí khuyết (vacant) anion được biểu thị bằng hình vuông và cứ hai vị trí khuyết anion được bù 4 electron để trung hoà điện.



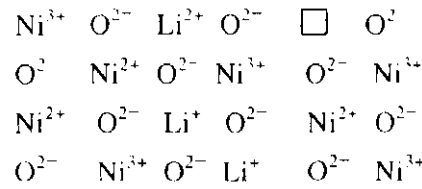
Trong cấu trúc này dòng điện được vận chuyển bởi electron dư và ion oxy (O^{2-}). Zirconium oxyt được gọi là bán dẫn n vì chứa electron dư chuyển điện. Có nhiều loại bán dẫn loại n thừa kim loại như CdO , TiO_2 , Ta_2O_5 , Al_2O_3 , SiO_2 .

Cb_2O_5 , PbO_2 , trong đó có loại do khuyết anion, có loại do ion kim loại xen kẽ hoặc đồng thời cả hai.

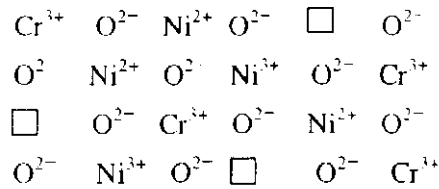
Các hình 7.2, 7.3 là mô hình có cho thêm Ca^{2+} và Ta^{5+} vào trong ZrO_2 . Khi thêm Ca^{2+} sẽ tạo ra một vị trí khuyết anion để bù điện tích, còn Ta^{5+} sẽ tạo thêm điện tử dư.



**Hình 7.4. Mô hình mạng
lưới bán dẫn p NiO không
pha tạp**



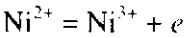
**Hình 7.5. Mô hình mạng
lưới bán dẫn p NiO
pha tạp Li^{2+}**



**Hình 7.6. Mô hình mạng
lưới bán dẫn p NiO
pha tạp Cr^{3+}**

Hình 7.4 là mô hình oxyt thiếu kim loại NiO. Cứ mỗi vị trí khuyết ion Ni^{2+} lại có hai ion Ni^{3+} bù vào. Ion hoá trị ba Ni^{3+} có thể coi như một ion hoá trị hai Ni^{2+} kết hợp với một “lỗ hổng electron” (hay là vắng một electron). Sự dẫn điện được thực hiện bằng khuếch tán các lỗ hổng electron (electron holes) tích điện dương này vì thế nó được gọi là bán dẫn loại p.

Cơ chế của quá trình dẫn điện như sau: Các lỗ hổng electron Ni^{3+} di chuyển từ bề mặt phân chia oxyt / khí đến bề mặt phân chia oxyt / kim loại bằng cách nhận một electron từ cation láng giềng Ni^{2+} :



Ở đây không có sự chuyển động của ion mà chỉ có sự trao đổi electron. Khi đã đến bề mặt phân chia oxyt / kim loại thì lỗ hổng electron Ni^{3+} nhận electron từ kim loại và trở thành Ni^{2+} .

Các hình 7.5, 7.6 là mô hình mạng bán dẫn p NiO có pha tạp Li^{+} và Cr^{3+} .

Khi pha tạp Li^+ thì sự trung hoà về điện do tăng các lỗ hổng dương (positive holes) Ni^{3+} , còn khi pha tạp Cr^{3+} thì bằng tăng vị trí khuyết cation (cation vacancy). Pha tạp Li^+ làm cho $(\text{Ni}, \text{Li})\text{O}$ trở thành bán dẫn p và xúc tác tốt, còn pha tạp Cr^{3+} làm cho $(\text{Ni}, \text{Cr})\text{O}$ có độ khuếch tán cation tốt hơn NiO tinh khiết. Vì lý do trên hợp kim Ni chứa vài phần trăm Cr bị oxy hoá nhanh hơn Ni tinh khiết. NiO pha tạp Li^+ có tốc độ oxy hoá thấp hơn NiO tinh khiết.

Tóm lại, sự oxy hoá của một số kim loại bị khống chế bởi sự khuếch tán của các khuyết tật ion (ionic defects) qua lớp gỉ. Một ion có thể trở nên linh động hơn khi có khuyết tật loại xen kẽ hay khuyết ở mạng bên cạnh.

7.3. CƠ CHẾ ĂN MÒN KHÍ KHÔ

Sự tạo thành oxyt xảy ra theo cơ chế điện hoá.

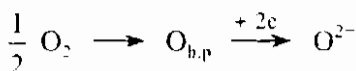
Quá trình oxy hoá kim loại trong khí quyển khô ở nhiệt độ cao gồm hai giai đoạn:

- Ở bề mặt phân chia kim loại / oxyt xảy ra phản ứng oxy hoá kim loại:

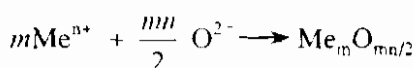


Me là kim loại bị oxy hoá.

- Ở bề mặt phân chia oxyt / không khí (O_2) xảy ra phản ứng khử oxy:

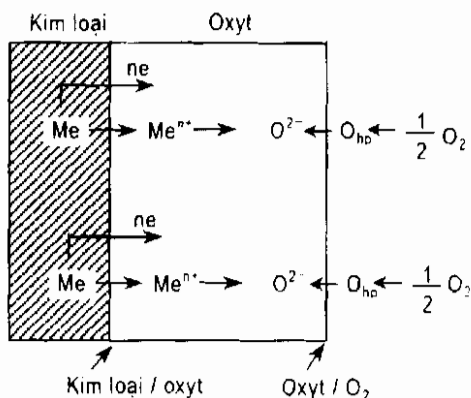


Phản ứng tổng:



Trong quá trình ăn mòn khí khô, một màng rắn sản phẩm ăn mòn tạo thành trên bề mặt kim loại.

Người ta thấy rằng có sự ưu tiên khuếch tán của ion kim loại qua lớp oxyt so với khuếch tán ion O^{2-} (hoặc S^{2-} , Cl^- ...) vào trong lớp oxyt.



Hình 7.7. Sơ đồ oxy hoá kim loại trong không khí ở nhiệt độ cao

Hình 7.7 là sơ đồ oxy hoá kim loại trong không khí ở nhiệt độ cao.

7.4. MÀNG OXYT BẢO VỆ

7.4.1. Yêu cầu đối với màng bảo vệ

Màng bảo vệ phải có những tính chất sau:

- Phải xít chặt và bao phủ toàn bộ bề mặt kim loại.
- Bền với tác động của môi trường.
- Phải bám dính tốt với kim loại nền.
- Hệ số nở dài của oxyt phải gần với của kim loại nền, nếu không sẽ gây ứng suất lớn và lớp oxyt bị bong ra.

7.4.2. Tỷ số Pilling - Bedworth và khả năng bảo vệ của màng oxyt

Khả năng bảo vệ của màng oxyt phụ thuộc vào tỷ số giữa thể tích của lớp oxyt hình thành và thể tích kim loại. Tỷ số này gọi là tỷ số Pilling - Bedworth

$$\frac{V_{\text{oxyt}}}{V_{\text{Me}}} = \frac{\frac{M_{\text{oxyt}}}{n \cdot \rho_{\text{oxyt}}}}{\frac{A_{\text{Me}}}{\rho_{\text{Me}}}}$$
$$\frac{V_{\text{oxyt}}}{V_{\text{Me}}} = \frac{M_{\text{oxyt}} \cdot \rho_{\text{Me}}}{n \cdot \rho_{\text{oxyt}} \cdot A_{\text{Me}}} \quad (7.7)$$

trong đó M_{oxyt} - trọng lượng phân tử của oxyt;

$\rho_{\text{oxyt}} \cdot \rho_{\text{Me}}$ - khối lượng riêng của oxyt và kim loại;

A_{Me} - trọng lượng nguyên tử của kim loại;

n - chỉ số của kim loại trong oxyt.

Khi $\frac{V_{\text{oxyt}}}{V_{\text{Me}}} > 1$, màng có tính bảo vệ. Đó là màng oxyt của các kim loại Cd,

Al, Ti, Zn, Ni, Cu, Cr.

Khi $\frac{V_{\text{oxyt}}}{V_{\text{Me}}} < 1$, màng xốp không có tính bảo vệ. Đó là màng oxyt của các

kim loại kiềm và kiềm thổ.

Tuy nhiên những màng oxyt có $\frac{V_{\text{oxyt}}}{V_{\text{Me}}} \gg 1$ cũng bảo vệ kém vì ứng suất nội lớn.

Bảng 7.1 trình bày tính chất của một số oxyt kim loại .

Bảng 7.1. Tính chất của một số oxyt kim loại

Oxyt	Tỷ số Pilling - Bedworth	Khả năng bảo vệ	Loại oxyt
Al ₂ O ₃	1,28	Có	<i>n</i>
CaO	0,64	Không	<i>n</i>
CdO	1,42	Không	<i>n</i>
Co ₂ O ₃	2,40	Có	<i>p</i>
Cu ₂ O	1,67	Có	<i>p</i>
Cr ₂ O ₃	2,02	Có	<i>p</i>
FeO	1,78	Có	<i>p</i>
MgO	0,81	Có	<i>n/p</i>
MnO ₂	2,37	Không rõ	<i>n</i>
MoO ₃	3,27	Không	<i>n</i>
NiO	1,70	Có	<i>p</i>
PbO	1,28	Không	<i>p</i>
SiO ₂	2,15	Có	<i>n</i>
Ta ₂ O ₅	2,47	Không	<i>n</i>
Ti ₂ O ₃	1,76	Không	<i>n/p</i>
UO ₂	1,97	Không	<i>p</i>
WO ₃	1,87	Không	<i>n</i>
ZnO	1,58	Không	<i>n</i>
ZrO ₂	1,57	Có	<i>n</i>

7.5. CÁC QUY LUẬT TẠO THÀNH MÀNG OXYT

7.5.1. Quy luật parabol

Khi lớp oxyt sít chặt và bám tốt lên bề mặt kim loại thì tốc độ phát triển màng bị khống chế bởi khuếch tán ion. Giữa sự tăng trọng lượng trên đơn vị diện tích W và thời gian có quan hệ parabol:

$$W^2 = k_1 t + k_2 \quad (7.8)$$

k_1 , k_2 - những hằng số không phụ thuộc thời gian.

Các kim loại Fe, Cu, Co, Ni bị oxy hoá theo quy luật này.

7.5.2. Quy luật bậc nhất

Khi lớp oxyt xốp hoặc bị nứt nẻ thì giữa sự tăng trong lượng màng trên đơn vị diện tích và thời gian có quan hệ bậc nhất:

$$W = k_3 t \quad (7.9)$$

k_3 - hằng số.

Dưới điều kiện này oxy liên tục tới oxy hoá bề mặt kim loại vì màng xốp và nứt nẻ không có tác dụng ngăn cản.

Na, K bị oxy hoá theo quy luật này và tỷ số Pilling - Bedworth nhỏ hơn 1. Tantal và niobi bị oxy hoá theo quy luật bậc nhất với tỷ số $\frac{V_{\text{oxyt}}}{V_{\text{Me}}}$ khoảng 2.5.

7.5.3. Quy luật logarit

Với lớp oxyt rất mỏng (khoảng 1000 Å), tạo thành ở nhiệt độ tương đối thấp thì giữa W và thời gian có quan hệ logarit:

$$W = k_4 \log(k_5 t + k_6) \quad (7.9)$$

k_4, k_5, k_6 - các hằng số.

Al, Cu, Fe và một vài kim loại khác bị oxy hoá theo quy luật này ở nhiệt độ thường hoặc cao hơn một chút.

7.5.4. Quy luật lập phương và các quy luật khác

Ở điều kiện đặc biệt một vài kim loại bị oxy hoá theo quy luật lập phương:

$$W^3 = k_7 t + C \quad (7.8)$$

k_7, C - các hằng số.

Người ta còn thấy số mũ của W có thể nhỏ hơn 3 (ví dụ, 2.5) hoặc lớn hơn (ví dụ, 3, 4...).

7.6. ẢNH HƯỞNG CỦA SỰ TẠO THÀNH HỢP KIM TỚI SỰ OXY HOÁ KIM LOẠI

Các hình từ 7.1. đến 7.6 cho thấy nồng độ khuyết tật ion (khuyết anion và thừa điện tử, hoặc khuyết ion kim loại và lỗ hổng điện tử) có thể bị ảnh hưởng khi có các ion lạ trong mạng tinh thể (hiệu ứng pha tạp).

Dựa trên tính trung hoà về điện trong hợp chất, Hauffe và Wagner đề xuất quy luật sau:

1. Với oxyt loại *n* (thừa kim loại, ví dụ, ZrO_2 , ZnO)

- Thêm cation hoá trị thấp vào trong mạng sẽ làm tăng nồng độ cation xen kẽ hoặc khuyết anion và giảm nồng độ điện tử tự do. Do đó tốc độ oxy hoá, bị khống chế bởi khuếch tán, sẽ tăng lên.

- Thế các cation có hoá trị cao sẽ làm giảm nồng độ của cation xen kẽ hoặc khuyết anion và tăng nồng độ của điện tử dư. Tốc độ oxy hoá, bị khống chế bởi khuếch tán sẽ giảm xuống.

2. Với oxyt kim loại *p* (thiếu kim loại, ví dụ, NiO , CoO)

a) Thêm cation hoá trị thấp sẽ làm giảm nồng độ của khuyết cation hay anion xen kẽ và tăng số lỗ hổng electron. Tốc độ oxy hoá, khống chế bởi khuếch tán, sẽ giảm.

b) Thêm cation hoá trị cao sẽ làm tăng nồng độ của khuyết cation hoặc anion xen kẽ và giảm nồng độ lỗ hổng electron (electron holes). Tốc độ oxy hoá, bị khống chế bởi khuếch tán, sẽ giảm xuống.

Bảng 7.2 cho thấy ảnh hưởng của pha tạp đến sự oxy hoá kim loại. Các ion lạ (Al^{3+} , Li^+) được thế vào bán dẫn *n* ZnO . Li^+ sẽ tăng tốc độ oxy hoá kẽm.

Bảng 7.2. Sự oxy hoá của kẽm và hợp kim ở $390^\circ C$, $P_{O_2} = 1 \text{ atm}$

Vật liệu	Hằng số tốc độ trong quy luật parabol k_1 , $g^2/cm^4.h$
Zn	8.10^{-10}
Zn + 1% nguyên tử phần Al	1.10^{-11}
Zn + 0,4% nguyên tử phần Li	2.10^{-7}

Ảnh hưởng của ion lạ đến cấu trúc khuyết tật của bán dẫn *p* được trình bày trên các hình 7.5, 7.6. Ta thấy ảnh hưởng của Li^+ ngược với trong bán dẫn loại *n* ZnO .

Kim loại Li vốn không có độ bền oxy hoá lại tăng độ bền oxy hoá của Ni (bảng 7.3). Trái lại thêm Cr lại giảm mạnh độ bền oxy hoá của Ni (bảng 7.4).

Bảng 7.3. Ảnh hưởng của hơi liti oxyt đến sự oxy hoá của Ni ở 1000°C trong oxy

Khí	Hằng số tốc độ trong quy luật parabol $k_1, g^2/cm^4.h$
O ₂	$2,5 \cdot 10^{-10}$
O ₂ + Li ₂ O	$5,8 \cdot 10^{-11}$

Bảng 7.4. Sự oxy hoá của Ni và hợp kim

Phần trăm trọng lượng Cr	Hằng số tốc độ trong quy luật parabol $k_1, g^2/cm^4.s$
0	$3,8 \cdot 10^{-10}$
0,3	$15 \cdot 10^{-10}$
1,0	$28 \cdot 10^{-10}$
3,0	$36 \cdot 10^{-10}$
10,0	$5,0 \cdot 10^{-10}$

7.7. PHẢN ỨNG CỦA KIM LOẠI VỚI CÁC KHÍ KHÁC Ở NHIỆT ĐỘ CAO

7.7.1. Phản ứng khử cacbua

7.7.1.1. Tác dụng của hydro

Nếu thép tiếp xúc với hydro ở nhiệt độ cao

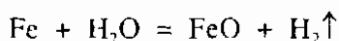
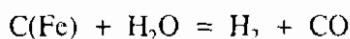


Cacbua (cacbit) hay cacbon hoà tan (ký hiệu là C(Fe) phản ứng với hydro tạo thành metan.

Vì hydro khuếch tán sâu vào trong kim loại, nên khi sinh ra CH₄ có thể gây nứt.

Thêm Mo, Cr sẽ tăng độ bền với nứt vì chúng tạo thành cacbua bền hơn về phương diện nhiệt động so với sắt.

Nếu trong khí hydro còn có hơi nước thì sẽ xảy ra phản ứng:



Tóm lại hơi hydro - hơi nước vừa khử cacbua vừa oxy hoá.

7.1.1.2. Tác dụng của hỗn hợp CO + CO₂

Thường gặp hỗn hợp này khi chưng cất dầu mỏ và đốt nhiên liệu. Chúng khử cacbua theo phản ứng:



và oxy hoá sắt:



7.7.2. Tác dụng của sunfua

Màng sunfua có tính bảo vệ kém hơn màng oxyt tương ứng vì màng sunfua xốp hơn.

Oxy và sunfua cạnh tranh phản ứng với các nguyên tố trong hợp kim. Oxy là chất oxy hoá mạnh hơn và các màng oxyt bảo vệ của Al, Cr được ưu tiên tạo thành. Tuy nhiên trong sản phẩm khí của quá trình đốt nhiên liệu, hàm lượng oxy bị giảm đi rất nhiều nên các sản phẩm cháy sunfua như SO₂, H₂S dễ dàng phản ứng với hợp kim, đặc biệt tại những nơi màng oxyt bị phá huỷ.

Trong một số điều kiện xác định sự tạo thành sunfua tại bề mặt phân chia kim loại - oxyt có thể làm tăng sự oxy hoá vì đã vượt qua màng oxyt bảo vệ.

Hợp kim chứa trên 20% Ni có thể phản ứng với sunfua trong môi trường thiếu oxy tạo thành otecti Ni - Ni₃S₂ có nhiệt độ nóng chảy thấp và hoà tan trực tiếp Ni. Coban không có otecti nhiệt độ thấp như vậy nên hợp kim coban có thể dùng được trong điều kiện khắc nghiệt hơn.

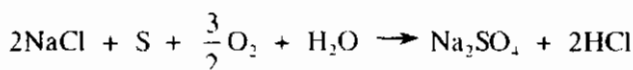
Các hợp kim Ni và sắt chứa Cr, đặc biệt là chứa Al bị oxy hoá tạo thành màng oxyt nhôm oxyt bảo vệ nên bền với tác dụng của sunfua.

7.8. ĂN MÒN NÓNG (HOT CORROSION) DƯỚI TÁC DỤNG CỦA MUỐI HOẶC KIM LOẠI CHẤY LỎNG

Ăn mòn nóng gây ra bởi tác dụng của muối hoặc kim loại nóng chảy lên kim loại hoặc hợp kim. Quá trình thường xảy ra trong các tuốcbin khí có nhiệt độ cao.

Cơ chế ăn mòn nóng rất phức tạp và chưa được nghiên cứu kỹ. Ta xét một vài ví dụ:

Trong môi trường biển NaCl đi vào thiết bị từ không khí hoặc nhiên liệu. Ở bộ phận nóng nhất của thiết bị, NaCl phản ứng với lưu huỳnh và các chất khác tạo thành natri sunfat:



Na_2SO_4 và NaCl tác dụng với nhau tạo thành xỉ chảy lỏng ($\approx 620^\circ\text{C}$) trên bề mặt các chi tiết máy. Xỉ lỏng ở 620°C làm chảy lớp oxyt của Cr và Al bảo vệ bề mặt và thiết bị trần bị xâm thực. Crom tạo thành sunfua ở sâu bên trong. Hợp kim sẽ bị nghèo crom và kim loại sẽ bị oxy hoá thành oxyt hỗn hợp niken - crom dạng Spinel (NiCr_2O_4) kém bền hơn crom oxyt. Hiện nay đang có nhiều công trình nghiên cứu làm giảm ăn mòn nóng. Ví dụ như nâng cao chất lượng hỗn hợp khí nhiên liệu + không khí, giảm lượng sunfua trong nhiên liệu, lọc NaCl để giảm sự tạo thành xỉ nóng chảy hoặc cho thêm các cấu tử hợp kim như Co, Cr, Al, Y (ittri) hoặc thay Y bằng zirconi (Zr).

Chương 8

CÁC PHƯƠNG PHÁP THỬ NGHIỆM VÀ NGHIÊN CỨU VỀ ĂN MÒN

8.1. PHÂN LOẠI VÀ MỤC ĐÍCH

8.1.1. Phân loại

Có ba nhóm phương pháp nghiên cứu:

a) Phương pháp phòng thí nghiệm

Trong phương pháp này ta sử dụng các mẫu, thể tích dung dịch nhỏ và mô phỏng các điều kiện thực tiễn. Các thử nghiệm trong phòng thí nghiệm có tác dụng kiểm tra xem vật liệu nào đáng được nghiên cứu tiếp. Đôi khi cũng xây dựng công xướng dựa trên kết quả thử nghiệm trong phòng thí nghiệm, tuy nhiên cũng có thể xảy ra tai biến khôn lường.

b) Phương pháp hiện trường

Các mẫu được thử nghiệm tại hiện trường: khí quyển, đất, biển... Đặc điểm của phương pháp hiện trường là thời gian thử nghiệm kéo dài.

c) Phương pháp tự nhiên

Phương pháp này dùng các chi tiết thực để nghiên cứu trong điều kiện tự nhiên kể cả trong thời gian vận hành vào bảo quản. Thử nghiệm này dựa trên các kết quả thử nghiệm trong phòng thí nghiệm và hiện trường. Thời gian thử nghiệm của phương pháp này thường kéo dài.

8.1.2. Mục đích

Các phương pháp thử nghiệm có nhiệm vụ:

- a) Đánh giá và chọn lựa vật liệu thích hợp với từng môi trường.
- b) Chọn được phương pháp bảo vệ tốt nhất.
- c) Dự báo thời gian sử dụng và bảo quản của vật liệu.
- d) Nghiên cứu cơ chế của quá trình ăn mòn vật liệu.

8.2. PHƯƠNG PHÁP PHÒNG THÍ NGHIỆM

Trong chương 8 này ta chủ yếu xem xét các phương pháp thử nghiệm trong

phòng thí nghiệm. Để cho kết quả thử nghiệm trong phòng thí nghiệm gần với thực tế, Rosenfeld I. I. khuyên những điều sau:

a) Tiến hành thử nghiệm trong các điều kiện sao cho quá trình ăn mòn xảy ra theo cùng cơ chế với điều kiện làm việc thực của nó. Ví dụ, nếu muốn chọn kim loại làm việc trong khí quyển với quá trình catốt là khử oxy mà trong phòng thí nghiệm lại thử nghiệm trong môi trường axit với quá trình catốt là khử H^+ thì sẽ không thu được kết quả đúng đắn.

b) Thành phần và tính chất của môi trường ăn mòn phải phù hợp với yêu cầu vận hành. Ví dụ, muốn mô phỏng khí quyển biển thì trong môi trường phải có các hạt muối rắn, môi trường khí quyển công nghiệp phải có SO_2 .

c) Cần chú ý điều kiện làm việc của mẫu trong vận hành. Ví dụ, để mô phỏng ăn mòn trong khí quyển phải chọn phương pháp ngưng tụ ẩm chu kỳ trên bề mặt kim loại.

d) Cần chú ý đến bản chất của kim loại. Ví dụ, ngưng tụ gián đoạn sẽ làm tăng ăn mòn và thép, nhưng không làm tăng ăn mòn Ni.

Thấm ướt gián đoạn làm tăng ăn mòn thép và hợp kim nhôm, nhưng không có tác dụng với Al, Cd nguyên chất.

e) Cần phải chọn đúng chỉ tiêu đánh giá ăn mòn. Ví dụ, với thép, đồng, kẽm có thể đánh giá qua tổn thất trọng lượng P_{11} , nhưng Al và hợp kim của nó, thép không gỉ là những kim loại và hợp kim có khuynh hướng bị ăn mòn điểm (pitting corrosion) hoặc tinh giới thì không dùng được vì với chúng thì tổn thất trọng lượng tuy rất bé nhưng độ bền cơ lại giảm rất mạnh.

f) Cần chú ý đến các nhân tố khống chế ăn mòn. Muốn tăng nhanh quá trình ăn mòn (trong thử nghiệm gia tốc) phải tác động đúng đắn đến các nhân tố khống chế quá trình ăn mòn. Ví dụ, trong môi trường trung tính quá trình ăn mòn bị khống chế bởi sự khuếch tán oxy đến bề mặt kim loại thì phải khuấy trộn dung dịch để giảm chiều dày lớp khuếch tán.

g) Tăng nhanh quá trình chủ yếu trong thời gian thử nghiệm. Ví dụ, khi mô phỏng sự ăn mòn trong khí quyển thì cần tăng số chu kỳ thấm ướt để bề mặt luôn đổi mới, không nên nhúng thẳng kim loại vào dung dịch.

h) Tăng nhanh quá trình bằng các cấu tử xâm thực. Ví dụ, khi ăn mòn với quá trình catốt là khử oxy thì cho thêm 0,1% H_2O_2 để nó cùng tham gia quá trình khử ở catốt.

i) Tang nhiệt độ để tăng nhanh quá trình ăn mòn. Điều này thực hiện được khi quá trình catốt là khử H^+ , nhưng không thực hiện được khi quá trình catốt là khử oxy vì khi nhiệt độ tăng ($> 60^\circ C$) độ hoà tan của oxy giảm.

8.2.1. Phương pháp trọng lượng

Tổn thất trọng lượng và độ thâm nhập có thể tính theo các công thức (1.1) và (1.2).

Tuy nhiên để có kết quả chính xác chúng ta phải chuẩn bị bề mặt và chọn các điều kiện thí nghiệm hợp lý.

8.2.1.1. Chuẩn bị bề mặt

Trước tiên bề mặt mẫu thử nghiệm phải được làm sạch gỉ và đánh bóng bằng giấy ráp mịn (số 120), sau đó tẩy dầu mỡ hoá học. Sau khi đo kích thước, mẫu được tẩy bằng dung môi axeton, sấy khô và cân với độ chính xác 0,1 mg (với mẫu nhỏ). Mẫu phải được đưa đi thử nghiệm ngay.

8.2.1.2. Kỹ thuật thử nghiệm

Treo mẫu phải đạt các yêu cầu sau:

- a) Môi trường xâm thực phải tiếp xúc dễ dàng tới mẫu.
- b) Mẫu phải được cách điện với các kim loại khác để tránh hiệu ứng galvanic.
- c) Mẫu phải được sắp xếp sao cho được nhúng hoàn toàn, hoặc nhúng một phần hay tiếp xúc với pha hơi theo đúng yêu cầu nghiên cứu.
- d) Nếu là thử nghiệm tự nhiên thì phải tiếp cận được các chi tiết khi cần thiết.

8.2.1.3. Thời gian thử nghiệm

Chọn đúng thời gian và số chu kỳ thử nghiệm là một việc quan trọng. Ít nhất phải thử nghiệm hai chu kỳ vì nó cho biết sự thay đổi tốc độ ăn mòn theo thời gian. Tốc độ ăn mòn có thể tăng lên, giảm đi hoặc không đổi theo thời gian. Thường thì tốc độ ăn mòn lúc đầu cao sau đó giảm dần. Trong phòng thí nghiệm thường chọn 5 chu kỳ, mỗi chu kỳ là 48 h và dung dịch đều thay mới.

Công thức sau cho phép tính sơ bộ thời gian thử nghiệm:

$$\text{Thời gian thử nghiệm (h)} = \frac{50,8}{\text{Độ thâm nhập } P_{L,n} \text{ (mm/năm)}} \quad (8.1)$$

Ví dụ khi độ thâm nhập $P_{t,n} = 0,254 \text{ mm/năm}$ thì thời gian thử nghiệm là 200 h.

8.2.1.4. Các thử nghiệm về “khoảng thời gian sắp đặt”

Ta có thể xác định được sự thay đổi độ xâm thực của môi trường, tốc độ ăn mòn vật liệu theo thời gian nhờ chương trình thử nghiệm “khoảng thời gian sắp đặt”.

Ta làm bốn thí nghiệm, trong đó ba thí nghiệm được nhúng đồng thời vào cùng một môi trường ăn mòn.

Mẫu thí nghiệm số 1 được lấy ra sau thời gian “đơn vị” (A_1). (Ví dụ, sau 1, 2... ngày).

Mẫu thí nghiệm số 2 được lấy ra sau thời gian t (A_t).

Mẫu 3 được lấy ra sau thời gian $t + 1$ (A_{t+1}).

Mẫu 4 thay cho mẫu 2 (sau khi lấy mẫu 2 ra) ở thời điểm t và lấy ra cùng mẫu 3 tại thời điểm $t + 1$. Như vậy mẫu 4 cũng được thử nghiệm trong thời gian đơn vị.

Các ký hiệu A_1, A_t, A_{t+1} là tổn thất trọng lượng hoặc tốc độ ăn mòn của các mẫu 1, 2, 3.

A_2 là hiệu số tốc độ ăn mòn của thí nghiệm số 2 và 3.

B là tốc độ ăn mòn của mẫu 4.

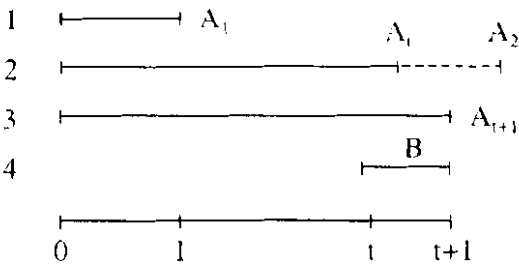
Qui trình thử nghiệm và phân tích kết quả được trình bày trong bảng 8.1, 8.2.

Khi $B = A_1$ thì độ xâm thực của môi trường không thay đổi trong thời gian t . Khi $B < A_1$ độ xâm thực giảm, còn khi $B > A_1$ thì độ xâm thực tăng.

Khi $A_2 = B$ thì tốc độ ăn mòn của hợp kim không thay đổi.

Khi $A_2 < B$ tốc độ ăn mòn giảm còn khi $A_2 > B$ thì tốc độ ăn mòn tăng.

Bảng 8.1. Thử nghiệm thời gian sắp xếp



Bảng 8.2. Phân tích kết quả

Tiêu chuẩn	Độ xâm thực môi trường	Tiêu chuẩn	Tốc độ ăn mòn
$B = A_1$	Không đổi	$A_2 = B$	Không đổi
$B < A_1$	Giảm	$A_2 < B$	Giảm
$B > A_1$	Tăng	$A_2 > B$	Tăng

8.2.1.5. Làm sạch mẫu sau thử nghiệm

Là giai đoạn quan trọng nhất trong thử nghiệm ăn mòn. Trước khi làm sạch phải quan sát mẫu để phát hiện nguyên nhân hoặc cơ chế ăn mòn, ví dụ, những lớp phủ có thể gây ăn mòn điểm.

Thường căn cứ vào tổn thất trọng lượng để tính tốc độ ăn mòn. Sản phẩm ăn mòn có thể bị mất ngay hoặc dễ lấy đi, bám chắc bảo vệ hoặc không bảo vệ.

Qui trình làm sạch mẫu sau thử nghiệm có thể là xối dòng nước, dùng chổi caosu, chổi lông chải mạnh.

Nếu một lượng lớn sản phẩm ăn mòn bám chắc trên mẫu thì phải dùng các biện pháp mạnh hơn, nhưng cũng có nguy cơ loại bỏ cả kim loại chưa bị ăn mòn.

Các phương pháp làm sạch bề mặt kim loại sau thử nghiệm có thể chia thành:

a) Biện pháp cơ học gồm cào, chải, phun cát...

b) Làm sạch điện hoá bằng dòng ngoài, mẫu là catốt trong dung dịch và chế độ sau:

H_2SO_4 5% trọng lượng

Anốt graphit

Catốt: mẫu thử

Mật độ dòng điện catốt $D_c = 20 \text{ A/dm}^2$

Chất ức chế hữu cơ (ví dụ, Rhodine 2 ml/l)

Nhiệt độ: $\sim 74^\circ C$

Thời gian: 3 phút

Sau khi làm sạch rửa bằng kiềm và chải bằng chổi caosu.

Tổn thất trọng lượng của mẫu trống khi làm sạch điện hoá bề mặt được trình bày trong bảng 8.3.

Bảng 8.3. Tổn thất trọng lượng mẫu trống khi làm sạch điện hoá

Vật liệu	Tổn thất trọng lượng mg/cm ²	Vật liệu	Tổn thất trọng lượng mg/cm ²
Al2S	0,0155	Thép không gỉ 18-8	0,00
Đồng thau hải quân	0,002	Chi tinh khiết	0,060
Đồng thau đỏ	0,00	Ni	0,0214
Đồng thau vàng	0,004	Sn	0,00214
Đồng thanh 5% Sn	0,00	Zn	Rất lớn
Đồng	0,002		
Monel	0		
Thép	0,0079		

c) Làm sạch hoá học bằng hoá chất hoặc dung môi được trình bày trong bảng 8.4.

Bảng 8.4. Dung dịch và chế độ làm sạch mẫu sau thử nghiệm

Vật liệu	Hoa chất	Thời gian	Nhiệt độ	Chú thích
1	2	3	4	5
Al và hợp kim	HNO ₃ 70% hay CrO ₃ 2%, H ₃ PO ₄ 5%	2 ÷ 3 phút 10 phút	Phòng 79 ÷ 85°C	Chải tiếp Dùng khi màng oxyt chịu HNO ₃ , tiếp tục làm sạch bằng HNO ₃ 70%
Đồng và hợp kim	15 ÷ 20% HCl hay 5 ÷ 10% H ₂ SO ₄	2 ÷ 3 phút 2 ÷ 3 phút	Phòng Phòng	Chải nhẹ Chải nhẹ
Chi và hợp kim	CH ₃ COOH 1% hay NH ₄ CH ₃ COO 5% hoặc NaOH 80g manitol 50 g/l hydrazin sunfat 0,62g/l	10 phút 5 phút 30 phút hay đến khi sạch	Sôi Nóng Sôi	Chải nhẹ, loại PbO Chải nhẹ, loại PbO hoặc PbSO ₄ Chải nhẹ
Sắt và thép	NaOH 20% bột kẽm 200 g/l hay HCl đặc 50 g/l SnCl ₂ + 20 g/l SbCl ₃	3 phút Đến sạch	Sôi Lạnh	

Tiếp bảng 8.4

1	2	3	4	5
Mg và hợp kim	15% CrO_3 AgCrO_4 1%	15 phút	Sôi	
Ni và hợp kim	HCl 15 ÷ 20% hay H_2SO_4 10%	Đến sạch Đến sạch	Phòng Phòng	
Thép không gỉ	HNO_3 10%	Đến sạch	60°C	Tránh nhiễm Cl
Thiếc và hợp kim	Na_3PO_4 15%	10 phút	Sôi	Chải nhẹ
Kẽm	NH_4Cl 10% tiếp theo trong CrO_3 5%, AgNO_3 1% hay $\text{NH}_4\text{CH}_3\text{COO}$ bão hoà hay NaCN 100 g/l	5 phút 20 s Đến sạch 15 phút	Phòng Sôi Phòng Phòng	Chải nhẹ Chải nhẹ

8.2.2. Chuẩn bị điện cực nghiên cứu trong các thí nghiệm điện hoá

Trạng thái ban đầu của bề mặt điện cực ảnh hưởng đến tính chất điện hoá và ăn mòn không kém thành phần kim loại, dung dịch và các thông số khác.

Mặt khác đôi khi ta phải chọn một bề mặt tiêu chuẩn để nghiên cứu vai trò của các thông số khác như thành phần, cấu trúc kim loại, nhiệt độ, phụ gia.. Khi chuẩn bị bề mặt ta dùng các phương pháp sau:

8.2.2.1. Mài và làm sạch bề mặt điện cực để có bề mặt điện cực bằng phẳng, đồng nhất

Trong quá trình mài và làm sạch, bề mặt điện cực cũng bị biến dạng sâu tới $10 \div 50 \mu\text{m}$ và bị oxy hoá sâu tới $0.02 \mu\text{m}$.

8.2.2.2. Tẩy dầu mỡ

Thường dùng các dung môi hữu cơ như rượu etylic, metylic, axeton, tricloetylen...

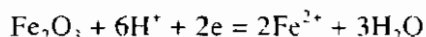
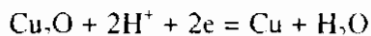
Sau khi tẩy dầu mỡ trên bề mặt điện cực có thể còn sót một màng hấp phụ dung môi nên phải tráng bằng dung môi đã dùng pha chế dung dịch nghiên cứu hoặc đôi khi bằng dung dịch nghiên cứu.

8.2.2.3. Các phương pháp loại trừ lớp oxyt hình thành trong khí quyển

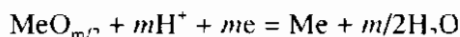
Các lớp oxyt có thể ảnh hưởng tới tính chất điện hoá và ăn mòn kim loại, thậm chí còn thay đổi cả cơ chế phản ứng điện hoá nữa. Ví dụ trong dung dịch H_2SO_4 1 M, bậc của phản ứng oxy hoá Ni ($\text{Ni} \rightarrow \text{Ni}^{2+} + 2e$) bằng $-1,65$ đối với H^+ trong trường hợp Ni được chuẩn bị bề mặt theo các bước trên. Còn khi đã loại oxyt bề mặt bằng phân cực catốt trong 1 h ở điện thế âm hơn điện thế ăn mòn 0,1 V thì bậc của H^+ là $-1,36$.

a) Khử oxyt ở catốt

Màng oxyt bị loại trừ do phản ứng catốt:



Tuy nhiên với các kim loại (Zr, Al) có điện thế điện cực cân bằng của phản ứng:



rất âm thì phản ứng khử màng oxyt kể trên không xảy ra trong dung dịch nước.

Quá trình khử oxyt bằng phân cực catốt thường thực hiện ở điện thế âm hơn điện thế ăn mòn (khoảng $100 \div 200$ mV), thời gian phân cực catốt cũng phải ngắn nhất để khỏi ảnh hưởng đến tính chất của điện cực như bị thấm hydro dẫn tới ăn mòn nứt. Trên đường cong phân cực anốt của thép không gỉ đã loại oxyt bằng phân cực catốt ta phát hiện pic của oxy hoá hydro hấp phụ.

b) Nung trong khí hydro

Có thể khử lớp oxyt bằng nung điện cực trong khí hydro.

Ưu điểm của phương pháp này là:

a) Kim loại ít bị thấm hydro.

b) Khôi phục lại cấu trúc bình thường của lớp bề mặt bị biến dạng sau gia công cơ.

c) Trạng thái và thành phần bề mặt kim loại không bị biến đổi do hấp phụ các cấu tử của dung dịch khi có phân cực catốt.

Khuyết điểm của phương pháp là:

a) Thiết bị phức tạp.

b) Không dùng được khi nghiên cứu ảnh hưởng của biến dạng lạnh và xử lý nhiệt đến tính chất điện hoá và ăn mòn kim loại.

c) Có nguy cơ nổ.

8.2.2.4. Đánh bóng điện hoá

Nhiệm vụ của đánh bóng điện hoá là lấy đi một lớp kim loại mỏng bị biến dạng khi gia công cơ học.

Dung dịch đánh bóng điện hoá vạn năng là hỗn hợp axit axetic loại anhydrit (đóng băng) và HClO_4 đậm đặc (70%).

Ưu điểm của chất điện giải này là tốc độ đánh bóng cao. Ví dụ trong dung dịch gồm 100 ml CH_3COOH (đóng băng) + 2 ml HClO_4 70% ở nhiệt độ $15 \div 17^\circ\text{C}$, mật độ dòng anốt $D_a = 0,4 \div 0,5 \text{ A/cm}^2$, bề mặt Fe bóng sau 10 s, tốc độ ăn mòn kim loại $7 \div 10 \text{ }\mu\text{m/phút}$.

Khuyết điểm chính của phương pháp đánh bóng điện hoá là để lại trên bề mặt kim loại một lớp oxyt mỏng. Ví dụ sau khi đánh bóng điện hoá Al, trên bề mặt có lớp oxyt đặc sít dày $0,1 \text{ }\mu\text{m}$.

8.2.2.5. Luyện tập điện hoá điện cực

Đây là thao tác chuẩn bị bề mặt cuối cùng trước các đo lường điện hoá. Nội dung của phương pháp luyện tập là quét điện thế một vài chu kỳ theo chương trình đã định.

Ví dụ trước khi nghiên cứu hành vi anốt của sắt trong dung dịch axetat ($\text{pH} = 6,72$) người ta luyện tập ba chu kỳ ở khoảng điện thế từ $-0,4 \text{ V}$ đến $0,1 \text{ V}$ (vùng hoạt động và chuyển tiếp trên đồ thị hình 2.28). Chỉ sau khi luyện tập như trên kết quả nghiên cứu mới lặp lại.

8.2.2.6. Chuẩn hoá bề mặt điện cực bằng phương pháp thế tĩnh (potentiostatic)

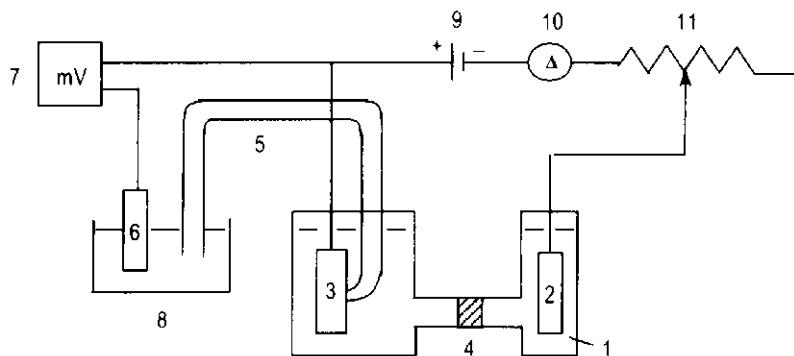
Trong nhiều trường hợp người ta chuẩn hoá trạng thái bề mặt điện cực bằng cách giữ điện cực trong dung dịch nghiên cứu ở một điện thế E nhất định trong một thời gian nhất định. Hai thông số E , t (khi các điều kiện khác như nhau) cho phép định trước cấu trúc lớp kép và các tính chất của màng hấp phụ hay màng pha trên bề mặt điện cực.

Người ta thường dùng phương pháp chuẩn hoá bề mặt thế tĩnh (potentiostatic) trong các đo lường tại vùng thụ động.

8.2.3. Đo đường cong phân cực theo phương pháp dòng tĩnh (galvanostatic)

Trong phương pháp này ta cho một dòng điện một chiều có cường độ I không đổi (mật độ dòng điện i không đổi) đi qua điện cực nghiên cứu và đo điện thế điện cực E tương ứng.

Sơ đồ được trình bày trên hình 8.1.



Hình 8.1. Sơ đồ đo đường cong phân cực

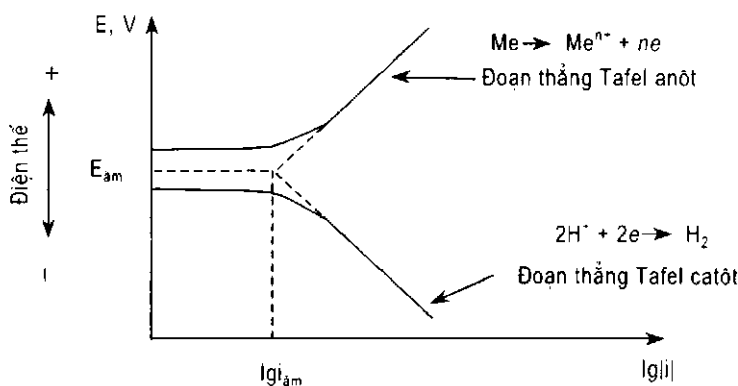
1- bình đo; 2- điện cực phụ; 3- điện cực nghiên cứu; 4- màng xốp; 5- cầu KCl bão hoà; 6- điện cực so sánh; 7- milivon kế có tổng trở đầu vào lớn hơn $10^7 \Omega$; 8- bình trung gian chứa dung dịch bão hoà KCl; 9- acquy; 10- ampe kế; 11- biến trở

Cho nhiều giá trị mật độ dòng anốt i_a , do các giá trị E_a , vẽ đường $E_a = f(\lg i_a)$.

Đổi cực, cho nhiều giá trị mật độ dòng catốt i_c , do các giá trị E_c , vẽ đường $E_c = f(\lg |i_c|)$.

Các đường $E_a = f(\lg i_a)$, $E_c = f(\lg |i_c|)$ là các đường cong phân cực anốt và catốt đo theo phương pháp dòng tĩnh tức là dòng không đổi (hình 8.2).

Ngoại suy 2 đoạn thẳng Tafel của hai đường cong phân cực anốt và catốt đến gặp nhau ở điểm O. Từ O hai đường thẳng góc xuống trục tung và trục hoành ta sẽ được điện thế ăn mòn $E_{a,m}$ và logarit của mật độ dòng ăn mòn $\lg i_{a,m}$.



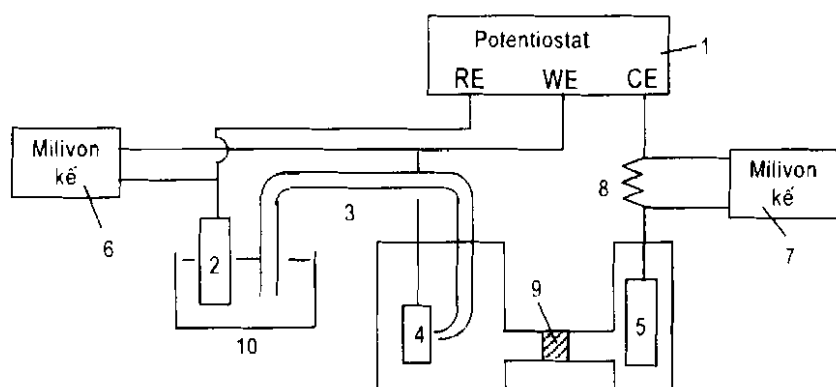
Hình 8.2. Đường cong phân cực anốt và catốt đo theo phương pháp dòng tĩnh (galvanostatic)

8.2.4. Đo đường cong phân cực theo phương pháp thế tĩnh (potentiostatic)

Điện thế trên điện cực làm việc 4 (điện cực nghiên cứu, hình 8.3) được một máy điện tử đặc biệt gọi potentiostat duy trì ở một giá trị không đổi so với điện cực so sánh. Cho áp lên điện cực làm việc các điện thế khác nhau và ghi lại dòng điện đáp ứng.

Hình 8.3 là sơ đồ đo đường cong phân cực bằng phương pháp thế tĩnh. Mật độ dòng điện i đo được thông qua đo điện thế rơi trên milivon kế 7 và điện trở R_s đã biết:

$$i = \frac{E \text{ (đo được trên 7)}}{\text{Diện tích điện cực làm việc } S \times R_s} \quad (8.2)$$

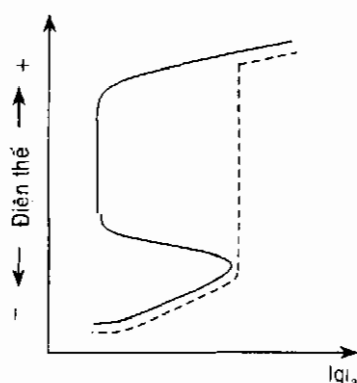


Hình 8.3. Sơ đồ phương pháp đường cong phân cực theo phương pháp thế tĩnh:

- 1- potentiostat; 2- điện cực so sánh; 3- cầu KCl bão hoà; 4- điện cực làm việc; 5- điện cực phụ; 6, 7- milivon kế có tổng trở đầu vào lớn hơn $10^7 \Omega$; 8- điện trở mẫu đã biết giá trị; 9- sứ xốp để phân ly dung dịch; 10- bình trung gian chứa dung dịch KCl bão hoà; RE, WE, CE- các đầu nối điện cực so sánh, làm việc và đối với potentiostat

Vẽ đường cong phân cực $E = f(\lg|i|)$ rồi ngoại suy các đoạn thẳng Tafel như phương pháp dòng tĩnh ta được mật độ dòng ăn mòn i_{am} và điện thế ăn mòn E_{am} .

Phương pháp thế tĩnh ngày nay được dùng nhiều vì nó xác định được sự thụ động trên đường cong phân cực anốt trong khi phương pháp dòng tĩnh bất lực (hình 8.4).

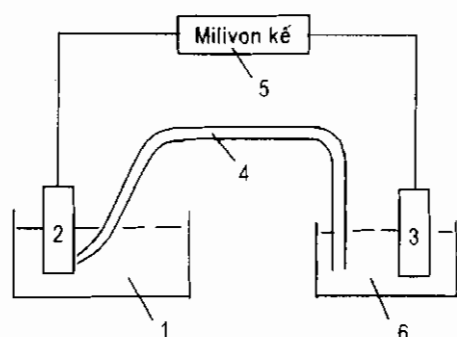


Hình 8.4. Đường cong phân cực anôt:

đường liền — đo bằng phương pháp thế tĩnh;
đường đứt --- đo bằng phương pháp dòng tĩnh.

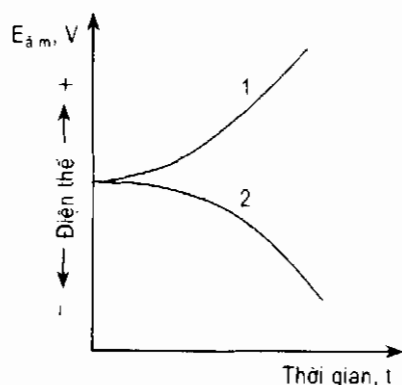
8.2.5. Đo điện thế ăn mòn theo thời gian

Phương pháp đo điện thế ăn mòn theo thời gian ($E_{am} = f(t)$) không cần dòng áp từ ngoài lên điện cực làm việc, cũng không cần potentiostat để duy trì điện thế điện cực làm việc. Điện thế ăn mòn được đo theo thời gian, sau đó vẽ đường $E_{am} = f(t)$. Sơ đồ đo được trình bày trên hình 8.5.



Hình 8.5. Sơ đồ đo điện thế ăn mòn – thời gian ($E_{am} = f(t)$):

- 1- bình đo chứa dung dịch nghiên cứu;
- 2- điện cực làm việc (nghiên cứu);
- 3- điện cực so sánh; 4- cầu chứa dung dịch KCl bão hoà; 5- milivon kế có tổng trở đầu vào lớn hơn $10^7 \Omega$; 6- bình trung gian chứa dung dịch KCl bão hoà



Hình 8.6. Biến thiên điện thế ăn mòn theo thời gian:

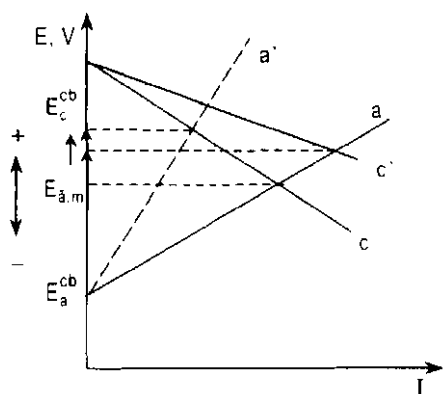
- 1- điện thế ăn mòn E_{am} dịch chuyển về phía dương hơn; 2- điện thế ăn mòn E_{am} dịch chuyển về phía âm hơn

Quan hệ giữa E_{am} và thời gian được trình bày trên hình 8.6.

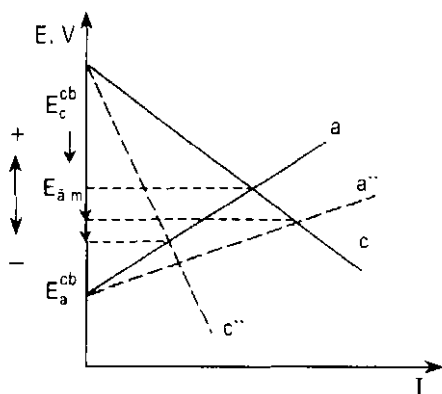
Ta thấy điện thế ăn mòn có thể dịch chuyển về phía dương hơn hoặc âm hơn.

Điện thế ăn mòn dịch chuyển về phía dương hơn có thể do quá trình anốt bị kìm hãm (đường $E_a^{ch} a'$ trên hình 8.7) hoặc quá trình catốt trở nên dễ dàng hơn ($E_c^{ch} c'$ trên hình 8.7).

Còn điện thế ăn mòn dịch chuyển về phía âm hơn có thể do quá trình anốt xảy ra dễ dàng hơn (đường $E_a^{ch} a''$ trên hình 8.8) hoặc quá trình catốt bị kìm hãm (đường $E_c^{ch} c''$ trên hình 8.8).



Hình 8.7. Điện thế ăn mòn dịch chuyển về phía dương hơn



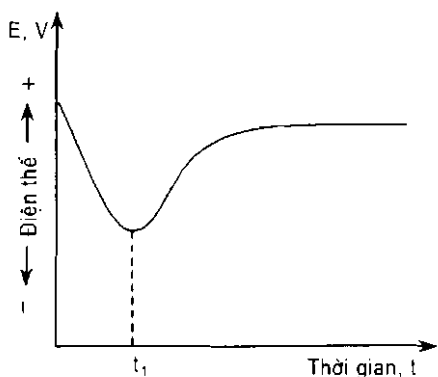
Hình 8.8. Điện thế ăn mòn dịch chuyển về phía âm hơn

Đo tổn thất trọng lượng P_{tl} có thể giúp ta xác định nguyên nhân của sự dịch chuyển điện thế ăn mòn về phía dương hơn. Nếu tổn thất trọng lượng P_{tl} giảm khi tăng thời gian thử nghiệm thì quá trình anốt bị kìm hãm.

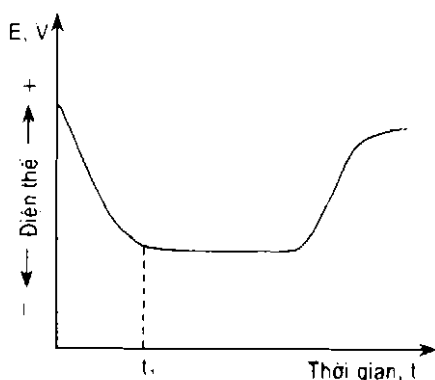
Những thí nghiệm tương tự cũng xác định được nguyên nhân của sự dịch chuyển điện thế về phía âm hơn.

Chúng ta cũng có thể xác định được khả năng khôi phục màng thụ động của kim loại bằng cách quan sát biến thiên điện thế điện cực sau khi ngừng chải sạch bề mặt của nó (thời điểm t_1 trên hình 8.9 và 8.10).

Như ta đã biết khi bề mặt được chải sạch màng thụ động thì điện thế sẽ dịch chuyển về phía âm hơn: kim loại bị hoạt hoá. Sau khi ngừng làm sạch, màng thụ động lại hình thành và điện thế lại dịch chuyển về giá trị cũ. Nếu thời gian cần thiết để điện thế trở về giá trị cũ ngắn thì kim loại được coi là có khả năng tái thụ động tốt.



**Hình 8.9. Màng thu động
khôi phục nhanh**



**Hình 8.10. Màng thu động
khôi phục chậm**

8.2.6. Phương pháp điện trở phân cực

8.2.6.1. Nguyên lý

Phương trình cơ bản của phương pháp này đã được biết từ lâu, nhưng phương pháp điện trở phân cực chỉ được áp dụng rộng rãi từ năm 1956 sau công trình của Stern - Geary.

Theo công thức (2.34c) thì điện trở phân cực R_p tại điện thế lân cận điện thế ăn mòn trong trường hợp quá trình catốt là khử ion H^+ sẽ là:

$$R_p = \left[\frac{d(\Delta E_{am})}{di} \right]_{E_{am}} = \frac{a_H \cdot b_{Mc}}{2,3 i_{am} (a_H + b_{Mc})} = \frac{B}{i_{am}}$$

trong đó
$$B = \frac{a_H \cdot b_{Mc}}{2,3 (a_H + b_{Mc})} \quad (8.3)$$

a_H, b_{Mc} - độ dốc của đường cong phân cực catốt khử ion hydro $2H^+ + 2e \rightarrow H_2$ và của đường cong phân cực anốt khi kim loại bị ăn mòn (oxy hoá): $Me \rightarrow Me^{n+} + ne$.

Với các phản ứng catốt khác ta cũng có phương trình tương tự, nhưng phải thay a_H bằng độ dốc của đường cong phân cực catốt của phản ứng mới.

Như vậy muốn tìm dòng ăn mòn i_{am} ta phải biết độ dốc của các đường cong phân cực anốt, catốt và điện trở phân cực R_p ở lân cận E_{am} .

Để xác định R_p ta phải đo đường cong phân cực tại hai phía của điện thế ăn

mòn ($E_{am} \pm 10 \text{ mV}$) sau đó tính độ dốc của đoạn đó tại E_{am} (hình 8.11): $R_p = \text{tg}\alpha$.

Sau đó thế R_p và các độ dốc của đường cong phân cực catốt, anốt vào phương trình (2.34c) sẽ tìm được i_{am} .

Độ chính xác của phương pháp điện trở phân cực phụ thuộc nhiều yếu tố:

a) Điện trở ôm của dung dịch điện giải:

Điện trở tổng cộng R đo được là tổng điện trở phân cực R_p và điện trở dung dịch điện giải R_Ω :

$$R = R_p + R_\Omega \quad (8.4)$$

Bình thường $R_p \gg R_\Omega$ nên nó không ảnh hưởng gì đến kết quả.

Nếu R_Ω lớn thì phải tăng độ dẫn điện của dung dịch hoặc loại trừ bằng cách khác.

b) Các hằng số Tafel (độ dốc đường cong phân cực anốt, catốt).

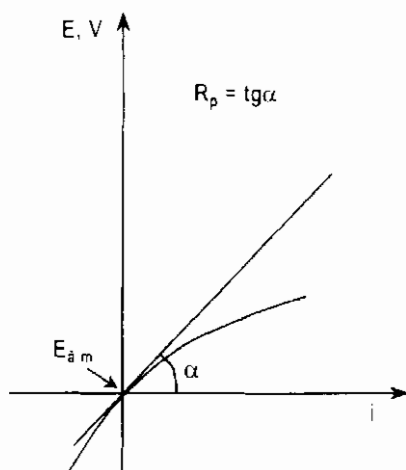
Theo Stern và Weisert thì b_{Mc} (hay còn gọi là β_a) thay đổi từ 0,06 đến 0,12 V, còn độ dốc của đường cong phân cực catốt a_{Hl} (hay β_c) thay đổi từ 0,06 V đến ∞ (khi có không chế khuếch tán chất oxy hoá).

Nếu ta thế các trường hợp giới hạn ví dụ $\beta_a = b_{Mc} = 0,06$, $\beta_c = a_H = a_{OX} = 0,06$ và $\beta_a = 0,12$; $\beta_c = \infty$ vào công thức (2.34c) thì ta có giá trị của B lần lượt bằng 0,0174 và 0,026. Như vậy sai số giữa hai trường hợp không quá hai lần. Vì thế đối với một hệ chưa biết ta có thể dùng công thức gần đúng sau:

$$i_{am} = \frac{0,026}{R_p} \quad (8.5)$$

Tuy nhiên khi phản ứng điện cực phức tạp thì phương pháp điện trở phân cực không cho kết quả chính xác.

c) Đoạn đường cong phân cực không phải là đường thẳng trong khoảng $\pm 10 \text{ mV}$ lân cận điện thế ăn mòn E_{am} . Nếu ta đo đường cong phân cực bằng phương



Hình 8.11. Sơ đồ xác định điện trở phân cực

pháp đo từng điểm thì đường cong phân cực thường gãy khúc, còn nếu đo tự động bằng quét thế thì độ dốc của đoạn thẳng phụ thuộc tốc độ quét.

d) Các phản ứng oxy hoá khử cạnh tranh. Các phản ứng oxy hoá khử khác xảy ra đồng thời với các phản ứng chính cũng làm sai lệch các kết quả đo lường mật độ dòng ăn mòn i_{am} bằng phương pháp điện trở phân cực.

8.2.6.2. Áp dụng

Điện trở phân cực R_p là thước đo khả năng chống ăn mòn của vật liệu.

Ví dụ với cốt thép trong bê tông thì khi $R_p < 50 \text{ k}\Omega \cdot \text{cm}^2$ bắt đầu bị ăn mòn, còn khi $R_p < 20 \text{ k}\Omega \cdot \text{cm}^2$ sẽ bị ăn mòn nghiêm trọng. Trong bê tông, thường $B = 0,026 \text{ V}$.

8.2.7. Phương pháp quét thế vòng

Trong phương pháp quét thế vòng (cyclic voltammetry), phân cực anốt được thực hiện ở một tốc độ quét nhất định.

Ta chú ý hai điểm của quét thế vòng:

a) Điện thế tại đó dòng anốt tăng đáng kể với thế áp đặt (điện thế đánh thủng - breakdown potential).

Nói chung điện thế này càng dương thì kim loại và hợp kim càng khó bị ăn mòn cục bộ.

b) Điện thế, tại đó vòng trở kết thúc khi quét thế theo chiều ngược lại.

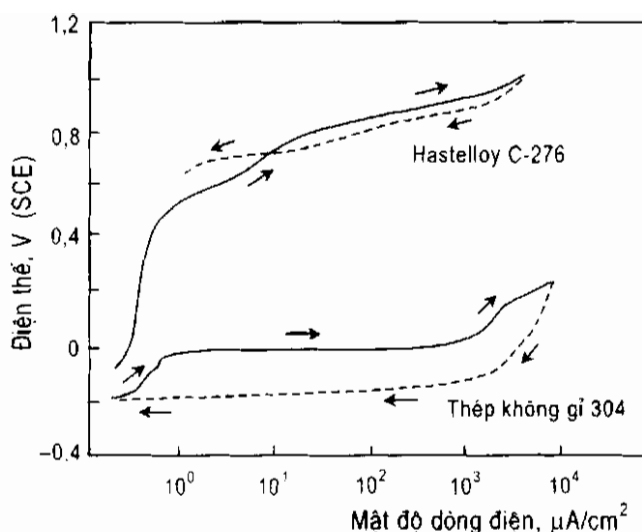
Người ta thấy rằng ăn mòn cục bộ chỉ phát triển tại điện thế dương hơn điện thế này.

Điện thế vòng trở kết thúc càng dương thì ăn mòn cục bộ càng khó xảy ra. Điện thế này được gọi là *điện thế bảo vệ*.

Hình 8.12 trình bày đường quét thế vòng của hợp kim Hastelloy C.276 và thép không gỉ 304 trong dung dịch NaCl 3,5%. Thấy rằng Hastelloy C.276 bền với ăn mòn cục bộ hơn.

Nhược điểm quan trọng nhất của phương pháp quét thế vòng là các điện thế chọc thủng và bảo vệ phụ thuộc vào tốc độ quét thế.

Vấn đề này liên quan đến thời gian cảm ứng để tạo thành pitting, tốc độ tái thụ động hoặc sinh ra quá nhiều pitting trước khi quét thế ngược lại.



Hình 8.12. Đường cong quét thế vòng của Hastelloy C.276 và thép không gỉ 304

8.2.8. Phổ tổng trở điện hoá

8.2.8.1. Cơ sở lý thuyết

Trong phương pháp này chúng ta nghiên cứu đáp ứng của điện cực ăn mòn khi áp đặt lên nó một điện thế xoay chiều biên độ nhỏ có tần số thay đổi trong phạm vi rộng.

Tổng trở $Z(\omega)$ của quá trình điện cực:

$$Z(\omega) = \frac{E(t)}{I(t)} \quad (8.6)$$

t - thời gian.

Điện thế xoay chiều: $E(t) = E_0 \sin \omega t \quad (8.7)$

ω - tần số góc. $\omega = 2\pi f \quad (8.8)$

f - tần số, Hz.

Dòng điện xoay chiều: $I(t) = I_0 \sin(\omega t + \theta) \quad (8.9)$

θ - góc lệch pha giữa $E(t)$ và $I(t)$.

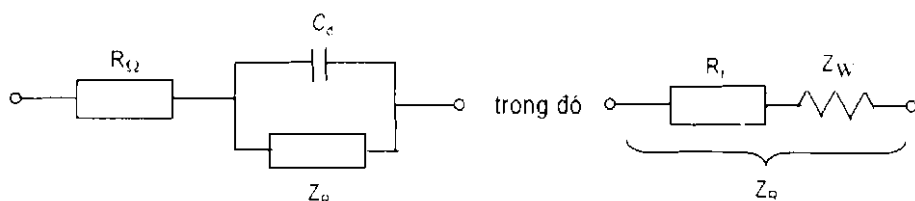
$$Z(\omega) = Z'(\omega) - j.Z''(\omega)$$

trong đó $Z'(\omega)$ - phần thực của tổng trở;

$Z''(\omega)$ - phần ảo của tổng trở;

$$j^2 = -1.$$

Nếu hệ thống bình điện hoá thoả mãn sơ đồ Randles thì tổng trở của nó tương đương như hình 8.13.



Hình 8.13. Sơ đồ tương đương của bình điện hoá

R_Ω - điện trở dung dịch; C_d - điện dung lớp kép; Z_R - tổng trở Randles;

R_t - điện trở chuyển điện tích; Z_W - tổng trở Warburg khi có khống chế khuếch tán

$$Z_{\text{bình điện hoá}} = R_\Omega + \frac{1}{f\omega C_d + \frac{1}{R_t + (1-j)\sigma\omega^{-1/2}}} \quad (8.10)$$

trong đó $Z_W = (1-j)\sigma\omega^{-1/2}$;

σ - hằng số Warburg.

$$Z'_R(\omega) = R_\Omega + \frac{R_t + \sigma\omega^{-1/2}}{\left(\sigma\omega^{1/2}C_d + 1\right)^2 + \omega^2 C_d^2 \left[R_t + \sigma\omega^{-1/2}\right]^2} \quad (8.11)$$

$$Z''_R(\omega) = \frac{\omega C_d \left[R_t + \sigma\omega^{-1/2}\right]^2 + \sigma^2 C_d + \sigma\omega^{-1/2}}{\left(\sigma\omega^{1/2}C_d + 1\right)^2 + \omega^2 C_d^2 \left[R_t + \sigma\omega^{-1/2}\right]^2} \quad (8.12)$$

1. Khi $\omega \rightarrow 0$ thì:

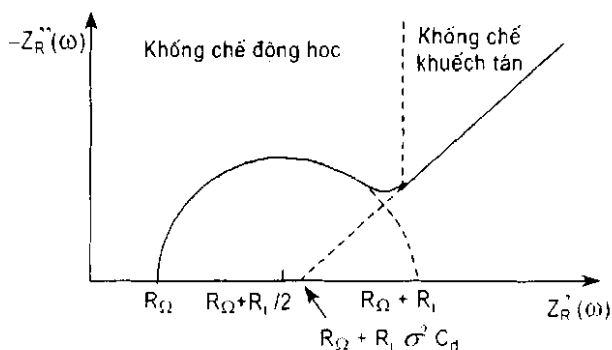
$$Z'_R(\omega) = R_\Omega + R_t + \sigma\omega^{-1/2} \quad (8.13)$$

$$Z''_R(\omega) = -\sigma\omega^{-1/2} - 2\sigma^2 C_d \quad (8.14)$$

Biểu diễn $Z'_R(\omega)$ theo $Z''_R(\omega)$ ta được:

$$Z'_R(\omega) = R_\Omega + R_t - Z''_R(\omega) - 2\sigma^2 C_d \quad (8.15)$$

Đây là phương trình đường thẳng và có thể ngoại suy đến cắt $Z'_R(\omega)$ tại $R_\Omega + R_t - 2\sigma^2 C_d$. Đường thẳng này ứng với khống chế khuếch tán và tổng trở Warburg với góc pha là 45° (hình 8.14).



Hình 8.14.
Phổ Nyquist

2. Khi $\omega \rightarrow \infty$:

Ở tần số cao chỉ có khống chế động học $R_t \gg Z_w$

$$Z_R'(\omega) = R_\Omega + \frac{R_t}{1 + \omega^2 C_d^2 R_t^2} \quad (8.16)$$

$$Z_R''(\omega) = \frac{\omega C_d R_t^2}{1 + \omega^2 C_d^2 R_t^2} \quad (8.17)$$

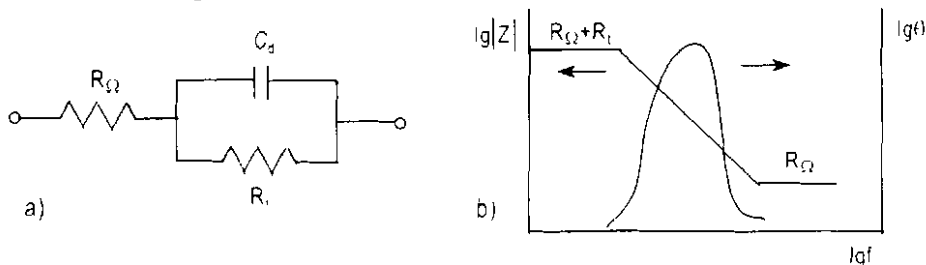
Cuối cùng ta có:

$$\left(Z' - R_\Omega - \frac{R_t}{2} \right)^2 + (Z'')^2 = \left(\frac{R_t}{2} \right)^2 \quad (8.18)$$

(ta bỏ các chỉ số R, ω cho gọn).

Phương trình (8.18) chính là biểu thức của vòng tròn bán kính $\frac{R_t}{2}$ cắt trục Z' tại R_Ω khi $\omega \rightarrow \infty$ và tại $R_t + R_\Omega$ khi $\omega \rightarrow 0$ (hình 8.14).

Trong phương pháp đo tổng trở ta còn có thể biểu diễn các đường cong $\lg|Z|$ theo $\lg f$ và $\lg \theta$ theo $\lg f$. Đó là các đường Bode, ví dụ với mạch tương đương gồm một điện trở R_Ω và tụ điện C_d mắc song song với điện trở chuyển điện tích R_t (điện trở của phản ứng bị khống chế bởi động học giai đoạn chuyển điện tích) thì ta có các đường Bode như hình 8.15.



Hình 8.15. Sơ đồ tương đương (a) và phổ Bode (b)

Tại tần số cao các phần ảo của Z biến mất và chỉ còn R_Ω .

Ở tần số trung bình trên đường $\lg \theta - \lg f$ thấy có một cực đại.

8.2.8.2. Áp dụng trong nghiên cứu ăn mòn

a) Khi quá trình ăn mòn bị khống chế bởi giai đoạn chuyển điện tích thì điện trở phân cực R_p bằng điện trở chuyển điện tích R_i và từ đồ thị hình 8.14 ta tìm được R_i và thay vào (2.34c) hoặc (8.5) tính được i_{am} .

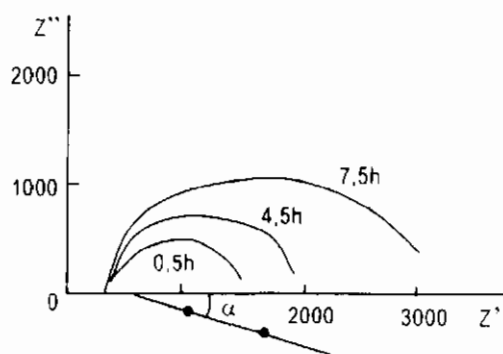
R_p và i_{am} tỷ lệ nghịch với nhau nên quan sát các đồ thị Nyquist cũng là quan sát sự biến thiên của tốc độ ăn mòn.

Nhiều khi phổ Nyquist có các vòng tròn dẹt hẳn. Tâm của vòng tròn không nằm trên trục Z' mà ở dưới (hình 8.16).

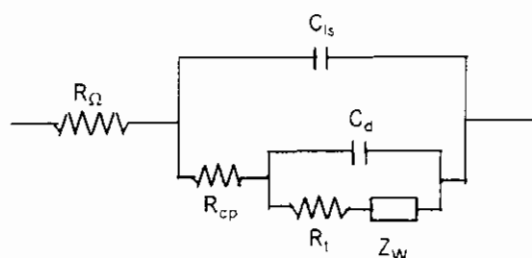
Hiện tượng vòng tròn Nyquist bị nén một góc α như trên được giải thích là trong thời gian kim loại bị ăn mòn trên bề mặt kim loại hình thành một lớp sản phẩm ăn mòn. Khi đó sự ăn mòn kim loại xảy ra dưới màng sản phẩm ăn mòn và quá trình catốt là khử oxy trong lỗ xốp của màng sản phẩm.

b) Khi trên bề mặt kim loại có phủ một màng sơn ta có thể xác định được điện trở của màng sơn bằng các phổ Nyquist.

Sơ đồ tương đương của màng sơn như hình 8.17.



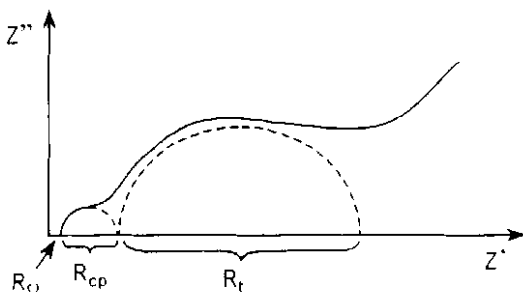
Hình 8.16. Phổ Nyquist của sự ăn mòn thép trong nước máy với các thời gian 7,5 h; 4,5 h và 0,5 h; α là góc nén



Hình 8.17. Sơ đồ tương đương của màng sơn:

R_Ω - điện trở dung dịch; C_{Is} - điện dung của lớp sơn; R_{cp} - điện trở của các lỗ xốp của màng; R_i - điện trở chuyển điện tích; Z_W - tổng trở Warburg; C_d - điện dung lớp kép

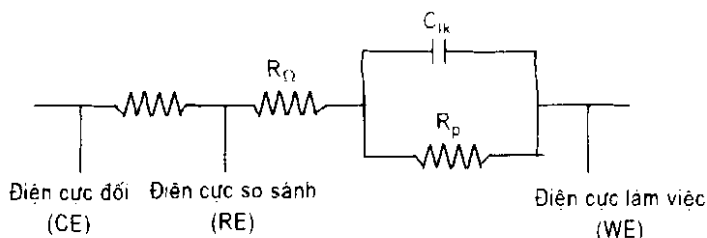
Phổ Nyquist của màng sơn ở hình 8.18.



Hình 8.18. Phổ Nyquist của màng sơn

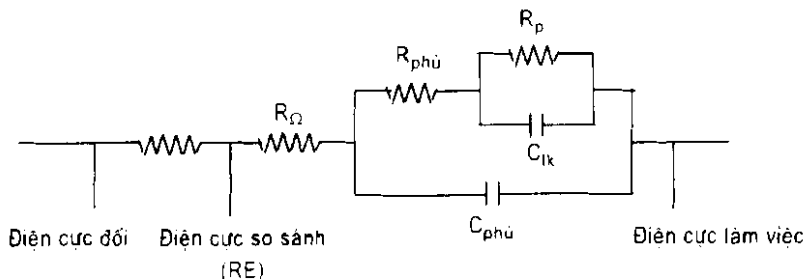
Ta thấy phổ Nyquist có hai vòng tròn. Vòng thứ nhất chính là điện trở các lỗ xốp của màng sơn R_{cp} .

c) Sơ đồ tương đương của cốt thép trần trong bê tông (hình 8.19).



Hình 8.19. Sơ đồ tương đương của thép trần trong bê tông

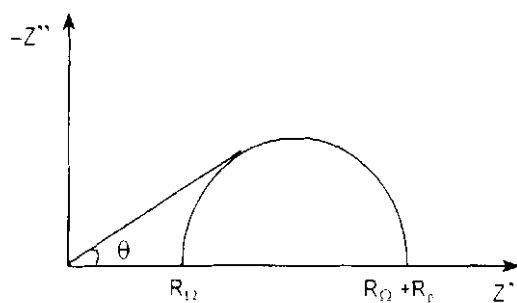
Hình 8.20 là sơ đồ tương đương của thép được phủ hoặc đã bị thụ động trong bê tông.



Hình 8.20. Sơ đồ tương đương của thép được phủ hoặc đã bị thụ động trong bê tông:

$R_{phủ}$ - điện trở lớp phủ; $C_{phủ}$ - điện dung của lớp phủ

Đồ thị Nyquist của thép trong bê tông có dạng như hình 8.21.



Hình 8.21. Đồ thị Nyquist của thép trong bê tông

Đồ thị 8.21 cho phép xác định R_{Ω} , R_p từ đó suy ra tốc độ ăn mòn.

PHỤ LỤC

**Bảng PL1. Điện thế điện cực tiêu chuẩn E^0 trong dung dịch nước
(thang hydro)**

Quá trình điện cực	E^0 , V	Quá trình điện cực	E^0 , V
N		Ac (actini)	
$2\text{NH}_3 \text{ (khí)} = \text{N}_2 + 6\text{H}^+ + 6e$	0,057	$\text{Ac} = \text{Ac}^{3+} + 3e$	$\sim -2,6$
$2\text{NH}_4^+ = \text{N}_2 + 8\text{H}^+ + 6e$	0,275		
$2\text{NH}_4^+ + \text{H}_2\text{O} = \text{N}_2\text{O} + 10\text{H}^+ + 8e$	0,647	Al	
$\text{H}_2\text{N}_2\text{O}_2 = 2\text{NO} + 2\text{H}^+ + 2e$	0,710	$\text{Al} + 6\text{F}^- = [\text{AlF}_6]^{3-} + 3e$	-2,07
$\text{NH}_3 \text{ (khí)} + 2\text{H}_2\text{O} = \text{HNO}_2 + 6\text{H}^+ + 6e$	0,755	$\text{Al} = \text{Al}^{3+} + 3e$	-1,663
$\text{NO}_2 + \text{H}_2\text{O} = \text{HNO}_3 + \text{H}^+ + e$	0,775	$\text{Al} + 3\text{H}_2\text{O} = \text{Al(OH)}_3 + 3\text{H}^+ + 3e$	-1,471
$\text{NO}_2 \text{ (khí)} + \text{H}_2\text{O} = \text{NO}_3^- + 2\text{H}^+ + e$	0,775	$\text{Al} + 2\text{H}_2\text{O} = \text{AlO}_2^- + 4\text{H}^+ + 3e$	-1,262
$\text{N}_2\text{O}_4 + 2\text{H}_2\text{O} = 2\text{HNO}_3 + 2\text{H}^+ + 2e$	0,803	Am (amerixi)	
$\text{N}_2\text{O}_4 + 2\text{H}_2\text{O} = 2\text{NO}_3^- + 4\text{H}^+ + 2e$	0,803	$\text{Am} = \text{Am}^{3+} + 3e$	-2,320
$\text{NO}_2^- + \text{H}_2\text{O} = \text{NO}_3^- + 2\text{H}^+ + 2e$	0,835	$\text{Am} + 3\text{H}_2\text{O} = \text{Am(OH)}_3 + 3\text{H}^+ + 3e$	-1,872
$\text{NH}_4^+ + \text{H}_2\text{O} = \text{NO} + 6\text{H}^+ + 5e$	0,836	$2\text{Am} + 3\text{H}_2\text{O} = \text{Am}_2\text{O}_3 + 6\text{H}^+ + 6e$	-1,676
$\text{NH}_4^+ + 2\text{H}_2\text{O} = \text{HNO}_3 + 7\text{H}^+ + 6e$	0,864	$\text{Am}_2\text{O}_3 + 5\text{H}_2\text{O} = 2\text{Am(OH)}_4 + 2\text{H}^+ + 2e$	-0,185
$\text{HNO}_2 + \text{H}_2\text{O} = \text{HNO}_3 + 2\text{H}^+ + 2e$	0,934	$\text{Am}_2\text{O}_3 + \text{H}_2\text{O} = 2\text{AmO}_2 + 2\text{H}^+ + 2e$	-0,072
$\text{NO} + \text{H}_2\text{O} = \text{HNO}_3 + 3\text{H}^+ + 3e$	0,957	$\text{Am(OH)}_3 + \text{H}_2\text{O} = \text{Am(OH)}_4 + \text{H}^+ + e$	0,420
$\text{NO} + 2\text{H}_2\text{O} = \text{NO}_3^- + 4\text{H}^+ + 3e$	0,957	$\text{Am(OH)}_3 = \text{AmO}_2 + \text{H}_2\text{O} + \text{H}^+ + e$	0,533
$\text{NO} + \text{H}_2\text{O} = \text{HNO}_2 + \text{H}^+ + e$	1,004	$\text{Am}^{4+} + \text{H}_2\text{O} = \text{AmO}_2^+ + 4\text{H}^+ + e$	1,261
$\text{NO} + \text{H}_2\text{O} = \text{NO}_2 \text{ (khí)} + 2\text{H}^+ + 2e$	1,049	$2\text{AmO}_2 + \text{H}_2\text{O} = \text{Am}_2\text{O}_5 + 2\text{H}^+ + 2e$	1,418
$\text{HNO}_2 = \text{NO}_2 \text{ (khí)} + \text{H}^+ + e$	1,093	$2\text{Am(OH)}_4 = \text{Am}_2\text{O}_5 + 3\text{H}_2\text{O} + 2\text{H}^+ + 2e$	1,530
$\text{N}_2\text{O} + 5\text{H}_2\text{O} = 2\text{HNO}_3 + 8\text{H}^+ + 8e$	1,116	$\text{AmO}_2^+ = \text{AmO}_2^{2+} + e$	1,639
$\text{N}_2 + 6\text{H}_2\text{O} = 2\text{HNO}_3 + 10\text{H}^+ + 10e$	1,246	$2\text{Am}^{3+} + 5\text{H}_2\text{O} = \text{Am}_2\text{O}_3 + 10\text{H}^+ + 4e$	1,639
$\text{N}_2\text{O} + 3\text{H}_2\text{O} = 2\text{HNO}_2 + 4\text{H}^+ + 4e$	1,297	$\text{Am}^{3+} + 2\text{H}_2\text{O} = \text{AmO}_2^{2+} + 4\text{H}^+ + 3e$	1,694
$\text{N}_2 + 4\text{H}_2\text{O} = 2\text{NO}_2 + 8\text{H}^+ + 8e$	1,363	$\text{Am}^{3+} + 2\text{H}_2\text{O} = \text{AmO}_2^+ + 4\text{H}^+ + 2e$	1,721
$\text{N}_2 + 4\text{H}_2\text{O} = 2\text{HNO}_2 + 6\text{H}^+ + 6e$	1,454	$\text{Am}^{3+} + 4\text{H}_2\text{O} = \text{Am(OH)}_4 + 4\text{H}^+ + e$	1,746
$\text{N}_2 + 2\text{H}_2\text{O} = 2\text{NO} + 4\text{H}^+ + 4e$	1,678	$\text{Am}_2\text{O}_5 + 2\text{H}^+ = 2\text{AmO}_2^{2+} + \text{H}_2\text{O} + 2e$	1,804
$\text{N}_2 + \text{H}_2\text{O} = \text{N}_2\text{O} + 2\text{H}^+ + 2e$	1,766	$\text{Am}^{3+} + 2\text{H}_2\text{O} = \text{AmO}_2 + \text{H}^+ + e$	1,856
$\text{N}_2 + 2\text{H}_2\text{O} = \text{H}_2\text{N}_2\text{O}_2 + 2\text{H}^+ + 2e$	2,650		

Tiếp theo bảng PL1

Quá trình điện cực	E° , V	Quá trình điện cực	E° , V
$\text{Am}_2\text{O}_5 + \text{H}_2\text{O} = 2\text{AmO}_3 + 2\text{H}^+ + 2e$	1,930	$\text{HBrO} + 2\text{H}_2\text{O} = \text{BrO}_3^- + 5\text{H}^+ + 4e$	1,49
$\text{Am}^{3+} = \text{Am}^{4+} + e$	2,181	$\text{Br}_2 + 6\text{H}_2\text{O} = 2\text{BrO}_3^- + 12\text{H}^+ + 10e$	1,52
		$\text{Br}_2 + 2\text{H}_2\text{O} = 2\text{HBrO} + 2\text{H}^+ + 2e$	1,59
Ba		V	
$\text{Ba} = \text{Ba}^{2+} + 2e$	-2,905	$\text{V} = \text{V}^{2+} + 2e$	-1,175
Be (berili)		$2\text{V} + 2\text{H}_2\text{O} = \text{V}_2\text{O}_2 + 4\text{H}^+ + 4e$	-0,820
$\text{Be} = \text{Be}^{2+} + 2e$	-1,847	$\text{V}^{2+} = \text{V}^{3+} + e$	-0,255
$\text{Be} + 2\text{H}_2\text{O} = \text{Be}(\text{OH})_2 + 2\text{H}^+ + 2e$	-1,820	$\text{VO}^+ = \text{VO}^{2+} + e$	-0,044
$2\text{Be} + 3\text{H}_2\text{O} = \text{Be}_2\text{O}_3 + 6\text{H}^+ + 4e$	-1,387	$\text{V}^{3+} + \text{H}_2\text{O} = \text{VO}^{2+} + 2\text{H}^+ + e$	0,337
$\text{Be} + 2\text{H}_2\text{O} = \text{BeO}_2 + 4\text{H}^+ + 2e$	-0,909	$2\text{V}^{2+} + 5\text{H}_2\text{O} = \text{HV}_2\text{O}_5 + 9\text{H}^+ + 4e$	0,338
		$[\text{V}(\text{CN}_6)]^{4-} = [\text{V}(\text{CN}_6)]^{3-} + e$	0,51
		$\text{V}_2\text{O}_4 + 3\text{H}_2\text{O} = \text{H}_3\text{V}_2\text{O}_7 + 3\text{H}^+ + 2e$	0,806
Bk (beckeli)		$2\text{VO}^{2+} + 3\text{H}_2\text{O} = \text{V}_2\text{O}_5 + 6\text{H}^+ + 2e$	0,958
$\text{Bk}^{3+} = \text{Bk}^{4+} + e$	-1,6	$\text{VO}^{2+} + \text{H}_2\text{O} = \text{VO}_2^- + 2\text{H}^+ + e$	1,004
		$2\text{VO}_2^- + 5\text{H}_2\text{O} = \text{H}_3\text{V}_2\text{O}_7 + 7\text{H}^+ + 2e$	1,096
B		$\text{VO}^+ + 3\text{H}_2\text{O} = \text{VO}_4^{3-} + 6\text{H}^+ + 2e$	1,256
$\text{B} + 4\text{F}^- = [\text{BF}_4]^- + 3e$	-1,04	$\text{VO}^{2+} + 3\text{H}_2\text{O} = \text{H}_2\text{VO}_4 + 4\text{H}^+ + e$	1,314
$\text{B} + 3\text{H}_2\text{O} = \text{H}_3\text{BO}_3 + 3\text{H}^+ + 3e$	-0,869	Bi	
Br		$\text{Bi} + \text{H}_2\text{O} + \text{Cl}^- = \text{BiOCl} + 2\text{H}^+ + 3e$	0,16
$\text{Br}_2 + 4\text{OH}^- = 2\text{BrO}^- + 2\text{H}_2\text{O} + 2e$	0,45	$\text{Bi} + 4\text{Cl}^- = [\text{BiCl}_4]^- + 3e$	0,16
$\text{BrO}^- + 4\text{OH}^- = \text{BrO}_3^- + 2\text{H}_2\text{O} + 4e$	0,54	$\text{Bi} = \text{Bi}^{3+} + 3e$	0,215
$\text{Br}^- + 6\text{OH}^- = \text{BrO}_3^- + 3\text{H}_2\text{O} + 6e$	0,61	$\text{Bi} + \text{H}_2\text{O} = \text{BiOH}^{2+} + \text{H}^+ + 3e$	0,254
$\text{Br}^- + 2\text{OH}^- = \text{BrO}^- + \text{H}_2\text{O} + 2e$	0,76	$\text{Bi} + \text{H}_2\text{O} = \text{BiO}^+ + 2\text{H}^+ + 3e$	0,320
$3\text{Br}^- = \text{Br}_3^- + 2e$	1,05	$2\text{Bi} + 3\text{H}_2\text{O} = \text{Bi}_2\text{O}_3 + 6\text{H}^+ + 6e$	0,371
$2\text{Br}^- = \text{Br}_2 (\text{lỏng}) + 2e$	1,065	$2\text{Bi}_2\text{O}_3 + \text{H}_2\text{O} = \text{Bi}_4\text{O}_7 + 2\text{H}^+ + 2e$	1,338
$2\text{Br}^- = \text{Br}_2 (\text{dung dịch nước}) + 2e$	1,087	$\text{Bi}_4\text{O}_7 + \text{H}_2\text{O} = 2\text{Bi}_2\text{O}_4 + 2\text{H}^+ + 2e$	1,541
$\text{Br}^- + \text{Cl}^- = \text{BrCl} + 2e$	1,2	$\text{Bi}_2\text{O}_4 + \text{H}_2\text{O} = \text{Bi}_2\text{O}_5 + 2\text{H}^+ + 2e$	1,607
$\text{Br}^- + 3\text{H}_2\text{O} = \text{BrO}_3^- + 6\text{H}^+ + 6e$	1,44	$2\text{Bi}^{3+} + 5\text{H}_2\text{O} = \text{Bi}_2\text{O}_5 + 10\text{H}^+ + 4e$	1,759

Tiếp bảng PLI

Quá trình điện cực	E^0, V	Quá trình điện cực	E^0, V
H		Ge	
$2H^+ = H_2 + 2e$	-2,251	$Ge + 3H_2O = GeO_2 \text{ kết tủa} + 4H^+ + 4e$	-0,202
$H^- = H^+ + 2e$	-1,125	$Ge + 3H_2O = H_2GeO_3 + 4H^+ + 4e$	-0,182
$H_2 = 2H^+ + 2e$	0,000	$Ge + H_2O = GeO \text{ hydrat. vàng} + 2H^+ + 2e$	-0,130
$H_2 = H + H^+ + e$	2,106	$Ge = Ge^{2+} + 2e$	0,000
W		Ho (honmi)	
$W + 2H_2O = WO_2 + 4H^+ + 4e$	-0,119	$Ho = Ho^{3+} + 3e$	-2,319
$2WO_2 + 2H_2O = W_2O_5 + 2H^+ + 2e$	-0,031	$Ho + 3H_2O = Ho(OH)_3 + 3H^+ + 3e$	-1,937
$W_2O_5 + H_2O = 2WO_3 + 2H^+ + 2e$	-0,029	Dy	
$W + 4H_2O = WO_4^{2-} + 8H^+ + 6e$	0,049	$Dy = Dy^{3+} + 3e$	-2,353
$[W(CN)_8]^{4-} = [W(CN)_8]^{3-} + e$	0,457	$Dy + 3H_2O = Dy(OH)_3 + 3H^+ + 3e$	-1,956
$W_2O_5 + 3H_2O = 2WO_4^{2-} + 6H^+ + 2e$	0,801	Eu	
Gd		$Eu = Eu^{2+} + 2e$	-3,395
$Gd = Gd^{3+} + 3e$	-2,397	$Eu + 3H_2O = Eu(OH)_3 + 3H^+ + 3e$	-2,002
$Gd + 3H_2O = Gd(OH)_3 + 3H^+ + 3e$	-1,994	$Eu^{2+} = Eu^{3+} + e$	-0,429
Ga		Fe	
$Ga = Gd^{3+} + 3e$	-0,529	$Fe + S^{2-} = FeS + 2e$	-0,97
$Ga + 3H_2O = Ga(OH)_3 + 3H^+ + 3e$	-0,419	$Fe + CO_3^{2-} = FeCO_3 + 2e$	-0,756
$Ga + 3H_2O = GaO_3^{3-} + 6H^+ + 3e$	0,319	$FeS + S^{2-} = Fe_2S_3 + 2e$	-0,7
Hf		$Fe = Fe^{2+} + 2e$	-0,440
$Hf = Hf^{4+} + 4e$	-1,700	$3Fe + 4H_2O = Fe_3O_4 + 8H^+ + 8e$	-0,085
$Hf + 4H_2O = HfO_2 \cdot 2H_2O + 4H^+ + 4e$	-1,685	$2Fe(OH)_2 = Fe_2O_3 + H_2O + 2H^+ + 2e$	-0,057
$Hf + 2H_2O = HfO_2 + 4H^+ + 4e$	-1,505	$2Fe + 3H_2O = Fe_2O_3 + 6H^+ + 6e$	-0,051
Ge		$Fe + 2H_2O = Fe(OH)_2 + 2H^+ + 2e$	-0,047
$Ge^{2+} + 3H_2O = H_2GeO_3 + 4H^+ + 2e$	-0,363	$Fe = Fe^{3+} + 3e$	-0,037
$Ge + H_2O = GeO \text{ hydrat. nâu} + 2H^+ + 2e$	-0,286	$Fe + 3H_2O = Fe(OH)_3 + 3H^+ + 3e$	0,059
$Ge + 2H_2O = GeO_2 \text{ không tan} + 4H^+ + 4e$	-0,246	$Fe(OH)_2 + H_2O = Fe(OH)_3 + H^+ + e$	0,271
		$[Fe(CN)_6]^{4-} = [Fe(CN)_6]^{3-} + e$	0,36
		$Fe^{2+} = Fe^{3+} + e$	0,771

Tiếp bảng PLI

Quá trình điện cực	E°, V	Quá trình điện cực	E°, V
$Fe^{2+} + H_2O = FeOH^{2+} + H^+ + e$	0,914	I	
$3Fe^{2+} + 4H_2O = Fe_3O_4 + 8H^+ + 2e$	0,980	$I + 6OH^- = IO_3^- + 3H_2O + 6e$	0,26
$HFeO_2^- + 2H_2O = FeO_4^{2-} + 5H^+ + 4e$	1,001	$I^- + 2OH^- = IO^- + H_2O + 2e$	0,49
$Fe^{3+} + 4H_2O = FeO_4^{2-} + 8H^+ + 3e$	1,700	$2I^- = I_2 + 2e$	0,536
Au		$3I^- = I_3^- + 2e$	0,536
$Au + 2CN^- = [Au(CN)_2]^- + e$	-0,60	$IO^- + 4OH^- = IO_3^- + 2H_2O + 4e$	0,56
$Au + I = AuI + e$	0,50	$I_2 \text{ (nước)} + 2HCN = 2ICN + 2H^+ + 2e$	0,63
$Au + 2CNS^- = [Au(CNS)_2]^- + e$	0,69	$IO_3^- + 3OH^- = H_3IO_6^- + 6e$	0,7
$AuBr_2^{2-} + 2Br^- = [AuBr_4]^- + 2e$	0,82	$I_2 \text{ (rắn)} + 4Br^- = 2IBr_2 + 2e$	0,87
$HAuO_3^- + H^+ = AuO_2 + H_2O + e$	0,822	$I + H_2O = HIO + H^+ + 2e$	0,99
$Au + 4Br^- = [AuBr_4]^- + 3e$	0,87	$I_2 \text{ (rắn)} + 2Br^- = 2IBr \text{ (d.d. nước)} + 2e$	1,02
$Au + 2Br^- = [AuBr_2]^- + e$	0,96	$I_2 \text{ (rắn)} + 2Cl^- = 2ICl_2 + 2e$	1,06
$Au + 4Cl^- = [AuCl_4]^- + 3e$	1,00	$I^- + 3H_2O = IO_3^- + 6H^+ + 6e$	1,085
$Au + Cl = AuCl + e$	1,17	$I_2 \text{ (rắn)} + 2Cl^- = 2ICl \text{ (d.d. nước)} + 2e$	1,19
$Au^+ = Au^{+3} + 2e$	1,401	$I_2 \text{ (rắn)} + 6H_2O = 2IO_3^- + 12H^+ + 10e$	1,19
$2Au + 3H_2O = Au_2O_3 + 6H^+ + 6e$	1,457	$I_2 \text{ (rắn)} + 6Cl^- = 2ICl_3 \text{ (rắn)} + 6e$	1,28
$Au = Au^{+3} + 3e$	1,498	$I_2 + 2H_2O = 2HIO + 2H^+ + 2e$	1,45
$Au^+ + 3H_2O = H_3AuO_3 + 3H^+ + 2e$	1,502	$IO_3^- + 3H_2O = H_5IO_6 + H^+ + 2e$	1,60
$Au + 3H_2O = H_3AuO_3 + 3H^+ + 3e$	1,565	Ir	
$Au = Au^+ + e$	1,692	$[IrI_6]^{3-} = [IrI_6]^{2-} + e$	0,48
$Au + 3H_2O = H_3AuO_3^{2-} + 5H^+ + 3e$	2,059	$Ir + 6Cl^- = [IrCl_6]^{2-} + 3e$	0,77
$Au^{3+} + 3H_2O = AuO_2 + 4H^+ + 2e$	2,507	$Ir + 2H_2O = IrO_2 + 4H^+ + 4e$	0,93
In		$[IrBr_6]^{3-} = [IrBr_6]^{2-} + e$	0,947
$In^+ = In^{3+} + 2e$	-0,443	$[IrBr_6]^{4-} = [IrBr_6]^{3-} + e$	0,99
$In + Cl^- = InCl + e$	-0,34	$Ir = Ir^{3+} + 3e$	1,15
$In + 3H_2O = In(OH)_3 + 3H^+ + 3e$	-0,172	Y	
$In = In^+ + e$	-0,139	$Y = Y^{3+} + 3e$	-2,372
$In + 2H_2O = InO_2^- + 4H^+ + 3e$	0,146	$2Y + 3H_2O = Y_2O_3 + 6H^+ + 6e$	-1,676

Tiếp bảng PLI

Quá trình điện cực	E^0, V	Quá trình điện cực	E^0, V
Yb		$Co + S^{2-} = \alpha-CoS + 2e$	-0,90
$Yb^{2+} = Yb^{3+} + e$	-1,205	$[Co(CN)_6]^{4-} = [Co(CN)_6]^{3-} + e$	-0,83
		$Co + CO_3^{2-} = CoCO_3 + 2e$	-0,64
Cd		$Co + 6NH_3 = [Co(NH_3)_6]^{2+} + 2e$	-0,42
$CdH = Cd + H^+ + e$	-2,417	$Co = Co^{2+} + 2e$	-0,277
$Cd + S^{2-} = CdS + 2e$	-1,24	$Co + 2H_2O = Co(OH)_2 + 2H^+ + 2e$	0,095
$Cd + 4CN^- = [Cd(CN)_4]^{2-} + 2e$	-1,09	$Co + H_2O = CoO + 2H^+ + 2e$	0,166
$Cd + 4NH_3 = [Cd(NH_3)_4]^{2+} + 2e$	-0,61	$Co + 2H_2O = HCO_2^- + 3H^+ + 2e$	0,659
$Cd = Cd^{2+} + e$	-0,403	$Co^{3+} + 2H_2O = CoO_2 + 4H^+ + e$	1,416
$Cd + 2H_2O = Cd(OH)_2 + 2H^+ + 2e$	0,005	$Co^{2+} + 2H_2O = CoO_2 + 4H^+ + 2e$	1,612
$Cd + H_2O = CdO + 2H^+ + 2e$	0,063	$Co^{2+} = Co^{3+} + e$	1,808
K			
$K = K^+ + e$	-2,924	Si	
		$Si + 6F = SiF_6^{2-} + 4e$	-1,2
Ca		$Si + 2H_2O = SiO_2 \text{ (thạch anh)} + 4H^+ + 4e$	-0,857
$Ca + 2OH^- = Ca(OH)_2 + 2e$	-3,03	$Si + 3H_2O = H_2SiO_3 \text{ (rắn)} + 4H^+ + 4e$	-0,807
$Ca = Ca^{2+} + 2e$	-2,866	$Si + 3H_2O = H_2SiO_3 \text{ (nước)} + 4H^+ + 4e$	-0,789
		$SiH_4 = Si + 4H^+ + 4e$	0,102
O			
$O + H_2O = O_2 + 2H^+ + 2e$	0,037	La	
$HO_2 = O_2 + H^+ + 2e$	0,338	$La = La^{3+} + 3e$	-2,522
$H_2O_2 = O_2 + 2H^+ + 2e$	0,682	$2La + 3H_2O = La_2O_3 + 6H^+ + 6e$	-1,856
$2H_2O = O_2 + 4H^+ + 4e$	1,228		
$3H_2O = O_3 + 6H^+ + 6e$	1,511	Li	
$OH^- + H_2O = HO_2^- + 2H^+ + 2e$	1,706	$Li = Li^+ + e$	-3,045
$2H_2O = H_2O_2 + 2H^+ + 4e$	1,776		
$O_2 + H_2O = O_3 + 2H^+ + 2e$	2,076	Lu	
$H_2O = O + 2H^+ + 2e$	2,421	$Lu = Lu^{3+} + 3e$	-2,255
		$2Lu + 3H_2O = Lu_2O_3 + 6H^+ + 6e$	-1,892
Co			
$Co + S_2^- = \beta-CoS + 2e$	-1,07		

Tiếp bảng PL1

Quá trình điện cực	E° , V	Quá trình điện cực	E° , V
Mg		$\text{Cu} = \text{Cu}^{2+} + 2e$	0,337
$\text{Mg} = \text{Mg}^{2+} + 2e$	-2,363	$2\text{Cu} + \text{H}_2\text{O} = \text{Cu}_2\text{O} + 2\text{H}^+ + 2e$	0,471
$\text{Mg} + 2\text{H}_2\text{O} = \text{Mg}(\text{OH})_2 + 2\text{H}^+ + 2e$	-1,862	$\text{Cu} = \text{Cu}^+ + e$	0,520
Mn		$\text{CuCl} = \text{Cu}^{2+} + \text{Cl}^- + e$	0,538
$\text{Mn} + \text{CO}_3^{2-} = \text{MnCO}_3 + 2e$	-1,48	$\text{Cu} + \text{H}_2\text{O} = \text{CuO} + 2\text{H}^+ + 2e$	0,570
$\text{Mn} = \text{Mn}^{2+} + 2e$	-1,179	$\text{Cu} + 2\text{H}_2\text{O} = \text{Cu}(\text{OH})_2 + 2\text{H}^+ + 2e$	0,609
$\text{Mn} + 2\text{H}_2\text{O} = \text{Mn}(\text{OH})_2 + 2\text{H}^+ + 2e$	-0,727	$\text{CuBr} = \text{Cu}^{2+} + \text{Br}^- + e$	0,640
$[\text{Mn}(\text{CN})_6]^{4-} = [\text{Mn}(\text{CN})_6]^{3-} + e$	-0,22	$\text{Cu}_2\text{O} + \text{H}_2\text{O} = 2\text{CuO} + 2\text{H}^+ + 2e$	0,669
$\text{MnO}_4^{2-} = \text{MnO}_4^- + e$	0,564	$\text{CuI} = \text{Cu}^{2+} + \text{I}^- + e$	0,86
$\text{Mn}^{2+} + 2\text{H}_2\text{O} = \text{MnO}_2 + 4\text{H}^+ + 2e$	1,228	$\text{CuCN} = \text{Cu}^{2+} + \text{CN}^- + e$	1,12
$2\text{Mn}^{2+} + 3\text{H}_2\text{O} = \text{Mn}_2\text{O}_3 + 6\text{H}^+ + 2e$	1,443	$\text{Cu} + 2\text{H}_2\text{O} = \text{HCUO}_2^- + 3\text{H}^+ + 2e$	1,127
$\text{Mn}^{2+} + 4\text{H}_2\text{O} = \text{MnO}_4^- + 8\text{H}^+ + 5e$	1,507	$\text{Cu} + 2\text{H}_2\text{O} = \text{CuO}_2^{2-} + 4\text{H}^+ + 2e$	1,515
$\text{Mn}^{2+} = \text{Mn}^{3+} + 2e$	1,509	Mo	
$\text{MnO}_2 + 2\text{H}_2\text{O} = \text{MnO}_4^- + 4\text{H}^+ + 3e$	1,692	$\text{MoO}_2 + 2\text{H}_2\text{O} = \text{H}_2\text{MoO}_4(\text{trần}) + 2\text{H}^+ + 2e$	-1,091
$\text{MnO}_2 + 2\text{H}_2\text{O} = \text{MnO}_4^{2-} + 4\text{H}^+ + 2e$	2,257	$\text{Mo} = \text{Mo}^{3+} + 3e$	-0,200
Cu		$\text{Mo} + 2\text{H}_2\text{O} = \text{MoO}_2 + 4\text{H}^+ + 4e$	-0,072
$\text{CuH} = \text{Cu} + \text{H}^+ + e$	-2,755	$\text{Mo} + 4\text{H}_2\text{O} = \text{MoO}_4^{2-} + 8\text{H}^+ + 6e$	0,154
$2\text{Cu} + \text{S}^{2-} = \text{Cu}_2\text{S} + 2e$	-0,93	$\text{MoO}_2 + \text{H}_2\text{O} = \text{MoO}_3 + 2\text{H}^+ + 2e$	0,320
$\text{Cu} + \text{S}^{2-} = \text{CuS} + 2e$	-0,79	$\text{MoO}_2 + 2\text{H}_2\text{O} = \text{MoO}_4^{2-} + 4\text{H}^+ + 2e$	0,606
$\text{Cu} + 2\text{CN}^- = [\text{Cu}(\text{CN})_2]^- + e$	-0,43	$[\text{Mo}(\text{CN})_8]^{4-} = [\text{Mo}(\text{CN})_8]^{3-} + e$	0,73
$\text{Cu} + \text{SCN}^- = \text{CuSCN} + e$	-0,27	As	
$\text{Cu} + \text{I}^- = \text{CuI} + e$	-0,185	$\text{As} + 2\text{S}^{2-} = \text{AsS}_2^- + 3e$	-0,8
$\text{Cu} + 2\text{NH}_3 = [\text{Cu}(\text{NH}_3)_2]^+ + e$	-0,12	$\text{AsH}_3 = \text{As} + 3\text{H}^+ + 3e$	-0,608
$\text{Cu} + 4\text{NH}_3 = [\text{Cu}(\text{NH}_3)_4]^{2+} + 2e$	-0,05	$2\text{As} + 3\text{H}_2\text{O} = \text{As}_2\text{O}_3 + 6\text{H}^+ + 6e$	0,234
$\text{Cu} + \text{I}^- = \text{CuI} + e$	0,00	$\text{As} + \text{H}_2\text{O} = \text{AsO}^+ + 2\text{H}^+ + 3e$	0,254
$\text{Cu} + \text{Br}^- = \text{CuBr} + e$	0,03	$\text{AsO}^+ + 3\text{H}_2\text{O} = \text{H}_3\text{AsO}_4 + 3\text{H}^+ + 2e$	0,550
$\text{Cu} + \text{Cl}^- = \text{CuCl} + e$	0,137	$\text{HAsO}_2 + 2\text{H}_2\text{O} = \text{H}_3\text{AsO}_4 + 2\text{H}^+ + 2e$	0,560
$\text{Cu}^+ = \text{Cu}^{2+} + e$	0,153	$\text{As} + 4\text{H}_2\text{O} = \text{AsO}_4^{3-} + 8\text{H}^+ + 5e$	0,648
$\text{Cu}_2\text{O} + 2\text{H}^+ = 2\text{Cu}^{2+} + \text{H}_2\text{O} + 2e$	0,203		

Tiếp bảng PLI

Quá trình điện cực	E^0, V	Quá trình điện cực	E^0, V
Na		Ni	
$Na = Na^+ + e$	-2,714	$Ni + 2H_2O = Ni(OH)_2 + 2H^+ + 2e$	0,110
Nd		$Ni + H_2O = NiO + 2H^+ + 2e$	0,116
$Nd = Nd^{3+} + 3e$	-2,431	$Ni + 2H_2O = HNiO_2^- + 3H^+ + 2e$	0,648
$2Nd + 3H_2O = Nd_2O_3 + 6H^+ + 6e$	-1,811	$3NiO + H_2O = Ni_3O_4 + 2H^+ + 2e$	0,897
Np		$2Ni_3O_4 + H_2O = 3Ni_2O_3 + 2H^+ + 2e$	1,305
$Np = Np^{3+} + 3e$	-1,856	$Ni_2O_3 + H_2O = 2NiO_2 + 2H^+ + 2e$	1,434
$2Np + 3H_2O = Np_2O_3 + 6H^+ + 6e$	-1,420	$Ni^{2+} + 2H_2O = NiO_2 + 4H^+ + 2e$	1,593
$Np_2O_3 + 3H_2O = 2NpO_2 + 2H^+ + 2e$	-0,962	Nb	
$Np_2O_3 + 5H_2O = 2Np(OH)_4 + 2H^+ + 2e$	-0,928	$Nb = Nb^{3+} + 3e$	-1,1
$Np^{3+} = Np^{4+} + e$	0,152	$2Nb + H_2O = NbO + 2H^+ + 2e$	-0,733
$Np^{3+} + 2H_2O = NpO_2 + 4H^+ + e$	0,337	$NbO + H_2O = NbO_2 + 2H^+ + 2e$	-0,625
$Np^{3+} + 4H_2O = Np(OH)_4 + 4H^+ + e$	0,391	$2NbO_2 + H_2O = Nb_2O_5 + 2H^+ + 2e$	-0,289
$Np^{3+} + 2H_2O = NpO_2^+ + 4H^+ + e$	0,451	Sn	
$Np(OH)_4 = NpO_2^+ + 2H_2O + e$	0,530	$SnH_4 = Sn + 4H^+ + 4e$	-1,074
$NpO_2 = NpO_2^+ + e$	0,564	$Sn + S^{2-} = SnS + 2e$	-0,94
$Np^{4+} + 2H_2O = NpO_2^+ + 4H^+ + e$	0,749	$Sn + 6F^- = SnF_6^{2-} + 4e$	-0,25
$NpO_2^+ = NpO_2^{2+} + e$	1,149	$Sn = Sn^{2+} + 2e$	-0,136
$2Np(OH)_4 = Np_2O_5 + 3H_2O + 2H^+ + 2e$	1,219	$SnO + H_2O = SnO_2 + 2H^+ + 2e$	-0,108
$2NpO_2 + 2H_2O = Np_2O_5 + 2H^+ + 2e$	1,253	$Sn + 2H_2O = SnO_2 + 4H^+ + 4e$	-0,106
$Np_2O_5 + H_2O = 2NpO_3 + 2H^+ + 2e$	1,310	$Sn + H_2O = SnO + 2H^+ + 2e$	-0,104
$NpO_2^+ + H_2O = NpO_3 + 2H^+ + e$	1,998	$Sn + 2H_2O = Sn(OH)_2 + 2H^+ + 2e$	-0,091
Ni		$Sn + 4H_2O = Sn(OH)_4 + 4H^+ + 4e$	-0,008
$Ni + S^{-2} = \gamma-NiS + 2e$	-1,04	$Sn^{2+} = Sn^{4+} + 2e$	0,151
$Ni + S^{-2} = \alpha-NiS + 2e$	-0,83	$Sn + 2H_2O = HSnO_2^- + 3H^+ + 2e$	0,333
$[Ni(CN)_4]^{3-} = [Ni(CN)_4]^{2-} + e$	-0,82	$HSnO_2^- + 2H_2O = SnO_3^{2-} + 3H^+ + 2e$	0,374
$Ni + 6NH_3 (dd.nước) = [Ni(NH_3)_6]^{2+} + 2e$	-0,49	Os	
$Ni + CO_3^{2-} = NiCO_3 + 2e$	-0,45	$Os + 4OH^- = OsO_2 + 2H_2O + 4e$	-0,15
$Ni = Ni^{2+} + 2e$	-0,250	$Os + 9OH^- = HOsO_5^- + 4H_2O + 8e$	0,02
		$OsO_2 + 4OH^- = OsO_4^{2-} + 2H_2O + 2e$	0,1

Tiếp bảng PL1

Quá trình điện cực	E° , V	Quá trình điện cực	E° , V
$\text{OsO}_4^{2-} + \text{OH}^- = \text{HOsO}_3^- + 2e$	0,3	$\text{Pu}_2\text{O}_3 + \text{H}_2\text{O} = 2\text{PuO}_2 + 6\text{H}^+ + 6e$	-0,455
$\text{Os} + 4\text{H}_2\text{O} = \text{OsO}_4(\text{vàng}) + 8\text{H}^+ + 8e$	0,85	$\text{Pu}_2\text{O}_3 + 5\text{H}_2\text{O} = 2\text{Pu}(\text{OH})_4 + 2\text{H}^+ + 2e$	-0,135
$\text{OsO}_2 + 2\text{H}_2\text{O} = \text{OsO}_4 + 4\text{H}^+ + 4e$	0,96	$\text{Pu}^{3+} + 2\text{H}_2\text{O} = \text{PuO}_2 + 4\text{H}^+ + e$	0,862
$\text{OsCl}^{2-} + 4\text{H}_2\text{O} = \text{OsO}_4 + 8\text{H}^+ + \text{Cl}^- + 4e$	1,00	$\text{PuO}_2^+ = \text{PuO}_2^{2+} + e$	0,928
Pd		$\text{Pu}(\text{OH})_4 = \text{PuO}_2^{2+} + \text{H}_2\text{O} + 2e$	0,935
$[\text{PdI}_4]^{2-} + 2\text{I}^- = [\text{PdI}_6]^{2-} + 2e$	0,482	$\text{Pu}^{3+} = \text{Pu}^{4+} + e$	0,967
$\text{Pd} + 4\text{Cl}^- = [\text{PdI}_4]^{2-} + 2e$	0,623	$\text{Pu}^{3+} + 2\text{H}_2\text{O} = \text{PuO}_2^{2+} + 4\text{H}^+ + 3e$	1,017
$\text{Pd} + \text{H}_2\text{O} = \text{PdO} + 2\text{H}^+ + 2e$	0,896	$\text{Pu}^{4+} + 2\text{H}_2\text{O} = \text{PuO}_2^{2+} + 4\text{H}^+ + 2e$	1,042
$\text{Pd} = \text{Pd}^{2+} + 2e$	0,987	$\text{Pu}_2\text{O}_5 + \text{H}_2\text{O} = 2\text{PuO}_3 + 2\text{H}^+ + 2e$	1,062
$[\text{PdBr}_4]^{2-} + 2\text{Br}^- = [\text{PdBr}_6]^{2-} + 2e$	0,993	$\text{PuO}_2 = \text{PuO}_2^{2+} + 2e$	1,095
$\text{PdO} + \text{H}_2\text{O} = \text{PdO}_2 + 2\text{H}^+ + 2e$	1,293	$\text{Pu}^{4+} + 2\text{H}_2\text{O} = \text{PuO}_2^+ + 4\text{H}^+ + e$	1,157
$[\text{PdCl}_4]^{2-} + 2\text{Cl}^- = [\text{PdCl}_6]^{2-} + 2e$	1,288	$\text{Pu}^{3+} + 4\text{H}_2\text{O} = \text{Pu}(\text{OH})_4 + 4\text{H}^+ + e$	1,182
$\text{PdO}_2 + \text{H}_2\text{O} = \text{PdO}_3 + 2\text{H}^+ + 2e$	2,030	$\text{Pu}(\text{OH})_4 = \text{PuO}_3 + \text{H}_2\text{O} + 2\text{H}^+ + 2e$	1,325
Pt		$\text{PuO}_2 + \text{H}_2\text{O} = \text{PuO}_3 + 2\text{H}^+ + 2e$	1,485
$\text{Pt} + \text{S}^{2-} = \text{PtS} + 2e$	-0,95	$2\text{Pu}(\text{OH})_4 = \text{Pu}_2\text{O}_5 + 3\text{H}_2\text{O} + 2\text{H}^+ + 2e$	1,588
$\text{PtS} + \text{S}^{2-} = \text{PtS}_2 + 2e$	-0,64	$2\text{PuO}_2 + \text{H}_2\text{O} = \text{Pu}_2\text{O}_5 + 2\text{H}^+ + 2e$	1,908
$\text{Pt} + 2\text{OH}^- = \text{Pt}(\text{OH})_2 + 2e$	0,15	Po	
$[\text{PtI}_4]^{2-} + 2\text{I}^- = [\text{PtI}_6]^{2-} + 2e$	0,393	$\text{Po} + 6\text{OH}^- = \text{PoO}_3^{2-} + 3\text{H}_2\text{O} + 4e$	-0,5
$[\text{Pt}(\text{SCN})_4]^{2-} + 2\text{SCN}^- = [\text{Pt}(\text{SCN})_6]^{2-} + 2e$	0,468	$\text{Po} = \text{Po}^{2+} + 2e$	0,65
$\text{Pt} + 4\text{Br}^- = [\text{PtBr}_4]^{2-} + 2e$	0,58	$\text{Po}^{2+} + \text{H}_2\text{O} = \text{PoO}_2 + 4\text{H}^+ + 2e$	-0,8
$[\text{PtBr}_4]^{2-} + 2\text{Br}^- = [\text{PtBr}_6]^{2-} + 2e$	0,59	Pr	
$\text{Pt} + 4\text{Cl}^- = [\text{PtBr}_4]^{2-} + 2e$	0,73	$\text{Pr} = \text{Pr}^{3+} + 3e$	-2,462
$\text{Pt} + 2\text{H}_2\text{O} = \text{Pt}(\text{OH})_2 + 2\text{H}^+ + 2e$	0,980	$\text{Pr} + 3\text{H}_2\text{O} = \text{Pr}_2\text{O}_3 + 6\text{H}^+ + 6e$	-1,829
$\text{Pt}(\text{OH})_2 = \text{PtO}_2 + 2\text{H}^+ + 2e$	1,045	$\text{Pr}_2\text{O}_3 + \text{H}_2\text{O} = 2\text{PrO}_2 + 2\text{H}^+ + 2e$	0,863
$\text{Pt} = \text{Pt}^{2+} + 2e$	1,188	$\text{Pr}(\text{OH})_3 = \text{PrO}_2 + \text{H}_2\text{O} + \text{H}^+ + e$	1,431
$\text{PtO}_2 + \text{H}_2\text{O} = \text{PtO}_3 + 2\text{H}^+ + 2e$	2,000	Pm	
Pu		$\text{Pm} = \text{Pm}^{3+} + 3e$	-2,423
$\text{Pu} = \text{Pu}^{3+} + 3e$	-2,031	$\text{Pm} + \text{H}_2\text{O} = \text{Pm}(\text{OH})_3 + 3\text{H}^+ + 3e$	-2,008
$2\text{Pu} + 3\text{H}_2\text{O} = \text{Pu}_2\text{O}_3 + 6\text{H}^+ + 6e$	-1,592		

Tiếp bảng PL1

Quá trình điện cực	E°, V	Quá trình điện cực	E°, V
Pa		$Hg_2^{2+} = 2Hg^{2+} + 2e$	0,920
$Pa + 2H_2O = PaO_2^- + 4H^+ + 5e$	$\sim -1,0$	$Hg + H_2O = HgO + 2H^+ + 2e$	0,926
		$Hg + 2H_2O = Hg(OH)_2 + 2H^+ + 2e$	1,034
Ra		Rb	
$Ra = Ra^{2+} + 2e$	-2,92	$Rb = Rb^+ + e$	-2,925
Re		Ru	
$Re^{3+} + 2H_2O = ReO_2 + 4H^+ + e$	0,157	$Ru + 4OH^- = RuO_2 \text{ tinh thể} + 2H_2O + 4e$	-0,04
$Re = Re^{3+} + 3e$	0,300	$RuO_4^{2-} = RuO_4^- + e$	0,6
$Re^{3+} + 4H_2O = ReO_4^- + 8H^+ + 4e$	0,422	$Ru + 3Cl^- = RuCl_3 + 3e$	0,68
$ReO_2 + 2H_2O = ReO_4^- + 4H^+ + 3e$	0,510	$Ru + 2H_2O = RuO_2 \text{ tinh thể} + 4H^+ + 4e$	0,79
$Re^{3+} + 4H_2O = ReO_4^{2-} + 8H^+ + 3e$	0,795		
Rh (rodi)		Sm	
$Rh + 6Cl^- = [RhCl_6]^{3-} + 3e$	0,44	$Sm = Sm^{3+} + 3e$	-3,121
$2Rh + 3H_2O = Rh_2O_3 + 6H^+ + 6e$	0,87	$Sm^{2+} = Sm^{3+} + e$	-1,000
$Rh^{3+} + H_2O = RhO^{2+} + 2H^+ + e$	1,4		
$RhO^{2+} + 3H_2O = ReO_4^{2-} + 6H^+ + 2e$	1,46	Pb	
Hg		$PbH_2 = Pb + 2H^+ + 2e$	-1,507
$HgH = Hg + H^+ + e$	-2,281	$Pb + S^{2-} = PbS + 2e$	-0,98
$Hg + S^{2-} = HgS + 2e$	-0,75	$Pb + CO_3^{2-} = PbCO_3 + 2e$	-0,506
$Hg + 4CN^- = [Hg(CN)_4]^{2-} + 2e$	-0,37	$Pb + 2I^- = PbI_2 + 2e$	-0,365
$2Hg + 2I^- = Hg_2I_2 + 2e$	-0,041	$Pb + SO_4^{2-} = PbSO_4 + 2e$	-0,356
$Hg + 4I^- = HgI_4 + 4e$	-0,04	$Pb + 2Br^- = PbBr_2 + 2e$	-0,280
$2Hg + 2Br^- = Hg_2Br_2 + 2e$	0,140	$Pb + 2Cl^- = PbCl_2 + 2e$	-0,268
$Hg + 4Br^- = [HgBr_4]^{2-} + 2e$	0,21	$Pb = Pb^{2+} + 2e$	-0,126
$2Hg + 2Cl^- = Hg_2Cl_2 + 2e$	0,2676	$Pb + H_2O = PbO \text{ đỏ} + 2H^+ + 2e$	0,248
$Hg + 4Cl^- = [HgCl_4]^{2-} + 2e$	0,48	$Pb + 2H_2O = Pb(OH)_2 + 2H^+ + 2e$	0,277
$2Hg + SO_4^{2-} = HgSO_4 + 2e$	0,615	$Pb + 2H_2O = HPbO_2 + 3H^+ + 2e$	0,702
$2Hg = Hg_2^{2+} + 2e$	0,789	$3PbO \text{ đỏ} + H_2O = Pb_3O_4 + 2H^+ + 2e$	0,972
		$Pb_3O_4 + 2H_2O = 3PbO_2 + 4H^+ + 2e$	1,127

Tiếp bảng PL1

Quá trình điện cực	E°, V	Quá trình điện cực	E°, V
$Pb^{2+} + 2H_2O = PbO_2 + 4H^+ + 2e$	1,449	$S + 2H_2O = 2SO_4^{2-} + 4H^+ + 6e$	0,357
$HPbO_2^- + 2H_2O = PbO_3^{2-} + 3H^+ + 2e$	1,547	$S_2O_4^{2-} + 2H_2O = 2SO_4^{2-} + 4H^+ + 2e$	0,416
$PbSO_4 + 2H_2O = PbO_2 + SO_4^{2-} + 4H^+ + 2e$	1,685	$S + 3H_2O = H_2SO_3 + 4H^+ + 4e$	0,449
$Pb^{2+} = Pb^{4+} + 2e$	1,694	$S + 2H_2O = SO_2 \text{ khí} + 4H^+ + 4e$	0,451
$PbO \text{ đỏ} + 2H_2O = PbO_3^{2-} + 4H^+ + 2e$	2,001	$S_2O_3^{2-} + 3H_2O = 2SO_3^{2-} + 6H^+ + 4e$	0,705
$Pb_3O_4 + 5H_2O = 3PbO_3^{2-} + 10H^+ + 4e$	2,515	$S + H_2O = SO \text{ khí} + 2H^+ + 2e$	1,507
		$2SO_4^{2-} = S_2O_8^{2-} + 2e$	2,010
Se		Ag	
$Se^{2-} = Se + 2e$	-0,92	$2Ag + S^{2-} = \alpha\text{-Ag}_2S + 2e$	-0,69
$H_2Se = Se + 2H^+ + 2e$	-0,40	$Ag + 2CN^- = [Ag(CN)_2]^- + e$	-0,31
$Se + 3H_2O = H_2SeO_3 + 4H^+ + 4e$	0,741	$Ag + I^- = AgI + e$	-0,152
$2Se + 2Cl^- = Se_2Cl_2 + 2e$	1,1	$Ag + CN^- = AgCN + e$	-0,017
S		$Ag + 2S_2O_3^{2-} = [Ag(S_2O_3)_2]^{3-} + e$	0,01
$2S^{2-} = S_2^{2-} + 2e$	-0,524	$Ag + Br^- = AgBr + e$	0,03
$3S_2^{2-} = 2S_3^{2-} + 2e$	-0,506	$Ag + SCN^- = AgSCN + e$	0,09
$4S_3^{2-} = 3S_4^{2-} + 2e$	-0,478	$4Ag + [Fe(CN)_6]^{4-} = Ag_4[Fe(CN)_6] + 4e$	0,194
$S_2^{2-} = 2S + 2e$	-0,476	$Ag + Cl^- = AgCl + e$	0,222
$HS^- = S + H^+ + 2e$	-0,065	$Ag + N_3^- = AgN_3 + e$	0,292
$2S^{2-} + 3H_2O = S_2O_3^{2-} + 6H^+ + 8e$	-0,006	$Ag + IO_3^- = AgIO_3 + e$	0,35
$5HS^- = S_5^{2-} + 5H^+ + 8e$	0,003	$Ag + 2NH_3 \text{ nước} = Ag(NH_3)_2]^+ + e$	0,373
$2SO_3^{2-} = S_2O_6^{2-} + 2e$	0,026	$Ag + CNO^- = AgCNO + e$	0,41
$4HS^- = S_4^{2-} + 4H^+ + 6e$	0,033	$Ag + 2SO_3^{2-} = [Ag(SO_3)_2]^{3-} + e$	0,43
$3HS^- = S_3^{2-} + 3H^+ + 4e$	0,097	$2Ag + CrO_4^{2-} = Ag_2CrO_4 + 2e$	0,446
$S^{2-} + 4H_2O = SO_4^{2-} + 8H^+ + 8e$	0,149	$2Ag + C_2O_4^{2-} = Ag_2C_2O_4 + 2e$	0,472
$H_2S \text{ khí} = S + 2H^+ + 2e$	0,171	$Ag + BrO_3^- = AgBrO_3 + e$	0,55
$S^{2-} + 3H_2O = SO_3^{2-} + 6H^+ + 6e$	0,231	$Ag + NO_3^- = AgNO_3 + e$	0,562
$H_2S + 4H_2O = HSO_4^- + 9H^+ + 8e$	0,289	$Ag + CH_3COO^- = AgCH_3COO + e$	0,643
$2HS^- = S_2^{2-} + 2H^+ + 2e$	0,298	$Ag = Ag^+ + e$	0,799
$H_2S + 4H_2O = SO_4^{2-} + 10H^+ + 8e$	0,303	$2Ag + H_2O = Ag_2O + 2H^+ + 2e$	1,173
$H_2S \text{ khí} + 4H_2O = SO_4^{2-} + 10H^+ + 8e$	0,311	$Ag_2O + H_2O = 2AgO + 2H^+ + 2e$	1,398

Tiếp bảng PLI

Quá trình điện cực	E^0, V	Quá trình điện cực	E^0, V
$2AgO + H_2O = Ag_2O_3 + 2H^+ + 2e$	1,569	Ta (tantali)	
$2Ag^+ + 3H_2O = Ag_2O_3 + 6H^+ + 4e$	1,670	$2Ta + 5 H_2O = Ta_2O_5 + 10H^+ + 10e$	-0,750
$Ag^+ + H_2O = AgO^+ + 2H^+ + 2e$	1,998		
$Ag + H_2O = AgO^- + 2H^+ + e$	2,220	Te (telu)	
		$Te_2^{2-} = 2Te + 2e$	-0,84
Sc (scandi)		$H_2Te \text{ khi} = Te + 2H^+ + 2e$	-0,72
$Sc = Sc^{3+} + 3e$	-2,077	$Te + 6OH^- = TeO_3^{2-} + 3H_2O + 4e$	-0,57
$Sc + 3H_2O = Sc(OH)_3 + 3H^+ + 3e$	-1,784	$Te + 2H_2O = TeO_2 \text{ rắn} + 4H^+ + 4e$	0,529
$2Sc + 3H_2O = Sc_2O_3 + 6H^+ + 6e$	-1,591	$Te + 6Cl^- = TeCl_6 + 6e$	0,55
		$Te + 2H_2O = TeOOH^+ + 3H^+ + 4e$	0,559
Sr (stronti)		$Te = Te^{4+} + 4e$	0,568
$Sr = Sr^{2+} + 2e$	-2,888	$TeO_3^{2-} + H_2O = TeO_4^{2-} + 2H^+ + 2e$	0,892
		$TeO_2 + 4H_2O = H_6TeO_6 \text{ rắn} + 2H^+ + 2e$	1,02
Sb (antimon)		Tb (tecbi)	
$SbS_2 + 2S^{2-} = SbS_4^{3-} + 2e$	-0,6	$Tb = Tb^{3+} + 3e$	-2,391
$SbH_3 \text{ khi} = Sb + 3H^+ + 3e$	-0,51	$Tb + 3H_2O = Tb(OH)_3 + 3H^+ + 3e$	-1,999
$2Sb + 3H_2O = Sb_2O_3 + 6H^+ + 6e$	0,152	Tc (tecnexi)	
$2Sb + 3H_2O = SbO^+ + 2H^+ + 3e$	0,212	$Tc^{2+} + 2H_2O = TcO_2 + 4H^+ + 2e$	0,144
$SbO_2 + H_2O = SbO_3^- + 2H^+ + 2e$	0,353	$Tc + 2H_2O = TcO_2 + 4H^+ + 2e$	0,272
$Sb + 2H_2O = SbO_2^- + 4H^+ + 3e$	0,446	$Tc = Tc^{2+} + 2e$	0,400
$Sb_2O_3 + 2H_2O = Sb_2O_5 + 4H^+ + 4e$	0,671	$Tc^{2+} + 4H_2O = TcO_4^- + 8H^+ + 5e$	0,500
$SbO^+ + H_2O = SbO_2^- + 2H^+ + 2e$	0,720	$TcO_3 + H_2O = TcO_4^- + 2H^+ + e$	0,700
		$TcO_2 + 2H_2O = TcO_4^- + 4H^+ + 3e$	0,738
Tl (talli)		$TcO_2 + H_2O = TcO_3 + 2H^+ + 2e$	0,757
$2Tl + S^{2-} = Tl_2S + 2e$	-0,93	Ti (titan)	
$Tl + I^- = TlI + e$	-0,753	$Ti = Ti^{2+} + 2e$	-1,630
$Tl + Br^- = TlBr + e$	-0,658	$Ti + H_2O = TiO + 2H^+ + 2e$	-1,306
$Tl + Cl^- = TlCl + e$	-0,557	$Ti + 6F^- = TiF_6^{2-} + 4e$	-1,19
$Tl = Tl^+ + e$	-0,336	$Ti^{3+} + 2H_2O = TiO_2 \text{ rutil} + 4H^+ + e$	-0,666
$TiOH \text{ rắn} + 2OH^- = Ti(OH)_3 \text{ rắn} + 2e$	-0,05	$Ti^{2+} + 2H_2O = TiO_2 \text{ rutil} + 4H^+ + 2e$	-0,502
$Tl + H_2O = TiOH \text{ rắn} + H^+ + e$	0,778		
$Tl^+ = Tl^{3+} + 2e$	1,252		

Tiếp bảng PL1

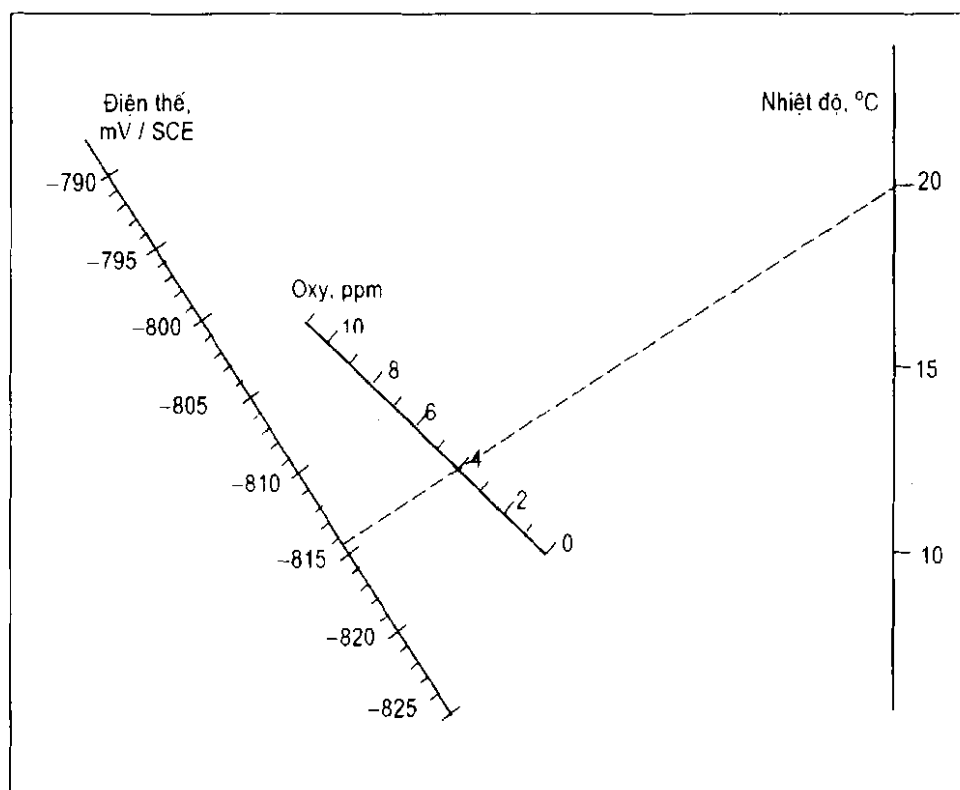
Quá trình điện cực	E° , V	Quá trình điện cực	E° , V
$2\text{Ti}^{2+} + 3\text{H}_2\text{O} = \text{Ti}_2\text{O}_3 + 6\text{H}^+ + 2e$	-0,478	$\text{C}_2\text{O}_4^{2-} + \text{H}_2\text{O} = \text{CO}_3^{2-} + 4\text{H}^+ + 2e$	0,441
$\text{Ti}^{2+} = \text{Ti}^{3+} + e$	-0,368	$\text{C grafit} + 3\text{H}_2\text{O} = \text{CO}_3^{2-} + 6\text{H}^+ + 4e$	0,475
$\text{Ti}^{2+} + \text{H}_2\text{O} = \text{TiO}^{2+} + 2\text{H}^+ + 2e$	-0,135	$\text{CH}_4 + \text{H}_2\text{O} = \text{CO} + 6\text{H}^+ + 6e$	0,497
$\text{Ti}^{3+} + \text{H}_2\text{O} = \text{TiO}^{2+} + 2\text{H}^+ + e$	0,100	$\text{C grafit} + \text{H}_2\text{O} = \text{CO} + 2\text{H}^+ + 2e$	0,518
$\text{TiO}^{2+} + \text{H}_2\text{O} = \text{TiO}_2^{2-} + 2\text{H}^+ + 2e$	1,800		
$\text{TiO}_2 \text{ rutil} = \text{TiO}_2^{2-} + 2e$	2,182		
		U (uran)	
		$\text{U} = \text{U}^{3+} + 3e$	-1,798
Th (thori)		$\text{U}_2\text{O}_3 + \text{H}_2\text{O} = 2\text{UO}_2 + 2\text{H}^+ + 2e$	-1,738
$\text{Th} = \text{Th}^{4+} + 4e$	-1,899	$2\text{UO} + \text{H}_2\text{O} = \text{U}_2\text{O}_3 + 2\text{H}^+ + 2e$	-1,163
$\text{Th} + 2\text{H}_2\text{O} = \text{ThO}_2 + 4\text{H}^+ + 4e$	-1,789	$\text{U} + 2\text{H}_2\text{O} = \text{UO}_2 + 4\text{H}^+ + 4e$	-1,444
$\text{Th} + 4\text{H}_2\text{O} = \text{Th}(\text{OH})_4 + 4\text{H}^+ + 4e$	-1,650	$\text{U} + \text{H}_2\text{O} = \text{UO} + 2\text{H}^+ + 2e$	-1,438
		$\text{U}_2\text{O}_3 + 5\text{H}_2\text{O} = 2\text{U}(\text{OH})_4 + 2\text{H}^+ + 2e$	-1,375
Tu (tuli)		$\text{U} + 4\text{H}_2\text{O} = \text{U}(\text{OH})_4 + 4\text{H}^+ + 4e$	-1,353
$\text{Tu} = \text{TU}^{3+} + 3e$	-1,789	$2\text{U} + 3\text{H}_2\text{O} = \text{U}_2\text{O}_3 + 6\text{H}^+ + 6e$	-1,346
$\text{Tu} + 3\text{H}_2\text{O} = \text{TU}(\text{OH})_3 + 3\text{H}^+ + 3e$	-1,650	$\text{UH}_3 = \text{U}^{3+} + 3\text{H}^+ + 6e$	-0,772
		$\text{UH}_3 + 2\text{H}_2\text{O} = \text{UO}_2 + 7\text{H}^+ + 7e$	-0,716
C		$\text{UH}_3 + 4\text{H}_2\text{O} = \text{U}(\text{OH})_4 + 7\text{H}^+ + 7e$	-0,664
$\text{H}_2\text{C}_2\text{O}_4 + 2\text{H}_2\text{O} = 2\text{H}_2\text{CO}_3 + 2\text{H}^+ + 2e$	-0,386	$\text{U}^{3+} = \text{U}^{4+} + e$	-0,607
$\text{HCO}_2\text{H} + \text{H}_2\text{O} = \text{H}_2\text{CO}_3 + 2\text{H}^+ + 2e$	-0,156	$2\text{UH}_3 + 3\text{H}_2\text{O} = \text{U}_2\text{O}_3 + 12\text{H}^+ + 12e$	-0,545
$\text{CH}_4 = \text{C grafit} + 4\text{H}^+ + 4e$	-0,132	$\text{U}^{3+} + \text{H}_2\text{O} = \text{UOH}^{3+} + \text{H}^+ + e$	-0,538
$\text{HCOH} + 2\text{H}_2\text{O} = \text{H}_2\text{CO}_3 + 4\text{H}^+ + 4e$	-0,050	$\text{UH}_3 + \text{H}_2\text{O} = \text{UO} + 5\text{H}^+ + 5e$	-0,422
$2\text{HCO}_2^- = \text{C}_2\text{O}_4^{2-} + 2\text{H}^+ + 2e$	0,013	$\text{U}_3\text{O}_8 + 4\text{H}^+ = 3\text{UO}_2^{2+} + 2\text{H}_2\text{O} + 2e$	-0,403
$\text{CH}_3\text{OH} + 2\text{H}_2\text{O} = \text{H}_2\text{CO}_3 + 6\text{H}^+ + 6e$	0,044	$\text{U}^{3+} + 2\text{H}_2\text{O} = \text{UO}_2 + 4\text{H}^+ + e$	-0,382
$\text{CH}_3\text{OH} + \text{H}_2\text{O} = \text{HCO}_2\text{H} + 4\text{H}^+ + 4e$	0,145	$\text{U}^{3+} + 4\text{H}_2\text{O} = \text{U}(\text{OH})_4 + 4\text{H}^+ + e$	-0,019
$\text{HCOH} + \text{H}_2\text{O} = \text{HCO}_2^- + 3\text{H}^+ + 2e$	0,167	$\text{U}_3\text{O}_8 + 2\text{H}_2\text{O} = 3\text{UO}_3 \cdot \text{H}_2\text{O} + 2\text{H}^+ + 2e$	0,038
$\text{HCOH} + 2\text{H}_2\text{O} = \text{CO}_3^{2-} + 6\text{H}^+ + 4e$	0,197	$\text{U}(\text{OH})_4 = \text{UO}_2^{2-} + 2\text{H}_2\text{O} + 2e$	0,040
$\text{CH}_3\text{OH} + \text{H}_2\text{O} = \text{HCO}_2^- + 5\text{H}^+ + 4e$	0,199	$\text{UO}_2 = \text{UO}_2^{2-} + e$	0,052
$\text{C grafit} + 2\text{H}_2\text{O} = \text{CO}_2 \text{ khi} + 4\text{H}^+ + 4e$	0,207	$\text{U}(\text{OH})_4 = \text{UO}_3 \cdot \text{H}_2\text{O} + 2\text{H}^+ + 2e$	0,186
$\text{CH}_3\text{OH} + 2\text{H}_2\text{O} = \text{CO}_3^{2-} + 8\text{H}^+ + 6e$	0,209	$\text{UO}_2 = \text{UO}_2^{2+} + 2e$	0,221
$\text{HCO}_2 + \text{H}_2\text{O} = \text{CO}_3^{2-} + 3\text{H}^+ + 2e$	0,227	$\text{UOH}^{3+} + \text{H}_2\text{O} = \text{UO}_2^{2+} + 3\text{H}^+ + 2e$	0,299
$\text{C grafit} + 3\text{H}_2\text{O} = \text{H}_2\text{CO}_3 + 4\text{H}^+ + 4e$	0,228	$\text{U}^{4+} + \text{H}_2\text{O} = \text{UO}_2^{2+} + 4\text{H}^+ + 2e$	0,333
$\text{CH}_3\text{OH} = \text{HCOH} + 2\text{H}^+ + 2e$	0,232	$\text{UO}_2 + 2\text{H}_2\text{O} = \text{UO}_3 \cdot \text{H}_2\text{O} + 2\text{H}^+ + 2e$	0,368

Tiếp bảng PLI

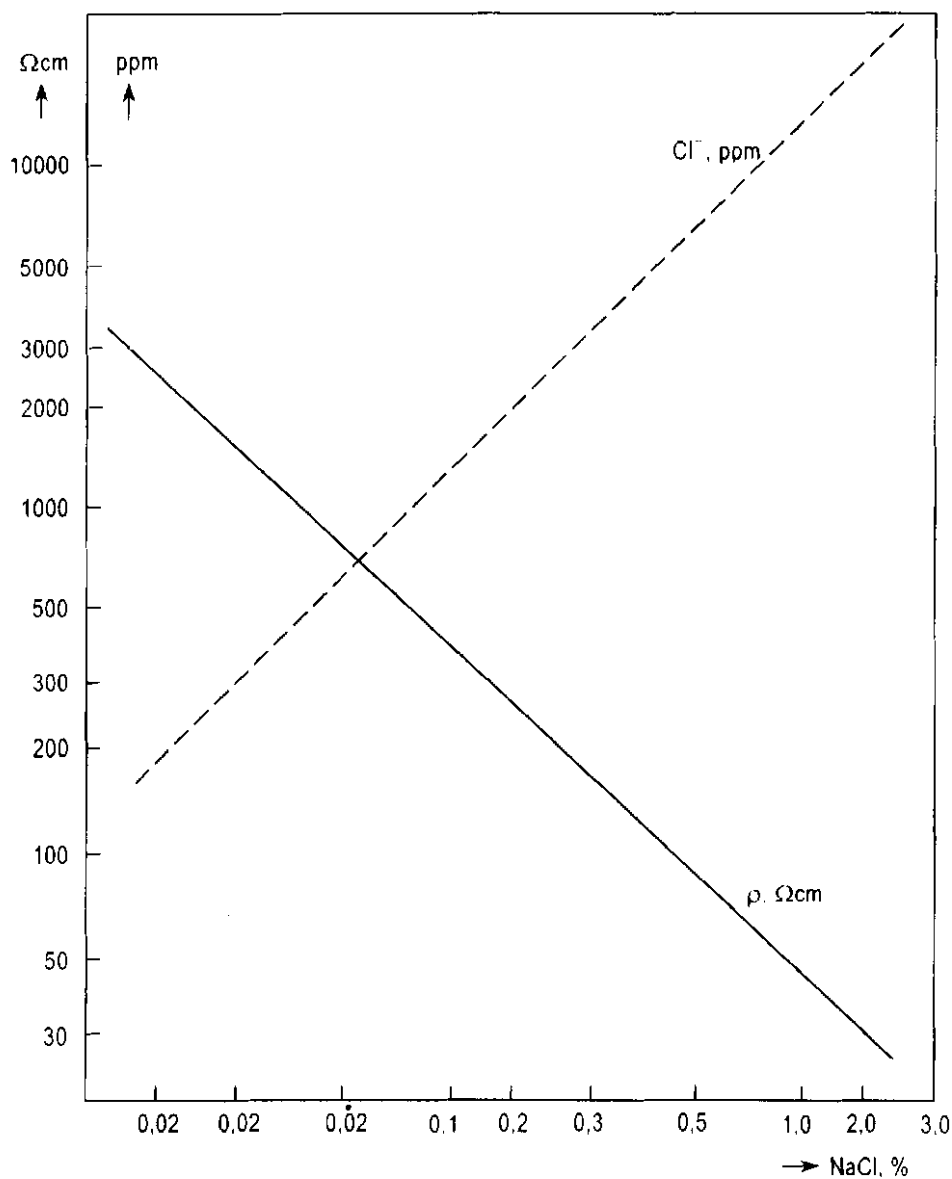
Quá trình điện cực	E^0, V	Quá trình điện cực	E^0, V
$U(OH)_4 = UO_3 + H_2O + 2H^+ + 2e$	0,475	$2Cl^- = Cl_2 \text{ khí} + 2e$	1,359
$3UO_2 + 2H_2O = U_2O_3 + 4H^+ + 4e$	0,533	$Cl_2 \text{ nước} + 8H_2O = 2ClO_4^- + 16H^+ + 14e$	1,385
$UOH^{3+} + H_2O = UO_2^+ + 3H^+ + e$	0,546	$Cl^- + 4H_2O = ClO_4^- + 8H^+ + 8e$	1,389
$U^{4+} + 2H_2O = UO_2^+ + 4H^+ + e$	0,612	$Cl_2 \text{ khí} + 8H_2O = 2ClO_4^- + 16H^+ + 14e$	1,389
$UO_2 + H_2O = UO_3 + 2H^+ + 2e$	0,657	$2Cl^- = Cl_2 \text{ nước} + 2e$	1,395
$U_3O_8 + H_2O = 3UO_3 + 2H^+ + 2e$	0,904	$HCl \text{ khí} + H_2O = ClO_2^- \text{ khí} + 5H^+ + 5e$	1,436
P		$Cl^- + 3H_2O = ClO_3^- + 6H^+ + 6e$	1,451
$P + 2OH^- = H_2PO_4^- + e$	-2,05	$Cl_2 \text{ nước} + 6H_2O = 2ClO_3^- + 12H^+ + 10e$	1,463
$H_2PO_2 + 3OH^- = HPO_3^{2-} + 2H_2O + 2e$	-1,57	$Cl_2 \text{ khí} + 6H_2O = 2ClO_3^- + 12H^+ + 10e$	1,470
$PH_3 + 5OH^- = H_2PO_4^- + 3H_2O + 4e$	-1,18	$Cl^- + H_2O = HClO + H^+ + 2e$	1,494
$HPO_3^{2-} + 3OH^- = PO_4^{3-} + 2H_2O + 2e$	-1,12	$Cl^- + 2H_2O = ClO_2^- \text{ khí} + 4H^+ + 5e$	1,511
$H_4P_2O_6 + 2H_2O = 2H_3PO_4 + 2H^+ + 2e$	-0,94	$Cl_2 \text{ nước} + 4H_2O = 2ClO_2^- \text{ khí} + 8H^+ + 8e$	1,540
$P + 2H_2O = H_3PO_3 + H^+ + e$	-0,51	$Cl_2 \text{ khí} + 4H_2O = 2ClO_2^- \text{ khí} + 8H^+ + 8e$	1,549
$P \text{ trắng} + 3H_2O = H_3PO_3 + 3H^+ + 3e$	-0,502	$Cl^- + 2H_2O = HClO_2 + 3H^+ + 4e$	1,570
$P \text{ đỏ} + 3H_2O = H_3PO_3 + 3H^+ + 3e$	-0,454	$Cl_2 \text{ nước} + 2H_2O = 2HClO + 2H^+ + 2e$	1,594
$P \text{ trắng} + 4H_2O = H_3PO_4 + 5H^+ + 5e$	-0,411	$Cl_2 \text{ nước} + 4H_2O = 2HClO_2 + 6H^+ + 6e$	1,628
$P \text{ đỏ} + 4H_2O = H_3PO_4 + 5H^+ + 5e$	-0,383	$Cl_2 \text{ khí} + 2H_2O = 2HClO + 2H^+ + 2e$	1,630
$H_3PO_3 + H_2O = H_3PO_4 + 2H^+ + 2e$	-0,276	$Cl_2 \text{ khí} + 4H_2O = 2HClO_2 + 6H^+ + 6e$	1,640
$PH_3 = P \text{ trắng} + 3H^+ + 3e$	0,06	$Cl_2 \text{ nước} + H_2O = Cl_2O \text{ khí} + 2H^+ + 2e$	1,679
$2H_3PO_3 = H_4P_2O_6 + 2H^+ + 2e$	0,38	$Cl_2 \text{ khí} + H_2O = Cl_2O \text{ khí} + 2H^+ + 2e$	1,714
F		$2Cl^- + H_2O = Cl_2O \text{ khí} + 2H^+ + 4e$	2,152
$2F^- + H_2O = F_2O + 2H^+ + 2e$	2,1	Cr	
$2F^- = F_2 + 2e$	2,87	$Cr = Cr^{2+} + 2e$	-0,913
$2HF \text{ nước} = F_2 + 2H^+ + 2e$	3,06	$Cr = Cr^{3+} + 3e$	-0,744
Cl		$Cr + 3H_2O = Cr(OH)_3 + 3H^+ + 3e$	-0,654
$2HCl \text{ khí} = Cl_2 \text{ khí} + 2H^+ + 2e$	0,987	$Cr + H_2O = CrO + 2H^+ + 2e$	-0,588
$ClO_3^- + H_2O = ClO_4^- + 2H^+ + 2e$	1,189	$Cr^{2+} = Cr^{3+} + e$	-0,407
$2HCl \text{ khí} + H_2O = Cl_2O \text{ khí} + 4H^+ + 4e$	1,351	$Cr + 2H_2O = CrO_2 + 4H^+ + 3e$	-0,213
		$2Cr + 7H_2O = Cr_2O_7^{2-} + 14H^+ + 12e$	0,294
		$Cr + 4H_2O = H_2CrO_4 + 6H^+ + 6e$	0,295

Tiếp bảng PL1

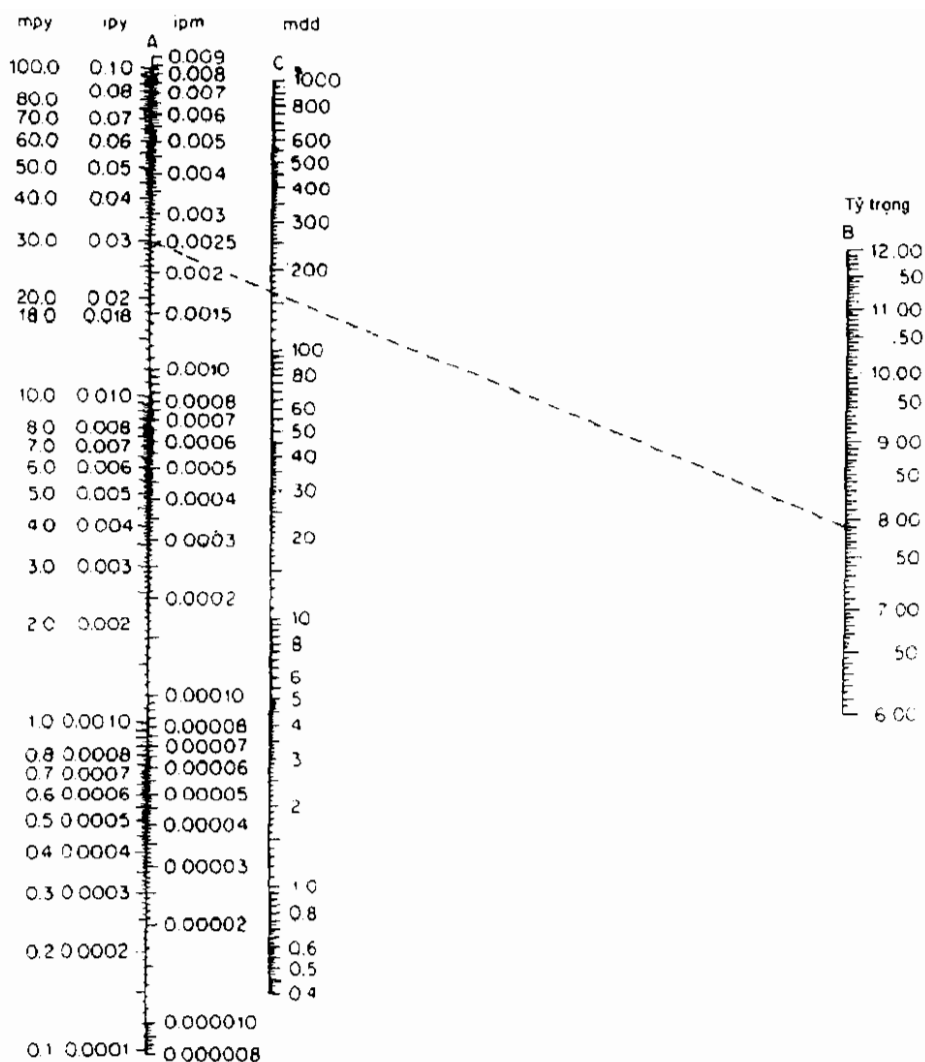
Quá trình điện cực	E^0, V	Quá trình điện cực	E^0, V
$CrO_3^{3-} + H_2O = CrO_4^{2-} + 2H^+ + 3e$	0,359	Zn	
$Cr + 4H_2O = CrO_4^{2-} + 8H^+ + 6e$	0,366	$Zn + S^{2-} = ZnS + 2e$	-1,44
$Cr + 3H_2O = CrO_3^{3-} + 6H^+ + 3e$	0,374	$Zn + 4CN^- = [Zn(CN)_4]^{2-} + 2e$	-1,26
$CrO_2 + 2H_2O = CrO_4^{2-} + 4H^+ + 3e$	0,945	$Zn + CO_3^{2-} = ZnCO_3 + 2e$	-1,06
$Cr^{2+} + 2H_2O = CrO_2 + 4H^+ + e$	1,188	$Zn + 4NH_3 \text{ nước} = [Zn(NH_3)_4]^{2+} + 2e$	-1,04
$2Cr^{3+} + 7H_2O = Cr_2O_7^{2-} + 14H^+ + 6e$	1,333	$Zn = Zn^{2+} + 2e$	-0,763
$Cr^{3+} + 4H_2O = H_2CrO_4 + 6H^+ + 3e$	1,335	$Zn + 2H_2O = Zn(OH)_2 \text{ hình thoi} + 2H^+ + 2e$	-0,439
$CrO_2 + 2H_2O = CrO_4^{2-} + 4H^+ + 2e$	1,437	$Zn + 2H_2O = Zn(OH)_2 \text{ vô định hình} + 2H^+ + 2e$	-0,400
$Cr^{3+} + 4H_2O = CrO_4^{2-} + 8H^+ + 3e$	1,477	$Zn + 2H_2O = HZnO_2^- + 3H^+ + 2e$	0,054
$Cr^{3+} + 2H_2O = CrO_2 + 4H^+ + e$	1,556	$Zn + 2H_2O = ZnO_2^{2-} + 4H^+ + 2e$	0,441
Cs (xezi)		Zr (ziriconi)	
$Cs = Cs^+ + e$	-2,923	$Zr + H_2O = ZrO_2^{2-} + 2H^+ + 4e$	-1,570
		$Zr + 2H_2O = ZrO_2 + 4H^+ + 4e$	-1,553
Ce (xeri)		$Zr = Zr^{4+} + 4e$	-1,539
$Ce = Ce^{3+} + 3e$	-2,483	$Zr + 3H_2O = HZrO_3^- + 5H^+ + 4e$	-1,276
$Ce^{3+} + 2H_2O = Ce(OH)_2^{2-} + 2H^+ + e$	1,731		
		Er (erbi)	
		$Er = Er^{3+} + 3e$	-2,296



Hình PL1. Toán đồ xác định điện thế bảo vệ thép trong nước biển phụ thuộc nhiệt độ và oxy hoà tan



Hình PL2. Quan hệ giữa nồng độ muối, nồng độ Cl^- và điện trở riêng



Hình PL3. Toán đồ chuyển đổi tốc độ ăn mòn trong các hệ khác nhau:

mpy: độ thâm nhập mil/năm (Penetration in mils per year)

ipy : độ thâm nhập inch/năm (Penetration in inches per year)

ipm : độ thâm nhập inch/tháng (Penetration in inches per month)

mdd: tổn thất trọng lượng mg/dm².ngày đêm (Weight loss in milligrams per square decimeter per day)

Tỷ trọng tính bằng g/cm³. Giá trị chuyển đổi mpy, ipy và ipm đọc trực tiếp trên thang A.

Bảng PL2. Thành phần hoá học của hợp kim nhôm biến dạng

Ký hiệu hợp kim nhôm	Si	Fe	Cu	Mn	Mg	Cr	Ni	Zn	Ti	Các chất khác		
										Mỗi loại	Tổng	Al
1100	1,0 Si +	Fe	0,05 - 0,20	0,05		0,10	...	0,05	0,15	99,00 min
2014	0,50 - 1,2	0,7	3,9 - 5,0	0,40 - 1,2	0,20 - 0,8	0,10	...	0,25	0,15	0,05	0,15	Phần còn lại
2024	0,50	0,50	3,8 - 4,9	0,30 - 0,9	1,2 - 1,8	0,10	...	0,25	0,15	0,05	0,15	Phần còn lại
3003	0,6	0,7	0,05 - 0,20	1,0 - 1,5	0,10	...	0,05	0,15	Phần còn lại
4043	4,5 - 6,0	0,8	0,30	0,05	0,05	0,10	0,20	0,05	0,15	Phần còn lại
5005	0,30	0,7	0,20	0,20	0,50 - 1,1	0,10	...	0,25	...	0,05	0,15	Phần còn lại
5050	0,40	0,7	0,20	0,10	1,1 - 1,8	0,10	...	0,25	...	0,05	0,15	Phần còn lại
5052	0,25	0,40	0,10	0,10	2,2 - 2,8	0,15 - 0,35	...	0,10	...	0,05	0,15	Phần còn lại
5154	0,25	0,40	0,10	0,10	3,1 - 3,9	0,15 - 0,35	...	0,20	0,20	0,05	0,15	Phần còn lại
5183	0,40	0,40	0,10	0,50 - 1,0	4,3 - 5,2	0,05 - 0,25	...	0,25	0,15	0,05	0,15	Phần còn lại
5252	0,08	0,10	0,10	0,10	2,2 - 2,8	0,05	...	0,03	0,10	Phần còn lại
5254	0,45 Si +	Fe	0,05	0,01	3,1 - 3,9	0,15 - 0,35	...	0,20	0,05	0,05	0,15	Phần còn lại
5356	0,25	0,40	0,10	0,05 - 0,20	4,5 - 5,5	0,05 - 0,20	...	0,10	0,06 - 0,20	0,05	0,15	Phần còn lại
5454	0,25	0,40	0,10	0,50 - 1,0	2,4 - 3,0	0,05 - 0,20	...	0,25	0,20	0,05	0,15	Phần còn lại
5456	0,25	0,40	0,10	0,50 - 1,0	4,7 - 5,5	0,05 - 0,20	...	0,25	0,20	0,05	0,15	Phần còn lại
6061	0,40 - 0,8	0,7	0,15 - 0,40	0,15	0,8 - 1,2	0,04 - 0,35	...	0,25	0,15	0,05	0,15	Phần còn lại
6063	0,20 - 0,6	0,35	0,10	0,10	0,45 - 0,9	0,10	...	0,10	0,10	0,05	0,15	Phần còn lại
6066	0,9 - 1,8	0,50	0,7 - 1,2	0,6 - 1,1	0,8 - 1,4	0,40	...	0,25	0,20	0,05	0,15	Phần còn lại

Tiếp bảng PL2

Ký hiệu hợp kim nhôm	Si	Fe	Cu	Mn	Mg	Cr	Ni	Zn	Ti	Các chất khác		
										Mỗi loại	Tổng	AI
6151	0,6 - 1,2	1,0	0,35	0,20	0,45 - 0,8	0,15 - 0,35	...	0,25	0,15	0,05	0,15	Phần còn lại
6162	0,40 - 0,8	0,50	0,20	0,10	0,7 - 1,1	0,10	...	0,25	0,10	0,05	0,15	Phần còn lại
6201	0,50 - 0,9	0,50	0,10	0,03	0,6 - 0,9	0,03	...	0,10	...	0,03	0,10	Phần còn lại
6262	0,40 - 0,8	0,7	0,15 - 0,40	0,15	0,8 - 1,2	0,04 - 0,14	...	0,25	0,15	0,05	0,15	Phần còn lại
6351	0,7 - 1,3	0,50	0,10	0,40 - 0,8	0,40 - 0,8	0,20	0,20	0,05	0,15	Phần còn lại
6463	0,20 - 0,6	0,15	0,20	0,05	0,45 - 0,9	0,05	...	0,05	0,15	Phần còn lại
6951	0,20 - 0,50	0,8	0,15 - 0,40	0,10	0,40 - 0,8	0,20	...	0,05	0,15	Phần còn lại
7008	0,10	0,10	0,05	0,05	0,7 - 1,4	0,12 - 0,25	...	4,5 - 5,5	0,05	0,05	0,10	Phần còn lại
7016	0,010	0,12	0,45 - 1,0	0,03	0,8 - 1,4	4,0 - 5,0	0,03	0,03	0,10	Phần còn lại
7021	0,25	0,40	0,25	0,10	1,2 - 1,8	0,05	...	5,0 - 6,0	0,10	0,05	0,15	Phần còn lại
7029	0,10	0,12	0,50 - 0,9	0,03	1,3 - 2,0	4,2 - 5,2	0,05	0,03	0,10	Phần còn lại
7049	0,25	0,35	1,2 - 1,9	0,20	2,0 - 2,9	0,10 - 0,22	...	7,2 - 8,2	0,10	0,05	0,15	Phần còn lại
7050	0,12	0,15	2,0 - 2,6	0,10	1,9 - 2,6	0,04	...	5,7 - 6,7	0,06	0,05	0,15	Phần còn lại
7072	0,7 Si +	Fe	0,10	0,10	0,10	0,8 - 1,3	...	0,05	0,15	Phần còn lại
7075	0,40	0,50	1,2 - 2,0	0,30	2,1 - 2,9	0,18 - 0,28	...	5,1 - 6,1	0,20	0,05	0,15	Phần còn lại
7175	0,15	0,20	1,2 - 2,0	0,10	2,1 - 2,9	0,18 - 0,28	...	5,1 - 6,1	0,10	0,05	0,15	Phần còn lại
7178	0,40	0,50	1,6 - 2,4	0,30	2,4 - 3,1	0,18 - 0,28	...	6,3 - 7,3	0,20	0,05	0,15	Phần còn lại
7475	0,10	0,12	1,2 - 1,9	0,06	1,9 - 2,6	0,18 - 0,25	...	5,2 - 6,2	0,06	0,05	0,15	Phần còn lại

Bảng PL3. Thành phần của một số thép không gỉ điển hình

Ký hiệu của UNS	Ký hiệu AISI	Thành phần % (a)									
		C	Mn	P	S	Si	Cr	Ni	Mo	Các chất khác	
S30400	304	0,08	2,00	0,045	0,03	1,00	18,00 - 20,00	8,00 - 10,50	
S30403	304L	0,03	2,00	0,045	0,03	1,00	18,00 - 20,00	8,00 - 12,00	
S30430	530430	0,08	2,00	0,045	0,03	1,00	17,00 - 19,00	8,00 - 10,00	3,00 - 4,00Cu	
S304N	304N	0,08	2,00	0,045	0,03	1,00	18,00 - 20,00	8,00 - 10,50	0,10 - 0,16N	
S30500	305	0,12	2,00	0,045	0,03	1,00	17,00 - 19,00	10,50 - 13,00	
S30800	308	0,08	2,00	0,045	0,03	1,00	19,00 - 21,00	10,00 - 12,00	
S30900	309	0,2	2,00	0,045	0,03	1,00	22,00 - 2400	12,00 - 15,00	
S309S	309S	0,08	2,00	0,045	0,03	1,00	22,00 - 24,00	12,00 - 15,00	
S31000	310	0,25	2,00	0,045	0,03	1,50	24,00 - 26,00	19,00 - 22,00	
S310S	310S	0,08	2,00	0,045	0,03	1,50	24,00 - 26,00	19,00 - 22,00	
S31400	314	0,25	2,00	0,045	0,03	1,50 - 3,00	23,00 - 26,00	19,00 - 22,00	2,00 - 3,00	
S31600	316	0,08	2,00	0,045	0,03	1,00	16,00 - 18,00	10,00 - 14,00	1,75 - 2,50	
S316F	316F	0,08	2,00	0,2	0,10 min	1,00	16,00 - 18,00	10,00 - 14,00	2,00 - 3,00	
S316L	316L	0,03	2,00	0,045	0,03	1,00	16,00 - 18,00	10,00 - 14,00	2,00 - 3,00	
S316N	316N	0,08	2,00	0,045	0,03	1,00	16,00 - 18,00	10,00 - 14,00	2,00 - 3,00	0,10 - 0,16N	
S31700	317	0,08	2,00	0,045	0,03	1,00	18,00 - 20,00	11,00 - 15,00	3,00 - 4,00	
S31703	317L	0,03	2,00	0,045	0,03	1,00	18,00 - 20,00	11,00 - 15,00	3,00 - 4,00	
S32100	321	0,08	2,00	0,045	0,03	1,00	17,00 - 19,00	9,00 - 12,00	1,00 - 2,00	Ti, 5 x C min	
S329	329	0,10	2,00	0,04	0,03	1,00	25,00 - 30,00	3,00 - 6,00	
S330	330	0,08	2,00	0,04	0,03	0,75 - 1,50	17,00 - 20,00	34,00 - 37,00	0,10 Ta, 0,20Nb	

Tiếp bảng PL3

Ký hiệu của UNS	Ký hiệu AISI	Thành phần % (a)								Các chất khác
		C	Mn	P	S	Si	Cr	Ni	Mo	
S34700	347	0,08	2,00	0,045	0,03	1,00	17,00 - 19,00	9,00 - 13,00	...	Nb:10 × C min
S34800	348	0,08	2,00	0,045	0,045	1,00	17,00 - 19,00	9,00 - 13,00	...	Nb:10 × C min
	384	0,08	2,00	0,045	0,03	1,00	15,00 - 17,00	17,00 - 19,00
Loại Ferit										
S40500	405	0,08	1,00	0,04	0,03	1,00	11,50 - 14,50	0,10 - 0,30Al
S40900	409	0,08	1,00	0,045	0,04S	1,00	10,50 - 11,75	Ti:6 × C-0,75
S42900	429	0,12	1,00	0,04	0,03	1,00	14,00 - 16,00
S43000	430	0,12	1,00	0,04	0,03	1,00	16,00 - 18,00
430F	430F	0,12	1,25	0,06	0,15	1,00	16,00 - 18,00	...	0,60	...
430FSe	430FSe	0,12	1,25	0,06	0,06	1,00	16,00 - 18,00	0,15Si min
543400	434	0,12	1,00	0,04	0,03	1,00	16,00 - 18,00	...	0,75 - 1,25	...
S43600	436	0,12	1,00	0,04	0,03	1,00	16,00 - 18,00	...	0,75 - 1,25	Nb:5 × C-0,70
S44200	442	0,20	1,00	0,04	0,03	1,00	18,00 - 23,00
S44400	444	0,25	1,00	0,04	0,03	1,00	17,50 - 19,50	(Ti+Nb):0,2+4(C+N)-0,8
S44600	446	0,20	1,50	0,04	0,03	1,00	23,00 - 27,00	0,25N
Loại Mactensit										
S40300	403	0,15	1,00	0,04	0,03	0,50	11,50 - 13,00
S41000	410	0,15	1,00	0,04	0,03	1,00	11,50 - 13,50

Ký hiệu của UNS	Ký hiệu AISI	Thành phần % (a)										Các chất khác
		C	Mn	P	S	Si	Cr	Ni	Mo			
S41400	414	0,15	1,00	0,04	0,03	1,00	11,50 - 13,50	1,25 - 2,50				
S41600	416	0,15	1,25	0,06	0,15 min	1,00	12,00 - 14,00	...	0,60			
S42000	416Se	0,15	1,25	0,06	0,06	1,00	12,00 - 14,00	0,15Se min		
	420	0,15 min	1,00	0,04	0,03	1,00	12,00 - 14,00			
S42200	420F	0,15 min	1,25	0,06	0,15 min	1,00	12,00 - 14,00	...	0,60			
	422	0,20 - 0,25	1,00	0,025	0,025	0,75	11,00 - 13,00	0,50 - 1,00	0,75 - 1,25	0,15 - 0,30V, 0,75 - 1,25W		
S43100	431	0,20	1,00	0,04	0,03	1,00	15,00-17,00	1,25 - 2,50	...			
	440A	0,60 - 0,75	1,00	0,04	0,03	1,00	16,00 - 18,00	...	0,75			
	440B	0,75 - 0,95	1,00	0,04	0,03	1,00	16,00 - 18,00	...	0,75			
	440C	0,95 - 1,20	1,00	0,04	0,03	1,00	16,00 - 18,00	...	0,75			
Loại Duplex												
S31803	2205	0,03	2,00	0,03	0,02	1,00	21,0 - 23,0	4,50 - 6,50	2,50 - 3,50	0,08 - 0,2N		
S31200	44LN	0,03	2,00	0,045	0,03	1,00	24,0 - 26,0	5,50 - 6,50	1,20 - 2,00	0,14 - 0,2N		
S31260	DP-3	0,03	1,00	0,03	0,03	0,75	24,0 - 26,0	5,50 - 7,50	2,50 - 3,50	0,2 - 0,8Cu, 0,1 - 0,3N		
S31500	3RE60	0,03	1,20 - 2,00	0,03	0,03	1,4 - 2,0	18,0 - 19,0	4,25 - 5,25	2,50 - 3,00	...		
S32550	Ferrallium 255	0,04	1,50	0,04	0,03	1,00	24,0 - 27,0	4,50 - 6,50	2,00-4,00	1,5 - 2,5Cu, 0,1 - 0,25N		
S32950	7Mo-PLUS	0,03	2,00	0,035	0,01	0,60	26,0 - 29,0	3,50 - 5,20	1,00 - 2,50	0,15 - 0,35N		

(a) Thành phần cực đại, nếu không có chỉ dẫn thêm.

UNS : Hệ thống số thống nhất của Mỹ (Unified Numbering System)

AISI : Viện Sắt - Thép Mỹ (American Iron and Steel Institute)

Bảng P1A. Bảng đối chiếu theo TCVN và Mỹ các mác thép thường gặp

Ký hiệu mác thép		Thanh phần	Công dụng
TCVN	Mỹ		
Thép không gỉ mactenxit			
12Cr13	403	Fe-<0,12C-13Cr	Đồ trang sức, ốc vít, chi tiết chịu nhiệt dưới 450°C
15Cr13	410	Fe-<0,15C-12,5Cr	
15Cr13	420	Fe->0,15C-13Cr	
30Cr13	-	Fe->0,3C-13Cr	Lò xo không gỉ, dụng cụ đo, dụng cụ mổ, xupap xả
80Cr17	440B	Fe-(0,75-0,95)C-17Cr-0,75Mo	
Thép không gỉ ferit			
08Cr13	405	Fe-<0,08C-13Cr	Có thể hàn, công nghiệp dầu mỏ, bể chứa HNO ₃ , thùng đựng thực phẩm, dùng trong kiến trúc, có titan chống ăn mòn tinh giới
08Cr13Al	405	Fe-<0,08C-13Cr-0,2Al	
12Cr17	430	Fe-<0,12C-17Cr	
08Cr17Ti		Fe-<0,08C-17Cr-0,8Ti	
20Cr25	446	Fe-<0,02C-25Cr	Chống oxy hoá nhiệt độ cao, dễ gia công nguội hơn thép ostenit có titan để chống ăn mòn tinh giới
15Cr25Ti	446	Fe-0,15C-25Cr-0,8Ti	
15Cr28	-	Fe-<0,15C-28Cr	
Thép không gỉ ostenit			
15Cr17Ni4Mn6N	201	Fe-<0,15C-17Cr-4,5Ni-6Mn-0,25N	Dùng trong công nghiệp sản xuất axit, công nghiệp hoá dầu, thực phẩm và đồ gia dụng
15Cr1 8Ni5Mn8N	202	Fe-<0,15C-18Cr-5Ni-8Mn-0,25N	
15Cr17Ni7	301	Fe-<0,15C-17Cr-7Ni	
08Cr19Ni10	304	Fe-<0,08C-18,5Cr-9,5Ni	
08Cr17Ni12Mo2	316	Fe-0,08C-17Cr-12Ni-2,25Mo	
03Cr17Ni12Mo2	316L	Fe-<0,03C-17Cr-13Ni-2,25Mo	
08Cr19Ni14Mo3	317	Fe-<0,08C-19Cr-14Ni-3,25Mo	
1 2Cr17Ni7TiAl	322	Fe≤0,12C-17Cr-7Ni-1Ti-1Al	
17Cr18Ni9	-	Fe≤0,17C-18Cr-9Ni	Dùng trong công nghiệp sản xuất axit, công nghiệp hoá dầu, thực phẩm và đồ gia dụng
12Cr18Ni9Ti	-	Fe≤0,12C-18Cr-9Ni-0,8Ti	
03Cr18Ni10	304L	Fe≤0 03C18,5Cr-10Ni	
08Cr18Ni11NbTa	347	Fe≤0,08C-18Cr-11NiNbTa	
08Cr18Ni11Ti	321	Fe≤0,08C-18Cr-11Ni-0,7Ti	
12Cr18Ni10Ti	-	Fe≤0,12C-18Cr-10Ni-0,8Ti	

TÀI LIỆU THAM KHẢO

1. Trương Ngọc Liên. Điện hoá lý thuyết. NXB Khoa học và Kỹ thuật, Hà Nội, 2000.
2. Trương Ngọc Liên. Bài giảng Tổng hợp điện hoá các chất hữu cơ. Trường Đại học Bách khoa Hà Nội, 2001.
3. Lê Công Dưỡng (chủ biên). Vật liệu học (Chương 6. Trương Ngọc Liên: Ăn mòn và Bảo vệ kim loại). NXB Khoa học và Kỹ thuật, Hà Nội, 2000.
4. Penny A. Jones. Principles and Prevention of Corrosion. Macmillan Publishing company, New York, Oxford, Singapore, Sydney, 1992.
5. Kennet R. Trethewey, John Chamberlain. Corrosion (For Science and Engineering). Longman, 1995.
6. Mars G. Fontana. Corrosion Engineering. Mac Graw Hill, 1986.
7. L. L. Shreir, R. A. Jarman & Burstein. Corrosion. Metal / Environment Reactions. Butherworth Heinemann, 1995.
8. Г. Кеше. Коррозия металлов. Москва “Металлургия”. 1984.
9. М. А. Слугер, Ф. Ф. Ажорин, Е. А. Ефимов. Коррозия и защита металлов. Москва “Металлургия”, 1981.
10. Л. И. Фреиман, В. А. Макаров, И. Е. Брыксин. Потенциостатические методы в коррозионных исследованиях и электрохимической защите. Издательство “Химия”, 1972.
11. С. М. Решетников. Ингибиторы кислотной коррозии металлов. “Химия”, Ленинград, 1986.
12. C. Rochaix. Electrochimie (Thermodynamique - Cinétique). Nathan, 1996.

TRƯƠNG NGỌC LIÊN

**ĂN MÒN VÀ BẢO VỆ
KIM LOẠI**

Chịu trách nhiệm xuất bản: PGS. TS. TÔ ĐĂNG HẢI

Biên tập: NGUYỄN KIM ANH

Vẽ bìa: HƯƠNG LAN

NHÀ XUẤT BẢN KHOA HỌC VÀ KỸ THUẬT

70 Trần Hưng Đạo, Hà Nội

In 700 cuốn, khổ 16x24 (cm) tại Xí nghiệp in 19-8, số 3
đường Nguyễn Phong Sắc- Cầu Giấy- Hà Nội.
Giấy phép xuất bản số 6-147, cấp ngày 5-1 - 2004.
In xong và nộp lưu chiểu tháng 6 năm 2004.

